

# Table des matières

<b>1</b>	<b>INTRODUCTION AUX THEORIES CONFORMES</b>	<b>6</b>
1.1	Changements de coordonnées et tenseur énergie - impulsion . . . . .	7
1.2	Champs primaires - Etats de plus haut poids - Descendants . . . . .	9
1.3	Propriétés des fonctions de corrélation . . . . .	11
1.4	Représentations réductibles . . . . .	12
1.5	Modèles minimaux . . . . .	14
<b>2</b>	<b>THEORIE DE LIOUVILLE : INTRODUCTION</b>	<b>16</b>
2.1	Solution classique . . . . .	17
2.2	Quantification . . . . .	22
<b>3</b>	<b>LES EQUATIONS POLYNOMIALES</b>	<b>31</b>
3.1	Blocs conformes et monodromie . . . . .	32
3.2	Localité et dualité . . . . .	35
3.3	Les équations polynomiales . . . . .	42
<b>4</b>	<b>THEORIE DE LIOUVILLE : L'ALGEBRE D'OPERATEURS</b>	<b>45</b>
4.1	La base des ondes de Bloch . . . . .	48
4.1.1	Les résultats . . . . .	48
4.1.2	La méthode de démonstration . . . . .	55
4.2	La base du groupe quantique . . . . .	62
4.2.1	Les opérateurs . . . . .	62
4.2.2	Les identités par limite infinie . . . . .	66
<b>5</b>	<b>THEORIE DE LIOUVILLE : COUPLAGE FORT</b>	<b>74</b>
5.1	Troncature de l'algèbre d'opérateurs . . . . .	76
5.2	Qu'est-ce qui caractérise les dimensions spéciales? . . . . .	82
5.3	Modèles topologiques fortement couplés . . . . .	88
5.3.1	Le modèle - Exposants critiques . . . . .	88
5.3.2	Fonctions à $N$ points . . . . .	93

# INTRODUCTION

La théorie des cordes a connu un regain d'intérêt dans les années 80 à la suite des travaux fondateurs de Polyakov puis de Green et Schwarz. Elle s'est avérée cohérente et renormalisable, on a pu la traiter comme les théories de jauge habituelles et sortir des dimensions critiques à condition d'introduire une gravitation quantique bidimensionnelle.

Une corde évoluant dans un espace-temps de dimension  $d$  est décrite (en première quantification) par une théorie quantique des champs bidimensionnelle sur la surface qu'elle balaye dans son mouvement, dite surface d'univers. Pour un espace-temps plat, les coordonnées des points de la corde sont d'un point de vue bidimensionnel tout simplement  $d$  champs libres (on a un modèle sigma non linéaire dans le cas d'un espace-temps non trivial). Il a néanmoins été nécessaire d'introduire dans l'action dite de Polyakov une métrique bidimensionnelle intrinsèque. Bien qu'elle ne soit classiquement qu'un multiplicateur de Lagrange, lors de la quantification l'anomalie de Weyl la rend dynamique. C'est l'origine de la gravitation quantique bidimensionnelle. Les  $d$  champs libres couplés à la gravité sont habituellement appelés champs de matière. Ces théories de cordes ont une grande invariance de jauge constituée par les reparamétrisations de la surface d'univers. On la fixe soit dans la jauge conforme, soit dans celle du cône de lumière. Nous ferons ici le premier choix. Comme pour les théories de Yang-Mills, on a donc également sur la surface d'univers des fantômes de Faddeev-Popov qui rendent compte du jacobien provenant de cette fixation de jauge. Dans la jauge conforme, c'est le facteur conforme (facteur de proportionnalité de la métrique) qui devient dynamique. Son action est celle de Liouville et c'est le sujet central de cette thèse.

Il reste néanmoins dans cette jauge une symétrie de résiduelle : les transformations conformes. La théorie doit donc être invariante conforme (en espace-temps de métrique non triviale, la cohérence de la théorie s'exprime par l'annulation de la fonction beta du modèle sigma). Cependant, chacun des champs existant sur la surface d'univers a individuellement une anomalie conforme, anomalie qui s'annule pour la théorie totale. On peut voir la dynamique du champ de Liouville comme une façon pour la théorie de restaurer l'invariance conforme : les  $d$  champs de matière contribuent de  $d$  unités à l'anomalie conforme (ou charge centrale de l'algèbre conforme), les fantômes pour  $-26$ , et par conséquent le champ de Liouville pour  $26 - d$  (cas bosonique).

Pour les dimensions critiques ( $d = 26$  pour les cordes bosoniques, et  $d = 10$  pour les supercordes) pour lesquelles la théorie est exempte d'anomalie de Weyl, la gravité se découple. Ceci n'est pas étonnant puisque dans ce cas les champs de matière et les fantômes donnent à eux seuls une théorie invariante conforme, de charge centrale totale  $c_{\text{tot}} = d - 26 = 0$ . Néanmoins, nous n'aborderons pas ici le domaine bien connu des cordes critiques, et nous nous placerons toujours en dimension non-critique.

Initialement, le but essentiel de l'étude des cordes non-critiques était de s'af-

franchir des dimensions 10 ou 26. Il est cependant apparu depuis lors de nombreuses manières de réduire la dimension de l'espace-temps des cordes critiques, par compactification ou en considérant des degrés de liberté internes. Actuellement l'attention portée aux cordes non-critiques est davantage motivée par l'étude de la gravitation quantique bidimensionnelle, ce qui permet de décrire des surfaces aléatoires chargées de champs conformes de matière. L'étude des théories conformes bidimensionnelles constitue tout un domaine en soi. Elles entretiennent des rapports étroits avec les modèles intégrables. Comme nous le verrons dans cette thèse, la théorie de Liouville s'est ainsi avérée intégrable quantiquement, et sa symétrie classique  $Sl(2)$  a donné naissance à la symétrie du groupe quantique  $U_q(sl(2))$ . Les groupes quantiques jouent également un rôle important dans de nombreuses théories intégrables. C'est le cas par exemple du modèle de Wess-Zumino-Witten, qui redonne en principe la théorie de Liouville par réduction dimensionnelle. Les groupes quantiques sont d'ailleurs initialement apparus lors de l'étude des modèles intégrables et en particulier de la théorie de Liouville, avant d'être étudiés plus systématiquement.

Ce domaine des cordes non-critiques a été très largement étudié et résolu en dimension  $d$  inférieure à 1. On parle souvent un peu abusivement de dimensions non entières, en assimilant la dimension  $d$  à l'anomalie conforme  $c$ , puisque les  $d$  champs libres de la corde bosonique vivant en dimension  $d$  donnent une charge centrale  $c = d$ . Quand on parle de modèles de cordes en dimensions inférieures à 1, il s'agit donc en fait des théories conformes bidimensionnelles couplées à la gravité évoquées plus haut, pour une charge centrale  $c$  inférieure à 1. Cette théorie conforme peut être un champ libre avec charge d'arrière-plan (dite de "background") ou un modèle de physique statistique (d'Ising, de Potts,  $O(n)$ ...) à un point critique d'une transition de phase du deuxième ordre. Les modèles de physique statistique sont alors décrits par les modèles minimaux, théories conformes contenant un nombre fini de familles conformes et correspondant à un ensemble discret de charges centrales particulières comprises entre 0 et 1. Ces modèles ont pu être traités dans une approche continue, mais un grand pas en avant a été réalisé grâce aux succès de l'approche discrète. En effet, la triangulation de la surface a permis de ramener le problème des modèles minimaux couplés à la gravité à des modèles de matrices, qui ont pu être résolus à tous les ordres (c'est-à-dire pour tout genre de surface, ce qui correspond au développement en boucles des diagrammes de Feynman). L'espoir que la solution soit non-perturbative a néanmoins été déçu. L'approche continue a donné des résultats concordants pour les fonctions à trois points et les exposants critiques.

Au contraire, dans le domaine  $d > 1$ , on a très peu de résultats. On l'appelle généralement régime de couplage fort, puisque la constante de couplage de la théorie de Liouville est alors supérieure à  $1/8$ . La difficulté dans cette phase provient de l'apparition de grandeurs complexes. Les poids conformes des opérateurs de la théorie, donnés par les poids de Kac, deviennent complexes, ce qui a pour conséquence des exposants critiques et des masses carrées complexes. C'est un des grands mérites de la quantification canonique de la théorie de Liouville introduite par J.-L. Gervais et A. Neveu au début des années 80, que d'avoir permis un début de résolution de cette théorie dans le régime de couplage fort. Et c'est pour le moment à peu près le seul axe de recherche fructueux dans cette phase. Il a en effet été mis en évidence des dimensions spéciales ( $d = 7, 13, 19$  pour la corde bosonique) pour lesquelles il semblait exister une sous-algèbre fermée d'opérateurs physiques de poids réels, ce qui

permettrait de résoudre les problèmes précédemment évoqués (les dimensions correspondantes sont  $d = 3, 5, 7$  pour les supercordes). C'est le traitement symétrique des deux charges d'écran  $\alpha_+$  et  $\alpha_-$  qui semble être la clé de ces résultats dans le régime de couplage fort. La fin de la preuve de cette troncature (cas bosonique) et la construction d'un modèle topologique fortement couplé, pour lequel nous calculons les fonctions à  $N$  points, constituent une partie importante de cette thèse.

Le plan de ce mémoire est le suivant. Les trois premiers chapitres ont pour but d'introduire les notions nécessaires à la compréhension de mes travaux originaux dont l'essentiel est présenté dans les deux derniers chapitres, tous les détails figurant dans les articles [P1, P2, P3, P4, P6] joints en annexe. Le compte-rendu [P6] constitue un petit résumé qui a l'avantage d'être en français. L'article [P5] qui sera publié prochainement n'a pas pu être joint au mémoire. Un certain nombre de résultats non publiés en refs.[P1, P2, P3, P4] (et qui le seront pour l'essentiel en [P5]) seront imprimés en italique.

Dans le premier chapitre, je présente la base des théories conformes. Je me place à un niveau élémentaire, renvoyant le lecteur intéressé aux nombreuses revues existant sur le sujet. Je présente ensuite dans un deuxième chapitre la solution classique de la théorie de Liouville, connue depuis longtemps, ainsi que le schéma de quantification introduit par J.-L. Gervais et A. Neveu au début des années 80. La résolution complète de l'algèbre des opérateurs de la théorie de Liouville dans le chapitre 4 fera appel aux équations polynomiales qui sont les équations de cohérence de cette algèbre. Elles sont démontrées dans le chapitre 3 où nous étendons la discussion de Moore et Seiberg sur les théories conformes diagonales (et les équations polynomiales) au cas que nous appelons non-diagonal, ce qui s'avérera nécessaire pour le régime de couplage fort.

Les deux derniers chapitres traitent de ma contribution à la résolution de la théorie de Liouville, en collaboration avec J.-L. Gervais et E. Cremmer pour le chapitre 4 et J.-L. Gervais seul pour le chapitre 5. Dans le chapitre 4 (articles [P1,P2]) j'expose la résolution de l'algèbre d'opérateurs dans la base dite des ondes de Bloch puis dans celle du groupe quantique. Les coefficients de fusion et d'échange sont essentiellement données par des symboles du groupe quantique  $U_q(sl(2))$ , ce qui permet de mettre en évidence la symétrie  $U_q(sl(2))$  de la théorie. Nous nous contenterons ici d'obtenir cette algèbre, sans expliciter l'action des générateurs de  $U_q(sl(2))$  (ce qui est néanmoins possible), puisque la fusion et l'échange suffisent à prouver la localité des opérateurs ou des corrélateurs physiques. Par rapport aux travaux précédents de J.-L. Gervais et ses collaborateurs, l'algèbre est complètement résolue au sens de Moore et Seiberg, alors qu'auparavant la fusion n'était traitée qu'à l'ordre dominant à la Wilson, ce qui mettait l'associativité en défaut. Nous l'avons également étendue à des opérateurs de spins continus (non nécessairement demi-entiers), c'est-à-dire des représentations infinies du groupe quantique  $U_q(sl(2))$ . Nous relierons aussi la matrice de passage entre ces deux bases à une autre matrice de passage connue dans la littérature, qui est donnée par des Clebsch-Gordan. Notre matrice de passage est la limite de ces Clebsch-Gordan. La base des ondes de Bloch est reliée à un modèle SOS ou IRF (Interaction Round a Face) alors que la base du groupe quantique est reliée à un modèle à vertex. Nous montrons que le modèle à vertex est la limite du modèle IRF lorsque ses spins sur les faces tendent vers l'infini. Notre généralisation

à des spins continus donne donc aussi une généralisation des invariants de liens correspondant à ces modèles à vertex et IRF. Il est également proposé en [P2] une représentation tridimensionnelle de ces invariants par des tétraèdres. Elle est connue pour les modèles IRF (tétraèdres = 6-j) mais ne semble pas l'être pour les modèles à vertex (tétraèdres = Clebsch-Gordan, matrice  $R$  et 6-j).

Le chapitre 5 (articles [P3,P4,P5]) traite du couplage fort, c'est-à-dire de théories en dimensions  $1 < d < 25$ . Il apparaît alors en général des exposants critiques et des poids complexes qui ne sauraient être physiques. J.-L. Gervais a cependant montré avec ses collaborateurs que pour des dimensions spéciales ( $d = 7, 13, 19$  dans le cas bosonique) il existe une sous-algèbre fermée d'opérateurs de poids réels. Ce travail était cependant partiel. Nous montrons dans ce chapitre, grâce aux résultats du précédent, que l'algèbre d'opérateurs est bien fermée à tous les ordres. Nous étendons également ceci à des spins fractionnaires qui sont nécessaires pour obtenir des fonctions de partition invariantes modulaires. Nous proposons ensuite dans la partie 5.2 un nouvel éclairage de la troncature de cette sous-algèbre d'opérateurs de poids réels. Il apparaît en effet que les dimensions et spins mis en évidence précédemment sont exactement ceux qui donnent une dégénérescence maximale de la matrice de monodromie, et nous montrons que cette dégénérescence est un cas particulièrement favorable à l'obtention d'une troncature de l'algèbre d'opérateurs. N'étant pas encore capables de calculer les amplitudes de véritables théories de cordes dans ces dimensions spéciales, nous étudions dans la partie 5.3 un modèle simplifié à deux degrés de liberté, du même genre que les modèles minimaux dans le régime de couplage faible : la matière et la gravité sont engendrées par deux copies de la construction spéciale précédente. Les excitations correspondant à ces deux degrés de liberté (un pour la matière, un pour la gravité) doivent donc ensuite disparaître par cohomologie BRST et le modèle devenir topologique. Nous avons pu calculer la susceptibilité de corde  $\gamma_{\text{string}}$  et les fonctions de corrélation à  $N$  points de ce modèle grâce à une action effective. L'exposant critique  $\gamma_{\text{string}}$  calculé est la partie réelle de la formule de KPZ qui est complexe dans la phase de couplage fort. La physique du couplage fort semble en outre très différente de celle du couplage faible, avec en particulier un déconfinement de la chiralité.

# Chapitre 1

## INTRODUCTION AUX THEORIES CONFORMES

Les théories conformes sont aujourd’hui devenues un des outils fondamentaux de la théorie des cordes. La symétrie conforme est en effet la symétrie résiduelle après fixation de la jauge conforme sur la surface d’univers de la corde. Elles ont également une importance fondamentale en physique statistique car la symétrie conforme est aussi présente aux transitions de phase du deuxième ordre. Cela fait donc aujourd’hui partie de la culture du physicien théoricien et c’est pourquoi je me contenterai souvent dans ce chapitre de citer des résultats et de renvoyer le lecteur aux refs.[1, 2, 3] ainsi qu’aux nombreuses autres références existantes.

En dimension  $D$  quelconque les transformations conformes sont les translations, les rotations, les dilatations et les transformations dites conformes spéciales. Elles sont donc engendrées par un nombre fini d’entre elles et le groupe conforme est de dimension finie. En dimension 2, en revanche, il en apparaît d’autres et le groupe conforme est alors constitué des transformations analytiques et anti-analytiques du plan complexe. Il devient de dimension infinie. C’est la source de la richesse des théories conformes bidimensionnelles. Ce nombre infini de symétries a en effet permis d’en résoudre un grand nombre. Il semble même y avoir un rapport profond entre théories conformes bidimensionnelles et modèles intégrables. Nous ne nous intéresserons ici qu’aux théories bidimensionnelles.

Je me contente ici de présenter la base des théories conformes, et le lecteur un minimum familier de ces théories pourra passer à la suite. Un des buts de ce chapitre est de montrer comment les équations dites de “bootstrap” sont obtenues comme équations de Ward liées au découplage des vecteurs nuls de la théorie conforme. En effet, la plus simple d’entre elles, une équation hypergéométrique, est à la base de l’approche opératorielle de la théorie de Liouville. En 1983 Gervais et Neveu l’on prouvée explicitement grâce à l’expression des opérateurs en termes de champs libres, comme nous le verrons dans le chapitre suivant. Il n’était donc pas vraiment nécessaire pour la résolution de la théorie de Liouville de présenter les théories conformes telles qu’elles ont été formalisées dans l’œuvre fondatrice de BPZ [1], puisque la symétrie conforme apparaît naturellement dans la théorie de Liouville. Ceci permet néanmoins de la situer dans un cadre plus général.

# 1.1 Changements de coordonnées et tenseur énergie - impulsion

Les transformations conformes sont les changements de coordonnées qui conservent les angles, et qui conservent donc la métrique proportionnelle à elle-même. Pour un tel changement de coordonnées

$$\sigma^a \rightarrow \xi^a(\sigma) \quad a = 1, 2$$

la métrique se transforme donc (classiquement) par

$$g_{ab} \rightarrow \frac{\partial \xi^c}{\partial \sigma^a} \frac{\partial \xi^d}{\partial \sigma^b} g_{cd} = \rho(\sigma) g_{ab} \quad (1.1)$$

Les théories classiques invariantes sous les transformations conformes ont un tenseur énergie-impulsion de trace nulle. Ceci est très facile à voir : on sait déjà que pour tout lagrangien ne dépendant pas explicitement du point considéré (donc invariant par translation), le tenseur énergie-impulsion  $T^{ab}$  est conservé :

$$\partial_a T^{ab} = 0. \quad (1.2)$$

De plus, pour un lagrangien invariant conforme, donc invariant par dilatation  $x^a \rightarrow x^a + \epsilon x^a$ , le courant de dilatation  $T^{ab} x_b$  est également conservé. Ceci a pour conséquence l'annulation de la trace de  $T^{ab}$  :

$$\partial_a (T^{ab} x_b) = (\partial_a T^{ab}) x_b + T^{ab} (\partial_a) x_b = T^a_a = 0. \quad (1.3)$$

En dimension 2 la réciproque est également vraie :  $T^a_a = 0$  et  $\partial_a T^{ab} = 0$  impliquent la symétrie conforme. Au niveau quantique, en revanche, une action classiquement invariante conforme pourra donner lieu à une anomalie conforme, qu'on appelle donc parfois anomalie de trace.

Nous avons jusqu'ici écrit des formules valables pour une métrique quelconque, mais nous nous placerons en fait toujours dans la jauge conforme où la métrique de référence est  $\delta_{ab}$  (en euclidien). Dans un système de coordonnées complexes<sup>1</sup>  $z = \sigma_2 + i\sigma_1$ ,  $\bar{z} = \sigma_2 - i\sigma_1$ , la métrique euclidienne s'écrit  $g_{z\bar{z}} = g_{\bar{z}z} \propto 1$ ,  $g_{zz} = g_{\bar{z}\bar{z}} = 0$  et les transformations conformes sont simplement les transformations analytiques et anti-analytiques

$$z \rightarrow z'(z), \quad \bar{z} \rightarrow \bar{z}'(\bar{z}). \quad (1.4)$$

Cependant, la surface décrite par une corde fermée dans son mouvement (surface-univers) a la topologie d'un cylindre. La coordonnée  $\sigma_1 = \sigma$  (de genre temps en minkowskien) est périodique, la période pouvant être ramenée à  $2\pi$ . C'est pourquoi on utilise souvent des coordonnées complexes qui sont les exponentielles de celles définies précédemment ( $\sigma^1 \equiv \sigma$ ,  $\sigma^2 \equiv \tau$ ) :

$$z = e^{\tau + i\sigma}, \quad \bar{z} = e^{\tau - i\sigma} \quad (1.5)$$

ce qui transforme le cylindre en plan. Dans ces coordonnées du plan complexe, le temps est radial et  $\sigma$  est naturellement périodique. Le passé et le futur infinis

<sup>1</sup> Il faut considérer les deux variables  $z$  et  $\bar{z}$  comme indépendantes (donc  $\sigma$  et  $\tau$  complexes). On se ramène au cas physique à la fin par restriction à  $\sigma$  et  $\tau$  réels donc  $\bar{z} = (z)^*$ .

correspondent à  $z = 0$  et  $z = \infty$  respectivement. Pour des théories conformes quantiques on parlera donc de quantification radiale, le T-produit étant remplacé par un ordre radial. La transformation des coordonnées  $z = \tau + i\sigma$ ,  $\bar{z} = \tau - i\sigma$  du cylindre aux coordonnées 1.5 du plan complexe est elle-même conforme, et les coordonnées 1.5 sont donc de bonnes coordonnées : la métrique garde la même forme et les transformations conformes sont toujours les transformations analytiques et anti-analytiques 1.4.

Dans ce système de coordonnées, la nullité de la trace de  $T$  (utilisant la symétrie de  $T$ ) s'écrit  $T_{z\bar{z}} = T_{\bar{z}z} = 0$  et la conservation de  $T$  prouve que ses autres composantes  $T_{zz}$  et  $T_{\bar{z}\bar{z}}$  sont respectivement analytique et anti-analytique :

$$\begin{aligned}\partial_z T_{\bar{z}\bar{z}} = 0 &\Rightarrow T_{\bar{z}\bar{z}}(z, \bar{z}) = T_{\bar{z}\bar{z}}(\bar{z}) \text{ noté } \bar{T}(\bar{z}) \\ \partial_{\bar{z}} T_{zz} = 0 &\Rightarrow T_{zz}(z, \bar{z}) = T_{zz}(z) \text{ noté } T(z).\end{aligned}\tag{1.6}$$

$T(z)$  et  $\bar{T}(\bar{z})$  sont les générateurs des transformations conformes  $z \rightarrow z'(z)$  et  $\bar{z} \rightarrow \bar{z}'(\bar{z})$  respectivement, ou

$$z \rightarrow z + \epsilon(z)\tag{1.7}$$

pour les transformations infinitésimales engendrées par  $T(z)$ . Le groupe (des transformations) conforme(s) est factorisé : c'est le produit tensoriel de sa partie analytique par sa partie anti-analytique, c'est pourquoi nous ne considérerons souvent par exemple que la partie analytique engendrée par  $T(z)$ .

Nous pourrions traiter le cas des théories conformes classiques mais préférons passer tout de suite au cas quantique. Dans ce cas, les transformations du tenseur énergie-impulsion  $T$  ne se déduisent pas simplement des lois de transformations tensorielles. On écrit donc la forme la plus générale possible de ses variations sous les transformations conformes (qu'il engendre lui-même). Nous donnons le résultat pour ses modes  $L_n$  qui sont définis par

$$T(z) = \sum_{n=-\infty}^{\infty} z^{-n-2} L_n\tag{1.8}$$

chacun des  $L_n$  étant le générateur des transformations infinitésimales 1.7 avec

$$\epsilon(z) = \epsilon z^{n+1}.\tag{1.9}$$

Les lois de transformation les plus générales pour ces modes sont données par l'algèbre de Virasoro

$$[L_n, L_m] = (n - m)L_{n+m} + \frac{c}{12}n(n - 1)(n + 1)\delta_{n,-m}.\tag{1.10}$$

On a une algèbre similaire pour les modes  $\bar{L}_n$  de  $\bar{T}$  qui commutent par ailleurs avec les  $L_n$ . Le paramètre  $c$  ne peut pas être fixé par des considérations générales. Il dépend de la théorie considérée. C'est la charge centrale ou anomalie conforme. Il est en effet immédiat de vérifier que l'algèbre classique des générateurs  $z^{n+1}d/dz$  des transformations conformes 1.9 est donnée par 1.10 avec  $c = 0$ . L'algèbre de Virasoro 1.10 est donc l'extension centrale de l'algèbre conforme. La symétrie conforme n'est restaurée que pour une charge centrale totale nulle.

En théorie des cordes, l'invariance conforme est ce qu'il reste de l'invariance par reparamétrisation lorsqu'on s'est placé dans la jauge conforme. L'invariance par



reparamétrisation est une invariance de jauge fondamentale de la théorie et ne doit pas être brisée quantiquement. Une théorie de corde ne sera donc cohérente que si les contributions à la charge centrale de tous ses degrés de liberté donnent une charge centrale totale nulle. Pour une corde bosonique (resp. pour une supercorde) les fantômes de Faddeev-Popov introduits lors de la fixation de jauge contribuent pour -26 (resp. -15) à la charge centrale. Chaque coordonnée d'espace-temps correspond du point de vue bidimensionnel à un (super-)champ (super-)conforme de charge centrale 1 (resp. 3/2). Ces seuls degrés de liberté donnent donc dans le cas des cordes critiques, définies en dimension critique 26 (resp. 10), une théorie libre d'anomalie conforme. En dimension non-critique, en revanche, ces degrés de liberté n'annulent pas la charge centrale. Il est donc normal que pour une définition cohérente de théorie de cordes (i.e. invariante par reparamétrisation et donc invariante conforme) la métrique devienne dynamique et contribue pour  $C = 26 - c$  à la charge centrale, si  $c$  est la contribution des autres champs conformes (dits champs de matière, par opposition à la métrique dont la dynamique constitue une gravitation quantique bidimensionnelle).

Comme on peut le voir sur l'équation 1.9,  $L_0$  est le générateur des dilatations du plan, qui ne sont pas autre chose que les translations du temps  $\tau$ . Le hamiltonien est donc

$$H = L_0 + \bar{L}_0. \quad (1.11)$$

On remarque également que  $L_{-1}$  est le générateur des translations alors que  $L_1$  est celui des transformations conformes spéciales. Ce sont les transformations conformes qui existent en toute dimension. En dimension 2, ce sont les seules qui soient globalement inversibles. On peut exhiber la forme globale de ces transformations dites projectives :

$$z \rightarrow \frac{az + b}{cz + d} \quad \text{avec} \quad ad - bc = 1. \quad (1.12)$$

Comme on peut aussi le vérifier sur l'algèbre de leurs générateurs (algèbre de Virasoro 1.10 restreinte à  $m, n \in \{-1, 0, 1\}$ ) la sous-algèbre des transformations globalement inversibles engendrée par  $L_{-1}, L_0, L_1$  est un groupe  $Sl(2, C)$ . Leur composition et leur inversion se font par la multiplication habituelle des matrices  $\begin{pmatrix} a & b \\ c & d \end{pmatrix}$  de  $Sl(2, C)$ .

## 1.2 Champs primaires - Etats de plus haut poids - Descendants

Intéressons-nous maintenant aux opérateurs de la théorie. La loi de transformation la plus naturelle et la plus simple d'un opérateur  $\phi^i$  sous une transformation conforme 1.4 est

$$\phi^i(z, \bar{z}) \rightarrow \left(\frac{dz'}{dz}\right)^{\Delta_i} \left(\frac{d\bar{z}'}{d\bar{z}}\right)^{\bar{\Delta}_i} \phi^i(z', \bar{z}'). \quad (1.13)$$

L'indice (ou le multi-indice)  $i$  sert à distinguer les divers champs. Le champ  $\phi^i$  est dit de poids  $\Delta_i$  et  $\bar{\Delta}_i$ . L'équation 1.13 est une extension de la loi de transformation tensorielle classique. Les champs qui ont une loi de transformation donnée par 1.13 sont dits primaires. Tous les champs ne pourront pas être dans ce cas, la dérivée d'un

champ primaire n'est déjà clairement pas un champ primaire. Les transformations 1.9 engendrées par les  $L_n$  s'écrivent donc pour un tel champ

$$[L_n, \phi^i(z)] = z^n \left( z \frac{d}{dz} + (n+1)\Delta_i \right) \phi^i(z) \quad (1.14)$$

où nous n'avons pas écrit la dépendance en  $\bar{z}$ . Il y a, comme toujours, une expression similaire pour les  $\bar{L}_n$ .

En théorie conforme il y a une correspondance entre les opérateurs et les états. Les opérateurs engendrent les états à partir du vide. Au vu du développement en modes 1.8 de  $T$ , le vide  $|0\rangle$  "entrant" (correspondant donc à  $z=0$ ) doit être annihilé par les modes  $L_n$  tels que  $-n-2 < 0$ , sinon  $T(z)$  aurait une singularité en 0 :

$$L_n |0\rangle = 0 \text{ pour } n \geq -1. \quad (1.15)$$

Le vide  $|0\rangle$  est donc en particulier invariant sous les transformations globales de  $Sl(2, C)$  engendrées par  $L_1, L_0, L_{-1}$ . Les états sont obtenus par action des champs sur le vide :

$$|i\rangle = \phi^i(0) |0\rangle. \quad (1.16)$$

Si le champ  $\phi^i$  est primaire, l'état correspondant est aussi dit primaire et nous réservons d'ailleurs la notation 1.16 aux états primaires. On déduit des relations de commutation des champs primaires que les états primaires vérifient

$$L_0 |i\rangle = \Delta_i |i\rangle \text{ et } L_n |i\rangle = 0 \text{ pour } n \geq 1. \quad (1.17)$$

Comme les états, ils sont dits de poids  $\Delta_i$ . Contrairement au vide  $|0\rangle$  ils ne sont pas  $Sl(2, C)$  invariants : il y a maintenant un opérateur inséré en  $z=0$  (i.e.  $\tau = -\infty$ ) qui est modifié par les transformations  $Sl(2, C)$ .

La transformation  $z \rightarrow 1/z$  permet de définir symétriquement les états sortants

$$\langle i| = \lim_{z, \bar{z} \rightarrow \infty} \langle 0| \phi^i(z, \bar{z}) z^{2L_0} \bar{z}^{2\bar{L}_0} \quad (1.18)$$

où on a explicité la dépendance en  $z$  et  $\bar{z}$ . Les facteurs  $z^{2L_0}$  issus de la transformation  $z \rightarrow 1/z$  permettent d'avoir une normalisation non singulière malgré la limite infinie (cf Eq.1.26 plus loin) et l'orthogonalité des états

$$\langle i|j\rangle = \delta_{i,j}. \quad (1.19)$$

La même transformation permet d'obtenir la relation d'orthogonalité

$$(L_n)^\dagger = L_{-n}. \quad (1.20)$$

On en déduit que symétriquement le vide et les états sortants sont annihilés par les  $L_{-n}$  :

$$\begin{aligned} \langle 0|L_{-n} &= 0 \quad \text{pour } -n \leq 1 \\ \langle i|L_{-n} &= 0 \quad \text{pour } -n \leq -1. \end{aligned} \quad (1.21)$$

La propriété  $\langle 0|L_{-n} = 0$  exprime la régularité du tenseur énergie-impulsion à l'infini.

Nous avons introduit les champs et états primaires et il est temps maintenant d'examiner quels sont les autres champs et états de la théorie, car ils ne peuvent pas

tous être primaires. On a en effet déjà remarqué que la dérivée d'un champ primaire ne l'était pas. De façon plus générale que la dérivée, qui correspond à une translation locale engendré par  $L_{-1}$ , on peut appliquer à un champ  $\phi^i$  tous les générateurs  $L_n$  des transformations conformes locales. Ces opérateurs doivent nécessairement être inclus dans l'algèbre car ils apparaissent par exemple dans le développement à courte distance de  $T(z)\phi^i(z')$ . Ils engendrés à partir des champs primaires par

$$\phi^{i,(-k_1,\dots,-k_N)}(z) = L_{-k_1}(z)\dots L_{-k_N}(z)\phi^i(z) \quad (1.22)$$

pour des entiers positifs  $k_1, \dots, k_N$ , d'où leurs noms de descendants. Comme les  $L_n$  qui sont les modes de  $T(z)$  développé autour de 0, les  $L_n(z)$  de 1.22 sont les modes pour un développement autour de  $z$ . Pour les états (donc  $z = 0$ ) on a également les descendants ou états secondaires

$$|i, (-k_1, \dots, -k_N)\rangle = L_{-k_1}\dots L_{-k_N}|i\rangle. \quad (1.23)$$

L'état  $|i, \{-k_1, \dots, -k_N\}\rangle$  n'est plus annihilé par les  $L_n$ ,  $n > 0$ , et la condition 1.21 constitue une caractérisation des états primaires. Son poids se calcule aisément par 1.17 et 1.10 :

$$L_0|i, (-k_1, \dots, -k_N)\rangle = (\Delta_i + k_1 + \dots + k_N)|i, (-k_1, \dots, -k_N)\rangle. \quad (1.24)$$

Le poids d'un descendant est donc obtenu par accroissement d'un entier positif à partir du poids  $\Delta_i$  de l'état primaire dont il est issu. C'est pourquoi on appelle aussi ces derniers, "états de plus haut poids", par référence à une convention de signe opposée<sup>2</sup>.

On a ainsi à partir de chaque champ primaire toute une série de champs dits secondaires ou descendants. Ils constituent la famille conforme de  $\phi^i$ . L'espace de tous les états engendrés par action des  $L_{-k}$  sur l'état de plus haut poids  $|i\rangle$  est appelé module de Verma et noté ici  $\mathcal{H}_i$ . C'est une représentation de l'algèbre de Virasoro. Elle est caractérisée par le poids  $\Delta_i$ .

### 1.3 Propriétés des fonctions de corrélation

Un des intérêts de ce "classement" des opérateurs en représentations de l'algèbre de Virasoro, est qu'à partir des fonctions de corrélation des champs primaires

$$\langle 0 | \prod_{i=1}^n \phi^i(z_i) | 0 \rangle \quad (1.25)$$

on peut obtenir toutes celles des descendants  $\phi^{i(\{\nu\})}$ . En effet, écrivant les descendants sous la forme 1.22 et commutant les  $L_n$  jusqu'à une extrémité grâce à 1.14, on obtient finalement la fonction de corrélation des descendants comme le résultat de l'action d'un opérateur différentiel sur la fonction de corrélation des champs primaires. Conséquence (entre autres) : des champs primaires découplés (fonction de corrélation nulle) ont des descendants également découplés, on peut donc parler de règles de sélection ou de fusion (cf note 6 page 49) pour des familles conformes entières.

<sup>2</sup> On a évidemment aussi les descendants  $\langle i, (k_1, \dots, k_N) | = \langle i | L_{k_N} \dots L_{k_1}$  pour les états sortants.

Mais on peut dire encore beaucoup plus sur les fonctions de corrélation entre champs primaires. En effet, les fonctions de corrélation doivent être invariantes par translation, dilatation et transformations conformes spéciales, les transformations projectives globales de  $Sl(2, C)$ . Ceci peut se voir en commutant leurs générateurs  $L_{-1}$ ,  $L_0$  et  $L_1$ , qui laissent le vide invariant, avec tous les opérateurs<sup>3</sup> de 1.25. On obtient ainsi trois équations différentielles des plus simples qui sont les identités de Ward projectives. Ceci contraint très fortement la forme des fonctions de corrélation. La fonction à deux points est de la forme

$$\langle \phi^1(z_1, \bar{z}_1) \phi^2(z_2, \bar{z}_2) \rangle \propto (z_1 - z_2)^{-2\Delta_1} (\bar{z}_1 - \bar{z}_2)^{-2\bar{\Delta}_1} \text{ si } \Delta_1 = \Delta_2 \text{ et } \bar{\Delta}_1 = \bar{\Delta}_2 \quad (1.26)$$

où la constante de proportionnalité peut être normalisée à un. Sinon, pour des poids différents, elle est nulle. La fonction à trois points est nécessairement de la forme

$$\langle \phi^1(z_1, \bar{z}_1) \phi^2(z_2, \bar{z}_2) \phi^3(z_3, \bar{z}_3) \rangle = C_{1,2,3} \prod_{1 \leq i < j \leq 3} (z_i - z_j)^{-\Delta_{ij}} (\bar{z}_i - \bar{z}_j)^{-\bar{\Delta}_{ij}} \quad (1.27)$$

où  $\Delta_{1,2} = \Delta_1 + \Delta_2 - \Delta_3$  et de même pour les autres  $\Delta_{ij}$ . Les constantes  $C_{1,2,3}$  qui dépendent des trois opérateurs  $\phi^1$ ,  $\phi^2$  et  $\phi^3$  ne peuvent pas être prédites par des considérations générales. Elles dépendent de la théorie considérée et sont appelées constantes de structure de la théorie. Elles constituent en fait la seule information non-triviale contenue dans les fonctions à trois points. Les fonctions d'ordre supérieur, à  $N$  points, sont de la même façon le produit :

- d'un facteur "trivial", c'est-à-dire connu grâce aux identités de Ward projectives, indépendamment de la théorie ( $(z_i - z_j)^{-\Delta_{ij}} \dots$  dans le cas  $N = 3$ ).
- d'un facteur qui dépend de la théorie considérée ( $C_{1,2,3}$  pour le fonction à 3 points) et ne peut pas être déduit des propriétés conformes générales. C'est une fonction des  $N - 3$  quotients anharmoniques  $(z_i - z_j)(z_k - z_l) / (z_i - z_l)(z_k - z_j)$  invariants par transformations projectives (C'est donc bien une constante pour  $N = 3$ ).

C'est pourquoi on fixe souvent trois des points des fonctions de corrélation. Ceci permet de connaître la fonction non triviale des  $N - 3$  quotients anharmoniques et donc toute la fonction à  $N$  points. On peut le voir autrement : de la fonction de corrélation avec trois points fixés (à 0, 1 et  $\infty$  par exemple, comme on le fait souvent) on peut déduire la fonction à  $N$  points quelconques par les trois transformations projectives qui permettent de transformer 0, 1 et  $\infty$  en trois autres points, quels qu'ils soient. Et la loi de transformation des fonctions de corrélation pour les transformations projectives globales est connue par 1.13, comme pour toute transformation conforme locale.

## 1.4 Représentations réductibles

La description des états  $|i, (-k_1, \dots, -k_N) \rangle$  par le multi-index  $(-k_1, \dots, -k_N)$  n'est pas unique, on peut en effet commuter les  $L_{-k_i}$  grâce à 1.10. On peut imposer par exemple de décrire les descendants par des  $k_i$  ordonnés, ce qui élimine les commutations possible et les ambiguïtés. On a alors, a priori, une description univoque des états du module de Verma. Et, dans le cas général, c'est bien vrai.

---

<sup>3</sup> Ces opérateurs doivent en fait vérifier 1.14 pour  $n = -1, 0, 1$  uniquement, ce qui est une contrainte moins forte que pour tout  $n$  (champs primaires). De tels opérateurs sont appelés quasi-primaires. Le tenseur énergie-impulsion  $T$  par exemple est quasi-primaire, mais il n'est pas primaire, c'est un descendant d'ordre 2 de la famille conforme de l'identité.

Cependant, pour certaines valeurs discrètes de  $\Delta$ , cela cesse de l'être. Les états  $L_{-2}|i\rangle$  et  $(L_{-1})^2|i\rangle$  par exemple ont tous les deux pour poids  $\Delta_i + 2$ . Le nombre d'états de poids  $\Delta_i + N$  est encore plus grand. Il est donc légitime de se demander si ces états ne pourraient pas être liés. Et en effet, pour certaines valeurs du poids, c'est le cas.

Pour  $N=2$  par exemple, on montre d'abord que la combinaison linéaire

$$|\chi\rangle = \left( L_{-2} + \frac{3}{2(2\Delta_i + 1)}(L_{-1})^2 \right) |i\rangle \quad (1.28)$$

a les propriétés d'un champ primaire : on vérifie en effet facilement grâce à l'algèbre de Virasoro qu'il est annihilé par les  $L_n$

$$L_n|\chi\rangle = 0 \text{ pour } n \geq 1 \quad (1.29)$$

pourvu que  $\Delta_i$  vérifie une équation du deuxième degré dont les solutions sont

$$\Delta_i = \frac{1}{16} \left( 5 - c \pm \sqrt{(c-1)(c-25)} \right). \quad (1.30)$$

Mais pour un descendant comme  $|\chi\rangle$  qui est déjà orthogonal aux états primaires  $\langle j|$  (par Eqs.1.28 et 1.21), le fait d'être aussi un état primaire (1.29) le rend également orthogonal aux descendants  $\langle j|L_{k_N}\dots L_{k_1}$ . L'état  $|\chi\rangle$  est donc finalement orthogonal à tous les états, y compris à lui-même. Il est nul au sens faible. Toutes les fonctions de corrélation contenant l'état  $|\chi\rangle$  ou le champ correspondant (ou leurs descendants) sont nulles.  $|\chi\rangle$  se découple de la théorie. On l'appelle le champ nul.

Les descendants issus de  $|i\rangle$  est donc dans ce cas une représentation réductible de l'algèbre de Virasoro. On obtient la représentation réduite en effectuant le quotient par la relation d'annulation de  $\chi$  :  $L_{-2}|i\rangle = 3(2\Delta_i + 1)/2L_{-1}^2|i\rangle$ . Quand dans la suite nous parlerons de modules de Verma, il s'agira toujours de l'espace réduit dont ont ainsi été enlevés les états de norme nulle.

Nous avons exhibé un état nul au niveau  $N = 2$ , mais il y en a beaucoup d'autres (pour  $N = 4$  par exemple on peut rechercher les combinaisons linéaires de  $L_{-4}|i\rangle$ ,  $L_{-3}L_{-1}|i\rangle$  et  $(L_{-2})^2|i\rangle$  qui soient orthogonales à tout état). Kac en a dressé la liste complète (table de Kac) [4] : pour les poids de Kac indexés par deux entiers positifs  $(n, m)$

$$\Delta(n, m) = \frac{c-1}{24} + \frac{1}{2} \left( \frac{n}{2}\alpha_+ + \frac{m}{2}\alpha_- \right)^2 \quad (1.31)$$

avec<sup>4</sup>

$$\alpha_{\pm} = \sqrt{\frac{1-c}{12}} \pm \sqrt{\frac{25-c}{12}} \quad (1.32)$$

il existe un vecteur nul au niveau  $N = nm$  donc de poids  $\Delta(n, m) + nm$ . Le cas considéré précédemment en Eq.1.28 était donc le premier cas non trivial : (1, 2) ou (2, 1). Le cas (1, 1) est trivial, c'est l'opérateur identité, de poids nul.

Un des grands intérêts de ces représentations réductibles réside dans les équations différentielles qu'on peut écrire pour toute fonction de corrélation contenant un

---

<sup>4</sup> Attention à la variabilité des conventions concernant  $\alpha_{\pm}$  : leur signe est parfois modifié,  $\alpha_-$  et  $\alpha_+$  sont parfois échangés, et dans les travaux les plus anciens [1, 5] il y a un rapport  $1/\sqrt{2}$  avec la convention moderne utilisée ici.

opérateur de ce type  $(n, m)$ . En effet la même fonction de corrélation où le champ primaire  $(n, m)$  a été remplacé par son descendant nul de poids  $\Delta(n, m) + nm$  a pour valeur zéro. Or, comme on l'a vu, cette dernière fonction de corrélation est obtenue à partir de la première par application d'un certain opérateur différentiel. Sa nullité nous donne donc une équation linéaire aux dérivées partielles d'ordre  $nm$ , appelée équation de "bootstrap".

Sa forme est en général assez compliquée à cause de l'expression du vecteur nul et du nombre de variables. Nous donnons ici l'équation de bootstrap pour la fonction à quatre points incluant un champ de type  $(1, 2)$  ou  $(2, 1)$ . Nous savons que grâce aux trois transformations projectives la fonction à quatre points peut en fait être réduite à une fonction de  $4 - 3 = 1$  variable. L'équation aux dérivées partielles peut donc dans ce cas être transformée en équation différentielle ordinaire :

$$\left( \frac{3}{2(2\Delta_i + 1)} \frac{d^2}{dz^2} + \sum_{j=1}^3 \left( \frac{1}{z - z_j} \frac{d}{dz} - \frac{\Delta_j}{(z - z_j)^2} \right) + \sum_{1 \leq k < j \leq 3} \frac{\Delta_i + \Delta_{jk}}{(z - z_j)(z - z_k)} \right) \langle \phi^i(z) \phi^1(z_1) \phi^2(z_2) \phi^3(z_3) \rangle = 0 \quad (1.33)$$

si  $\Delta_i = \Delta(1, 2)$  ou  $\Delta_i = \Delta(2, 1)$ . La solution de cette équation est proportionnelle à une fonction hypergéométrique  ${}_2F_1$  dont la variable est le quotient anharmonique  $(z - z_1)(z_2 - z_3)/(z - z_3)(z_2 - z_1)$  qui se réduit à  $z/z_2$  si on prend  $z_1 = 0$  et  $z_3 = \infty$ . Nous y reviendrons dans le prochain chapitre sur la théorie de Liouville.

Il convient de remarquer que nous contredisons ici l'affirmation générale précédente selon laquelle on ne pouvait rien dire sur la partie non-triviale des fonctions à  $N$  points. On sait par exemple ici grâce à l'annulation du vecteur nul que les fonctions à quatre points particulières incluant un opérateur de type  $(1, 2)$  ou  $(2, 1)$  sont soit nulles soit proportionnelles à une fonction hypergéométrique que l'on peut déterminer.

L'application de ces équations différentielles aux règles de fusion à l'ordre dominant (à la Wilson) permet également de montrer que la fusion de deux opérateurs de ce genre donne encore (uniquement) des opérateurs de familles dégénérées. Mais nous verrons ceci plus en détail dans les chapitres 2 et 4 où nous l'appliquerons à la théorie de Liouville.

## 1.5 Modèles minimaux

Jusqu'ici nous avons considéré une théorie dont la charge centrale  $c$  est quelconque. Nous avons uniquement spécifié les poids des représentations réductibles. Mais on sait bien que les théories pour lesquelles

$$-\frac{\alpha_-}{\alpha_+} = \frac{p}{q} \quad p, q \in N, \quad \text{donc} \quad c = 1 - \frac{6(p - q)^2}{pq},$$

ou modèles minimaux, ont des propriétés très spéciales. On peut en effet prouver que les représentations dégénérées précédentes contiennent un nombre infini de vecteurs nuls. Le nombre infini d'équations différentielles qui en découlent permettent de prouver que la fusion n'engendre qu'un nombre fini de familles conformes dans la

théorie : les opérateurs précédents de type  $(n, m)$  pour  $0 < n < p$  et  $0 < m < q$ . L'algèbre est tronquée.

Les modèles minimaux sont de la plus haute importance car ce sont eux qui décrivent les modèles de physique statistique à leurs points critiques. Comme nous l'avons dit en introduction à cette thèse, de nombreuses théories conformes ont une structure sous-jacente de groupe quantique, et c'est le cas en particulier pour les modèles minimaux qui sont caractérisés par une symétrie  $U_q(sl(2))$  avec  $q$  racine de l'unité.

De plus les modèles minimaux avec  $q = p + 1$  sont les seuls modèles unitaires à  $c < 1$ . On appelle unitaire une théorie qui possède un espace de Hilbert de métrique définie positive. Ceci impose de n'avoir que des états primaires de poids positifs (on peut voir par exemple que l'état  $L_{-1}|\Delta\rangle$  a pour norme carrée  $2\Delta$ ). Or, pour  $c < 1$  certains poids de Kac 1.31 peuvent être négatifs. Dans tout le domaine  $c < 1$ , seuls les modèles minimaux  $q = p + 1$  ont une algèbre (tronquée) d'opérateurs et d'états de poids tous positifs.

Ils sont également très importants en théorie des cordes où on a pu résoudre de tels modèles couplés à la gravité (donc une surface aléatoire ou une corde vibrante), à tous les ordres, grâce aux modèles de matrices en triangulant la surface.

Nous n'en dirons cependant pas davantage sur ce cas et nous travaillerons à charge centrale quelconque. D'une part, on pourra donner à la charge centrale les valeurs discrètes précédentes et vérifier que l'algèbre des opérateurs que nous calculons dans le chapitre 4 se tronque alors naturellement à un nombre fini de familles conformes. D'autre part, un des buts de cette thèse étant d'atteindre le régime de couplage fort de la gravité ( $c > 1$  pour la matière et donc  $C_{\text{Liouville}} < 25$ ), il est souhaitable de conserver  $c$  générique. Dans le régime de couplage fort, les poids de Kac deviennent complexes et nous démontrerons dans le dernier chapitre un théorème de troncature donnant une sous-algèbre fermée d'opérateurs de poids réels. Comme celle des modèles minimaux, cette troncature n'a lieu que pour certaines valeurs discrètes de la charge centrale, et les deux troncatures pourraient être reliées.

# Chapitre 2

## THEORIE DE LIOUVILLE : INTRODUCTION

L'action de Liouville décrit la dynamique du facteur conforme dans les cordes non critiques. En effet, en dehors des dimensions critiques ( $d = 26$  pour la corde bosonique et  $d = 10$  pour la supercorde), l'anomalie de Weyl rend dynamique la métrique bidimensionnelle qui a été introduite classiquement comme un simple multiplicateur de Lagrange. Il s'agit donc d'une théorie de gravitation quantique bidimensionnelle. Le degré de liberté de la métrique qui devient dynamique est, dans la jauge conforme, le facteur conforme dont l'action est celle de Liouville. Il permet de restaurer l'invariance conforme de la théorie : dans le cas bosonique les fantômes contribuent pour  $-26$  à l'anomalie conforme ou charge centrale, et pour des champs de matière de charge centrale  $c$  le facteur conforme aura alors une charge centrale<sup>1</sup>  $C = 26 - c$ . Bien qu'issue de la quantification des champs de matière, la théorie de Liouville peut être traitée classiquement, ce que nous faisons ici dans une première partie. Nous présentons ensuite dans une deuxième partie le schéma de quantification canonique de Gervais et Neveu.

La solution classique de l'équation de Liouville admet une décomposition chirale. L'équation Liouville est alors équivalente à une équation de Schrödinger pour les composantes chirales. Son potentiel est le tenseur énergie-impulsion. La structure de crochets de Poisson canoniques montre ensuite que les dérivées logarithmiques des composantes chirales sont des champs libres (transformation de Bäcklund).

Le schéma de quantification de Gervais et Neveu consiste à effectuer une quantification canonique sur ces champs libres. Les composantes chirales de la métrique sont ensuite reconstruits à partir des opérateurs quantiques de champs libres. On choisit leur constante de normalisation de manière à ce qu'ils soient des champs conformes primaires de type (2,1) ou (1,2). L'équation différentielle de "bootstrap" (ou équation de Ward liée au découplage du vecteur nul) qu'ils vérifient alors, apparaît comme la version quantique de l'équation de Schrödinger classique. Il est finalement possible de construire à partir de ces composantes chirales un champ physique local de Liouville. De la même façon que l'équation de Schrödinger classique était équivalente à l'équation de Liouville classique, l'équation de bootstrap (quantique) est équivalente à une équation de Liouville quantique pour ce champ de Liouville local.

---

<sup>1</sup> Nous désignons toujours par  $c$  la charge centrale de la "matière" et par  $C$  celle de la gravité



Cet opérateur local 2.49 n'est cependant valable que pour le couplage faible. Dans le régime de couplage fort, il reste local mais de poids complexe. Il existe néanmoins dans ce cas des opérateurs physiques locaux de poids réels, mais uniquement dans les dimensions spéciales 7, 13, 19 comme nous le verrons dans le chapitre 5.

On peut citer deux justifications de ce schéma de quantification, obtenues par Gervais et Schnittger. Comme cela a été évoqué précédemment, ils ont montré que le champ local obtenu vérifiait bien une équation de Liouville quantique [7]. Ceci nécessite cependant un travail assez élaboré, puisque quantiquement les exponentielles du champ de Liouville obtenues à partir des familles dégénérées de BPZ (ce qui correspond à des spins demi-entiers comme nous le verrons) ont un spectre discret de moments possibles. Pour obtenir une équation de Liouville quantique, il a donc d'abord fallu construire des exponentielles du champ de Liouville avec moments continus (donc des spins continus) pour pouvoir obtenir par dérivation le champ lui-même et l'équation quantique qu'il vérifie. Mais il est beaucoup plus facile (sans généralisation à des spins continus) de prouver que les exponentielles du champ de Liouville vérifient une équation de Hirota quantique, ce qu'ils avaient fait précédemment en ref.[8]. On sait en effet que, classiquement, l'équation de Liouville écrite en termes du champ de Liouville  $\Phi$  est équivalente à une équation de Hirota qui s'exprime uniquement en termes de son exponentielle  $e^{-\Phi/2}$ .

Il convient aussi de mentionner deux approches concurrentes de la quantification [9, 10]. J.-L. Gervais et J. Schnittger [8] ont montré qu'elles étaient équivalentes à celle présentée ici. Elles ont conduit à un formalisme un peu plus compliqué et à un moindre avancement de la résolution.

Par ailleurs, le lecteur intéressé par le cas supersymétrique pourra consulter le travail initial de Babelon en ref.[11] et les travaux de Gervais et coll. en refs.[12, 13].

La première partie de ce chapitre traite de la solution classique, connue depuis longtemps. Nous mettons en évidence sa symétrie  $Sl(2)$  qui donnera naissance à la symétrie  $U_q(sl(2))$  dans le cas quantique (voir la partie 4.2). La deuxième partie présente la quantification canonique menée à bien par J.-L. Gervais et A. Neveu [14, 15, 16], travail poursuivi par J.-L. Gervais seul ou en collaboration avec A. Bilal, E. Cremmer et B. Rostand [12, 13, 17, 18, 19]. Nous terminons par le calcul de  $\gamma_{\text{string}}$  qui peut être calculé dans cette approche, redonnant la valeur de KPZ.

Le chapitre 4 traitera de la suite de la résolution (cas quantique) à laquelle j'ai personnellement contribué.

## 2.1 Solution classique

L'action de Liouville s'écrit en métrique euclidienne

$$S_L[\Phi] = \frac{1}{16\pi\gamma} \int d\sigma d\tau \left( \frac{1}{2}(\partial_\tau \Phi)^2 + \frac{1}{2}(\partial_\sigma \Phi)^2 + \mu e^\Phi \right). \quad (2.1)$$

Nous nous plaçons sur une surface cylindrique sur laquelle  $\sigma$  est périodique de période  $2\pi$ . Ce cylindre peut être une poignée d'une surface de genre quelconque. Ce choix n'est possible globalement que dans le cas du tore, mais nous ne nous préoccupons le plus souvent que des propriétés locales de la théorie.

Pour une corde bosonique en dimension  $d$ , il ressort de l'intégrale fonctionnelle de Polyakov une action de Liouville 2.1 avec constante de couplage  $\gamma = 3/(26 - d)$ .

Nous préférons renormer le champ  $\Phi$  par  $\Phi \rightarrow 2\sqrt{\gamma}\Phi$ , ce qui fait apparaître la constante de couplage  $\gamma$  dans l'exponentielle. Cette normalisation est équivalente à la première, mais la solution, dans cette normalisation, a l'avantage d'être la limite classique de la solution quantique que nous verrons dans la prochaine partie. De plus, transformant  $\Phi$  en  $\Phi - \ln(\mu)/2\sqrt{\gamma}$ , nous nous plaçons en  $\mu = 1$  (nous verrons plus tard comment on peut retrouver le cas  $\mu$  quelconque), et obtenons <sup>2</sup>

$$S_L[\Phi] = \frac{1}{4\pi} \int d\sigma d\tau \left( \frac{1}{2}(\partial_\tau \Phi)^2 + \frac{1}{2}(\partial_\sigma \Phi)^2 + e^{2\sqrt{\gamma}\Phi} \right). \quad (2.2)$$

On en déduit l'équation de Liouville

$$\partial_\sigma^2 \Phi + \partial_\tau^2 \Phi = 2\sqrt{\gamma}e^{2\sqrt{\gamma}\Phi}. \quad (2.3)$$

Dans le système de coordonnées

$$\sigma_\pm = \sigma \pm i\tau,$$

on a l'équation équivalente

$$4\partial_{\sigma_+}\partial_{\sigma_-}\Phi + 2\sqrt{\gamma}e^{2\sqrt{\gamma}\Phi} = 0. \quad (2.4)$$

On écrit habituellement sa solution bien connue sous la forme

$$\Phi(\sigma_+, \sigma_-) = \frac{1}{2\sqrt{\gamma}} \ln \left( \frac{2A'(\sigma_+)B'(\sigma_-)}{\gamma(A(\sigma_+) - B(\sigma_-))^2} \right) \quad (2.5)$$

où  $A$  et  $B$  sont des fonctions quelconques d'une seule variable, et où  $A'$  et  $B'$  désignent leurs dérivées. Ce n'est cependant pas la forme la plus adaptée à la quantification que nous voulons effectuer prochainement. Nous la transformons donc en écrivant

$$f_1(\sigma_+) = \frac{1}{\sqrt{A'(\sigma_+)}} , f_2(\sigma_+) = \frac{A(\sigma_+)}{\sqrt{A'(\sigma_+)}} , \text{ ou réciproquement } A(\sigma_+) = \frac{f_1(\sigma_+)}{f_2(\sigma_+)}$$

et de même pour  $B$  et  $\bar{f}_{1,2}$ . Par cette transformation, le choix d'une fonction  $A$  quelconque est équivalent au choix de deux fonctions  $f_1$  et  $f_2$  soumises à la seule contrainte d'avoir un Wronskien constant (que nous normalisons à 1) :

$$f_1 f_2' - f_2 f_1' = 1 \quad \text{et} \quad \bar{f}_1 \bar{f}_2' - \bar{f}_2 \bar{f}_1' = 1. \quad (2.6)$$

La solution de l'équation de Liouville s'écrit alors en termes de ces fonctions :

$$e^{-\sqrt{\gamma}\Phi} = i\sqrt{\gamma} \left( f_1(\sigma_+) \bar{f}_2(\sigma_-) - f_2(\sigma_+) \bar{f}_1(\sigma_-) \right) / 2 \quad (2.7)$$

où les quatre fonctions  $f_{1,2}, \bar{f}_{1,2}$  sont quelconques, soumises à la seule contrainte 2.6.

---

<sup>2</sup> (2.2) n'est pas la même fonctionnelle  $S_L$  de  $\Phi$ , puisque c'est précisément la même fonctionnelle de  $2\sqrt{\gamma}\Phi - \ln(\mu)$ , mais on garde la même notation par souci de simplicité.

On peut également obtenir 2.7 directement en montrant que l'équation de Liouville 2.4 a pour conséquence les deux équations aux dérivées partielles dans les variables  $\sigma_+$  et  $\sigma_-$

$$\left(-\frac{\partial^2}{\partial\sigma_+^2} + T(\sigma_+)\right) e^{-\sqrt{\gamma}\Phi(\sigma_+, \sigma_-)} = 0 = \left(-\frac{\partial^2}{\partial\sigma_-^2} + \bar{T}(\sigma_-)\right) e^{-\sqrt{\gamma}\Phi(\sigma_+, \sigma_-)} \quad (2.8)$$

pour des potentiels  $T, \bar{T}$  quelconques. On peut, à partir de ces équations aux dérivées partielles, écrire deux équations de Schrödinger pour des fonctions d'une variable (de solutions  $f_1$  et  $f_2$  pour la première,  $\bar{f}_1$  et  $\bar{f}_2$  pour la deuxième)<sup>3</sup>

$$\left(-\frac{d^2}{d\sigma_+^2} + T(\sigma_+)\right) f_{1,2}(\sigma_+) = 0 = \left(-\frac{d^2}{d\sigma_-^2} + \bar{T}(\sigma_-)\right) \bar{f}_{1,2}(\sigma_-) \quad (2.9)$$

et on conclut que  $e^{-\Phi/2}$  est une combinaison linéaire de produits de  $f_{1,2}$  et  $\bar{f}_{1,2}$ , ce qui donne 2.7.

D'après la note précédente on sait que ces potentiels  $T(\sigma_+)$  et  $\bar{T}(\sigma_-)$  sont fonction de  $f_{1,2}$  et  $\bar{f}_{1,2}$  (et de leurs dérivées), ou du champ  $\Phi$ , et le calcul montre qu'ils ne sont pas autre chose que les deux composantes chirales du tenseur énergie-impulsion. Partant des crochets canoniques entre le champ  $\Phi$  et son champ conjugué on peut ensuite calculer ceux de  $T(\sigma_+)$  et  $\bar{T}(\sigma_-)$ . On obtient

$$\{T(\sigma_+), T(\sigma_+)\}_{\tau=\tau'} = -2\pi\gamma\delta'''(\sigma_+ - \sigma_+') + 4\pi\gamma(\partial_{\sigma_+} - \partial_{\sigma_+'}) (T(\sigma_+)\delta(\sigma_+ - \sigma_')). \quad (2.10)$$

En décomposant le potentiel/tenseur énergie-impulsion  $T$  périodique (c'est une fonction du champ physique  $\Phi$  lui-même périodique) en série de Fourier<sup>4</sup> :

$$L_m = \frac{1}{4\pi\gamma} \int_0^{2\pi} d\sigma T(\sigma) e^{im\sigma} + \frac{1}{8\gamma} \delta_{m,0}, \quad (2.11)$$

on obtient de manière équivalente

$$i\{L_m, L_n\} = (m - n)L_{m+n} + C \frac{m^3 - m}{12} \delta_{m,-n}, \quad C = \frac{3}{\gamma}. \quad (2.12)$$

On voit donc apparaître l'algèbre de Virasoro avec une charge centrale  $C$ , déjà au niveau classique.

On montre ensuite que les dérivées logarithmiques des champs  $f_1$  et  $f_2$  sont des champs libres :

$$P^{(1)}(\sigma_+) \equiv f_1'(\sigma_+)/\sqrt{\gamma}f_1(\sigma_+), \quad P^{(2)}(\sigma_+) \equiv f_2'(\sigma_+)/\sqrt{\gamma}f_2(\sigma_+) \quad (2.13)$$

---

<sup>3</sup> Pour deux fonctions  $f_1$  et  $f_2$  quelconques, il existe toujours une équation différentielle à coefficients non constants dont elles sont solutions. Les coefficients dépendent évidemment de  $f_{1,2}$ , et celui du terme d'ordre 1 est proportionnel à la dérivée du Wronskien de  $f_1$  et  $f_2$ . Ici, se donnant deux fonctions  $f_{1,2}$  quelconques, dire qu'il existe un potentiel  $T$  pour lequel elles vérifient une équation de Schrödinger (2.9), revient donc uniquement à dire qu'elles ont un Wronskien constant (2.6). Ceci prouve l'équivalence de la solution ainsi obtenue avec la précédente. Et ce potentiel  $T$  est fonction de  $f_1$  et  $f_2$  (c'est tout simplement  $f_1''/f_1 = f_2''/f_2$ ).

<sup>4</sup> Attention, nous sommes ici sur le cylindre alors que 1.8 dans le chapitre précédent a été écrit sur le plan complexe.

ont des crochets de Poisson de champs libres :

$$\{P^{(i)}(\sigma_+), P^{(i)}(\sigma_+')\}_{\tau=\tau'} = 2\pi\delta'(\sigma_+ - \sigma_+') \text{ pour } i = 1 \text{ ou } 2.$$

Les champs  $f_{1,2}$ , solutions d'une équation différentielle à potentiel périodique  $T$  ont a priori une monodromie non triviale, qu'on choisit ici de diagonaliser (voir la discussion de la monodromie dans le chapitre suivant et en particulier la note 5 page 34). Ils sont donc périodiques à une constante multiplicative près, et leurs dérivées logarithmiques  $P^{(1,2)}$  sont périodiques. On peut alors les décomposer en série de Fourier

$$P^{(i)}(\sigma) = \sum_{n=-\infty}^{\infty} e^{-in\sigma} p_n^{(i)}, \quad i = 1, 2. \quad (2.14)$$

On en déduit les crochets de Poisson

$$i\{p_m^{(i)}, p_n^{(i)}\} = m\delta_{m,-n}, \quad i = 1, 2. \quad (2.15)$$

Les champs  $f_{1,2}$  sont soumis à une équation de Schrödinger 2.8, on en déduit que leurs dérivées logarithmiques  $P^{(1,2)}$  vérifient une équation de Ricatti :

$$T(\sigma_+) = \gamma [P^{(1)}(\sigma_+)]^2 + \sqrt{\gamma} [P^{(1)}(\sigma_+)]' = \gamma [P^{(2)}(\sigma_+)]^2 + \sqrt{\gamma} [P^{(2)}(\sigma_+)]'. \quad (2.16)$$

Nous devons ici souligner que, bien que champs libres tous les deux,  $P^{(1)}$  et  $P^{(2)}$  ne sont pas indépendants<sup>5</sup>. Ils sont liées par l'équation de Ricatti 2.16 dont ils sont les deux solutions. Nous rappelons que cette équation de Ricatti provient de l'équation de l'équation de Schrödinger qui est elle-même équivalente à l'équation de Liouville. L'existence de ces deux champs libres est une caractéristique fondamentale de la théorie. Ils sont en revanche indépendants des champs  $\bar{P}^{(1,2)}$  dérivés parallèlement de  $\bar{f}_{1,2}$ .

L'équation de Ricatti 2.16 permet de calculer les coefficients de Fourier de  $T$  en fonction des modes de  $P^{(1,2)}$  :

$$L_n = \left( \sum_m p_m^{(i)} p_{n-m}^{(i)} - in p_n^{(i)} / \sqrt{\gamma} \right) / 2 + \delta_{n,0} / 8 \quad (2.17)$$

pour  $i = 1$  ou  $2$ , de manière équivalente.

On a maintenant tous les outils pour, remontant aux champs  $f_{1,2}$ , montrer que ce sont des champs primaires (classiques) pour l'algèbre conforme (classique). De 2.13 on déduit

$$f_i(\sigma_+) = d_i e^{\sqrt{\gamma} \left( q_0^{(i)} + p_0^{(i)} \sigma_+ + i \sum_{n \neq 0} e^{-in\sigma_+} p_n^{(i)} / n \right)} \quad (2.18)$$

où  $d_i e^{\sqrt{\gamma} q_0^{(i)}}$  est la constante d'intégration :  $d_i$  ne dépend que de  $p_0^{(i)}$ , et  $q_0^{(i)}$  est la position du centre de masse de la corde (classique). Il n'est donc pas étonnant de poser

$$\{q_0^{(i)}, p_0^{(i)}\} = 1. \quad (2.19)$$

---

<sup>5</sup> Les crochets de Poisson de  $P^{(1)}$  avec  $P^{(2)}$  sont compliqués, contrairement à ceux de leurs exponentielles  $f_{1,2}$ , qui ont une expression simple et fermée (i.e. en termes de  $f_1$  et  $f_2$  elles-mêmes) : elle est donnée par le deuxième ordre du développement classique de la matrice d'échange quantique.

Ceci donne précisément des champs  $f_{1,2}$  primaires, de poids  $-1/2$  : à l'aide des équations 2.15, 2.17, on montre que

$$i \{L_n, f_i(\sigma_+)\} = e^{in\sigma_+} (-id_{\sigma_+} + n\Delta) f_i(\sigma_+) , \quad \Delta = -1/2. \quad (2.20)$$

C'est l'équivalent classique de la relation de commutation 1.14 qui caractérise les champs primaires quantiques. Le champ  $e^{-\Phi/2}$  est donc de poids  $(-1/2, -1/2)$ . Pour cette théorie classique on peut en déduire directement que le terme cosmologique  $e^\Phi$  est de poids  $(1, 1)$ . Ceci fait de  $e^\Phi d\sigma_+ d\sigma_-$  un invariant pour les transformations conformes. C'est nécessaire pour pouvoir l'intégrer et l'inclure dans une action invariante conforme. Il sera fondamental au niveau quantique de chercher à obtenir des champs primaires (de poids modifié) qui permettent de construire un terme cosmologique de poids  $(1, 1)$ , pour pouvoir l'intégrer sur la surface d'univers.

Nous terminons cette partie sur la solution classique en exhibant sa symétrie  $Sl(2)$ . Elle sera transformée au niveau quantique en une symétrie  $U_q(sl(2))$ . Cette symétrie de groupe quantique sera de la plus haute importance pour la résolution de la théorie.

L'équation de Riccati 2.16 est l'équivalent en termes de  $P^{(1,2)}$  de l'équation de Schrödinger 2.8 en termes de  $f_{1,2}$ . On passe de l'une à l'autre par la transformation 2.13 de  $f_{1,2}$  en  $P^{(1,2)}$ . Elles ont toutes les deux la propriété très importante d'avoir deux solutions indépendantes. Ces deux solutions  $f_1$  et  $f_2$  sont ici traitées de façon symétrique. C'est un point clé qui distingue cette approche en particulier de celle du gaz de Coulomb où un des deux champs libres est privilégié (cf [5] par exemple). On voit ainsi apparaître une invariance  $Sl(2)$  de la solution 2.7 qui peut être écrite schématiquement

$$e^{-\sqrt{\gamma}\Phi} \propto (\bar{f}_1 \ \bar{f}_2) \begin{pmatrix} 0 & -1 \\ 1 & 0 \end{pmatrix} \begin{pmatrix} f_2 \\ f_1 \end{pmatrix}$$

et n'est donc pas modifiée par transformation  $Sl(2)$  simultanée de  $f_{1,2}$  et  $\bar{f}_{1,2}$  grâce à l'identité

$$M^t \begin{pmatrix} 0 & -1 \\ 1 & 0 \end{pmatrix} M = \begin{pmatrix} 0 & -1 \\ 1 & 0 \end{pmatrix} \text{ pour } M \in Sl(2).$$

En élevant à la puissance  $2J$  l'équation 2.7 on obtient aussi des représentations de spin  $J$  de  $Sl(2)$ , combinées en  $e^{-2J\sqrt{\gamma}\Phi}$ , singlet de  $Sl(2)$  :

$$e^{-2J\sqrt{\gamma}\Phi} \propto \sum_{M=-J}^J (-1)^{J-M} f_M^{(J)}(\sigma_+) \bar{f}_M^{(J)}(\sigma_-) \quad (2.21)$$

avec

$$f_M^{(J)} \equiv \sqrt{\binom{2J}{J+M}} (f_1)^{J-M} (f_2)^{J+M} , \quad \bar{f}_M^{(J)} \equiv \sqrt{\binom{2J}{J+M}} (\bar{f}_1)^{J+M} (\bar{f}_2)^{J-M} . \quad (2.22)$$

Ceci peut être étendu à des spins  $J$  négatifs en continuant les coefficients du binome et en étendant cependant la somme à un domaine infini ( $M > J$  ou  $M < J$ ). On peut ainsi écrire le terme cosmologique  $e^{2\sqrt{\gamma}\Phi}$  lui-même comme singlet obtenu à partir d'une représentation (infinie) de  $Sl(2)$ .

## 2.2 Quantification

On procède à la quantification canonique en remplaçant les crochets de Poisson par des commutateurs (fois  $-i$ ). On le fait au niveau des deux champs libres  $P^{(1)}$  et  $P^{(2)}$  :

$$[p_n^{(i)}, p_m^{(i)}] = n\gamma\delta_{n,-m} \quad , \quad i = 1, 2 \quad (2.23)$$

à partir desquels nous allons ensuite reconstruire les opérateurs chiraux quantiques (et de même pour l'autre chiralité que nous laissons donc de côté pour le moment). Il y a un ordre normal par rapport aux modes  $p_n^{(1)}$  et un autre par rapport aux  $p_n^{(2)}$ . Le lien 2.17 entre les  $L_n$  et les  $p_n^{(i)}$  est modifié par l'ordre normal en :

$$L_n = : \left( \sum_m p_m^{(i)} p_{n-m}^{(i)} - in p_n^{(i)} / \sqrt{\gamma} \right) : / 2 + \delta_{n,0} / 8 \quad , \quad i = 1, 2 \quad (2.24)$$

ce qui donne une algèbre de Virasoro quantique avec une charge centrale modifiée

$$C = 1 + 3/\gamma. \quad (2.25)$$

Pour une charge centrale de la matière égale à  $c$ , l'annulation de la charge centrale totale indique que la constante de couplage vaut  $\gamma = 3/(25 - d)$ . La quantification du champ de Liouville amène donc une renormalisation de la constante de couplage puisqu'on avait classiquement  $\gamma = 3/(26 - d)$ . Ceci sera retrouvé plus tard par DDK [21, 22] pour la quantification par intégrale fonctionnelle, la renormalisation de  $\gamma$  apparaissant comme le résultat du traitement correct de la mesure d'intégration sur  $\Phi$ .

Il faut ensuite reconstruire à partir de leurs dérivées logarithmiques  $P^{(1,2)}$  les composantes chirales que nous notons  $\psi_{1,2}$  dans le cas quantique. On prend pour définition de  $\psi_{1,2}$  la version quantique de 2.18 :

$$\psi_i(\sigma) = d_i e^{\sqrt{h/2\pi} q_0^{(i)}} : e^{\sqrt{h/2\pi} (p_0^{(i)} \sigma + i \sum_{n \neq 0} e^{-in\sigma} p_n^{(i)}/n)} : \quad , \quad i = 1, 2. \quad (2.26)$$

L'intérêt d'introduire la constante devant le champ libre sous la forme  $\sqrt{h/2\pi}$  apparaîtra plus tard. Cette constante était  $\sqrt{\gamma}$  au niveau classique. Au niveau quantique, elle peut être modifiée, et on suppose donc pour le moment  $h$  quelconque, non reliée à la constante de couplage  $\gamma$  ou à la charge centrale. Le crochet de  $q_0$  avec  $p_0$  déduit de 2.19

$$[q_0^{(i)}, p_n^{(i)}] = i\delta_{n,0} \quad , \quad i = 1, 2 \quad (2.27)$$

fait de  $e^{\dots q_0}$  un opérateur d'accroissement de  $p_0$ . Ceci permet de prouver pour  $\psi_{1,2}$  les relations de commutation 1.14 montrant que ce sont des champs primaires (quantiques) de poids

$$-\frac{1}{2} \left( \sqrt{\frac{h}{2\pi\gamma}} + \frac{h}{2\pi} \right). \quad (2.28)$$

Ces opérateurs engendrent par développement à courte distance toute une algèbre d'opérateurs. Comme nous l'avons déjà signalé dans le cas classique, cette algèbre doit contenir (au moins) un opérateur marginal de poids (1,1) pour qu'il puisse être intégré sur la surface-univers (terme cosmologique). De plus on ne sait pas, tout au moins dans cette approche, calculer le développement à courte distance d'opérateurs génériques. Tout ceci nous conduit à spécifier  $h$  : il apparaît que pour  $h$  solution de

$$\frac{h}{\pi} + \frac{\pi}{h} = \frac{1}{2\gamma} - 2 = \frac{C - 13}{6} \quad (2.29)$$

les champs  $\psi_{1,2}$  (ou plus précisément les fonctions à quatre points dont un des opérateurs de vertex est un champ  $\psi_{1,2}$  avec un tel  $h$ ) vérifient une équation linéaire du deuxième ordre. Ceci permet de calculer l’algèbre de ces opérateurs, au sens traditionnel de la théorie quantique des champs (développement à courte distance), et mieux, au sens de Moore et Seiberg que nous verrons dans le chapitre suivant (fusion et échange, exacts “à toute distance”). Il sera ensuite possible, chose fondamentale, de construire un opérateur de poids  $(1,1)$  à partir de ces  $\psi_{1,2}$  (moyennant l’introduction de spins négatifs, cf plus loin).

Ces opérateurs particuliers, définis par un  $h$  particulier ou de manière équivalente par un poids conforme bien particulier, ne sont en fait pas autre chose que ceux de la table de Kac. L’équation du deuxième degré 2.29 a deux solutions

$$h_{\pm} = \frac{\pi}{12}(C - 13 \pm \sqrt{(C - 25)(C - 1)}) = \frac{\pi}{4\gamma}(1 - 4\gamma \pm \sqrt{1 - 8\gamma}) \quad (2.30)$$

qui donnent respectivement pour poids 2.28 les poids de Kac  $\Delta(1, 2)$  et  $\Delta(2, 1)$ , donc les opérateurs dégénérés<sup>6</sup>  $(1, 2)$ <sup>7</sup> et  $(2, 1)$  dans la classification de BPZ [1], cf partie 1.4 page 13. Nous les noterons plus souvent

$$h \equiv h_- \quad , \quad \hat{h} \equiv h_+ \quad (2.31)$$

et dénoterons également par un chapeau tout ce qui a trait à  $\hat{h}$  (comme les familles dégénérées  $(n, 1)$ ) et sans chapeau ce qui est lié à  $h$  (opérateurs  $(1, n)$ ). Nous verrons dans le chapitre 4 que la symétrie  $Sl(2)$  mise en évidence pour la solution classique est déformée dans le cas quantique en une double symétrie de groupe quantique  $U_q(sl(2)) \odot U_{\hat{q}}(sl(2))$ . Les paramètres de déformation de ces groupes quantiques seront  $h$  et  $\hat{h}$  qui sont reliés aux paramètres équivalents  $q$  et  $\hat{q}$  par  $q = e^{ih}$  et  $\hat{q} = e^{i\hat{h}}$ . Ils sont reliés aux paramètres  $\alpha_{\pm}$  des poids de Kac par

$$h = \frac{\alpha_-^2}{2} = \frac{\alpha_-}{\alpha_+} \quad , \quad \hat{h} = \frac{\alpha_+^2}{2} = \frac{\alpha_+}{\alpha_-} \quad (2.32)$$

et vérifient les propriétés suivantes que nous utiliserons souvent

$$h\hat{h} = \pi^2 \left( \text{ou } \frac{\pi}{h} = \frac{\hat{h}}{\pi} \right) \quad \text{et} \quad \frac{h}{\pi} + \frac{\hat{h}}{\pi} = \frac{C - 13}{6}. \quad (2.33)$$

Calculant d’abord les fonctions à quatre points contenant (au moins) un opérateur de type  $(1, 2)$  ou  $(2, 1)$ , puis le lien entre ces fonctions, on trouve comme BPZ que le développement à courte distance (et même la fusion ou l’échange) de tels opérateurs de type  $(n, m)$  est fermée. On peut aussi calculer l’algèbre de ces opérateurs avec les opérateurs les plus généraux (hors table de Kac), nous verrons ceci en détail dans le chapitre 4. Poursuivant le parallèle avec l’approche de BPZ par les théories conformes, on voit que l’équation différentielle en question n’est pas autre chose que l’identité de Ward qui exprime le découplage du vecteur nul de niveau 2 de la représentation dégénérée  $(1, 2)$  ou  $(2, 1)$  (cf Eq.1.33 ds la partie 2.1). On peut

<sup>6</sup> Ou de façon plus juste dans une représentation dégénérée de l’algèbre de Virasoro.

<sup>7</sup> La notation ne doit pas amener de confusion entre les poids conformes  $(\Delta, \bar{\Delta})$  réels et les entiers  $(n, m)$  numérotant les représentations dégénérées de l’algèbre conforme dans BPZ.

également obtenir les équations différentielles de degré plus élevé correspondant aux familles suivantes.

On peut se demander quels sont les intérêts de cette approche, par rapport à celle purement conforme de BPZ. Ils sont multiples. Son premier mérite est de fournir une réalisation explicite des opérateurs dégénérés, de leur algèbre conforme (avec les  $L_n$ ) et même de l'équation différentielle. Tout ceci a en effet été vérifié de façon tout à fait explicite par J.-L. Gervais et A. Neveu[16]<sup>8</sup>, en partant de l'expression des  $\psi$  et des  $L_n$  en termes des champs libres, dès 1983 parallèlement aux travaux de BPZ. Son deuxième mérite, et non des moindres, est de faire apparaître pour chaque famille de BPZ, pour la famille (1, 2) par exemple, les deux opérateurs de la théorie  $\psi_1$  et  $\psi_2$  et de les traiter sur un pied d'égalité<sup>9</sup>. L'origine de cette duplication réside dans les équations dont nous examinons les solutions : au niveau classique, les équations de Schrödinger ou Ricatti avaient deux solutions, d'où les deux champs libres  $P^{(1,2)}$  et les deux champs  $\psi_{1,2}$ . Au niveau quantique, l'équation de Ward, équivalent quantique de l'équation de Schrödinger, a aussi un espace des solutions de dimension deux (les blocs conformes en langage "conforme") qui correspondent chacune à l'insertion d'un opérateur différent (en langage "opérateur de vertex"). Dans l'autre grande approche qui a mené à une construction explicite des opérateurs, celle du gaz de Coulomb [5], la symétrie entre les deux champs libres est brisée : on en introduit un seul qui engendre de premiers opérateurs sur lesquels il faut ensuite agir par des opérateurs d'écran (dits de "screening" en anglais) pour obtenir tous ceux de la théorie, faute de quoi on se limiterait à un théorie triviale avec des fonctions de corrélation presque toutes nulles<sup>10</sup>. Ici, en revanche, les opérateurs  $\psi_1$  et  $\psi_2$  engendrent par fusion tous les opérateurs de la théorie, et la symétrie entre eux deux est conservée en permanence. Comme nous l'avons déjà signalé dans le cas classique pour  $Sl(2)$ , ceci est à l'origine de la symétrie (interne)  $U_q(sl(2))$  de la théorie qui s'avérera d'une richesse extrême ainsi que d'une grande aide pour la résoudre. Cette symétrie n'apparaît que difficilement dans l'approche traditionnelle du gaz de Coulomb fondée sur la représentation intégrale des fonctions de Green. Elle a néanmoins pu être explicitée en refs.[32, 7] dans une approche opératorielle du gaz de Coulomb en s'inspirant de la construction présente.

Après toutes ces considérations générales, rentrons un peu plus dans les détails en cherchant toutefois à ne pas être trop technique. La solution classique et la structure de crochets de Poisson sont étudiées en ref.[14], la quantification en ref.[15]

---

<sup>8</sup> Attention au changement de notations. Avant la ref.[17] (où on trouvera la correspondance, p.261, note 2), et en particulier dans [14, 15, 16],  $\gamma$  est noté  $\hbar$ ,  $h_{\pm}$  correspond à  $\hbar\eta_{\pm}^2$ ...

<sup>9</sup> Il faut bien distinguer les trois duplications (ou symétries) successives. La première est la décomposition chirale on ne peut plus habituelle entre les modes gauches qui donnent  $\psi(\sigma_+)$  et les modes droits qui donnent  $\bar{\psi}(\sigma_-)$ . Nous ne considérons souvent qu'une chiralité, l'autre étant identique. La deuxième correspond aux deux charges d'écran  $\alpha_{\pm}$  de BPZ [1] ou de ref.[5], ou de manière équivalente ici aux deux paramètres  $h_{\pm} = \pi\alpha_{\pm}^2/2$ . Elle provient des deux solutions de l'équation du deuxième degré 2.29 pour  $h_{\pm}$  ou de l'équation  $-\alpha(\alpha + \sqrt{(1-C)/3})/2 = 1$  pour  $\alpha_{\pm}$ . Elle engendre les familles (1, 2) et (2, 1) de BPZ puis les suivantes  $(n, m)$  par fusion. La troisième symétrie discutée ici entre  $\psi_1$  et  $\psi_2$  est moins connue (car brisée ailleurs) et n'a rien à voir avec la deuxième : comme on a des  $\psi_1$  et  $\psi_2$  pour  $h_-$  donc la famille (1, 2), on a des champs similaires notés  $\hat{\psi}_1$  et  $\hat{\psi}_2$  pour  $h_+$  c'est-à-dire la famille (2, 1) (et des  $\bar{\psi}_1$  et  $\bar{\psi}_2$ ,  $\widehat{\bar{\psi}}_1$  et  $\widehat{\bar{\psi}}_2$  pour l'autre chiralité)

<sup>10</sup> Il n'y a aucune contradiction à pouvoir là-bas faire une construction à partir d'un seul champ libre et ici une construction équivalente à partir de deux champs libres, puisqu'en fait, comme on l'a répété, ils sont reliés (par 2.24 pour leurs modes au niveau quantique).



et l'équation différentielle est obtenue en ref.[16]. Le lecteur intéressé pourra s'y référer, et nous ne la réécrivons pas car ce n'est pas autre chose que l'équation de bootstrap 1.33. La (légère) différence dans leurs expressions est due à l'utilisation des coordonnées  $\sigma_{\pm}$  sur le cylindre en ref.[16] et ici, et des coordonnées  $z, \bar{z}$  du plan complexe dans le premier chapitre. Nous donnons juste la solution :

$$\begin{aligned} \langle \varpi_1 | V_{\pm 1/2}^{(1/2)}(x) A_{\Delta}(x') | \varpi_4 \rangle &= e^{ix'(\varpi_4^2 - \varpi_1^2)h/4\pi} e^{i(x'-x)(-1/2 \mp \varpi_1)h/2\pi} \\ &\times (1 - e^{-i(x-x')})^{\beta} F(a_{\pm}, b_{\pm}; c_{\pm}; e^{i(x'-x)}), \end{aligned} \quad (2.34)$$

$$\begin{aligned} a_{\pm} &= \beta - \frac{h}{2\pi} \pm h \left( \frac{\varpi_4 - \varpi_1}{2\pi} \right); & b_{\pm} &= \beta - \frac{h}{2\pi} \mp h \left( \frac{\varpi_4 + \varpi_1}{2\pi} \right); & c_{\pm} &= 1 \mp \frac{h\varpi_1}{\pi}; \\ \beta &= \frac{1}{2}(1 + h/\pi) \left( 1 - \sqrt{1 - \frac{8h\Delta}{2\pi(1 + h/\pi)^2}} \right); \end{aligned} \quad (2.35)$$

qui nécessite quelques explications. Tout d'abord les opérateurs  $V_{\pm 1/2}^{(1/2)}$  ne sont pas autre chose que  $\psi_1 \equiv V_{-1/2}^{(1/2)}$  et  $\psi_2 \equiv V_{1/2}^{(1/2)}$  renommés pour entrer dans le cadre de l'indexation par des spins des familles suivantes que nous construirons prochainement. Ensuite,  $F(a, b; c; z)$  est la fonction hypergéométrique standard.  $A_{\Delta}$  désigne un opérateur primaire quelconque de poids  $\Delta$ , seules ses propriétés conformes sont utilisées, il n'est pas nécessaire de savoir le construire explicitement en fonction des  $p_n$ . Les états  $\langle \varpi_4 |$  et  $| \varpi_1 \rangle$  sont les états de plus haut poids de modules de Verma, habituellement caractérisés par leur poids conforme  $\Delta$ , mais désignés ici de manière (presque) équivalente par leur mode zéro  $\varpi$ .  $\varpi$  n'est pas autre chose que le moment  $p_0$  renormé pour éliminer les racines carrées de la plupart des formules<sup>11</sup> :

$$\varpi = i \sqrt{\frac{2\pi}{h}} p_0^{(1)}. \quad (2.36)$$

Le moment détermine bien le plus haut poids du module de Verma, car de 2.24 appliquée à  $n = 0$ , on obtient

$$L_0 = \frac{1}{2} \sum_n :p_n p_{-n}: + \frac{1}{8\gamma} = \frac{1}{2} \sum_n :p_n p_{-n}: + \frac{1}{4} \left( \frac{h}{\pi} + \frac{\hat{h}}{\pi} + 2 \right) \quad (2.37)$$

qui appliqué à un état de plus haut poids donne

$$L_0 | \varpi \rangle = \frac{h}{4\pi} \left( \left( 1 + \frac{\pi}{h} \right)^2 - \varpi^2 \right) | \varpi \rangle \quad \text{c'est-à-dire} \quad \Delta(\varpi) = \frac{h}{4\pi} \left( \left( 1 + \frac{\pi}{h} \right)^2 - \varpi^2 \right). \quad (2.38)$$

On caractérisera donc souvent les champs primaires ou les états de plus haut poids par leur moment  $\varpi$  plutôt que par leur poids correspondant  $\Delta = \Delta(\varpi)$ . Aux valeurs discrètes des poids de la table de Kac correspondent des valeurs discrètes de  $\varpi$  tous les deux étiquetés par des "spins" demi-entiers, nous allons y venir. Dans la relation quadratique 2.38 on remarque néanmoins que deux valeurs opposées du moment

<sup>11</sup> Le choix de  $p_0^{(1)}$  dans cette formule semble introduire une notation asymétrique entre  $P^{(1)}$  et  $P^{(2)}$  mais ça n'est pas vraiment le cas car la contrainte d'unimodularité de la matrice de monodromie impose des valeurs propres  $e^{\sqrt{h/2\pi}p_0^{(1)}}$  et  $e^{\sqrt{h/2\pi}p_0^{(2)}}$  inverses l'une de l'autre et donc  $p_0^{(1)} = -p_0^{(2)}$ .

donnent le même poids, c'est-à-dire pour le cas discret, qu'il existe pour le même poids de Kac deux états et opérateurs différents.

Nous construisons maintenant les familles dégénérées suivantes, traitant dans un premier temps les familles  $(1, n)$  qui dérivent de  $\alpha_-$  ou de  $\hat{h}$  (et non  $\alpha_+$  et  $\hat{h}$ ). Nous les désignons par un spin  $J$  avec  $J = 2n + 1$  car il apparaîtra dans le chapitre 4 que les opérateurs  $(1, n)$  de la base du groupe quantique sont dans une représentation de spin  $J$  de celui-ci. Pour le seul poids  $\Delta(1, 2)$ , nous avons les deux opérateurs primaires  $\psi_1$  et  $\psi_2$ , notés  $V_{\pm 1/2}^{(1/2)}$ , issus des deux champs libres différents. Par fusion nous allons engendrer pour chaque poids  $\Delta(1, n)$  non plus 2 mais  $n$  champs primaires notés  $V_m^{(J)}$  pour  $m = -J, -J + 1, \dots, J$  avec  $2J + 1 = n$ . Les poids de Kac de ces opérateurs<sup>12</sup> peuvent s'écrire en termes de  $\hat{h}$  et du spin  $J$  :

$$\Delta_J = \Delta(1, 2J + 1) = -J - J(J + 1) \frac{\hat{h}}{\pi}. \quad (2.39)$$

Le nombre<sup>13</sup>  $m$  est conservé par fusion car c'est l'accroissement du moment  $\varpi$  produit par un opérateur  $V_m^{(J)}$  :

$$V_m^{(J)} f(\varpi) = f(\varpi + 2m) V_m^{(J)} \quad (2.40)$$

pour toute fonction  $f$ . On voit que ceci est vrai pour  $J = 1/2$  sur l'expression 2.26 de  $V_{\pm 1/2}^{(1/2)}$  : le facteur  $e^{\dots q_0^{(1)}}$  est un opérateur d'accroissement de  $p_0^{(1)}$  et de la même manière  $e^{\dots q_0^{(2)}}$  est un opérateur d'accroissement de  $p_0^{(2)}$  qui est l'opposé de  $p_0^{(1)}$  ce qui fait donc varier  $p_0^{(1)}$  dans l'autre sens. La propriété d'accroissement de  $\varpi$  étant additive par fusion, définissant le nombre  $m$  comme une quantité également additive, 2.40 est automatiquement vérifiée pour les spins supérieurs.

Examinons la fusion. Le comportement à courte distance ( $x' \rightarrow x$ ) de la fonction à quatre points 2.34 permet de montrer que l'ordre dominant de la fusion d'un opérateur de spin  $1/2$  et d'un opérateur de spin  $J$  est donné par un opérateur de spin<sup>14</sup>  $J + 1/2$ . Le cas le plus simple est celui de la fusion de  $V_{-1/2}^{(1/2)}$  (par exemple) avec lui même. On a un seul champ libre  $P^{(1)}$  et on obtient encore des exponentielles du même champ libre,  $V_{-J}^{(J)}$  :

$$\begin{aligned} & V_{-1/2}^{(1/2)} V_{-(J-1/2)}^{(J-1/2)} \sim \\ & V_{-J}^{(J)} \propto e^{2J\sqrt{\hat{h}/2\pi}q_0^{(1)}} : e^{2J\sqrt{\hat{h}/2\pi}(p_0^{(1)}\sigma + i\sum_{n \neq 0} e^{-in\sigma} p_n^{(1)}/n)} : \end{aligned} \quad (2.41)$$

(on peut d'ailleurs dans ce cas également considérer  $J$  non demi-entier, cf chapitre 4). Il en est de même pour l'autre champ libre  $P^{(2)}$  qui engendre les opérateurs  $V_J^{(J)}$ .

<sup>12</sup> Nous conservons la notation fonctionnelle  $\Delta(n, m)$  pour les poids de Kac 1.31 et adoptons une notation indicelle  $\Delta_J$  et  $\Delta_{J, \hat{J}}$  pour les mêmes poids fonction des spins 2.39, 2.43. On a également la notation  $\Delta(\varpi)$  qui donne le poids d'un état ou d'un opérateur en fonction de mode zéro en 2.38, cette fois pour des poids et mode-zéro quelconques.

<sup>13</sup> Attention, la notation  $m$  ne doit pas faire croire qu'il s'agit d'un nombre magnétique d'une représentation de  $Sl(2)$  ou  $U_q(sl(2))$ . Ce sera en revanche le cas pour le nombre  $M$  des opérateurs  $\xi_M^{(J)}$  de la base covariante du groupe quantique que nous verrons dans le chapitre 4.

<sup>14</sup> La singularité indique en fait que la fusion d'un opérateur de poids  $(1, 2)$  et d'un opérateur de poids  $\Delta(1, 2J + 1)$  donne un opérateur de poids  $\Delta(1, 2J + 2)$ .

Pour un opérateur générique, la conservation du “nombre d’accroissement”  $m$  nous donne la fusion à l’ordre dominant

$$V_{\pm 1/2}^{(1/2)} V_m^{(J)} \sim V_{m \pm 1/2}^{(J+1/2)} \quad (2.42)$$

ce qui permet de construire les opérateurs  $V_m^{(J)}$  par récurrence<sup>15</sup>. Ceci montre que  $m$  est effectivement borné par les conditions habituelles des spins et nombres magnétiques  $|m| \leq J$ . C’est ce qui a initialement conduit à la dénomination de spins, bien que seuls les opérateurs  $\xi$  de la base du groupe quantique (cf partie 4.2) soient réellement dans une représentation de spin  $J$  de  $U_q(sl(2))$ .

Nous n’avons construit ici que les opérateurs de la famille  $(1, 2J + 1)$ , à partir du paramètre  $h = h_-$ . On peut faire la même chose à partir de la solution  $\hat{h} = h_+$  de 2.29. Les opérateurs ainsi construits de la même façon avec le paramètre  $\hat{h}$ , dans la représentation  $(2\hat{J} + 1, 1)$ , sont notés  $\hat{V}_{\hat{m}}^{(J)}$ . Cette notation qui ne respecte pas la symétrie entre  $h_-$  et  $h_+$  a néanmoins le mérite de la simplicité. Ensuite, toujours par fusion à l’ordre dominant on les combine avec les précédents pour obtenir les opérateurs  $V_{m, \hat{m}}^{(J, \hat{J})}$  dans la représentation dégénérée  $(2\hat{J} + 1, 2J + 1)$ . Leurs poids sont ceux de Kac :

$$\begin{aligned} \Delta_{J, \hat{J}} &= \Delta(2\hat{J} + 1, 2J + 1) = \frac{C - 1}{24} - \frac{1}{24} \left( (J + \hat{J} + 1)\sqrt{C - 1} - (J - \hat{J})\sqrt{C - 25} \right)^2 \\ &= -J - J(J + 1)\frac{h}{\pi} - \hat{J} - \hat{J}(\hat{J} + 1)\frac{\hat{h}}{\pi} - 2J\hat{J}. \end{aligned} \quad (2.43)$$

On effectue cette récurrence en extrayant la singularité dominante par

$$\begin{aligned} V_{m \pm 1/2, \hat{m}}^{(J+1/2, \hat{J})}(z_2) &\propto \lim_{z_1 \rightarrow z_2} (z_1 - z_2)^{\left( \Delta_{1/2, 0} + \Delta_{J, \hat{J}} - \Delta_{J+1/2, \hat{J}} \right)} V_{\pm 1/2, 0}^{(1/2, 0)}(z_1) V_{m, \hat{m}}^{(J, \hat{J})}(z_2) \\ V_{m, \hat{m} \pm 1/2}^{(J, \hat{J}+1/2)}(z_2) &\propto \lim_{z_1 \rightarrow z_2} (z_1 - z_2)^{\left( \Delta_{0, 1/2} + \Delta_{J, \hat{J}} - \Delta_{J+1/2, \hat{J}} \right)} V_{0, \pm 1/2}^{(0, 1/2)}(z_1) V_{m, \hat{m}}^{(J, \hat{J})}(z_2). \end{aligned} \quad (2.44)$$

Nous nous sommes restreints dans ce chapitre, comme dans l’approche initiée dans les années 80, à l’ordre dominant du développement à courte distance qui permet de définir récursivement les opérateurs de spins supérieurs comme limite du produit des précédents (2.44). Les ordres suivant du développement 2.42 donnent les descendants et les opérateurs  $V_{m \pm 1/2}^{(J-1/2)}$  (famille  $(1, 2J - 1)$ ), le nombre  $m$  étant toujours conservé. Ceci sera traité en détail dans le chapitre 4 dans le cadre de Moore et Seiberg présenté dans le chapitre 3.

Conformément à ce que nous avons vu dans le chapitre précédent, ces opérateurs engendrent les états par action sur le vide. Les opérateurs  $V_{m, \hat{m}}^{(J, \hat{J})}$  de type  $(2\hat{J} + 1, 2J + 1)$  de la classification de BPZ engendrent les modules de Verma réductibles correspondants notés  $\mathcal{H}_{J, \hat{J}}$ . Ce sont en fait les exponentielles de champ libre du type  $V_{-J}^{(J)}$  (Eq.2.41) qui engendrent les états à partir du vide  $Sl(2, C)$  invariant :

$$V_{-J, -\hat{J}}^{(J, \hat{J})}(0) |\varpi_0\rangle = |\varpi_{J, \hat{J}}\rangle \equiv |J, \hat{J}\rangle \quad (2.45)$$

<sup>15</sup> Alors que le signe  $\sim$  dans 2.41 ne symbolise que la division par la singularité, dans 2.42 puis 2.44 il y a des coefficients non triviaux (des fonctions gamma)[17]

avec

$$\varpi_{J,\hat{J}} = 2J + 1 + (2\hat{J} + 1)\frac{\pi}{h} \quad (2.46)$$

ou (par eq.2.36)

$$\widehat{\varpi}_{J,\hat{J}} \equiv \frac{h}{\pi}\varpi_{J,\hat{J}} = 2\hat{J} + 1 + (2J + 1)\frac{h}{\pi}. \quad (2.47)$$

Ceci est cohérent avec l'accroissement produit par les nombres  $m$  et  $\widehat{m}$  (qui valent ici  $-J$  et  $-\hat{J}$ ). Nous avons également introduit la notation  $|J, \hat{J}\rangle$  pour les états de ces représentations réductibles. On vérifie que la formule 2.38 qui exprime les poids des états en fonction de  $\varpi$  redonne bien les poids de Kac 2.43 pour ces états.

Il est apparu nécessaire d'utiliser comme vide sortant  $Sl(2, C)$  invariant celui de moment opposé<sup>16</sup>  $\langle -\varpi_0|$ . Les états sortants sont donc engendrés par l'action des exponentielles du même champ libre sur celui-ci :

$$\langle -\varpi_0|V_{J+1,\hat{J}+1}^{(-J-1,-\hat{J}-1)}(z,\bar{z})z^{2L_0}\bar{z}^{2\bar{L}_0} \rightarrow \langle \varpi_{J,\hat{J}}| = \langle J, \hat{J}| \quad (2.48)$$

quand  $z, \bar{z} \rightarrow \infty$ .

La dernière étape, après la construction de ces opérateurs chiraux, consiste à construire les opérateurs physiques. Ils doivent tout d'abord être définis de façon univoque, c'est-à-dire avec une monodromie triviale. Ils doivent ensuite, et cette contrainte suffira à les déterminer, être locaux, c'est-à-dire commuter entre eux à même  $\tau$  (et  $\sigma$  différent). C'est l'équivalent en termes d'opérateurs de la localité pour les fonctions de corrélations physiques que nous examinerons dans le chapitre suivant. Ceci nécessite de connaître la matrice d'échange des opérateurs  $V_{m,\widehat{m}}^{(J,\hat{J})}$ . Mais celle-ci n'était pas connue (pour des spins supérieurs à 1/2) avant l'approche plus moderne à la Moore et Seiberg présentée dans le chapitre suivant. Ces opérateurs physiques ont cependant été construits dès 1992 par J.-L. Gervais [20]. Leur caractère local a pu être vérifié en passant par l'autre base d'opérateurs (celle du groupe quantique) que nous n'aborderons également que dans le chapitre 4. Nous esquissons juste le résultat pour conclure cette partie :

$$e^{-(J\alpha_- + \hat{J}\alpha_+)}\Phi(\sigma, \tau) = \sum_{m=-J}^J \sum_{\widehat{m}=-\hat{J}}^{\hat{J}} (\dots)V_{m,\widehat{m}}^{(J,\hat{J})}(\sigma_+)\overline{V}_{m,\widehat{m}}^{(J,\hat{J})}(\sigma_-) \quad (2.49)$$

où les points symbolisent un certain coefficient dépendant de  $J, \hat{J}, m, \widehat{m}$  et du moment  $\varpi$ . On peut noter la ressemblance avec le cas classique (Eq.2.21). Le terme cosmologique de poids  $(1, 1)$  est à nouveau obtenu pour des spins  $(J, \hat{J}) = (0, -1)$  ou  $(-1, 0)$  (cf Eqs.2.39, 2.43), les opérateurs de spins négatifs restant encore à définir dans le cas quantique.

Examinons la limite classique de 2.49. Elle est obtenue pour  $\gamma$  tendant vers zéro donc  $C$  vers l'infini. On calcule que dans cette limite  $\alpha_-$  se comporte comme  $2\sqrt{\gamma}$  alors que  $\alpha_+$  tend vers l'infini. C'est donc  $\alpha_-$  qui a le bon comportement classique :

$$e^{-J\alpha_-}\Phi \rightarrow e^{-2J\sqrt{\gamma}\Phi} \text{ (classique)}. \quad (2.50)$$

<sup>16</sup> Nous rappelons que  $\Delta(\varpi_0) = 0 = \Delta(-\varpi_0)$ .

C'est pour que cette limite donne directement la solution classique que nous avons choisi de renormer le  $\Phi$  classique par ce facteur  $2\sqrt{\gamma}$ . Ceci conduit en particulier à considérer le terme cosmologique  $e^{\alpha-\Phi}$  et non  $e^{\alpha+\Phi}$ . Cela ne vaut cependant que pour le couplage faible ( $c \leq 1$ ,  $C \geq 25$ ). La clé du couplage fort ( $1 < C < 25$ , loin de la limite classique) est au contraire de traiter symétriquement  $\alpha_+$  et  $\alpha_-$ . Nous y reviendrons dans la dernière partie.

Pour terminer ce chapitre, nous montrons comment, en s'inspirant de la méthode de DDK [21, 22], on peut dans cette approche retrouver la formule de KPZ [23] pour l'exposant critique  $\gamma_{\text{string}}$ . Il exprime le comportement de la fonction de partition (à aire fixée) en fonction de l'aire  $A$  :

$$Z(A) \propto A^{\gamma_{\text{string}}-3}. \quad (2.51)$$

Suivant la méthode de DDK [21, 22] nous considérons d'abord une théorie de cordes non-critiques avec l'action suivante pour le champ de Liouville

$$S_{\mu_c} = \frac{1}{8\pi} \int dzd\bar{z} \sqrt{\hat{g}} (\hat{g}^{ab} \partial_a \Phi \partial_b \Phi + Q \hat{R}^{(2)} \Phi + \mu_c e^{\alpha-\Phi}) \quad (2.52)$$

avec

$$Q = \sqrt{\frac{C-1}{3}}.$$

Les opérateurs de vertex de matière sont habillés par des exponentielles de Liouville  $e^{-\beta\Phi}$  (avec  $\beta = J\alpha_- + \hat{J}\alpha_+$  dans nos notations) de poids  $-\beta(\beta+Q)/2$  de manière à obtenir des opérateurs de poids  $(1,1)$ . Suivant l'argument de DDK, il est facile de voir qu'un shift de  $\Phi \rightarrow \Phi - \ln(\mu_c)/\alpha_-$  transforme les corrélateurs

$$\left\langle \prod_i e^{-\beta_i \Phi} \right\rangle_{\mu_c} = \int \mathcal{D}\Phi e^{-S_{\mu_c}} \prod_i e^{-\beta_i \Phi} \quad (2.53)$$

par

$$\left\langle \prod_i e^{-\beta_i \Phi} \right\rangle_{\mu_c} = \left\langle \prod_i e^{-\beta_i \Phi} \right\rangle_1 \mu_c^{[\sum_i \beta_i + Q(1-h)]/\alpha_-} \quad (2.54)$$

où le dernier terme  $\propto Q(1-h)$  provient de l'utilisation du théorème de Gauss-Bonnet sur une surface de genre  $h$ .

On peut obtenir le même résultat dans l'approche opératorielle présentée ici. Il s'agit de repasser du cas particulier  $\mu = 1$  auquel nous nous sommes restreints en 2.2 au cas d'une constante cosmologique  $\mu_c$  quelconque (action 2.1). La loi d'échelle la plus générale pour les composantes chirales  $V$  qui conserve le caractère local de l'opérateur de Liouville 2.49 est la suivante

$$\begin{aligned} V_{m,\hat{m}}^{(J,\hat{J})} \Big|_{(\mu)} &= \mu^{J+\hat{J}(\pi/h)} \mu^{-\varpi/2} V_{m,\hat{m}}^{(J,\hat{J})} \Big|_1 \mu^{\varpi/2} \\ \overline{V}_{\overline{m},\overline{\hat{m}}}^{(\overline{J},\overline{\hat{J}})} \Big|_{(\overline{\mu})} &= \overline{\mu}^{\overline{J}+\overline{\hat{J}}(\pi/h)} \overline{\mu}^{-\overline{\varpi}/2} \overline{V}_{\overline{m},\overline{\hat{m}}}^{(\overline{J},\overline{\hat{J}})} \Big|_1 \overline{\mu}^{\overline{\varpi}/2} \end{aligned} \quad (2.55)$$

ce qui donne pour le champ de Liouville 2.49

$$e^{-(J\alpha_- + \hat{J}\alpha_+)\Phi(\sigma, \tau)} \Big|_{\mu_c} = \mu_c^{J+\hat{J}(\pi/h)} \mu_c^{-\varpi/2} e^{-(J\alpha_- + \hat{J}\alpha_+)\Phi(\sigma, \tau)} \Big|_1 \mu_c^{\varpi/2} \quad (2.56)$$

en tenant compte de l'égalité des spins et moments gauches et droits, et en définissant  $\mu_c = \mu\bar{\mu}$ . Ces lois d'échelle 2.55 seront réutilisées dans le dernier chapitre pour donner le comportement du nouvel opérateur physique de Liouville.

Appliquons les aux corrélateurs

$$\langle \varpi_0 | \prod_i e^{-(J_i \alpha_- + \hat{J}_i \alpha_+)} \Phi(\sigma, \tau) | \varpi_0 \rangle_{\mu_c} . \quad (2.57)$$

Chaque opérateur de vertex donne bien la même contribution que dans la formule 2.54 :

$$\mu_c^{J_i + \hat{J}_i(\pi/h)} = \mu_c^{(J_i \alpha_- + \hat{J}_i \alpha_+)/\alpha_-} .$$

L'action des opérateurs  $\mu_c^{\varpi/2}$  sur le vide entrant  $|\varpi_0\rangle = |1 + \pi/h\rangle$  et de  $\mu_c^{-\varpi/2}$  sur le vide sortant  $\langle -\varpi_0|$  contribue pour

$$\mu_c^{1+\pi/h} = \mu_c^{(\alpha_- + \alpha_+)/\alpha_-} = \mu_c^{Q/\alpha_-}$$

ce qui redonne bien au total l'expression 2.54 de DDK pour le genre 0. Suivant ensuite le même raisonnement que DDK, ceci permet de retrouver la valeur de  $\gamma_{\text{string}}$  de KPZ (genre 0). Nous la donnons en genre quelconque

$$\gamma_{\text{string}} = (1 - h) \frac{1}{12} \left( d - 25 - \sqrt{(25 - d)(1 - d)} \right) + 2. \quad (2.58)$$

Ceci a été obtenu en ref.[23] (KPZ) en genre  $h = 0$  dans la jauge du cône de lumière avant ce résultat en genre quelconque obtenu dans la jauge conforme en refs.[21, 22]. C'est pourquoi on appelle généralement cette formule (pour  $h = 0$ ) la formule de KPZ. Elle est en accord avec les résultats de l'approche discrétisée par modèles de matrices. Ces derniers ont permis de traiter à tous les ordres les modèles minimaux couplés à la gravité, ce qui correspond à des charges centrales pour la matière  $c = 1 - 6(p - q)^2/pq$  pour deux entiers  $p$  et  $q$  positifs premiers entre eux, donc une charge centrale inférieure à 1, dans le régime de couplage faible. On peut d'ailleurs également retrouver dans l'approche opératorielle présentée ici le résultat des modèles de matrice pour les fonctions à trois points des modèles minimaux couplés à la gravité (qui vaut essentiellement 1). Ceci a été fait en ref.[20] en considérant deux copies de la théorie discutée ici, la première tenant lieu de matière et l'autre constituant l'habillage par la gravité (un résultat concordant a également été obtenu antérieurement dans l'approche du gaz de Coulomb en ref.[44]).

Comme annoncé précédemment, dans le régime de couplage fort ( $c > 1$ ) le résultat 2.58 n'est pas acceptable. Une fonction de partition réelle ne peut pas avoir une loi d'échelle d'exposant complexe. Il n'y a pas non plus de version discrétisée de modèle fortement couplé qui permette de calculer  $\gamma_{\text{string}}$ .

C'est pourquoi nous proposons dans le dernier chapitre une autre approche du régime de couplage fort. Dans cette phase  $c > 1$  les opérateurs physiques sont différents de ceux du couplage faible et de poids réels. Ceci a en particulier pour conséquence que le nouveau terme cosmologique a un poids réel et une loi de changement d'échelle réelle. La nouvelle valeur de  $\gamma_{\text{string}}$  obtenue est la partie réelle de 2.58.

# Chapitre 3

## LES EQUATIONS POLYNOMIALES

Je présente ici une partie des travaux, dus essentiellement à Moore et Seiberg, qui ont mené aux équations dites polynomiales. Ce sont les équations de cohérence de l'algèbre d'opérateurs des théories conformes. Leur but était de classifier les théories conformes, le mien est uniquement de fournir les outils nécessaires à la résolution de l'algèbre d'opérateurs de la théorie de Liouville dans le chapitre 4. Je me contenterai donc de l'essentiel, me limitant en particulier au cas de la topologie sphérique. Le lecteur pourra se référer à [24, 25] ou au cours [26] où est traité en particulier le cas des genres supérieurs.

Comme la théorie de Liouville, les théories conformes qui admettent une décomposition chirale ont des fonctions de corrélation chirales ou blocs conformes de monodromie non triviale. Ces derniers comportent donc des coupures. Les fonctions de corrélation physiques doivent au contraire être locales ou mono-valuées. Lors de l'étude d'une théorie particulière, on cherche donc généralement à construire des fonctions de corrélations physiques locales à partir des blocs conformes qui ne le sont pas. Ici, au contraire, nous supposons qu'il est possible de construire des corrélateurs physiques locaux à partir des blocs conformes, comme cela doit être le cas pour une théorie conforme générique, et nous en examinerons les conséquences sur l'algèbre des opérateurs chiraux. Nous ne cherchons pas ici à calculer les blocs conformes, puisqu'ils dépendent de la théorie envisagée. Mais nous montrons que l'hypothèse de localité des corrélateurs physiques permet d'obtenir la forme générale de leurs transformations de dualité (échange et fusion) ainsi que les contraintes de cohérence de ces transformations (équations polynomiales).

Nous introduisons dans la première partie les notations des opérateurs chiraux et les propriétés élémentaires des blocs conformes. Nous discutons en particulier leurs propriétés de monodromie. Nous montrons ensuite dans une deuxième partie que la localité des fonctions de corrélation physiques est équivalente aux propriétés de dualité des blocs conformes, qui s'expriment sous forme d'une algèbre de fusion et d'échange pour les opérateurs chiraux. Nous étendons d'ailleurs dans cette partie la discussion des théories diagonales par Moore et Seiberg au cas des théories non-diagonales qui peuvent être envisagées lorsque la matrice de monodromie est dégénérée. Ceci s'appliquera en effet aux constructions du dernier chapitre dans le régime de couplage fort. L'existence de transformations équivalentes (i.e. entre mêmes blocs conformes initiaux et finaux) donne des équations de cohérence sur

les coefficients de fusion et d'échange, appelées équations polynomiales, que nous déterminons dans une troisième et dernière partie.

Ces équations polynomiales contraignent énormément l'algèbre de fusion et d'échange des opérateurs chiraux. Dans le prochain chapitre, nous pourrons calculer explicitement les blocs conformes et les coefficients de fusion et d'échange les plus simples de la théorie de Liouville, et ce sont ces équations polynomiales qui nous permettront ensuite de déterminer l'algèbre de fusion et d'échange de tous les opérateurs.

### 3.1 Blocs conformes et monodromie

Nous considérons ici une théorie conforme rationnelle<sup>1</sup>, dont les opérateurs physiques  $\Phi^i(z, \bar{z})$  ont une décomposition chirale en termes d'opérateurs<sup>2</sup>  $\phi^i(z)$  et  $\bar{\phi}^i(\bar{z})$ . Au lieu de noter  $\phi^i$  les opérateurs chiraux génériques comme dans le premier chapitre, nous considérons ici une restriction de ces opérateurs, notée  $\phi_{i,k}^j$ . Outre le(s) nombre(s) quantique(s)  $j$  qui caractérise(nt) l'opérateur lui-même, on précise par  $k$  et  $i$  les modules de Verma auquel cet opérateur s'applique et celui dans lequel il arrive. On a de façon plus générale pour un descendant<sup>3</sup>

$$\phi_{i,k}^{j,\{\nu\}}(z) : \mathcal{H}_k \rightarrow \mathcal{H}_i. \quad (3.1)$$

Les opérateurs considérés ici peuvent donc être obtenus par restriction de ceux du premier chapitre :

$$\phi_{i,k}^{j,\{\nu\}}(z) = \mathcal{P}_{\mathcal{H}_i} \phi^{j,\{\nu\}}(z) \mathcal{P}_{\mathcal{H}_k} \quad (3.2)$$

où  $\mathcal{P}_{\mathcal{H}_i}$  est le projecteur sur le module de Verma  $\mathcal{H}_i$ . Dans une base orthonormée de  $\mathcal{H}_i$ , décrite par le multi-index  $\{\nu\}$ , ce projecteur s'écrit

$$\mathcal{P}_{\mathcal{H}_i} = \sum_{\{\nu\}} |i, \{\nu\}\rangle \langle i, \{\nu\}|. \quad (3.3)$$

L'espace de Hilbert total (pour une chiralité) est constitué de la somme directe des modules de Verma et on a donc également la relation de fermeture

$$1 = \text{Id} = \sum_i \mathcal{P}_{\mathcal{H}_i} = \sum_{i, \{\nu\}} |i, \{\nu\}\rangle \langle i, \{\nu\}|. \quad (3.4)$$

---

<sup>1</sup> Une théorie (conforme) est souvent dite rationnelle si elle comporte un nombre fini de familles conformes, ou de représentations de l'algèbre de Virasoro. C'est le cas par exemple des modèles minimaux. Ce n'est pas le cas ici, comme chez Moore et Seiberg. Nous appelons une théorie rationnelle si l'espace de ses blocs conformes est de dimension finie ( $p$  prend un nombre fini de valeurs dans 3.10), ce qui donne des matrices d'échange et de fusion de dimension finie. Nous appliquerons évidemment toujours ces résultats dans ce cadre (chapitre 4). On pourra en effet vérifier que même lorsqu'on généralisera notre algèbre d'opérateurs à des spins continus (elle pourra donc même contenir une "infinité continue" de familles), les règles de sélection garantiront toujours que les blocs conformes restent de dimension finie.

<sup>2</sup> Conformément à la partie précédente, nous conservons dans cette partie la notation  $\phi$  minuscule pour les opérateurs conformes chiraux. Les opérateurs physiques locaux sont notés  $\Phi$  majuscule. Ces notations sont contraires à celles de certains auteurs, en particulier de Moore et Seiberg, mais nous les conservons ici par souci de cohérence à l'intérieur de cette thèse.

<sup>3</sup> Attention aux notations partiellement asymétriques : la notation  $\phi_{i,k}^j(z)$  ou  $\phi_{i,k}^{j,\{\nu\}}(z)$  indique que l'opérateur  $\phi$  est un champ primaire ou un descendant de  $\mathcal{H}_j$  respectivement. Au contraire les indices  $i$  et  $k$  indiquent simplement que ces opérateurs s'appliquent à des états du module de Verma  $\mathcal{H}_k$ , qu'il s'agisse de l'état de plus haut poids  $|k\rangle$  ou d'un descendant  $|k, \{\nu\rangle$ , et sont à valeurs dans  $\mathcal{H}_i$ .



La correspondance entre les opérateurs et les états est donc dans ces notations

$$\phi_{i,0}^{i,\{\nu\}}(0)|0\rangle = |i, \{\nu\}\rangle. \quad (3.5)$$

Nous verrons dans le prochain chapitre comment les opérateurs de la théorie de Liouville du chapitre précédent doivent de la même manière être restreints pour rentrer exactement dans le cadre de ce formalisme.

On peut intégrer les transformations infinitésimales 1.14 dues à l'action de  $L_0$  sur un champ primaire de poids  $\Delta_j$  pour obtenir

$$e^{-\alpha L_0} \phi_{ik}^j(z) e^{\alpha \Delta_j} e^{\alpha L_0} = \phi_{ik}^j(e^\alpha z). \quad (3.6)$$

Ceci permet de déterminer la monodromie des opérateurs  $\phi_{ik}^j(z)$  autour de l'origine. Appliquant 3.6 à  $\alpha = 2i\pi\epsilon$  (où  $\epsilon = \pm 1$ ) l'opérateur effectue en effet un tour autour de 0. Ce qui est particulier à cette base d'opérateurs, c'est que les poids des états entrants et sortants sont connus à un entier près (pour un descendant  $|k, \{\nu\}\rangle$  d'ordre  $N$  on a  $\Delta_{k,\{\nu\}} = \Delta_k + N$ ) qui ne contribue pas pour  $\alpha = 2i\pi\epsilon$ . On connaît donc la monodromie de ces opérateurs autour de 0

$$\phi_{ik}^j(z) \rightarrow \phi_{ik}^j(e^{2i\pi\epsilon} z) = \phi_{ik}^j(z) e^{2i\pi\epsilon(\Delta_i + \Delta_j - \Delta_k)}. \quad (3.7)$$

Cet opérateur donne la fonction à trois points suivante

$$\begin{array}{c} \text{j} \\ | \\ \text{i} \text{---} \text{k} \end{array} = \langle i, \{\nu_i\} | \phi_{i,k}^j(z) | k, \{\nu_k\} \rangle = z^{\Delta_j + \Delta_{k,\{\nu_k\}} - \Delta_{i,\{\nu_i\}}} \langle i, \{\nu_i\} | \phi_{i,k}^j(1) | k, \{\nu_k\} \rangle \quad (3.8)$$

dont la dépendance en  $z$  est obtenue par 3.6, pour des descendants  $\langle i, \{\nu_i\} |$  et  $|k, \{\nu_k\}\rangle$  quelconques. La monodromie 3.7 de  $\phi_{i,k}^j(z)$  autour de 0 donne alors celle du bloc conforme à trois points<sup>4</sup>

$$\begin{array}{c} \text{j} \\ | \\ \text{i} \text{---} \text{k} \end{array} \rightarrow e^{2i\pi\epsilon(\Delta_i + \Delta_j - \Delta_k)} \begin{array}{c} \text{j} \\ | \\ \text{i} \text{---} \text{k} \end{array} \quad (3.9)$$

valable pour des champs primaires ou des descendants. Les fonctions à trois points comprennent donc une coupure issue de 0, que l'on place généralement sur le demi-axe réel négatif.

Les blocs conformes à quatre points s'écrivent

$$\mathcal{F}_p^{ijkl}(z_2, z_3) \equiv \langle i | \phi_{ip}^j(z_2) \phi_{pl}^k(z_3) | l \rangle = \begin{array}{c} \text{j} \quad \text{k} \\ | \quad | \\ \text{i} \text{---} \text{p} \text{---} \text{l} \end{array}. \quad (3.10)$$

Nous pouvons les décomposer en somme de fonctions à trois points grâce à l'expression 3.3 du projecteur sur  $\mathcal{H}_p$ . Ceci donne une somme sur les descendants  $p, \{\nu\}$  qui s'exprime, d'après ce que nous venons de voir (3.8), comme une série entière de terme général  $\propto (z_3/z_2)^{\Delta_{p,\{\nu\}}} = (z_3/z_2)^{\Delta_p + N}$  pour  $N$  entier positif. La série est donc

<sup>4</sup> On obtient en fait 3.9 uniquement pour une patte supérieure  $i$  qui désigne un champ primaire. Ceci est facilement étendu aux descendants  $i, \{\nu_i\}$  par action des opérateurs différentiels appropriés sur les deux membres de 3.9.

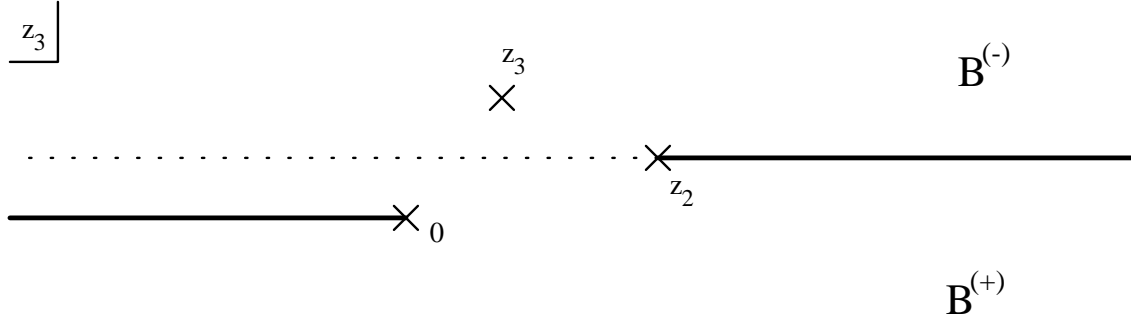


FIG. 3.1: Coupures de la fonction à quatre points  $\langle i | \phi_{ip}^j(z_2) \phi_{pl}^k(z_3) | l \rangle$ . Les pointillés délimitent les zones d'application de  $B^{(-)}$  et  $B^{(+)}$  (cf partie 3.2).

convergente pour  $z_3/z_2 < 1$ . On retrouve ainsi l'ordre radial : les blocs conformes 3.10 sont définis dans le domaine  $z_3/z_2 < 1$  (on a cependant toujours la coupure pour  $z_3$  réel négatif issue des fonctions à trois points).

Examinons les monodromies des fonctions à quatre points 3.10. Fixant  $z_2 = 1$  par les transformations projectives, les équation de bootstrap qui permettent de calculer ces blocs conformes sont des équations différentielles linéaires comportant des pôles en 0, 1 et  $\infty$ . Leurs solutions, les blocs conformes, ont donc une monodromie non-triviale autour de ces pôles<sup>5</sup>. Contrairement au cas de la fonction à trois points, parmi ces monodromies, il y en plusieurs (deux en l'occurrence) indépendantes, et elles ne peuvent être diagonalisées simultanément. Ainsi, le choix qui a été fait en 3.10 consiste à diagonaliser la monodromie (de  $z_3$ ) autour de 0. Ceci se déduit immédiatement de la monodromie 3.7 des opérateurs (ou de la décomposition des blocs conformes à quatre points en blocs à trois points). Le domaine de définition des blocs conformes 3.10 peut être étendu analytiquement en dehors du domaine  $z_3/z_2 < 1$  mais cette monodromie non-triviale de  $z_3$  autour de  $z_2$  montre qu'il doit y avoir une coupure issue de  $z_2$ . Les coupures dues au monodromies de  $z_3$  autour de 0 (diagonale) et autour de  $z_2$  (non-diagonale) sont représentées en figure 3.1.

Il existe également des bases<sup>6</sup> qui diagonalisent les autres monodromies. Ainsi les blocs conformes  $\mathcal{F}_q^{ijkl}(z_3, z_2)$  toujours donnés par la même définition

$$\mathcal{F}_q^{ijkl}(z_3, z_2) = \langle i | \phi_{iq}^k(z_3) \phi_{ql}^j(z_2) | l \rangle = i \begin{array}{c} \text{k} \quad | \quad \text{j} \\ \hline \text{q} \quad | \quad \text{l} \end{array} \quad (3.11)$$

diagonalisent de la même manière la monodromie de  $z_3$  autour de l'infini, ou de manière équivalente autour de 0 et  $z_2$  simultanément, par rotation de l'opérateur  $\phi^k(z_3)$ . Le domaine de convergence est ici  $z_3/z_2 > 1$ , et la coupure est donc placée en  $z_3 - z_2 \in R_-$ . Les coupures de ces blocs sont représentés en figure 3.2. Comparant

<sup>5</sup> Chaque solution, c'est-à-dire chaque bloc conforme (pour chaque valeur de  $p$  dans 3.10), ne peut être définie sur tout le plan mais doit inclure une coupure issue du pôle. Au niveau de cette coupure elle ne se raccorde pas continument à elle-même mais à une combinaison linéaire de solutions de l'équation différentielle. Ces combinaisons linéaires pour toutes les solutions donnent la matrice de monodromie, matrice unitaire de l'espace des solutions dans lui-même.

<sup>6</sup> Bien que cela puisse être vérifié dans la pratique au cas par cas (par les équations de bootstrap par exemple), dans la logique de cet exposé nous n'avons pas encore prouvé que les blocs conformes 3.11 constituent une autre base de l'espace vectoriel des blocs conformes 3.10. Pour le cas général que nous examinons ici, nous le déduisons de l'hypothèse de localité des corrélateurs physiques dans la prochaine partie.

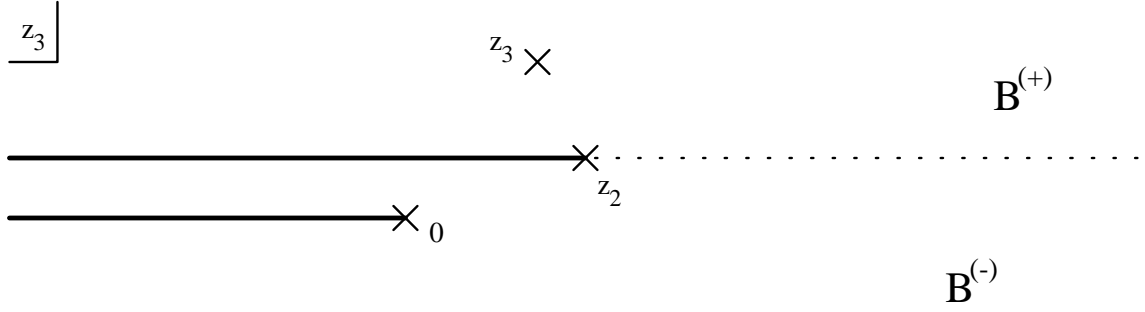


FIG. 3.2: Coupures dans l'autre base  $\langle i | \phi_{ip}^k(z_3) \phi_{pl}^j(z_2) | l \rangle$ , plan  $z_3$ .

avec les coupures dans la base 3.10 figure 3.1 qui diagonalise la monodromie autour de 0, on voit qu'il y a eu rotation de la coupure issue de  $z_2$ .

Il y a également une troisième base qui diagonalise la monodromie autour de  $z_2$  (ou 1), mais nous y reviendrons plus tard.

## 3.2 Localité et dualité

Ayant déterminé les propriétés les plus élémentaires des blocs conformes, nous sommes prêts à examiner la localité des fonctions de corrélation physiques. Nous sortons ici du cadre strict de la discussion de Moore et Seiberg [24, 25, 26]. Alors qu'ils ne discutent que les cas des théories dites diagonales, nous envisageons ici également le cas où la matrice de monodromie est dégénérée, ce qui permet, comme nous le verrons, de définir des théories non-diagonales. Ce sera le cas pour la construction effectuée dans le dernier chapitre dans le régime de couplage fort. Nous montrerons là-bas l'importance de la dégénérescence de la matrice de monodromie. C'est en effet dans les cas où cette dégénérescence est maximale, cas qui correspondent aux dimensions spéciales et aux moments particuliers mis en évidence par Gervais et ses collaborateurs depuis 1985 [41, 12, 13][P3,P4], qu'il est possible d'obtenir une troncature de l'algèbre d'opérateurs à une sous-algèbre fermée d'opérateurs de poids réels.

Un corrélateur physique à quatre points dont les pattes externes ont pour nombres quantiques  $i, j, k, l$  peut s'écrire

$$\langle i | \Phi^j(z_2, \bar{z}_2) \Phi^k(z_3, \bar{z}_3) | l \rangle = \sum_{p, \bar{p}} \bar{\mathcal{F}}_{\bar{p}}^{ijkl}(\bar{z}_2, \bar{z}_3) X_{\bar{p}, p} \mathcal{F}_p^{ijkl}(z_2, z_3) \quad (3.12)$$

où les nombres quantiques internes  $p$  et  $\bar{p}$  ne sont a priori pas corrélés. Ces fonctions de corrélation physiques doivent être mono-valuées et donc être invariantes lorsqu'un opérateur tourne autour d'un autre. Ce sont des contraintes très fortes qui permettent généralement de déterminer la matrice  $X_{\bar{p}, p}$ .

Les blocs 3.10 à partir desquels est écrit le corrélateur physique 3.15 diagonalisent la monodromie autour de l'origine, c'est donc la première que nous examinons. Si on note ( $\epsilon = \pm 1$ )

$$\lambda_p = e^{2i\pi\epsilon(\Delta_k + \Delta_l - \Delta_p)} \quad (3.13)$$

la valeur propre du bloc  $\mathcal{F}_p^{ijkl}$  pour la monodromie (de  $z_3$ ) autour de 0, le corrélateur

physique est transformé en

$$\sum_{p, \bar{p}} \bar{\mathcal{F}}_{\bar{p}}^{ijkl}(\bar{z}_2, \bar{z}_3) \lambda_{\bar{p}}^* X_{\bar{p}, p} \lambda_p \mathcal{F}_p^{ijkl}(z_2, z_3) \quad (3.14)$$

par cette monodromie. Pour qu'il soit inchangé, c'est-à-dire local, la matrice  $X_{\bar{p}, p}$  doit être stable par transformation par la matrice  $\text{Diag}(\lambda_p)$  diagonale unitaire. On en déduit que la matrice  $X_{\bar{p}, p}$  doit être diagonale par blocs, chaque bloc correspondant à un sous espace propre de  $\text{Diag}(\lambda_p)$ . D'après 3.13, deux blocs  $\mathcal{F}_p^{ijkl}$  sont dans le même espace propre si les poids  $\Delta_p$  correspondants diffèrent d'un entier. Dans la plupart des cas, le spectre des poids de la théorie est tel que ceci ne se produit pas. Les espaces propres sont de dimension 1 et la matrice  $X_{\bar{p}, p}$  doit alors être diagonale pour que le corrélateur physique soit local. La théorie est dite diagonale et les fonction de corrélation physiques s'écrivent<sup>7</sup>

$$\langle i | \Phi^j(z_2, \bar{z}_2) \Phi^k(z_3, \bar{z}_3) | l \rangle = \sum_p d_p |\mathcal{F}_p^{ijkl}(z_2, z_3)|^2 \quad (3.15)$$

avec  $X_{\bar{p}, p} = \text{Diag}(d_p)$ .

Ce n'est cependant pas toujours le cas. Dans le cas où les valeurs propres sont dégénérées, la matrice  $X_{\bar{p}, p}$ , qui doit être hermitienne, peut néanmoins être diagonalisée, bloc par bloc, c'est-à-dire en conservant une monodromie autour de l'origine diagonale<sup>8</sup>. La nouvelle base obtenue, diagonalise simultanément  $X_{\bar{p}, p}$  et la monodromie autour de l'origine, mais en contrepartie, les états intermédiaires des blocs conformes (étiquetés par  $p$  en 3.10) de cette base n'appartiennent pas à un module de Verma déterminé<sup>9</sup> et en particulier les poids droits et gauches peuvent être différents. Il semble d'ailleurs cohérent de laisser alors la même liberté aux pattes externes, c'est-à-dire de considérer une décomposition chirale du type  $\Phi^{i, \bar{i}}(z, \bar{z}) = \phi^i(z) \bar{\phi}^{\bar{i}}(\bar{z})$  et des blocs gauches et droits  $\mathcal{F}_p^{ijkl}$  et  $\bar{\mathcal{F}}_{\bar{p}}^{ijkl}$  de nombres quantiques gauches et droits décorrelés.

C'est ce que nous ferons dans le dernier chapitre. Nous verrons en effet que les dimensions spéciales, pour lesquelles nous prouverons le découplage d'une sous-algèbre d'opérateurs de poids réels, correspondent exactement aux dimensions où les valeurs propres 3.13 sont dégénérées. Ceci fait apparaître dans ces dimensions spéciales un espace propre important correspondant en fait à l'espace engendré par tous les blocs de poids  $\Delta_p$  réels. Ceci semble avoir une rôle capital dans le découplage de cette sous-algèbre physique de poids réels et sera discuté dans la partie 5.2.

Nous pouvons également remarquer que les espaces propres de la monodromie autour de l'origine sont aussi de dimensions supérieures à 1 dans le cas des modèles minimaux. C'est assez trivial dans ce cas puisque ceci provient de l'égalité des poids de Kac  $\Delta(n, m) = \Delta(n + p, m + q)$  pour un modèle minimal  $(p, q)$ . Cependant, les états  $(n + p, m + q)$  se découpent et la théorie est diagonale pour les états qui restent (ce découplage n'a néanmoins plus lieu lorsque ces modèles minimaux sont habillés par la gravité). Bien que les troncatures des l'algèbres d'opérateurs soient différentes dans le cas de modèles minimaux et du couplage fort, il est remarquable

<sup>7</sup> Si  $\bar{\mathcal{F}} = \mathcal{F}^*$ .

<sup>8</sup> Il n'est pas étonnant que  $X_{\bar{p}, p}$  et la matrice de monodromie puissent être diagonalisées simultanément, puisque la localité affirme précisément que ces deux matrices commutent.

<sup>9</sup>Ce sont des combinaisons linéaires d'états dont les poids diffèrent par des entiers.

qu'elles aient lieu dans les deux cas pour les dimensions où les valeurs propres de la monodromie sont dégénérées (voir discussion dans la partie 5.2).

Nous choisirons dans la suite de ce chapitre de toujours diagonaliser la matrice  $X_{\bar{p},p}$ . Ceci ne rend pas la théorie diagonale dans le sens habituel du terme puisque les corrélateurs physiques ne s'écrivent alors de manière diagonale que dans une base de blocs conformes qui n'ont pas d'état intermédiaire de poids  $\Delta_p$  déterminé. Ce sont des combinaisons linéaires d'états de poids  $\Delta_p$  variant par quantités entières. Cependant, dans la discussion qui suit, nous n'utiliserons pas la valeur de ces poids mais uniquement les valeurs propres  $\propto e^{2i\pi\epsilon\Delta_p}$  (Eq.3.13) qui, elles, sont parfaitement déterminées dans cette base. Nous emploierons donc les notations de Moore et Seiberg, et il faudra comprendre dans le cas d'une matrice de monodromie dégénérée que, partout (Eqs.3.23, 3.29, 3.33...), les poids  $\Delta_p$  désignent un quelconque des poids des états intermédiaires de la nouvelle base, qui sont tous égaux modulo un<sup>10</sup>.

Nous venons de voir que les fonctions de corrélation physiques 3.15 n'ont pas de coupures pour la monodromie de  $z_3$  autour de l'origine (i.e. quand l'opérateur  $\Phi^k(z_3)$  tourne autour de  $\Phi^l(0)$ ). Il reste à examiner les autres monodromies.

Nous avons écrit les fonctions de corrélation physiques sous la forme 3.15 en termes des blocs conformes 3.10 dans leur domaine d'analyticité  $z_3/z_2 < 1$ . Dans le domaine  $z_3/z_2 > 1$  elles s'écrivent plus naturellement en termes des blocs conformes 3.11. Cependant la domaine de définition de ces blocs a pu être étendu par continuation analytique aux plans coupés figures 3.1 et 3.2. Nous avons donc deux expressions de la même fonction de corrélation. La dualité<sup>11</sup> qui va assurer la localité des corrélateurs physiques affirme que leurs deux expressions en fonctions de ces deux types de blocs conformes sont équivalentes :

$$\langle i|\Phi^j(z_2, \bar{z}_2)\Phi^k(z_3, \bar{z}_3)|l\rangle = \sum_p d_p |\mathcal{F}_p^{ijkl}(z_2, z_3)|^2 = \sum_q d_q |\mathcal{F}_q^{ikjl}(z_3, z_2)|^2. \quad (3.16)$$

De la deuxième expression de 3.16 on déduit en effet comme précédemment que le corrélateur physique est invariant lorsque  $z_3$  tourne autour de  $z_2$  et 0 en même temps, ou de manière équivalente autour de l'infini.

Pour des sommes finies<sup>12</sup> de fonctions analytiques, l'égalité des deux sommes dans 3.16 prouve que les deux ensembles de fonctions analytiques sont en même nombre et qu'elles sont équivalentes à un changement de base près<sup>13</sup>. Ceci est vrai

<sup>10</sup> Il y a en toute rigueur dans ces formules, qui contiennent en fait la racine carrée  $\propto e^{i\pi\epsilon\Delta_p}$  de ces valeurs propres, une ambiguïté de signe  $e^{i\pi\epsilon N}$  pour un entier  $N$ . Mais elle peut être résolue, puisque dans le chapitre suivant nous déterminons l'algèbre de la théorie de Liouville pour une charge centrale générique, pour laquelle la théorie est diagonale. Nous l'appliquons ensuite aux dimensions spéciales du couplage fort où les corrélateurs physiques sont construits différemment, de façon non diagonale, mais pour lesquelles l'algèbre d'opérateurs chiraux obtenue dans le cas générique reste valable.

<sup>11</sup> Il s'agit ici de la dualité  $s \rightarrow u$ , affirmant que la somme sur les voies  $s$  et  $u$  sont équivalentes. Nous verrons plus loin la dualité  $s \rightarrow t$ .

<sup>12</sup> Nous vérifierons quand nous appliquerons ceci à la théorie de Liouville que, malgré nos représentations infinies en nombre infini, nos fonctions de corrélation physiques sont des sommes d'un nombre fini de termes.

<sup>13</sup> Pour les fonctions  $(\sqrt{d_p}\mathcal{F}_p^{ijkl}(z_2, z_3))_p$  et  $(\sqrt{d_q}\mathcal{F}_q^{ikjl}(z_3, z_2))_q$  il s'agit d'un changement de base orthonormal, ce qui garantit 3.16. Pour les fonctions  $(\mathcal{F}_p^{ijkl}(z_2, z_3))_p$  et  $(\mathcal{F}_q^{ikjl}(z_3, z_2))_q$  la matrice de passage  $B^{(\pm)}$  (cf plus loin) ne le sera pas nécessairement si les coefficients  $d_p$  sont non triviaux.

indépendamment sur chaque connexe du recouvrement des plans coupés. Ce sont deux demi-plans, un pour chaque signe de  $\text{Im}(z_2 - z_3)$ . Notant  $B^{(\pm)}$  les matrices de passage d'une base à l'autre sur chaque connexe (cf figs.3.1, 3.2), ceci signifie

$$\langle i | \phi_{ip}^j(z_2) \phi_{pl}^k(z_3) | l \rangle = \sum_q B_{pq}^{(\pm)} \begin{bmatrix} j & k \\ i & l \end{bmatrix} \langle i | \phi_{iq}^k(z_3) \phi_{ql}^j(z_2) | l \rangle. \quad (3.17)$$

Ceci vaut également pour des états  $\langle i |$  et  $| l \rangle$  remplacés par leurs descendants (par action des opérateurs différentiels  $L_n$  appropriés sur 3.17) puisque les éléments de la matrice  $B^{(\pm)}$  ne dependent pas de  $z$ . L'égalité vaut donc pour les opérateurs (au sens faible) :

$$\phi_{ip}^j(z_2) \phi_{pl}^k(z_3) = \sum_q B_{pq}^{(\pm)} \begin{bmatrix} j & k \\ i & l \end{bmatrix} \phi_{iq}^k(z_3) \phi_{ql}^j(z_2). \quad (3.18)$$

Graphiquement cela donne

$$i \begin{array}{c} j \\ | \\ p \\ | \\ k \\ \hline l \end{array} = \sum_q B_{pq}^{(\pm)} \begin{bmatrix} j & k \\ i & l \end{bmatrix} i \begin{array}{c} k \\ | \\ q \\ | \\ j \\ \hline l \end{array}. \quad (3.19)$$

Les matrices  $B^{(\pm)}$  sont donc les matrices de passage de la base  $s$  (3.10) qui diagonalise la monodromie (de  $z_3$ ) autour de 0, à la base  $u$  (3.11) qui diagonalise la monodromie autour de l'infini. Les matrices  $B^{(+)}$  et  $B^{(-)}$  sont les matrices de passage dans un sens et dans l'autre, elles sont donc inverses l'une de l'autre. Pour les opérateurs  $\phi^j$  et  $\phi^k$  il s'agit d'une opération d'échange d'où la notation conventionnelle de la matrice  $B$  pour "braiding" en anglais.

Examinons plus précisément ce qui se passe lors de deux échanges successifs. Si, par exemple  $\text{Im}(z_2 - z_3)$  est négatif, on utilise  $B^{(-)}$  pour le premier échange (cf fig.3.1). Pour revenir à l'état initial le deuxième échange doit alors se faire par la matrice  $B^{(+)}$ , comme il a été indiqué sur la figure 3.2. La relation d'inverse entre  $B^{(-)}$  et  $B^{(+)}$  s'écrit donc plus précisément

$$\sum_q B_{pq}^{(-)} \begin{bmatrix} j & k \\ i & l \end{bmatrix} B_{qp'}^{(+)} \begin{bmatrix} k & j \\ i & l \end{bmatrix} = \delta_{pp'}. \quad (3.20)$$

On aurait pu, avant le deuxième échange, déplacer  $z_3$  et le faire descendre plus bas que  $z_2$  en passant par sa droite sur la figure 3.2, en ne traversant que la ligne pointillée. Dans cette base, on reste dans le domaine d'analyticité, il ne se passe donc rien, si ce n'est que l'échange suivant s'exprime à nouveau par la matrice  $B^{(-)}$ . Mais après ce deuxième échange,  $z_3$  se retrouve dans la base initiale (figure 3.1) en dessous de la coupure en étant passé à droite de  $z_2$ , et il peut alors terminer son tour "gratuitement" par la gauche de  $z_2$ . Dans ce cas, on se retrouve donc dans la base initiale mais après un tour de  $z_3$  autour  $z_2$ . On en conclut que le carré de la matrice  $B$  est la matrice de monodromie (qui est tout à fait non-triviale, contrairement à  $B^{(-)}B^{(+)}$ ) :

$$\sum_q B_{pq}^{(-)} \begin{bmatrix} j & k \\ i & l \end{bmatrix} B_{qp'}^{(-)} \begin{bmatrix} k & j \\ i & l \end{bmatrix} = (\text{Matrice de monodromie})_{pp'}. \quad (3.21)$$

Autrement dit, la matrice d'échange est la racine carrée de la matrice de monodromie.

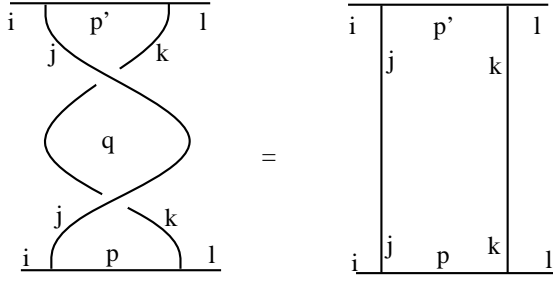


FIG. 3.3:  $B^{(-)}$  et  $B^{(+)}$  sont inverse l'une de l'autre, la somme sur  $q$ , nombre quantique interne au diagramme, est implicite.

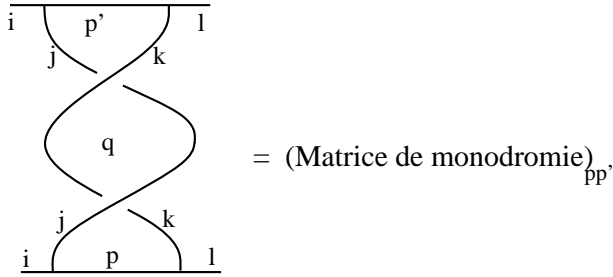


FIG. 3.4: L'échange est la "racine carrée" de la monodromie.

Une autre représentation graphique de l'échange, différente de 3.19, illustre bien ce que nous venons de voir. L'opération élémentaire d'échange est représentée par un croisement de lignes (de bas en haut)

$$B_{pq} \begin{bmatrix} j & k \\ i & l \end{bmatrix} \rightarrow \begin{array}{c} \begin{array}{c} i & \text{q} & l \\ \text{k} & \diagdown & \diagup & j \end{array} \\ \begin{array}{c} i & j & k & l \\ \text{p} & \diagup & \diagdown & \end{array} \end{array} \quad (3.22)$$

où une ligne donnée passe devant ou derrière selon qu'il s'agit de  $B^{(-)}$  ou  $B^{(+)}$ . Cette représentation graphique montre que les coefficients d'échange de l'algèbre d'une théorie conforme cohérente permettent de construire des invariants de liens (cf refs.[35], [P2]). Combinant deux échanges successifs on obtient pour  $B^{(-)}B^{(+)}$  la figure 3.3 qui représente l'équation 3.20 et pour  $B^{(-)}B^{(-)}$  la figure 3.4 qui représente l'équation 3.21. Leur interprétation en termes de liens et de nœuds est limpide.

On peut appliquer ceci à la fonction à trois points  $\langle i | \phi_{ik}^j(z) | k \rangle$ . On connaît la monodromie de cette fonction lorsque  $\phi_{ik}^j(z)$  tourne autour de 0. Elle acquiert une simple phase (Eq.3.7). Mais on peut comme pour la fonction à quatre points effectuer un simple échange de  $\phi^j(z_2)$  et  $\phi^k(z_3)$ . On a à nouveau le même genre de coupures selon la base choisie, et si l'on effectue deux fois de suite le même échange on obtient la monodromie au lieu de l'identité. L'échange est donc à nouveau donné par la racine carrée de la monodromie qui, cette fois, est connue (Eq.3.7). On a par conséquent

$$\begin{array}{c} j \\ | \\ i \text{---} \text{---} k \end{array} = \langle i | \phi_{i,k}^j(1) | k \rangle = e^{i\pi\epsilon(\Delta_j + \Delta_k - \Delta_i)} \langle i | \phi_{i,j}^k(1) | k \rangle = e^{i\pi\epsilon(\Delta_j + \Delta_k - \Delta_i)} \begin{array}{c} k \\ | \\ i \text{---} \text{---} j \end{array} \quad (3.23)$$

Ceci peut être vu comme un cas particulier de l'échange 3.19 avec  $l = 0$ ,  $p = k$  et  $q = j$ . Nous apprenons donc que la fonction à trois points, ou de manière équivalente le vertex élémentaire, est symétrique quant à ses pattes droite et supérieure (à un facteur près). Ceci s'avérera de la plus grande importance.

Introduisons maintenant l'autre transformation de dualité, la fusion. Alors que l'échange est la dualité  $s \rightarrow u$ , la fusion n'est autre que la dualité  $s \rightarrow t$  :

$$\begin{array}{c} \text{j} \quad | \quad \text{k} \\ \text{i} \text{---} | \text{---} | \text{---} \text{l} \end{array} = \sum_q F_{pq} \begin{array}{c} \text{j} \quad \text{k} \\ \text{i} \quad | \quad \text{l} \end{array} \begin{array}{c} \text{q} \quad | \quad \text{j} \quad \text{k} \\ \text{---} | \text{---} \text{l} \end{array} . \quad (3.24)$$

L'expression de la fusion en termes d'opérateurs est cependant légèrement différente de celle de l'échange. Ceci est dû à l'asymétrie de notations déjà remarquée en note 3 page 32. En effet, la ligne interne étiquetée par  $q$  suppose que l'on somme sur tous les états  $|q, \{\nu\}\rangle$  du module de Verma  $\mathcal{H}_q$ , c'est-à-dire les descendants. Cette somme est implicite sur les "pattes" gauches et droites des opérateurs de vertex (états entrants et sortants), mais pour la patte supérieure, il n'en est rien car elle désigne l'opérateur lui-même et il faut expliciter la somme sur les descendants. La fusion s'écrit donc en explicitant cette somme :

$$\phi_{ip}^j(z_2)\phi_{pl}^k(z_3) = \sum_q F_{pq} \begin{array}{c} \text{j} \quad \text{k} \\ \text{i} \quad | \quad \text{l} \end{array} \sum_{\{\nu\} \in \mathcal{H}_q} \phi_{il}^{q, \{\nu\}}(z_2) \langle q, \{\nu\} | \phi_{qk}^j(z_2 - z_3) | k \rangle . \quad (3.25)$$

On pourrait la rendre plus symétrique en explicitant la somme sur les descendants de  $\mathcal{H}_p$  du membre de gauche grâce à 3.3, 3.4. Le membre de gauche peut ainsi s'écrire

$$\sum_{\{\nu\} \in \mathcal{H}_p} \phi_{ip}^j(z_2) | p, \{\nu\} \rangle \langle p, \{\nu\} | \phi_{pl}^k(z_3).$$

Cette base de blocs conformes<sup>14</sup>

$$\mathcal{F}_q^{riljk}(z_2, z_3) = \langle i | \phi_{il}^{q, \{\nu\}}(z_2) | l \rangle \langle q, \{\nu\} | \phi_{qk}^j(z_2 - z_3) | k \rangle = \begin{array}{c} \text{q} \quad | \quad \text{j} \quad \text{k} \\ \text{---} | \text{---} \text{l} \end{array} . \quad (3.26)$$

est celle qui diagonalise la dernière monodromie, celle de  $z_3$  autour de  $z_2$ . On peut le voir en faisant effectuer une rotation  $z_2 - z_3 \rightarrow e^{2i\pi}(z_2 - z_3)$  à l'opérateur  $\phi_{qk}^j(z_2 - z_3)$ . Les fonctions de corrélation physiques s'expriment également à partir de cette base de blocs conformes par

$$\langle i | \Phi^j(z_2, \bar{z}_2) \Phi^k(z_3, \bar{z}_3) | l \rangle = \sum_q d_q |\mathcal{F}_p^{riljk}(z_2, z_3)|^2 . \quad (3.27)$$

Et à nouveau, la localité de ces corrélateurs physiques pour la monodromie de  $z_3$  autour de  $z_2$  est équivalente à la transformation de dualité<sup>15</sup> 3.24.

<sup>14</sup> Nous les notons  $\mathcal{F}'$  contrairement aux blocs 3.10 et 3.11 notés tous les deux  $\mathcal{F}$  puisqu'il s'agissait de la même fonction avec indices  $k, l$  et arguments  $z_2, z_3$  échangés. Cette différence est encore due au traitement (en apparence) différent de la patte supérieure.

<sup>15</sup> Comme dans la note 13 page 37, nous notons que ce changement de base doit être orthonormal pour les blocs renormés  $(\sqrt{d_q} \mathcal{F}_q^{riljk}(z_2, z_3))_q$ .



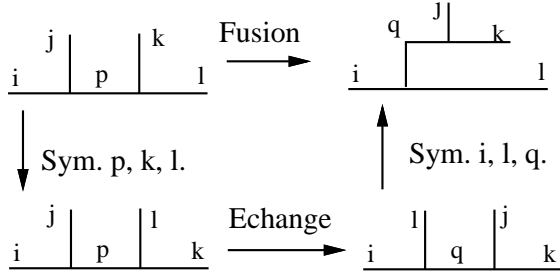


FIG. 3.5: La fusion peut être reliée à l'échange

Le terme de fusion n'a pas été utilisé par hasard pour désigner cette dualité  $s \rightarrow t$ . On peut en effet considérer cette fusion pour  $z_2 \rightarrow z_3$  comme un développement de produit d'opérateurs à courte distance. De manière standard en théorie des champs, les opérateurs  $\phi^i$  admettent un développement à courte distance du type

$$\phi^i(z_1)\phi^j(z_2) = \sum_{k, \{\nu\}} C_{k, \{\nu\}}^{ij}(z_1 - z_2)\phi^{k, \{\nu\}}(z_1) \quad (3.28)$$

les  $\phi^{k, \{\nu\}}$  constituant ici un ensemble complet d'opérateurs. Mais, en théorie conforme, la fusion en dit beaucoup plus. D'abord ce n'est pas qu'un développement à courte distance c'est une égalité vraie en tous points  $z_i$ . Ensuite, on sait beaucoup de choses sur les coefficients  $C_{k, \{\nu\}}^{ij}$  du développement : non seulement on sait depuis BPZ [1] qu'ils sont factorisés en (dépendance en les plus haut poids)  $\times$  (dépendance en les descendants), mais on connaît de plus la forme de la dépendance en les descendants qui est donnée par l'élément de matrice du quatrième opérateur de l'équation 3.25. C'est cette forme particulière de la dépendance en les descendants qui fait le lien entre le développement "traditionnel" et l'interprétation de la fusion en termes de dualité.

La fusion qui est donc en théorie conforme une vraie transformation de dualité peut également, grâce à la symétrie du vertex élémentaire Eq.3.23, être reliée à l'autre transformation de dualité qu'est l'échange. La figure 3.5 montre en effet que la fusion peut être réalisée par deux opérations de symétrie du vertex à trois pattes ainsi qu'une opération d'échange. Utilisant l'équation 3.23, le résultat est immédiat :

$$F_{pq} \begin{bmatrix} j & k \\ i & l \end{bmatrix} = e^{i\pi\epsilon(\Delta_p + \Delta_q - \Delta_i - \Delta_k)} B_{pq}^{(\epsilon)} \begin{bmatrix} j & l \\ i & k \end{bmatrix}. \quad (3.29)$$

Cette relation est déjà un exemple, des plus simples, d'équation polynomiale. Avant de les étudier plus systématiquement dans la partie suivante, nous terminons cette partie par deux remarques.

Nous avons discuté ici les changements de bases entre celles des blocs conformes qui diagonalisent les monodromies autour de 0, 1 et  $\infty$ . Nous avons observé que les coupures de ces blocs étaient différentes selon les bases. Mais on peut envisager d'autres changements de base, qui ne diagonalisent aucune monodromie. C'est ce qui est fait en partie 4.2 (où on effectue de manière équivalente un changement de base sur les opérateurs plutôt que sur les blocs conformes). Les nouveaux opérateurs, qui n'ont pas une monodromie déterminée, ont en revanche l'avantage d'être dans des représentations du groupe quantique  $U_q(sl(2))$ . Ce changement de base est d'un genre plus simple que ceux que nous venons de voir ici puisqu'il ne modifie pas la

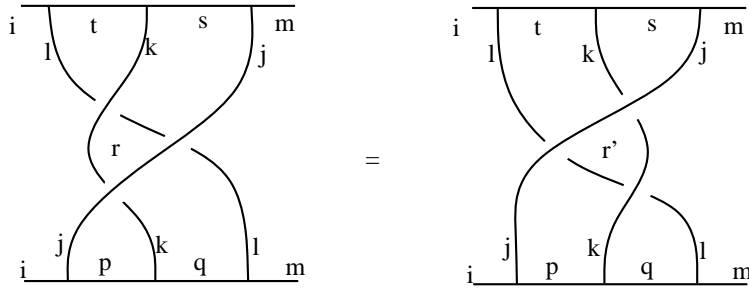


FIG. 3.6: Relation de Yang-Baxter

place des coupures. Et de la même manière ces nouveaux opérateurs ont aussi un échange (et une fusion) qui relie les bases avec coupures différentes.

Dans l'approche de la théorie de Liouville présentée ici, nous parlerons plus souvent (et de manière équivalente) d'opérateurs physiques locaux que de corrélateurs physiques locaux. C'est l'objet de la deuxième remarque. Il faudra alors de manière équivalente vérifier que ces opérateurs physiques :

- sont inchangés par monodromie autour de 0
- ont un échange et une fusion qui ne s'expriment qu'en termes des mêmes opérateurs ce qui garantira de même que leurs fonctions de corrélations sont aussi invariantes par monodromie autour de 1 et de l'infini.

Ceci pourra être fait grâce aux résultats du chapitre suivant pour l'exponentielle de Liouville 2.49 du couplage faible introduit dans le chapitre précédent, et sera également fait pour les opérateurs du couplage fort dans le dernier chapitre.

### 3.3 Les équations polynomiales

Comme nous l'avons dit en introduction, les équations polynomiales sont les équations de cohérence de l'algèbre qui comprend l'échange (Eq.3.19), la fusion (Eq.3.24) et la symétrie (Eq.3.23), ainsi que les transformations modulaires en genre supérieur ou égal à un, ce dont nous ne parlerons pas ici. En effet, vu le nombre important de transformations existantes, on peut souvent faire la même transformation (i.e. passer d'une base de blocs conformes à une autre) de plusieurs façons différentes. La cohérence implique donc qu'elles soient équivalentes. La figure 3.5 en est un exemple. L'équivalence des deux "voies" de transformations représentées a pour conséquence l'équation 3.29. Nous avons aussi vu un autre exemple simple, celui des deux échanges successif  $B^{(-)}B^{(+)}$  (Eq.3.20). Sa représentation en termes de nœuds (fig.3.3) est bien adaptée au cas de l'échange.

Appliquons le maintenant à la fonction à cinq points. On peut inverser l'ordre des trois opérateurs de vertex de deux façons différentes, en commençant par échanger les deux de droite ou les deux de gauche, comme illustré sur la figure 3.6. Ceci, par cohérence, ne donne pas autre chose que la célèbre équation de Yang-Baxter :

$$\sum_r B_{pr}^{(\epsilon)} \begin{bmatrix} j & k \\ i & q \end{bmatrix} B_{qs}^{(\epsilon)} \begin{bmatrix} j & l \\ r & m \end{bmatrix} B_{rt}^{(\epsilon)} \begin{bmatrix} k & l \\ i & s \end{bmatrix} = \sum_{r'} B_{qr'}^{(\epsilon)} \begin{bmatrix} k & l \\ p & m \end{bmatrix} B_{pt}^{(\epsilon)} \begin{bmatrix} j & l \\ i & r' \end{bmatrix} B_{r's}^{(\epsilon)} \begin{bmatrix} j & k \\ t & m \end{bmatrix} \quad (3.30)$$

qui est donc aussi une des équations polynomiales.

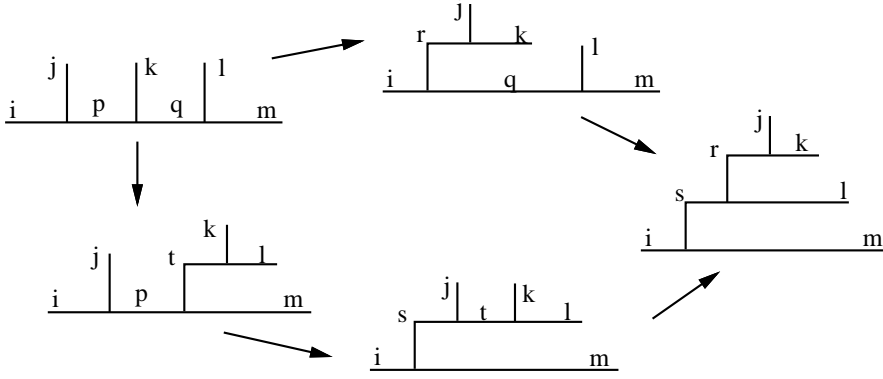


FIG. 3.7: Equation pentagonale (associativité de la fusion)

Combinant fusion et échange, on peut obtenir de très nombreuses relations. Moore et Seiberg ont montré qu'en genre 0 toutes les équations polynomiales pouvaient être obtenues à partir de la relation pentagonale et des deux relations hexagonales que nous présentons maintenant. Ce sont des relations impliquant uniquement la matrice de fusion. Les équations contenant aussi la matrice d'échange sont obtenues grâce à la relation 3.29. L'équation pentagonale est l'expression de l'associativité de la fusion. La figure 3.7 montre comment on peut fusionner les trois opérateurs de vertex de la fonction à cinq points en commençant par la gauche ou la droite et obtenir le même résultat. Contrairement à l'associativité usuelle et comme on le voit sur la figure, il faut effectuer cinq opérations de fusion et non quatre. En effet, la comparaison de deux fusions en commençant par la gauche à deux fusions par la droite, donne

$$\begin{aligned}
\phi_{ip}^j \phi_{pq}^k \phi_{qm}^l &= \sum_{s,r} F_{pr} \begin{bmatrix} j & k \\ i & q \end{bmatrix} F_{qs} \begin{bmatrix} r & l \\ i & m \end{bmatrix} \sum_{\{\nu_r\} \in \mathcal{H}_r, \{\nu_s\} \in \mathcal{H}_s} \phi_{im}^{s, \{\nu_s\}} \langle s, \{\nu_s\} | \phi_{sl}^{r, \{\nu_r\}} | l \rangle \langle r, \{\nu_r\} | \phi_{rk}^j | l \rangle = \\
&\sum_{t,s} F_{qt} \begin{bmatrix} k & l \\ p & m \end{bmatrix} F_{ps} \begin{bmatrix} j & t \\ i & m \end{bmatrix} \sum_{\{\nu_t\} \in \mathcal{H}_t, \{\nu_s\} \in \mathcal{H}_s} \phi_{im}^{s, \{\nu_s\}} \langle s, \{\nu_s\} | \phi_{st}^j | t, \{\nu_t\} \rangle \langle t, \{\nu_t\} | \phi_{tl}^k | l \rangle .
\end{aligned} \tag{3.31}$$

Les éléments de matrice des deux membres sont différents, on ne peut donc rien conclure sur cette expression. Comme indiqué par la figure 3.7 il faut effectuer une cinquième fusion (d'où le nom d'équation pentagonale) sur les deux opérateurs dont les éléments de matrice sont dans le membre de droite (après utilisation de la relation de fermeture 3.4). Ensuite, les éléments de matrice des deux membres sont identiques, autrement dit on est dans la même base des blocs conformes à cinq points, et on peut projeter sur l'état final de la figure 3.7 de nombres quantiques  $i, j, k, l, m, r, s$  pour obtenir

$$F_{pr} \begin{bmatrix} j & k \\ i & q \end{bmatrix} F_{qs} \begin{bmatrix} r & l \\ i & m \end{bmatrix} = \sum_t F_{qt} \begin{bmatrix} k & l \\ p & m \end{bmatrix} F_{ps} \begin{bmatrix} j & t \\ i & m \end{bmatrix} F_{tr} \begin{bmatrix} j & k \\ s & l \end{bmatrix} . \tag{3.32}$$

Si, au lieu d'utiliser la forme 3.25 de la fusion, on veut examiner l'associativité de la fusion par son expression traditionnelle 3.28 on a deux solutions : soit on ne considère que l'ordre dominant, c'est-à-dire uniquement l'opérateur primaire  $\phi^s$  de poids  $\Delta_s$  minimal, et on n'a plus alors aucune somme dans 3.31 et le résultat est assez trivial. Soit on veut considérer les ordres suivants, mais alors on doit nécessairement

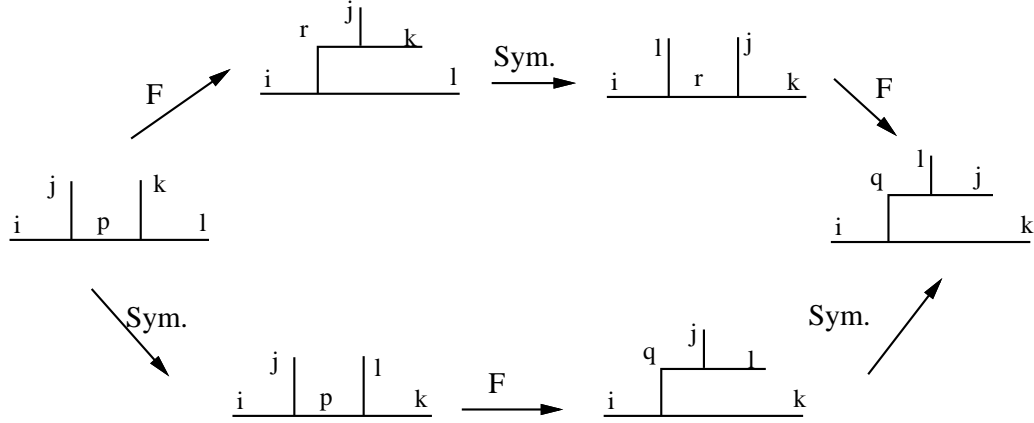


FIG. 3.8: Equation hexagonale

inclure la multitude des descendants, puisque la dépendance en  $z$  du coefficient de fusion  $C_{k,\{\nu\}}^{ij}(z_1 - z_2)$  est  $(z_1 - z_2)^{(\Delta_k + N) - \Delta_i - \Delta_j}$  pour un descendant d'ordre  $N$  qui peut donc très bien dominer un champ primaire de poids  $\Delta_{k'}$ . Il est fort probable que sans écrire la dépendance dans les descendants sous forme d'un élément de matrice comme en 3.25, on ne puisse pas aller plus loin.

De la même manière, les deux équations hexagonales qui avec l'équation pentagonale permettent d'engendrer toutes les équations polynomiales, peuvent être déduites de la figure 3.8 :

$$F_{pq} \begin{bmatrix} j & l \\ i & k \end{bmatrix} e^{i\pi\epsilon(\Delta_i + \Delta_j + \Delta_k + \Delta_l - \Delta_p - \Delta_q)} = \sum_r F_{pr} \begin{bmatrix} j & k \\ i & l \end{bmatrix} F_{rq} \begin{bmatrix} l & j \\ i & k \end{bmatrix} e^{i\pi\epsilon\Delta_r}. \quad (3.33)$$

# Chapitre 4

## THEORIE DE LIOUVILLE : L'ALGEBRE D'OPERATEURS

Je présente dans ce chapitre, ainsi que le suivant, mes contributions à la résolution de la théorie de Liouville. Elles constituent le corps de cette thèse. Elles sont décrites en détail dans les articles [P1] (partie 4.1) et [P2] (partie 4.2) par E. Cremmer, J.-L. Gervais et moi-même pour ce qui est de l'algèbre d'opérateurs, et [P3,P4,P5] (chapitre suivant) par J.-L. Gervais et moi-même pour ce qui est du couplage fort. Ils sont joints en annexe à cette thèse (sauf pour la dernière publication [P5] encore à paraître). J'y ai également ajouté [P6], ma contribution aux Journées Jeunes Chercheurs 93 qui constitue un résumé de la situation, très succinct mais en français. Le lecteur intéressé trouvera dans les refs.[P1,P2,P3,P4] jointes en annexe les considérations les plus techniques sur lesquelles je ne m'étendrai pas ici.

Il est connu depuis longtemps que, pour l'approche opératorielle de la théorie de Liouville et plus généralement de certaines théories conformes, il existe deux bases d'opérateurs ou de blocs conformes particulièrement intéressantes. Les blocs conformes sont en effet l'espace vectoriel des solutions d'une équation différentielle, l'équation de bootstrap, dont on peut choisir diverses bases. L'équivalent en termes d'opérateurs est l'existence de plusieurs familles conformes de même poids  $\Delta_{J,\hat{J}}$  dont on peut considérer des combinaisons linéaires.

La première possibilité consiste à diagonaliser la matrice de monodromie des opérateurs (autour de 0). Ceci est équivalent à un choix de base des blocs conformes dont toutes les "pattes internes" (cf 3.10) sont des états d'un module de Verma déterminé. C'est le choix fait dans le chapitre 2 pour les opérateurs  $V_{m,\hat{m}}^{(J,\hat{J})}$  ainsi que dans le formalisme de Moore et Seiberg dans le chapitre précédent. Ce choix a également l'avantage de donner des fonctions à trois points qui ont une symétrie des plus simples (Eq.3.23). En théorie de Liouville, cette base est généralement appelée base des ondes de Bloch. Nous déterminons l'algèbre de fusion et d'échange de ces opérateurs dans la première partie de ce chapitre. Ses coefficients sont essentiellement donnés par des coefficients de 6-j du groupe quantique.

La deuxième base digne d'intérêt est celle du groupe quantique. Nous déterminons la fusion et l'échange de ces opérateurs notés  $\xi$  dans la deuxième partie de ce chapitre. Ils peuvent être obtenus en demandant que leurs coefficients de fusion et d'échange ne dépendent pas de du module de Verma sur lequel ils s'appliquent, ou de manière équivalente du mode-zéro  $\varpi$ . Il est remarquable que cette

seule condition, qui détermine les opérateurs  $\xi$  (à une normalisation près), suffise à donner pour ces opérateurs des coefficients de fusion et d'échange qui sont respectivement les Clebsch-Gordan et la matrice  $R$  du groupe quantique. Ceci met donc en évidence la symétrie interne de la théorie : celle du groupe quantique  $U_q(sl(2))$ . C'est clairement l'intérêt majeur de cette base. L'action de  $U_q(sl(2))$  sur ces opérateurs n'est cependant pas explicitement réalisée ici<sup>1</sup>, et nous nous intéresserons en fait davantage aux transformations d'échange et de fusion qui permettent d'examiner la localité des corrélateurs physiques. En revanche, le formalisme de Moore et Seiberg ne s'applique pas directement à cette base (puisqu'elle ne diagonalise aucune monodromie) et en particulier la fusion de ces opérateurs contient un élément de matrice des opérateurs  $V$ . Alors que les opérateurs  $V$  de la base de Bloch sont reliés à un modèle IRF (Interaction Round a Face), les opérateurs  $\xi$  du groupe quantique sont reliés à un modèle à vertex.

La base des ondes de Bloch, plus naturelle à priori, a précédé celle du groupe quantique. La matrice de changement de base a été déterminée par Babelon [27] pour le spin 1/2 puis par Gervais [17] pour tous spins, Babelon en donnant finalement une forme universelle [28]. Babelon a également déterminé en ref.[28] la forme universelle de la matrice d'échange des opérateurs  $V$ , sans remarquer qu'elle était donnée par des 6-j (à des normalisations près).

Précisons ce qu'il y a de nouveau dans les travaux présentés ici.

L'échange des opérateurs  $V$  de type IRF était déjà connu par la formule universelle de Babelon [28]. Cependant, le rapport entre les coefficients d'échange des  $V$  et les 6-j de  $U_q(sl(2))$  n'était pas établi<sup>2</sup>. La fusion, en revanche, n'était utilisée qu'à l'ordre dominant pour engendrer des opérateurs de spins supérieurs. Outre les coefficients d'échange déjà plus ou moins connus, nous déterminons donc également la forme de la fusion, prouvant pour ce cas particulier la forme générale 3.25 de la fusion à la Moore et Seiberg, ainsi que l'expression des coefficients de fusion des opérateurs de type IRF. Mais surtout la nouveauté importante est l'extension de ces résultats à des spins continus, c'est-à-dire à des représentations non réductibles de l'algèbre de Virasoro, hors de la table de Kac. Cette extension s'est avérée nécessaire pour pouvoir traiter le cas des spins fractionnaires (non demi-entiers) qu'il faut absolument inclure dans le régime de couplage fort, comme nous le verrons dans le prochain chapitre. Ceci nous a amenés en [P3] à généraliser les 6-j à des spins continus et à prouver les équations de Bideharn-Elliot, de Racah et d'orthogonalité correspondantes. Une caractéristique de cette extension à des spins continus est que la double structure de groupe quantique  $U_q(sl(2)) \odot U_{\hat{q}}(sl(2))$  n'est plus dans ce cas une simple structure de (quasi) produit tensoriel. Les quantités correspondant aux paramètres de déformation  $h$  et  $\hat{h}$  (comme  $J$  et  $\hat{J}$ ) ne peuvent plus être séparées.

Pour les opérateurs  $\xi$  du groupe quantique, on calcule la fusion à tous les ordres. Alors que l'échange est donné par la matrice  $R$  universelle, les coefficients de fusion sont des Clebsch-Gordan de  $U_q(sl(2))$ . Nous faisons également ceci pour

---

<sup>1</sup> Ceci a été fait récemment par E. Cremmer, J.-L. Gervais et J. Schnitger et sera publié prochainement. L'action des générateurs  $J_{\pm}, J_3$  de  $U_q(sl(2))$  est réalisé par la commutation avec les opérateurs  $\xi_{\pm 1/2}^{(1/2)}$ . Ceci leur a également permis de déterminer l'action de  $U_q(sl(2))$  sur les opérateurs  $V$ .

<sup>2</sup> Il avait été établi en ref.[29] dans l'approche du gaz de Coulomb un lien entre ces coefficients d'échange et des poids de Boltzman de modèles IRF, eux-mêmes en rapport avec des 6-j.

des spins continus qui donnent des représentations infinies de  $U_q(sl(2))$ . Appliquant correctement le changement de base des  $V$  aux  $\xi$ , l'expression de la fusion des  $V$  à la Moore et Seiberg montre que la fusion des  $\xi$  contient un élément de matrice des  $V$ , qui peut être vu comme exprimant la dépendance en  $z$  pour les descendants obtenus par fusion. Ceci est absolument nécessaire pour que la fusion des  $\xi$  soit associative. En effet, du point de vue du groupe quantique, la fusion des  $\xi$  (qui sont dans des représentations du groupe quantique) correspond à la décomposition en représentations irréductibles du produit tensoriel de représentations, qui s'exprime par des Clebsch-Gordan. Or, comme chacun le sait, effectuer cette décomposition pour le produit tensoriel de trois représentations en commençant par la droite ou par la gauche ne donne pas le même résultat, ce qui mettrait en défaut une associativité naïve de la fusion des  $\xi$ . Le lien entre ces deux décompositions est fait par des 6-j, et ce sera précisément le rôle des éléments de matrice des  $V$ , dont la fusion est donnée par des 6-j, que d'assurer l'associativité de la fusion des  $\xi$ .

Avant le changement de base de Babelon et Gervais, une autre manière de passer d'un modèle IRF à un modèle à vertex avait été proposé par Pasquier (voir ref.[37] puis [38]). Partant d'un modèle IRF (ou SOS, "Solid On Solid"), dont l'algèbre est donnée par des 6-j, on peut en effet construire, par le biais de Clebsch-Gordan, des opérateurs d'un modèle à vertex. Il ne s'agit pas à proprement parler d'un changement de base puisque les opérateurs de type vertex vivent dans un espace différent, étendu par rapport à l'espace de Hilbert initial. Ici aussi, l'échange des opérateurs de type modèle à vertex est donné par la matrice  $R$  alors que celui des opérateurs de type IRF était donné par des 6-j. La coexistence de ces deux transformations est longtemps restée une énigme, le lien entre elles étant inconnu. Nous avons montré en [P2] que la matrice de changement de base de Babelon et Gervais est la limite des Clebsch-Gordan de ref.[37, 38] lorsque le nombre quantique supplémentaire introduit en [37, 38] tend vers l'infini. J'explique ici plus précisément qu'en [P2] comment cette limite rend triviale l'extension de l'espace de Hilbert, permettant d'identifier complètement cette limite à la construction précédente.

Ceci nous a donné l'idée d'étudier une autre limite infinie : dans celle-ci, le modèle IRF correspondant aux  $V$  a pour limite le modèle à vertex lié aux  $\xi$  (quand les spins sur les faces tendent vers l'infini<sup>3</sup>). Les 6-j, poids de Boltzman du modèle IRF, ont pour limite des éléments de matrice  $R$  ou des Clebsch-Gordan. Ceci n'a été fait en [P2] que pour des spins demi-entiers<sup>4</sup>. *La partie qui traite de ces limites n'a donc pas été publiée ailleurs et sera imprimée en italique de manière à ressortir.* Cette limite permet ensuite de démontrer à partir des équations vérifiées par les 6-j toutes les équations impliquant des Clebsch-Gordan et des éléments de matrice  $R$  pour des spins continus.

Nous avons également proposé en ref.[P2] une représentation géométrique tridimensionnelle de l'algèbre des  $\xi$  en termes de tétraèdres. Une telle représentation du modèle IRF, pour lequel les tétraèdres sont des 6-j dont les six spins sont sur les

---

<sup>3</sup> Ce lien entre modèles IRF et à vertex a été mis en évidence par Witten [36] dans un cadre plus général.

<sup>4</sup> De plus, il faut donner une partie imaginaire aux spins qui tendent vers l'infini, ce qui exige une extension des 6-j à des spins non demi-entiers. Cette extension avait été faite de manière arbitraire en [P2], en particulier sans vérifier que ces 6-j généralisés satisfaisaient toujours aux équations de Bideharn-Elliot, de Racah et d'orthogonalité. C'est pourquoi nous réexaminons ici cette limite en utilisant les 6-j généralisés en [P3], pour lesquels les équations précédentes ont été prouvées.

arêtes, était déjà connue. C'est ce qui a permis de formuler la gravité simplicielle tridimensionnelle, en pavant l'espace de tétraèdres [30]. Notre représentation en est une généralisation, certains tétraèdres étant des Clebsch-Gordan ou des éléments de matrice  $R$  dont les nombres quantiques magnétiques  $M$  sont figurés sur les faces. Nous ne reprendrons pas cette représentation dans le corps de cette thèse, par souci de brièveté.

## 4.1 La base des ondes de Bloch

Nous déterminons ici complètement l'algèbre des opérateurs  $V$  de la base qui diagonalise la monodromie, celle des ondes de Bloch. C'était également le choix fait par Moore et Seiberg dans le chapitre précédent, et leur formalisme s'appliquera donc directement. Les coefficients de cette algèbre d'opérateurs peuvent être interprétés comme les poids de Boltzmann d'un modèle IRF ou SOS.

Par souci de lisibilité, nous énonçons les résultats dans une première sous-partie et esquissons la méthode de résolution (par transformation des fonctions à quatre points calculables par équation de bootstrap) dans une deuxième sous-partie, qui peut être considérée comme un guide de lecture des articles joints en annexe. Consacrer une partie entière à l'exposé des résultats nous a paru nécessaire pour expliquer correctement la généralisation des spins demi-entiers aux spins continus.

### 4.1.1 Les résultats

#### Le cas standard : les spins demi-entiers

Commençons par les opérateurs standards  $V_{m,\hat{m}}^{(J,\hat{J})}$  introduits précédemment, de spins  $J$  et  $\hat{J}$  demi-entiers. Nous rappelons qu'ils engendrent des modules de Verma réductibles correspondant aux cas  $(2\hat{J} + 1, 2J + 1)$  de la classification de BPZ que nous notons  $\mathcal{H}_{J,\hat{J}}$  (Eq.2.45).

Les indices  $i, j, k, l, p...$  génériques de Moore et Seiberg sont donc dans le cas présent chacun un couple de spins<sup>5</sup>  $(J_i, \hat{J}_i)$ . Nous rappelons que les opérateurs du chapitre précédent  $\phi_{ik}^j$ , pour lesquels les nombres quantiques des trois pattes sont précisés, sont des restrictions des opérateurs de Liouville du chapitre 2. Utilisant pour la dernière fois la notation  $\phi_{\cdot}$  du chapitre précédent, on a la correspondance :

$$\phi_{(J_{12}, \hat{J}_{12}), (J_2, \hat{J}_2)}^{(J_1, \hat{J}_1), \{\nu\}} = \mathcal{P}_{J_{12}, \hat{J}_{12}} V_{J_2 - J_{12}, \hat{J}_2 - \hat{J}_{12}}^{(J_1, \hat{J}_1), \{\nu\}} \mathcal{P}_{J_2, \hat{J}_2} \quad (4.1)$$

où  $\mathcal{P}_{J_{12}, \hat{J}_{12}}$  est le projecteur sur le module de Verma  $\mathcal{H}_{J_{12}, \hat{J}_{12}}$ .

Un bloc conforme à quatre points est donc représenté graphiquement par

$$\begin{array}{c} \begin{array}{c} \hat{J}_1 \uparrow \\ \downarrow J_1 \\ \bullet \\ \downarrow J_{23} \uparrow \\ \bullet \\ \downarrow J_3 \uparrow \\ \bullet \end{array} \\ \begin{array}{c} \hat{J} \uparrow \\ \downarrow J \\ \bullet \\ \downarrow J_{23} \uparrow \\ \bullet \\ \downarrow J_3 \uparrow \\ \bullet \end{array} \end{array} = \langle J, \hat{J} | V_{J_{23}-J, \hat{J}_{23}-\hat{J}}^{(J_1, \hat{J}_1)} V_{J_3-J_{23}, \hat{J}_3-\hat{J}_{23}}^{(J_2, \hat{J}_2)} | J_3, \hat{J}_3 \rangle . \quad (4.2)$$

<sup>5</sup> Il a été introduit en [P1] une notation  $\underline{J} \equiv (J, \hat{J})$  que nous n'utiliserons pas ici afin de ne pas multiplier les notations.



Les points introduits sur les vertex indiquent que les règles de sélection<sup>6</sup> pour des spins demi-entiers sont les inégalités triangulaires standard<sup>7</sup> de  $Sl(2)$  :

$$\begin{array}{c} \begin{array}{c} \hat{J}_1 \\ | \\ \bullet \\ \bullet \\ \bullet \\ \hline \hat{J}_2 \end{array} \\ \bullet \\ \bullet \\ \bullet \\ \hline \hat{J}_3 \end{array} \rightarrow \left\{ \begin{array}{l} J_1 + J_2 - J_{12} \in \mathcal{N}, \\ J_{12} + J_2 - J_1 \in \mathcal{N}, \\ J_1 + J_{12} - J_2 \in \mathcal{N}, \\ \hat{J}_1 + \hat{J}_{12} - \hat{J}_2 \in \mathcal{N} \\ \hat{J}_1 + \hat{J}_2 - \hat{J}_{12} \in \mathcal{N} \\ \hat{J}_{12} + \hat{J}_2 - \hat{J}_1 \in \mathcal{N} \end{array} \right\} \Rightarrow \left\{ \begin{array}{l} 2J_1, 2J_2, 2J_{12} \in \mathcal{N} \\ 2\hat{J}_1, 2\hat{J}_2, 2\hat{J}_{12} \in \mathcal{N} \end{array} \right. \quad (4.3)$$

Nous reviendrons sur la signification de ces points lors de la généralisation à des spins continus. Nous en reparlerons dans la prochaine sous-partie, mais nous précisons déjà ici que les règles de sélection 4.3 ne sont pas du tout *ad hoc* mais proviennent du calcul.

Nous donnons maintenant l'expression de la fusion et de l'échange de ces opérateurs. Conformément au schéma général de Moore et Seiberg, la fusion s'écrit

$$\begin{array}{c} \hat{J}_1 \\ | \\ \bullet \\ \bullet \\ \bullet \\ \hline \hat{J}_2 \end{array} \begin{array}{c} \hat{J}_3 \\ | \\ \bullet \\ \bullet \\ \bullet \\ \hline \hat{J}_4 \end{array} = \sum_{J_{12}, \hat{J}_{12}} F_{(J_{23}, \hat{J}_{23}), (J_{12}, \hat{J}_{12})} \begin{bmatrix} (J_1, \hat{J}_1) & (J_2, \hat{J}_2) \\ (J, \hat{J}) & (J_3, \hat{J}_3) \end{bmatrix} \begin{array}{c} \hat{J}_1 \\ | \\ \bullet \\ \bullet \\ \bullet \\ \hline \hat{J}_2 \end{array} \begin{array}{c} \hat{J}_3 \\ | \\ \bullet \\ \bullet \\ \bullet \\ \hline \hat{J}_4 \end{array} \quad (4.4)$$

Nous avons calculé en [P1] la valeur du coefficient de fusion :

$$F_{(J_{23}, \hat{J}_{23}), (J_{12}, \hat{J}_{12})} \begin{bmatrix} (J_1, \hat{J}_1) & (J_2, \hat{J}_2) \\ (J, \hat{J}) & (J_3, \hat{J}_3) \end{bmatrix} = e^{i\pi f_V(J_i)} \frac{g_{(J_1, \hat{J}_1), (J_2, \hat{J}_2)}^{(J_{12}, \hat{J}_{12})} g_{(J_{12}, \hat{J}_{12}), (J_3, \hat{J}_3)}^{(J, \hat{J})}}{g_{(J_2, \hat{J}_2), (J_3, \hat{J}_3)}^{(J_{23}, \hat{J}_{23})} g_{(J_1, \hat{J}_1), (J_{23}, \hat{J}_{23})}^{(J, \hat{J})}} \left\{ \begin{array}{c} J_1 \ J_2 \\ J_3 \ J \end{array} \middle| \begin{array}{c} J_{12} \\ J_{23} \end{array} \right\} \left\{ \begin{array}{c} \hat{J}_1 \ \hat{J}_2 \ \hat{J}_{12} \\ \hat{J}_3 \ \hat{J} \ \hat{J}_{23} \end{array} \right\}, \quad (4.5)$$

où les 6-j sont des 6-j déformés (du groupe quantique) avec paramètre de déformation  $h$  pour le premier et  $\hat{h}$  pour le deuxième figuré avec des chapeaux. Il s'agit des 6-j de normalisation non symétrique (pas ceux de Racah-Wigner), comme indiqué par le trait vertical qui isole les spins  $J_{12}$  et  $J_{23}$  (cf [35, 40]). Leur expression est donnée plus loin en Eq.4.30 dans le cas de spins continus (cf aussi [P3] Eqs.3.5, 3.25). Les coefficients  $g$  ont pour valeur

$$g_{(J_1, \hat{J}_1), (J_2, \hat{J}_2)}^{(J_{12}, \hat{J}_{12})} = (-1)^{p\hat{p}} (i/2)^{p+\hat{p}} \frac{H_{p\hat{p}}(\varpi_{J_1, \hat{J}_1}) H_{p\hat{p}}(\varpi_{J_2, \hat{J}_2}) H_{p\hat{p}}(-\varpi_{J_{12}, \hat{J}_{12}})}{H_{p\hat{p}}(\varpi_{p/2, \hat{p}/2})} \quad (4.6)$$

avec  $p \equiv J_1 + J_2 - J_{12}$ ,  $\hat{p} \equiv \hat{J}_1 + \hat{J}_2 - \hat{J}_{12}$  et

$$H_{p\hat{p}}(\varpi) = \frac{\prod_{r=1}^p \sqrt{F(\widehat{\varpi} - rh/\pi)} \prod_{r=1}^{\hat{p}} \sqrt{F(\varpi - \hat{r}\pi/h)}}{\prod_{r=1}^p \prod_{r=1}^{\hat{p}} (\varpi \sqrt{h/\pi} - r \sqrt{h/\pi} - \hat{r} \sqrt{\pi/h})}, \quad F(z) \equiv \frac{\Gamma(z)}{\Gamma(1-z)}. \quad (4.7)$$

<sup>6</sup> Etant donné trois représentations de l'algèbre de Virasoro, dans une théorie, il existe ou il n'exite pas de vertex interpolant ("intertwining") entre elles (comme 4.3, 4.15, 4.16...). C'est ce que nous appelons ici règles de sélection. Elles sont appelées ailleurs règles de fusion, en particulier par Verlinde[33] où elles sont représentées par les entiers naturels  $N_{ij}^k$  qui valent 0 pour les transitions interdites. Nous n'utilisons pas ici le terme de règles de fusion pour ne pas risquer de créer de confusion avec la fusion au sens plein du terme (Eqs.3.25, 4.4...).

<sup>7</sup>  $\mathcal{N}$  désigne l'ensemble des entiers naturels.

Il y a également une expression plus élégante de  $H$  en termes de chemins (voir ref.[P1] Eq.4.26 ou ref.[P3] Eq.4.20). La phase  $f_V$  (donnée en [P1] Eq.4.8 et avec correction en [P3] Eq.4.21) est un demi-entier et donne donc juste une puissance de  $i$ .

L'échange est donné par

$$\begin{array}{c} \hat{J}_1 \uparrow \\ | \\ \bullet \\ | \\ \hat{J}_1 \uparrow \\ \bullet \\ | \\ \hat{J}_2 \uparrow \\ | \\ \bullet \\ | \\ \hat{J}_2 \uparrow \\ \bullet \\ | \\ \hat{J}_3 \uparrow \\ | \\ \bullet \\ | \\ \hat{J}_3 \uparrow \\ \bullet \\ | \\ \hat{J} \uparrow \\ \bullet \\ | \\ \hat{J} \uparrow \end{array} = \sum_{J_{13}, \hat{J}_{13}} B_{(J_{23}, \hat{J}_{23}), (J_{13}, \hat{J}_{13})}^{(\pm)} \begin{bmatrix} (J_1, \hat{J}_1) & (J_2, \hat{J}_2) \\ (J, \hat{J}) & (J_3, \hat{J}_3) \end{bmatrix} \begin{array}{c} \hat{J}_2 \uparrow \\ | \\ \bullet \\ | \\ \hat{J}_{13} \uparrow \\ | \\ \bullet \\ | \\ \hat{J}_{13} \uparrow \\ | \\ \bullet \\ | \\ \hat{J}_1 \uparrow \\ | \\ \bullet \\ | \\ \hat{J}_3 \uparrow \\ | \\ \bullet \\ | \\ \hat{J} \uparrow \\ \bullet \\ | \\ \hat{J} \uparrow \end{array} \quad (4.8)$$

avec

$$\begin{aligned} B_{(J_{23}, \hat{J}_{23}), (J_{13}, \hat{J}_{13})}^{(\pm)} \begin{bmatrix} (J_1, \hat{J}_1) & (J_2, \hat{J}_2) \\ (J, \hat{J}) & (J_3, \hat{J}_3) \end{bmatrix} &= e^{i\pi f_B(J_i)} e^{\pm i\pi(\Delta_{J, \hat{J}} + \Delta_{J_3, \hat{J}_3} - \Delta_{J_{23}, \hat{J}_{23}} - \Delta_{J_{13}, \hat{J}_{13}})} \\ \frac{g_{(J_1, \hat{J}_1), (J_3, \hat{J}_3)}^{(J_1, \hat{J}_1)} g_{(J_2, \hat{J}_2), (J_{13}, \hat{J}_{13})}^{(J, \hat{J})}}{g_{(J_2, \hat{J}_2), (J_3, \hat{J}_3)}^{(J_2, \hat{J}_2)} g_{(J_1, \hat{J}_1), (J_{23}, \hat{J}_{23})}^{(J, \hat{J})}} &\left\{ \begin{array}{c} J_1 \quad J_3 \\ J_2 \quad J_{123} \end{array} \middle| \begin{array}{c} J_{13} \\ J_{23} \end{array} \right\} \left\{ \begin{array}{c} \hat{J}_1 \quad \hat{J}_3 \\ \hat{J}_2 \quad \hat{J}_{123} \end{array} \middle| \begin{array}{c} \hat{J}_{13} \\ \hat{J}_{23} \end{array} \right\} \end{aligned} \quad (4.9)$$

où  $f_B$  peut par exemple être déduit de  $f_V$  par symétrie de la fonction à trois points.

Que ce soit pour l'échange ou la fusion, les coefficients  $g$  peuvent être interprétés comme des normalisations des opérateurs de vertex ce qui permet de définir des opérateurs renormés  $\tilde{V}$

$$\mathcal{P}_{J_{12}, J_{12}} \tilde{V}^{(J_1, J_1)}(z) \mathcal{P}_{J_2, J_2} = g_{(J_1, \hat{J}_1), (J_2, \hat{J}_2)}^{(J_{12}, \hat{J}_{12})} \mathcal{P}_{J_{12}, J_{12}} V^{(J_1, J_1)}(z) \mathcal{P}_{J_2, J_2} \quad (4.10)$$

dont l'algèbre est donnée uniquement par des 6-j (et les exponentielles des poids conformes pour l'échange, comme il se doit). Les équations d'orthogonalité, de Racah et de Bideharn-Elliot pour les 6-j q-déformés[35] permettent de prouver que les coefficients de fusion et d'échange des  $\tilde{V}$  vérifient les équations polynomiales. Dans le cas des opérateurs  $V$ , les normalisations  $g$  s'annulent deux à deux et disparaissent des équations polynomiales. Il faut également vérifier que les phases  $f_V$  et  $f_B$  s'annulent bien. Ceci est fait en [P1] (avec correction en [P3]) et nous ne nous étendons pas davantage sur ces détails ici, d'autant que ces phases disparaissent très élégamment dans le cas de spins continus, auquel nous passons maintenant.

## Les spins continus

L'introduction de spins non demi-entiers, c'est-à-dire de représentations irréductibles de l'algèbre de Virasoro, est apparue nécessaire pour obtenir une fonction de partition invariante modulaire dans le régime de couplage fort, que nous abordons dans le prochain chapitre. Il s'agit donc ici de se donner les outils techniques nécessaires à la résolution de la théorie physique dans le régime de couplage fort au chapitre 5.

Le lecteur attentif a sûrement déjà remarqué que les blocs conformes considérés initialement par Gervais et Neveu (chapitre 2) étaient plus généraux que ceux dont nous venons de déterminer les matrices  $B$  et  $F$ . Les moments  $\varpi$  des états pouvaient en effet être quelconques, alors que nous les avons ici restreints aux représentations réductibles de moments  $\varpi = \varpi_{J, \hat{J}}$ . Mais la correspondance entre états et opérateurs exigeait de considérer également des opérateurs de spins quelconques.

Il est facile pour commencer de généraliser à des spins continus, notés  $J^e$ , l'exponentielle de champ libre 2.41

$$V_{-J^e}^{(J^e)} \propto e^{2J^e \sqrt{h/2\pi} q_0^{(1)}} : e^{2J^e \sqrt{h/2\pi} (p_0^{(1)} \sigma + i \sum_{n \neq 0} e^{-in\sigma} p_n^{(1)}/n)} : \text{ pour } J^e \in R \text{ (ou même } C). \quad (4.11)$$

Ce sont les opérateurs<sup>8</sup> qui engendrent tous les états de plus haut poids à partir du vide  $Sl(2, C)$  invariant  $|\varpi_0\rangle = |1 + \pi/h\rangle$  :

$$V_{-J^e}^{(J^e)}(z)|\varpi_0\rangle \rightarrow |\varpi_{J^e}\rangle \text{ quand } z \rightarrow 0 \quad (4.12)$$

où on a généralisé la notation

$$\varpi_{J^e} = \varpi_0 + 2J^e \text{ pour } J^e \in R \text{ (ou } J^e \in C). \quad (4.13)$$

Mais nous arrêterons là les considérations les plus techniques que nous renvoyons à la sous-partie suivante. Nous y examinons les possibilités de généralisation dans l'approche de Gervais et Neveu ainsi que la complémentarité de celle du gaz de Coulomb. Nous nous contentons ici d'expliquer les résultats.

Revenons un instant au cas des spins demi-entiers. Un état (ou un opérateur) de spins  $J$  et  $\hat{J}$  peut de manière équivalente être caractérisé par le mode-zéro  $\varpi = \varpi_{J, \hat{J}} \equiv \varpi_0 + 2J + 2\hat{J}\pi/h$ . Son poids, en particulier, n'est fonction que de  $\varpi_{J, \hat{J}}$ . On peut écrire  $\varpi_{J, \hat{J}} = \varpi_0 + 2J^e$  pour un spin effectif<sup>9</sup>  $J^e \equiv J + \hat{J}\pi/h$  qui est limité dans le cas demi-entier à des valeurs discrètes. L'état ou opérateur en question est complètement déterminé par la donnée de son spin effectif. On vérifiera en particulier dans la sous-partie suivante que les coefficients de fusion ou d'échange sont des fonctions analytiques des spins effectifs. Et la chose étonnante est plutôt le fait qu'ils aient pu se factoriser en produits d'un 6-j fonction des  $J_i$  par un 6-j fonction des  $\hat{J}_i$ . Ceci est dû aux propriétés de la fonction gamma pour des variations entières de son argument. L'extension à des spins continus consiste donc logiquement à considérer des spins effectifs  $J_i^e$  quelconques, comme nous l'avons déjà fait dans le cas particulier 4.11. Ceci n'a rien d'étonnant du point de vue du gaz de Coulomb[32, 7]. La correspondance entre les deux approches montre en effet que nos opérateurs peuvent s'écrire

$$V_{m, \hat{m}}^{(J, \hat{J})} \sim V_{-J - \hat{J}\pi/h}^{(J + \hat{J}\pi/h)} S^{J+m} \hat{S}^{\hat{J} + \hat{m}} = V_{-J^e}^{(J^e)} S^{J+m} \hat{S}^{\hat{J} + \hat{m}}. \quad (4.14)$$

L'opérateur  $V$  du membre de droite est un opérateur du type 2.41 ou 4.11 donc une exponentielle de champ libre, aussi bien dans l'approche du gaz de Coulomb que dans la notre. Le spin effectif  $J^e \equiv J + \hat{J}\pi/h$  peut donc être quelconque. Les opérateurs  $S$  et  $\hat{S}$ , en revanche, sont des opérateurs intégraux, dits opérateurs d'écran<sup>10</sup>, dont on ne sait prendre que des puissance entières. Ceci nous donne déjà une indication sur les généralisations possibles.

<sup>8</sup> On peut vérifier que la limite 4.12 est nulle pour les opérateurs  $V_{J^e}^{(J^e)}$  construits à partir de l'autre champ libre  $P^{(2)}$  appliqués au vide  $|\varpi_0\rangle$ . Ces opérateurs peuvent également engendrer les états mais à partir de l'autre vide  $Sl(2, C)$  invariant  $|\varpi_0\rangle = |-1 - \pi/h\rangle$ . Ceci nous mènerait ensuite à des règles de sélection TII (Eq.4.16) symétrisées :  $J_1^e + J_{12}^e - J_2^e \in \mathcal{N} + \frac{\pi}{h}\mathcal{N}$ .

<sup>9</sup> La notation  $J^e = J + \hat{J}\pi/h$  est asymétrique entre les quantités chapeau et non-chapeau, mais elle a sa contre-partie symétrisée  $\hat{J}^e \equiv h/\pi J^e = \hat{J} + J\pi/h = \hat{J} + Jh/\pi$ .

<sup>10</sup> Opérateurs de "screening" en anglais.

Conformément à cela, il est apparu que la chose la plus importante pour l'algèbre d'opérateurs n'était pas tellement le caractère demi-entier des spins mais l'expression des règles de sélection en termes de contraintes sur les spins effectifs. Expliquons nous. Les règles de sélections standard 4.3 de  $Sl(2)$  peuvent être écrites en termes de spins effectifs de la façon suivante<sup>11</sup>

$$\begin{array}{c} \text{J}_1^e \\ | \\ \text{J}_{12}^e \text{---}\bullet\text{---}\text{J}_2^e \end{array} \rightarrow \left\{ \begin{array}{l} J_1^e + J_2^e - J_{12}^e \in \mathcal{N} + (\pi/h)\mathcal{N} \\ J_{12}^e + J_2^e - J_1^e \in \mathcal{N} + (\pi/h)\mathcal{N} \\ J_1^e + J_{12}^e - J_2^e \in \mathcal{N} + (\pi/h)\mathcal{N} \end{array} \right\} \Rightarrow 2J_1^e, 2J_2^e, 2J_{12}^e \in \mathcal{N} + \frac{\pi}{h}\mathcal{N}. \quad (4.15)$$

Le caractère demi-entier (non négatif) des spins  $J_i$  et  $\hat{J}_i$  apparaît alors uniquement comme une conséquence des trois contraintes  $J_1^e + J_2^e - J_{12}^e \in \mathcal{N} + (\pi/h)\mathcal{N} \dots$  etc. On appelle ces règles de sélection TI3 puisque ce sont les trois inégalités standard qui constituent les inégalités triangulaires. Et la bonne manière de les généraliser n'est pas d'enlever des contraintes sur les spins mais sur les combinaisons linéaires de spins  $J_1^e + J_2^e - J_{12}^e \dots$  etc. Enlevant deux de ces trois contraintes, on obtient

$$\mathcal{P}_{J_{12}^e} V_{J_2^e - J_{12}^e}^{(J_1^e)} \mathcal{P}_{J_2^e} = \begin{array}{c} \text{J}_1^e \\ | \\ \text{J}_{12}^e \text{---}\bullet\text{---}\text{J}_2^e \end{array} \rightarrow J_1^e + J_2^e - J_{12}^e \in \mathcal{N} + \frac{\pi}{h}\mathcal{N} \quad (4.16)$$

où de la même manière que les spins effectifs,  $J_2^e - J_{12}^e$  est un nombre de shift effectif que l'on note génériquement  $m^e$ . Ce n'est pas autre chose que la contrainte issue de l'approche du gaz de coulomb (Eq.4.14) : les entiers  $p_{12}$  et  $\hat{p}_{12}$  définis par  $J_1^e + J_2^e - J_{12}^e = p_{12} + (\pi/h)\hat{p}_{12}$  sont les nombres de charges d'écran  $S$  et  $\hat{S}$  attachées à cet opérateur. Les spins effectifs peuvent alors être quelconques pourvu qu'ils vérifient la contrainte 4.16 que l'on peut aussi écrire  $J_1^e + m^e \in \mathcal{N} + \frac{\pi}{h}\mathcal{N}$ . On appelle TI1 les règles de sélection 4.16.

Le vertex 4.16 illustre bien la règle des points dessinés à la base des vertex. Le point situé à la base de la patte  $J_{12}^e$  indique que la contrainte  $J_1^e + J_2^e - J_{12}^e \in \mathcal{N} + (\pi/h)\mathcal{N}$  est maintenue. Dans un vertex du type 4.15, le point sur la patte  $J_1^e$  indique de la même manière qu'on impose la condition  $J_{12}^e + J_2^e - J_1^e \in \mathcal{N} + (\pi/h)\mathcal{N}$ , et de même  $J_1^e + J_{12}^e - J_2^e \in \mathcal{N} + (\pi/h)\mathcal{N}$  pour le point sur la patte  $J_2^e$ .

Les opérateurs de l'algèbre la plus générale seront tous du type 4.14 ou 4.16. Comme on l'a dit dans la note précédente, on aurait aussi bien pu considérer symétriquement des opérateurs avec un point sur la patte droite, ce qui reviendrait à construire une représentation de gaz de Coulomb à partir de l'autre champ libre  $P^{(2)}$  (cf Eqs.2.41, 4.11).

Il existe également un cas intermédiaire entre TI3 et TI1. Ce sont des opérateurs dits TI2 qui supportent les deux contraintes suivantes

$$\begin{array}{c} \text{J}_1^e \\ | \\ \text{J}_{12}^e \text{---}\bullet\text{---}\text{J}_2^e \end{array} \rightarrow \left\{ \begin{array}{l} J_1^e + J_2^e - J_{12}^e \in \mathcal{N} + (\pi/h)\mathcal{N} \\ J_1^e + J_{12}^e - J_2^e \in \mathcal{N} + (\pi/h)\mathcal{N} \end{array} \right\} \Rightarrow 2J_1^e \in \mathcal{N} + \frac{\pi}{h}\mathcal{N}. \quad (4.17)$$

On voit donc que ces règles de sélection TI2 imposent aux spins  $J_1$  et  $\hat{J}_1$  de l'opérateur lui-même d'être des demi-entiers avec les conditions standard  $m_1 =$

<sup>11</sup>  $\mathcal{N} + (\pi/h)\mathcal{N} \equiv \{p + (\pi/h)\hat{p}; p, \hat{p} \in \mathcal{N}\}$ .

$-J_1, \dots, J_1$ , et  $\widehat{m}_1 = -\widehat{J}_1, \dots, \widehat{J}_1$  ( $m_1$  et  $\widehat{m}_1$  sont définis par  $J_2^e - J_{12}^e = m_1 + (\pi/h)\widehat{m}_1$ ). Les spins effectifs  $J_{12}^e$  et  $J_2^e$  des états, ne sont pas contraints à être des demi-entiers. On retrouve donc en fait les opérateurs considérés initialement par Gervais et Neveu (chapitre 2). Ce cas intermédiaire engendre aussi une algèbre cohérente, mais nous n'en parlerons pas davantage puisque nous traitons le cas plus général TII.

Une fonction à quatre points de ces opérateurs de type TII s'écrit donc

$$\begin{array}{c} J_1^e \\ | \\ \bullet \\ J_{123}^e \end{array} \quad \begin{array}{c} J_{23}^e \\ | \\ \bullet \\ J_3^e \end{array} \quad \begin{array}{c} J_2^e \\ | \\ \bullet \\ J_3^e \end{array} \quad . \quad (4.18)$$

Une différence essentielle avec la fonction à quatre points 4.2 réside dans le domaine autorisé pour  $J_{23}^e$ . Le spin effectif  $J_{23}^e$  peut maintenant prendre les valeurs autorisées par les règles de sélection TII (4.16) :  $J_2^e + J_3^e - J_{23}^e = p_{2,3} + \widehat{p}_{2,3}\pi/h$  pour deux entiers naturels  $p_{2,3}$  et  $\widehat{p}_{2,3}$  qui sont les nombres de charges d'écran associées à l'opérateur de droite. De la même manière pour l'opérateur de gauche, on a  $J_1^e + J_{23}^e - J_{123}^e = p_{1,23} + \widehat{p}_{1,23}\pi/h$  avec<sup>12</sup>  $p_{1,23}, \widehat{p}_{1,23} \in \mathcal{N}$ . Le spin effectif  $J_{23}^e$  est borné inférieurement et supérieurement, le nombre de ses valeurs autorisées est donc fini. Une caractéristique importante de ces règles de sélection est donc que *l'espace des blocs conformes est de dimension finie* ( pour les fonctions à 4 points, mais aussi d'ordre plus élevé). Ceci avait été annoncé en début du chapitre précédent sur les équations polynomiales de Moore et Seiberg. C'était une condition nécessaire pour pouvoir appliquer leurs résultats sur des matrices d'échange et de fusion de dimension finie.

La fusion de ces opérateurs de type TII s'écrit donc

$$\begin{array}{c} J_1^e \\ | \\ \bullet \\ J_{123}^e \end{array} \quad \begin{array}{c} J_{23}^e \\ | \\ \bullet \\ J_3^e \end{array} \quad = \sum_{J_{12}^e} F_{J_{23}^e, J_{12}^e} \left[ \begin{array}{c} J_1^e \\ | \\ \bullet \\ J_{123}^e \end{array} \quad \begin{array}{c} J_2^e \\ | \\ \bullet \\ J_3^e \end{array} \right] \quad \begin{array}{c} J_{12}^e \\ | \\ \bullet \\ J_3^e \end{array} \quad \begin{array}{c} J_1^e \\ | \\ \bullet \\ J_2^e \end{array} \quad . \quad (4.19)$$

Le domaine autorisé pour  $J_{12}^e$  est encore obtenu par application des règles de sélection TII au membre de droite. La somme sur  $J_{12}^e$  est donc encore finie, le nombre de termes étant donné par la dimension de ces blocs conformes.

L'expression du coefficient de fusion nécessite une généralisation des 6-j. Il est effectivement possible de généraliser les 6-j à des spins continus. Ceci est fait en ref.[P3] où nous prouvons également les équations de Bideharn-Elliot, de Racah et d'orthogonalité correspondante (l'orthogonalité de polynômes reliés à ces 6-j avait déjà été prouvée par des mathématiciens [34]). Nous écrivons ces identités et indiquons la méthode de démonstration dans la sous-partie suivante. *Le fait remarquable est que cette généralisation des 6-j correspond exactement à celle qui est nécessaire pour des*

<sup>12</sup> Ceci impose clairement des contraintes sur les spins externes :  $J_1^e + J_2^e + J_3^e - J_{123}^e = p + (\pi/h)\widehat{p}$  pour  $p, \widehat{p} \in \mathcal{N}$ . Ce n'est pas autre chose que la condition de neutralité d'un système de gaz de Coulomb avec  $p$  et  $\widehat{p}$  charges d'écran. Ces spins généralisés sont de toutes façon très naturels du point de vue de l'approche intégrale du gaz de Coulomb et la vraie nouveauté est d'avoir pu obtenir la même généralisation dans l'approche opératorielle qui, elle, permet d'obtenir l'algèbre de fusion et d'échange.

conditions de type TII :

$$\left\{ \begin{array}{c|c} j_1 & j_2 \\ j_3 & j \end{array} \middle| \begin{array}{c} j_{12} \\ j_{23} \end{array} \right\} \text{ peut être défini pour } \begin{cases} j_1 + j_2 - j_{12} \in \mathcal{N} \\ j_{12} + j_3 - j \in \mathcal{N} \\ j_1 + j_{23} - j \in \mathcal{N} \\ j_2 + j_3 - j_{23} \in \mathcal{N} \end{cases} \quad (4.20)$$

ce qui permet aux spins  $j_i$  de ne pas être demi-entiers. Chacune de ces quatre conditions est issue de la condition de type 4.16 pour les quatre vertex impliqués dans une fusion ou un échange. Le lien entre une condition du type 4.20 et les quatre conditions de type 4.16 fait appel à des 6-j dits effectifs. L'idée est que d'un vertex de type 4.16 avec une condition  $j_1 + j_2 - j_{12} = p + (\pi/h)\widehat{p} \in \mathcal{N} + (\pi/h)\mathcal{N}$ , il ressort deux entiers positifs  $p$  et  $\widehat{p}$  (le nombre de charges d'écran de type  $S$  et  $\widehat{S}$  respectivement) qui, l'un, donnera une condition pour le 6-j "non-chapeau", et l'autre pour le 6-j "chapeau", puisque le coefficient de fusion contient ces deux 6-j. Ceci nous amène à définir ces 6-j effectifs, désignés par des doubles accolades, par<sup>13</sup>

$$\left\{ \left\{ \begin{array}{c|c} J_1^e & J_2^e \\ J_3^e & J_{123}^e \end{array} \middle| \begin{array}{c} J_{12}^e \\ J_{23}^e \end{array} \right\} \right\} \equiv \left\{ \begin{array}{c|c} J_1^e & J_2^e \\ J_3^e & J_{123}^e + (\widehat{p}_{2,3} + \widehat{p}_{1,23})\pi/h \end{array} \middle| \begin{array}{c} J_{12}^e + \widehat{p}_{1,2}\pi/h \\ J_{23}^e + \widehat{p}_{2,3}\pi/h \end{array} \right\} \quad (4.21)$$

où comme précédemment les nombres de charges d'écran  $p$  et  $\widehat{p}$  sont définis par  $J_i^e + J_k^e - J_{ik}^e \equiv p_{i,k} + (\pi/h)\widehat{p}_{i,k}$ . On peut vérifier que, partant de conditions TII 4.16 pour les spins effectifs  $J_i^e$ , le 6-j du membre de droite de 4.21 est bien du type 4.20, les quatre entiers de 4.20 étant respectivement  $p_{1,2}$ ,  $p_{12,3}$ ,  $p_{1,23}$  et  $p_{2,3}$ .

Il est remarquable que nous ayons justement pu généraliser les 6-j à des conditions 4.20 du type TII, tout comme les opérateurs 4.16. Il n'est alors pas très étonnant que l'algèbre de nos opérateurs TII s'exprime justement grâce à ces 6-j généralisés. La méthode de démonstration est exposée dans la sous-partie suivante. Le coefficient de fusion est tout simplement

$$F_{J_{23}^e, J_{12}^e} \left[ \begin{array}{c|c} J_1^e & J_2^e \\ J_{123}^e & J_3^e \end{array} \right] = \frac{g_{J_1^e J_2^e}^{J_{12}^e} g_{J_{12}^e J_3^e}^{J_{123}^e}}{g_{J_2^e J_3^e}^{J_{23}^e} g_{J_1^e J_{123}^e}^{J_{123}^e}} \left\{ \left\{ \begin{array}{c|c} J_1^e & J_2^e \\ J_3^e & J_{123}^e \end{array} \middle| \begin{array}{c} J_{12}^e \\ J_{23}^e \end{array} \right\} \right\} \left\{ \left\{ \begin{array}{c|c} \widehat{J}_1^e & \widehat{J}_2^e \\ \widehat{J}_3^e & \widehat{J}_{123}^e \end{array} \middle| \begin{array}{c} \widehat{J}_{12}^e \\ \widehat{J}_{23}^e \end{array} \right\} \right\}, \quad (4.22)$$

Les coefficients  $g$  généralisés à des spins continus sont

$$g_{J_1^e, J_2^e}^{J_{12}^e} = (-1)^{p\widehat{p}} (i/2)^{p+\widehat{p}} \frac{H_{p\widehat{p}}(\varpi_{J_1^e}) H_{p\widehat{p}}(\varpi_{J_2^e}) H_{p\widehat{p}}(-\varpi_{J_{12}^e})}{H_{p\widehat{p}}(\varpi_{p/2, \widehat{p}/2})} \quad (4.23)$$

où la fonction  $H$  est celle donnée précédemment en 4.7. On peut vérifier que la restriction de ce coefficient à des spins demi-entiers redonne bien le coefficient 4.5, la phase  $f_V$  sortant du lien entre le 6-j effectif et le 6-j standard.

De la même manière, l'échange se généralise à

$$\begin{array}{c} J_1^e \quad J_2^e \\ | \quad | \\ J_{123}^e \quad J_{23}^e \quad J_3^e \end{array} = \sum_{J_{13}^e} B_{J_{23}^e, J_{13}^e}^{(\pm)} \left[ \begin{array}{c|c} J_1^e & J_2^e \\ J_{123}^e & J_3^e \end{array} \right] \begin{array}{c} J_2^e \quad J_1^e \\ | \quad | \\ J_{123}^e \quad J_{13}^e \quad J_3^e \end{array}. \quad (4.24)$$

<sup>13</sup> La prescription ci-dessus peut amener à plusieurs définitions du genre de 4.21 mais elles sont équivalentes (cf [P3] Eqs.4.16, 4.17)

avec

$$B_{J_{23}^e, J_{13}^e}^{(\pm)} \begin{bmatrix} J_1^e & J_2^e \\ J_{123}^e & J_3^e \end{bmatrix} = e^{\pm i\pi(\Delta_{J_{123}^e} + \Delta_{J_3^e} - \Delta_{J_{23}^e} - \Delta_{J_{13}^e})} \frac{g_{J_1^e J_3^e}^{J_{13}^e} g_{J_{13}^e J_2^e}^{J_{123}^e}}{g_{J_2^e J_3^e}^{J_{23}^e} g_{J_1^e J_{23}^e}^{J_{123}^e}} \left\{ \left\{ \begin{matrix} J_1^e & J_3^e \\ J_2^e & J_{123}^e \end{matrix} \middle| \begin{matrix} J_{13}^e \\ J_{23}^e \end{matrix} \right\} \right\} \hat{\left\{ \left\{ \begin{matrix} \widehat{J}_1^e & \widehat{J}_3^e \\ \widehat{J}_2^e & \widehat{J}_{123}^e \end{matrix} \middle| \widehat{J}_{13}^e \right\} \right\}}. \quad (4.25)$$

Nous terminons cette partie en remarquant qu'il est maintenant facile de vérifier que l'exponentielle du champ de Liouville esquissé en 2.49 est bien local. En effet, à condition d'éliminer les facteurs  $g$  en les introduisant dans les normalisations de 2.49 (à la place des pointillés), la commutation de deux opérateurs de ce genre est donnée par le produit de quatre 6-j, pour les deux paramètres de déformation différents  $h$  et  $\widehat{h}$  et pour les deux chiralités. Les 6-j avec même déformation provenant des deux chiralités se combinent par la relation d'orthogonalité pour donner finalement une commutation triviale. On vérifie également que cet opérateur local possède une algèbre fermée pour la fusion.

L'exponentielle de Liouville 2.49 ne vaut cependant que pour le couplage faible, alors que notre but essentiel ici est de traiter le couplage fort dans le prochain chapitre. C'est pourquoi nous renvoyons le lecteur à la ref.[20] pour les détails sur le régime de couplage faible. Dans le régime de couplage fort l'opérateur 2.49 est toujours local mais a des poids conformes complexes. Nous devons donc en introduire un autre dans le chapitre 5.

## 4.1.2 La méthode de démonstration

### Les 6-j et leurs identités

Avant de pouvoir obtenir par récurrence l'algèbre des opérateurs généralisés à des spins continus, il est nécessaire de démontrer les identités vérifiées par les 6-j généralisés. Ce sont elles qui permettront d'effectuer la récurrence.

La notation de spins effectifs  $J^e$  continus provenait de la physique ( $J^e = J + (\pi/h)\widehat{J}$  dans le cas de spins demi-entiers...). Nous préférons dans cette partie plus mathématique noter les spins continus tout simplement  $j$  minuscule, comme en 4.20 ainsi qu'en ref.[P3]. Pour les 6-j généralisés 4.20, l'équation de Bideharn-Elliot, s'écrit

$$\sum_{j_{23}} \left\{ \begin{matrix} j_2 & j_3 \\ j_4 & j_{234} \end{matrix} \middle| \begin{matrix} j_{23} \\ j_{34} \end{matrix} \right\} \left\{ \begin{matrix} j_1 & j_{23} \\ j_4 & j \end{matrix} \middle| \begin{matrix} j_{123} \\ j_{234} \end{matrix} \right\} \left\{ \begin{matrix} j_1 & j_2 \\ j_3 & j_{123} \end{matrix} \middle| \begin{matrix} j_{12} \\ j_{23} \end{matrix} \right\} = \left\{ \begin{matrix} j_1 & j_2 \\ j_{34} & j \end{matrix} \middle| \begin{matrix} j_{12} \\ j_{234} \end{matrix} \right\} \left\{ \begin{matrix} j_{12} & j_3 \\ j_4 & j \end{matrix} \middle| \begin{matrix} j_{123} \\ j_{34} \end{matrix} \right\} \quad (4.26)$$

où l'intervalle de sommation sur  $j_{23}$  est maintenant contrôlé par les conditions TI1 (4.20) des cinq 6-j : il est ainsi étendu du domaine habituel (TI3)  $j_{23} \in [|j_2 - j_3|, j_2 + j_3] \cap [|j_{123} - j_1|, j_{123} + j_1] \cap [|j_{234} - j_4|, j_{234} + j_4]$  au nouveau domaine (TI1)  $j_{123} - j_1, j_{234} - j_4 \leq j_{23} \leq j_2 + j_3$  parcouru par pas entiers, bien que ni  $j_{23}$  ni les bornes ne le soient (la longueur de l'intervalle, elle, est bien entière). L'équation de Racah est la suivante

$$\sum_{j_{12}} \left\{ \begin{matrix} j_1 & j_2 \\ j_3 & j \end{matrix} \middle| \begin{matrix} j_{12} \\ j_{23} \end{matrix} \right\} \left\{ \begin{matrix} j_3 & j_1 \\ j_2 & j \end{matrix} \middle| \begin{matrix} j_{13} \\ j_{12} \end{matrix} \right\} e^{i\pi\epsilon\Delta_{j_{12}}} = e^{i\pi\epsilon(\Delta_{j_1} + \Delta_{j_2} + \Delta_{j_3} + \Delta_j - \Delta_{j_{13}} - \Delta_{j_{23}})} \left\{ \begin{matrix} j_1 & j_3 \\ j_2 & j \end{matrix} \middle| \begin{matrix} j_{13} \\ j_{23} \end{matrix} \right\} \quad (4.27)$$

où le domaine TI3 habituel  $j_{12} \in [|j_1 - j_2|, j_1 + j_2] \cap [|j - j_3|, j + j_3]$  est remplacé par le domaine TI1 :  $j_{12} \in [j - j_3, j_1 + j_2]$ . Les poids  $\Delta_j = -j - j(j+1)h/\pi$  sont les mêmes

que ceux de la théorie conforme que nous discutons. Cette équation mathématique existe bien évidemment indépendamment de toute théorie conforme et les poids  $\Delta_j$  sont alors de simples fonctions des spins et du paramètre de déformation  $h$ . Finalement, l'orthogonalité s'écrit

$$\sum_{j_{13}} \left\{ \begin{matrix} j_1 & j_3 \\ j_2 & j \end{matrix} \middle| \begin{matrix} j_{13} \\ j_{23} \end{matrix} \right\} \left\{ \begin{matrix} j_2 & j_3 \\ j_1 & j \end{matrix} \middle| \begin{matrix} j'_{23} \\ j_{13} \end{matrix} \right\} = \delta_{j_{23}, j'_{23}} \quad (4.28)$$

où le domaine TI3 habituel  $j_{13} \in [|j_1 - j_3|, j_1 + j_3] \cap [|j - j_2|, j + j_2]$  est remplacé par le domaine TI1 :  $j_{13} \in [j - j_2, j_1 + j_3]$ . On peut également citer l'équation de Yang-Baxter

$$\begin{aligned} & \sum_{j_{134}} \left\{ \begin{matrix} j_1 & j_{34} \\ j_2 & j \end{matrix} \middle| \begin{matrix} j_{134} \\ j_{234} \end{matrix} \right\} \left\{ \begin{matrix} j_1 & j_4 \\ j_3 & j_{134} \end{matrix} \middle| \begin{matrix} j_{14} \\ j_{34} \end{matrix} \right\} \left\{ \begin{matrix} j_2 & j_{14} \\ j_3 & j \end{matrix} \middle| \begin{matrix} j_{124} \\ j_{134} \end{matrix} \right\} e^{i\pi\epsilon(\Delta_j - \Delta_{j_{124}} - \Delta_{j_{234}} - \Delta_{j_{134}})} = \\ & \sum_{j_{24}} \left\{ \begin{matrix} j_2 & j_4 \\ j_3 & j_{234} \end{matrix} \middle| \begin{matrix} j_{24} \\ j_{34} \end{matrix} \right\} \left\{ \begin{matrix} j_1 & j_{24} \\ j_3 & j \end{matrix} \middle| \begin{matrix} j_{124} \\ j_{234} \end{matrix} \right\} \left\{ \begin{matrix} j_1 & j_4 \\ j_2 & j_{124} \end{matrix} \middle| \begin{matrix} j_{14} \\ j_{24} \end{matrix} \right\} e^{i\pi\epsilon(\Delta_{j_4} - \Delta_{j_{14}} - \Delta_{j_{24}} - \Delta_{j_{34}})} \end{aligned} \quad (4.29)$$

pour des intervalles de sommation déduits ici encore des conditions TI1 pour les 6-j. Elle peut être déduite des précédentes.

La méthode de démonstration de ces relations présentée en ref.[P3] est la suivante. On exhibe tout d'abord une expression des 6-j avec spins continus qui est une fraction rationnelle des variables  $e^{ihj_i}$ . En effet l'extension des q-factorielles des 6-j standards à des arguments non entiers donne des q-fonctions gamma, mais il est en fait possible de les combiner deux à deux pour ne garder que des produits de combinaisons linéaires de spins q-déformées. On peut ainsi les écrire en termes d'une fonction hypergéométrique  ${}_4F_3$  [P3]

$$\begin{aligned} \left\{ \begin{matrix} j_1 & j_2 \\ j_3 & j_{123} \end{matrix} \middle| \begin{matrix} j_{12} \\ j_{23} \end{matrix} \right\} &= \frac{\Xi_{j_2 j_3}^{j_{23}} \Xi_{j_1 j_{23}}^{j_{123}} (-1)^{p_{1,2}} [2j_{23} + 1] [p_{1,23}]! [j_{123} + j_{23} - j_2 - j_{12} + 1]_{p_{12,3}}}{\Xi_{j_1 j_2}^{j_{12}} \Xi_{j_{12} j_3}^{j_{123}} [p_{12,3}]! [p_{1,23} - p_{12,3}]! [j_{23} + j_{123} - j_1 + 1]_{p_{1,23} + p_{2,3} + 1}} \\ &= \frac{[j_{123} + j_1 - j_2 - j_3 + 1]_{p_{2,3}}}{[j_1 - j_2 - j_{12}]_{p_{12,3} - p_{1,23}}} {}_4F_3 \left( \begin{matrix} j_1 + j_{23} + j_{123} + 2, j_1 - j_2 - j_{12}, -p_{2,3}, -p_{12,3}; \\ p_{1,23} - p_{12,3} + 1, j_{123} + j_{23} - j_2 - j_{12} + 1, j_{123} + j_1 - j_2 - j_3 + 1; 1 \end{matrix} \right), \end{aligned} \quad (4.30)$$

avec  $p_{1,2} \equiv j_1 + j_2 - j_{12}$ ,  $p_{2,3} \equiv j_2 + j_3 - j_{23}$ ,  $p_{1,23} \equiv j_1 + j_{23} - j_{123}$ ,  $p_{12,3} \equiv j_{12} + j_3 - j_{123}$ . Tous les nombres notés  $[x]$  sont q-déformés :

$$[x] \equiv \frac{\sin(hx)}{\sin h}, \quad [x]_n \equiv \prod_{k=0}^{n-1} [x + k], \quad [n]! \equiv \prod_{r=1}^n [r] \quad (4.31)$$

pour les nombres, produits et factorielles q-déformés respectivement<sup>14</sup>. La fonction  $\Xi$  dans 4.30 est donnée par

$$\Xi_{j_1 j_2}^{j_{12}} \equiv \sqrt{\frac{[j_1 - j_2 + j_{12} + 1]_{p_{1,2}} [-j_1 + j_2 + j_{12} + 1]_{p_{1,2}} [2j_{12} + 2]_{p_{1,2}}}{[p_{1,2}]!}} \quad (4.32)$$

et nous rappelons la définition des q-fonctions hypergéométriques :

$${}_m F_n \left( \begin{matrix} (a_i)_{i=1..m}; \\ (b_j)_{j=1..n}; \end{matrix} z \right) \equiv \sum_{\nu=0}^{\infty} \frac{\prod_{i=1}^m [a_i]_{\nu}}{\prod_{j=1}^n [b_j]_{\nu}} \frac{z^{\nu}}{[\nu]!}. \quad (4.33)$$

<sup>14</sup> Les mathématiciens écrivent plus souvent  $(1 - q^x)/(1 - q)$ , avec  $q = e^{-2ih}$ .



Pour les 6-j, il s'agira toujours d'une somme tronquée. En effet si l'un des  $a_i$  est un entier négatif  $-N$ , les termes de la somme avec  $\nu$  supérieur à  $N$  sont nuls.

Considérons ensuite la différence entre les membres de gauche et de droite des équations 4.26, 4.27, 4.28 ou 4.29. C'est également une fraction rationnelle des mêmes variables, avec cependant une somme dont les bornes dépendent des spins. Il est cependant possible de paramétriser les spins par des paramètres bien choisis dont ces bornes ne dépendent plus<sup>15</sup>. Pour des valeurs discrètes de ces paramètres, les spins sont demi-entiers. Pour certaines de ces valeurs discrètes, en nombre infini, les spins vérifient même les inégalités triangulaires complètes TI3. Les 6-j généralisés se réduisent dans ce cas au 6-j normaux, en particulier l'intervalle de la somme qui les définit se réduit à l'intervalle standard grâce à des zéros des arguments. De plus, pour un sous-ensemble de ces valeurs discrètes, de taille encore infinie, l'intervalle de sommation des identités 4.26, 4.27 et 4.28 pour des TI1 et TI3 sont confondus. Les identités de Bideharn-Elliot, de Racah et l'orthogonalité se ramènent donc finalement dans ces cas-là aux identités standard (TI3) pour des spins entiers. Elles sont démontrées en ref.[35] (cas q-déformé bien sûr). Les différences considérées entre membres de gauche et de droite valent donc zero pour toutes ces valeurs discrètes<sup>16</sup>. Or, une fraction rationnelle qui a un nombre infini de zéros ne peut être qu'identiquement nulle, ce qui prouve les identités ci-dessus. Elles ont également été vérifiées numériquement pour ces spins continus, dans les cas q-déformé ou non.

On peut se demander ce qu'il se passerait si certains spins, alors qu'ils sont à priori supposés quelconques, étaient demi-entiers. La question se pose en effet car, à cause de l'extension du domaine de sommation dans la définition des 6-j, il apparaît alors dans ce cas des zéros mais aussi des pôles dans les 6-j. De plus, ce cas, que l'on pourrait imaginer marginal (les demi-entiers sont de mesure nulle dans le continu), va se présenter souvent dans le cas du couplage fort (prochain chapitre) car il est alors possible, et nécessaire pour des raisons d'invariance modulaire, d'introduire des spins qui sont des quarts ou des sixièmes d'entiers. Ceci nous oblige donc à prendre des règles de sélection TI1, et cependant, ces spins fractionnaires peuvent facilement se combiner pour donner des demi-entiers, donc des pôles dans les 6-j.

Il reste néanmoins vrai que la fraction rationnelle constituée par la différence des deux membres de ces identités est identiquement nulle. Les pôles qui peuvent apparaître seront donc automatiquement annulés par multiplication par un 6-j nul ou par soustraction du même pôle. Ce mécanisme est absolument nécessaire, en particulier pour l'orthogonalité car c'est elle qui garantit la fermeture de la sous-algèbre physique du couplage fort.

En clair, il faut, une fois pour toutes, faire un choix entre des conditions TI1, TI2 ou TI3. Cela nous donne une algèbre plus ou moins étendue. Une fois que ce choix est fait, il reste cohérent, car garanti par le caractère rationnel de ces identités. On peut ainsi par exemple avoir choisi d'appliquer des TI1, mais considérer l'orthogonalité

---

<sup>15</sup> C'est en fait déjà la même chose pour les 6-j qui contiennent une somme et des produits dont les bornes dépendent des spins. Mais on peut les écrire sous une forme où ces bornes ne dépendent que des quantités forcées à être entières par 4.20. Si on fixe ces entiers, les 6-j sont alors de vraies fractions rationnelles de certaines des variables  $e^{ih_j i}$  (elles ne sont plus toutes indépendantes quand les entiers sont fixés), ce qui suffit pour cette démonstration.

<sup>16</sup> Comme ici  $h/\pi$  est irrationnel, contrairement au cas particulier des modèles minimaux, ces valeurs discrètes obtenues par increments entiers des spins donnent bien des valeurs discrètes toutes différentes des variables  $e^{ih_j i}$ .

(4.28) avec des spins “externes” (i.e.  $j_1, j_2, j_3, j$ ) compatibles “par hasard” avec des TI3. On sommerait donc sur un intervalle pour  $j_{13}$  donné par des TI1, ce qui donnerait pour certains 6-j des pôles ou de zéros. Mais on peut être sûr qu’ils vont s’annuler pour donner au total une fonction delta, c’est-à-dire l’identité, sur l’espace des valeurs autorisées pour  $j_{23}$  par les TI1. Ceci n’est pas du tout incompatible avec l’existence d’une relation d’orthogonalité pour les mêmes spins externes mais un choix général de conditions TI3. Dans ce cas-là la sommation sur  $j_{13}$  est en effet réduite au domaine imposé par ces TI3, cela fait toute la différence. Le résultat est alors encore l’identité mais sur le domaine de  $j_{23}$  autorisé par des TI3, et si on calcule ceci pour  $j_{23}$  dans le domaine plus large autorisé par des TI1, on obtient le projecteur sur le domaine TI3. Dans la construction d’opérateurs physiques à partir de ces opérateurs de base (2.49 pour le couplage faible ou 5.11, 5.24 pour le couplage fort) ceci aura pour effet de découpler ceux qui ne répondent pas aux conditions TI1, TI2 ou TI3 choisies.

L’expression 4.30 des 6-j amène une remarque : sous cette forme, les symétries des 6-j ne sont pas manifestes. Mais on peut les faire apparaître par la transformation suivante

$${}_{m+1}F_m \left( \begin{matrix} (a_i)_{i=1..m}, -N \\ (b_j)_{j=1..m} \end{matrix}; z \right) = (-1)^{N+1} z^N \frac{\prod_{i=1}^m [a_i]_N}{\prod_{j=1}^m [b_j]_N} {}_{m+1}F_m \left( \begin{matrix} (-N-b_i+1)_{i=1..m}, -N \\ (-N-a_j+1)_{j=1..m} \end{matrix}; 1/z \right) \quad (4.34)$$

où  $N$  est un entier positif. Il s’agit donc de sommes finies et 4.34 se démontre par simple changement de variable<sup>17</sup>  $\nu \rightarrow N - \nu$ . Dans le cas de spins demi-entiers tous les arguments de la fonction  ${}_4F_3$  dans 4.30 sont entiers. On peut donc lui appliquer 4.34 de nombreuses façons différentes et prouver toutes les symétries habituelles des 6-j : elles sont engendrées par

$$\begin{aligned} \left\{ \begin{matrix} J_1 & J_2 & | & J_{12} \\ J_3 & J_{123} & | & J_{23} \end{matrix} \right\} &= \left\{ \begin{matrix} J_2 & J_1 & | & J_{12} \\ J_{123} & J_3 & | & J_{23} \end{matrix} \right\} \\ \left\{ \begin{matrix} J_1 & J_2 & | & J_{12} \\ J_3 & J_{123} & | & J_{23} \end{matrix} \right\} &= \left\{ \begin{matrix} J_3 & J_{123} & | & J_{12} \\ J_1 & J_2 & | & J_{23} \end{matrix} \right\} \quad (\text{symétries TI3}). \\ \left\{ \begin{matrix} J_1 & J_2 & | & J_{12} \\ J_3 & J_{123} & | & J_{23} \end{matrix} \right\} &= \left\{ \begin{matrix} J_3 & J_2 & | & J_{23} \\ J_1 & J_{123} & | & J_{12} \end{matrix} \right\} \end{aligned} \quad (4.35)$$

On a donc les échanges de deux spins supérieurs et des deux spins en-dessous d’eux ainsi que des deux colonnes de gauche. S’y ajoutent les échanges de deux colonnes quelconques pour des 6-j symétriques dits de Racah-Wigner (normalisation légèrement différente).

Dans le cas de spins continus, en revanche, le choix des quantités qui devaient rester entières ( $j_1 + j_2 - j_{12}$  entier mais pas  $j_1 - j_2 + j_{12}$ , par exemple) a brisé un certain nombre de symétries. On ne peut plus appliquer que certaines des transformations précédentes (tous les arguments de la fonction  ${}_4F_3$  ne sont plus entiers) et finalement, on ne trouve plus qu’une symétrie résiduelle (les dernière des trois écrites plus haut)

$$\left\{ \begin{matrix} j_1 & j_2 & | & j_{12} \\ j_3 & j_{123} & | & j_{23} \end{matrix} \right\} = \left\{ \begin{matrix} j_3 & j_2 & | & j_{23} \\ j_1 & j_{123} & | & j_{12} \end{matrix} \right\} \quad (\text{symétrie TI1}) \quad (4.36)$$

qui est d’ailleurs la seule qui respecte le choix des quantités  $p_{i,j}$  entières.

<sup>17</sup> Cette transformation triviale ne doit pas être confondue avec une transformation entre fonctions  ${}_4F_3$  que nous avons démontrée en ref.[P3] (Eq.5.1) pour effectuer une continuation à des nombres négatifs de charges d’écran (elle n’était connue que dans le cas non déformé). Cette dernière transformation n’est pas du tout triviale.

## L'algèbre des opérateurs

Passons maintenant à la démonstration des formules de fusion et d'échange des opérateurs  $V$ .

La méthode consiste à calculer les blocs conformes à quatre points dont un des opérateurs est de spin  $1/2$ . L'équation de bootstrap est en effet dans ce cas une simple équation différentielle linéaire du deuxième ordre (Eq.1.33) dont la solution est une fonction hypergéométrique. Ceci permet de montrer que le changement de base entre ces blocs conformes est bien de la forme générale avancée par Moore et Seiberg (chapitre précédent). Demandant ensuite la cohérence de cette algèbre (associativité de la fusion... etc), ce qui s'exprime par les équations polynomiales, on prouve que l'échange et la fusion des opérateurs de spins supérieurs à  $1/2$  est bien de la forme donnée dans le chapitre précédent (Eqs.3.18, 3.25) et on calcule les coefficients de fusion et d'échange.

Cette méthode générale a été appliquée une première fois en [P1] à des opérateurs et des états de spins demi-entiers, donc à des règles de sélection TI3. Nous l'avons ensuite appliquée en [P3] au cas le plus général possible. Nous présenterons ici directement ce cas général. Elle ne peut pas être généralisée aux règles TI1 pures puisqu'il est nécessaire d'avoir un vecteur nul dans une fonction de corrélation que l'on souhaite obtenir par équation de bootstrap. Les fonctions de corrélation les plus générales dont on peut ainsi calculer les matrices d'échange et de fusion sont celles du type



$$(4.37)$$

c'est-à-dire dont un vertex est de type TI2 et l'autre de type TI1, ce qui donne pour la fusion<sup>18</sup>

$$\begin{aligned} & \begin{array}{c} J_1^e \\ | \\ \bullet \\ J_{123}^e \end{array} \begin{array}{c} J_2^e \\ | \\ \bullet \\ J_{23}^e \end{array} \begin{array}{c} J_3^e \\ | \\ \bullet \\ J_3^e \end{array} = \mathcal{P}_{J_{123}^e} V_{J_{23}^e - J_{123}^e}^{(J_1^e)} \mathcal{P}_{J_{23}^e} V_{J_3^e - J_{23}^e}^{(J_2^e)} \mathcal{P}_{J_3^e} = \\ & \sum_{J_{12}^e} F_{J_{23}^e, J_{12}^e} \begin{bmatrix} J_1^e & J_2^e \\ J_{123}^e & J_3^e \end{bmatrix} \sum_{\{\nu_{12}\}} \mathcal{P}_{J_{123}^e} V_{J_3^e - J_{123}^e}^{(J_{12}^e, \{\nu_{12}\})} \mathcal{P}_{J_3^e} \langle \varpi_{J_{12}^e}, \{\nu_{12}\} | V_{J_2^e - J_{12}^e}^{(J_1^e)} | \varpi_{J_2^e} \rangle = \\ & \sum_{J_{12}^e} F_{J_{23}^e, J_{12}^e} \begin{bmatrix} J_1^e & J_2^e \\ J_{123}^e & J_3^e \end{bmatrix} \begin{array}{c} J_1^e \\ | \\ \bullet \\ J_{12}^e \end{array} \begin{array}{c} J_2^e \\ | \\ \bullet \\ J_2^e \end{array} \begin{array}{c} J_3^e \\ | \\ \bullet \\ J_3^e \end{array} \end{aligned} \quad (4.38)$$

donc pour tous les spins continus sauf  $J_1^e$  qui doit être de la forme  $J_1^e = J_1 + (\pi/h)\hat{J}_1$  pour des spins  $J_1$  et  $\hat{J}_1$  demi-entiers.

Ces fonctions à quatre points ont déjà été calculées en 2.34 sur le cylindre. Nous redonnons ici ce résultat écrit sur le plan complexe et avec les notations introduites dans ce chapitre<sup>19</sup> :

$$\langle \varpi_{J_{123}^e} | V_{\pm 1/2}^{(1/2)}(z_1) V_{m^e}^{(J_2^e)}(z_2) | \varpi_{J_3^e} \rangle = z_2^{-\Delta_{J_2^e} - \Delta_{J_3^e}} z_1^{-\Delta_{1/2} + \Delta_{J_{123}^e}} \times$$

<sup>18</sup> Nous indiquons en 4.38 de manière redondante les projecteurs  $\mathcal{P}_{J_i^e}$  et les nombres de shifts effectifs  $m^e_i = J_j^e - J_{ij}^e$  pour plus de clarté. La somme de 4.38 sur  $J_{12}^e$  est pour les valeurs autorisées par les règles de sélection TI1 et TI2.

<sup>19</sup> La fonction hypergéométrique  ${}_2F_1$  est ici comme en 2.34 standard (non q-déformée).

$$\left(\frac{z_2}{z_1}\right)^{\Delta_{J_{123}^e \pm 1/2}} \left(1 - \frac{z_2}{z_1}\right)^{-hJ_2^e/\pi} {}_2F_1(a_{\pm}, b_{\pm}; c_{\pm}; \frac{z_2}{z_1}); \quad (4.39)$$

avec

$$a_{\pm} = \frac{1}{2} + \frac{h}{2\pi} \left[ -\varpi_{J_2^e} \mp (\varpi_{J_{123}^e} - \varpi_{J_3^e}) \right]; \quad b_{\pm} = \frac{1}{2} + \frac{h}{2\pi} \left[ -\varpi_{J_2^e} \mp (\varpi_{J_{123}^e} + \varpi_{J_3^e}) \right];$$

$$c_{\pm} = 1 \mp \frac{h\varpi_{J_{123}^e}}{\pi} \quad (4.40)$$

où nous rappelons (Eq.4.13) le lien entre mode-zéro et spin effectif  $\varpi_{J_i^e} = \varpi_0 + 2J_i^e$  que nous noterons parfois par la suite plus simplement  $\varpi_i$ .

On a sur les fonctions hypergéométriques les relations suivantes

$$F(a, b; c; x) = \frac{\Gamma(c)\Gamma(b-a)}{\Gamma(b)\Gamma(c-b)} (-x)^{-a} F(a, 1-c+a; 1-b+a; \frac{1}{x}) +$$

$$\frac{\Gamma(c)\Gamma(a-b)}{\Gamma(a)\Gamma(c-b)} (-x)^{-b} F(b, 1-c+b; 1-a+b; \frac{1}{x}), \quad (4.41)$$

pour  $x \notin R_+$ , et

$$F(a, b; c; x) = \frac{\Gamma(c)\Gamma(c-b-a)}{\Gamma(c-a)\Gamma(c-b)} F(a, b; a+b-c+1; 1-x) +$$

$$\frac{\Gamma(c)\Gamma(a+b-c)}{\Gamma(a)\Gamma(b)} (1-x)^{c-a-b} F(c-a, c-b; c-a-b+1; 1-x), \quad (4.42)$$

pour  $(1-x) \notin R_+$ . Calculant également la fonction à quatre points avec  $V_{\pm 1/2}^{(1/2)}$  à droite, on voit que la relation 4.41 relie précisément ces deux types de fonctions hypergéométriques ce qui donne l'expression de l'échange. La relation 4.42 relie le corrélateur 4.39 à une autre fonction à quatre points avec  $V_{\pm 1/2}^{(1/2)}$ , et la symétrie des fonctions à trois points montre que ceci n'est pas autre chose que la fusion. Ceci prouve donc la forme générale de la fusion 4.38 dans le cas le plus simple  $J_1^e = 1/2$ . Les coefficients de fusion sont donnés par les rapports de fonctions gamma de 4.42 et valent

$$F_{J_{123}^e + \epsilon_1/2, J_2^e + \epsilon_2/2} \left[ \begin{matrix} 1/2 & J_2^e \\ J_{123}^e & J_3^e \end{matrix} \right] = \frac{\Gamma(1 - \epsilon_1 \varpi_{123} h/\pi)}{\Gamma(1/2 + (-\epsilon_1 \varpi_{123} + \epsilon_2 \varpi_2 + \varpi_3) h/2\pi)}$$

$$\frac{\Gamma(\epsilon_2 \varpi_2 h/\pi)}{\Gamma(1/2 + (-\epsilon_1 \varpi_{123} + \epsilon_2 \varpi_2 - \varpi_3) h/2\pi)}. \quad (4.43)$$

On obtient de même les coefficients d'échange les plus simples et on vérifie dans ce cas le lien général 3.29 entre les matrices de fusion et d'échange.

Il existe une solution connue aux équations polynomiales : ce sont les 6-j (généralisés), avec en outre des coefficients de normalisation  $g$  qui sont une pure jauge pour ces équations, c'est-à-dire les matrices d'échange et de fusion écrites en 4.22 et 4.25. Bien que le coefficient de fusion 4.43 soit donné par des fonctions gamma (alors que les 6-j déformés sont trigonométriques), on suppose qu'il peut s'écrire sous la forme générale 4.22. On vérifie que c'est effectivement le cas, les  $g$  donnés en 4.23 emportant tous les facteurs non trigonométriques.

Nous cherchons maintenant à généraliser ceci, comme annoncé en introduction à cette sous-partie, c'est-à-dire pour la fusion 4.38 à un spin effectif  $J_1^e = J_1 + (\pi/h)\hat{J}_1$

toujours discret mais supérieur à  $1/2$ . Les fonctions de corrélation pourraient en principe être calculées : pour des spins  $(J_1, \hat{J}_1)$  demi-entiers, le découplage du vecteur nul au niveau  $nm = (2\hat{J}_1 + 1)(2J_1 + 1)$  donne une équation différentielle de degré  $nm$  (aux dérivées partielles pour plus de quatre points). On a également une représentation intégrale pour des spins continus. On ne sait cependant ni résoudre ces équations différentielles ni calculer ces intégrales. Renonçant donc à calculer les fonctions de corrélation<sup>20</sup> pour des spins supérieurs à  $1/2$ , nous cherchons uniquement à calculer les matrices  $F$  et  $B$  de fusion et d'échange, c'est-à-dire les transformations de dualité de ces fonctions de corrélation. Et il ne faut pas croire que ce soit sans intérêt, bien au contraire. Certes, seule l'obtention des fonctions de corrélation constituerait une résolution au sens plein de la théorie, mais l'algèbre d'échange et de fusion permet déjà de vérifier sa cohérence. La fermeture de l'échange et de fusion sur les seuls opérateurs introduits nous garantit en effet qu'il n'apparaîtra pas d'autres opérateurs sur les "pattes internes" des fonctions de corrélation, autrement dit que nous avons bien tous les opérateurs de la théorie. La connaissance de cette algèbre permettra ensuite de déterminer celle des opérateurs physiques, et de vérifier qu'ils sont locaux.

Partant d'une fonction à cinq points avec deux spins  $1/2$ , l'équation pentagonale (fig.3.7, chapitre 3), qui n'est autre que l'associativité de la fusion, permet de démontrer la forme générale de la fusion 4.38 pour un opérateur de spin 1. Nous précisons bien qu'elle prouve effectivement que la dépendance en les descendants est bien celle donnée par l'équation 4.38, pourvu que le coefficient de fusion  $F$  obéisse à l'équation pentagonale 3.32. Nous utilisons ensuite des équations pentagonales du type

(4.44)

Les règles TI1 et TI2 indiquent que seuls les spins  $J_2$  et  $J_{12}$  sont des demi-entiers. Considérant le cas  $J_{12} = J_2 + 1/2$ , on peut ainsi prouver par récurrence la fusion 4.38 (avec la valeur 4.22 des coefficients de fusion) pour  $J_1$  demi entier.

Il faut ensuite symétriquement déterminer la fusion des opérateurs  $\hat{V}^{1/2}V^{J^e}$ , et par récurrence celle des opérateurs  $\hat{V}^{\hat{J}}V^{J^e}$  pour  $\hat{J}$  demi-entier. L'associativité de la fusion de  $V^J\hat{V}^{\hat{J}}V^{J^e}$  permet finalement d'obtenir 4.38 pour  $J_1^e = J_1 + (\pi/h)\hat{J}_1$ ,  $J_1$  et  $\hat{J}_1$  demi-entiers.

On peut de même obtenir l'expression de l'échange d'un opérateur de type TI2

<sup>20</sup> Il s'agit ici des fonctions de corrélation des opérateurs chiraux, ou blocs conformes. Ceci n'exclut pas que l'on puisse calculer les fonctions à  $N$  points d'opérateurs physiques (locaux, habillés...) de théories simplifiées (topologiques), voir ref.[31] et chapitre suivant.

avec un opérateur de type TI1.

Pour les fonctions de corrélation les plus générales TI1 (4.18) dont tous les spins sont continus, l'échange (4.24) a pu être obtenu dans l'approche du gaz de Coulomb [32, 7]. Il ne reste donc que la fusion de deux opérateurs tous les deux de type TI1 qui n'ait pas été démontrée directement, mais elle peut être déduite de leur échange par symétrie de la fonction à trois points.

## 4.2 La base du groupe quantique

Nous présentons ici dans une première sous-partie (4.2.1) l'autre base d'opérateurs, notés  $\xi$ . Leur algèbre est donnée par la matrice  $R$  universelle du groupe quantique pour l'échange, et par les coefficients de Clebsch-Gordan  $q$ -déformés pour la fusion. Elle met en évidence la symétrie  $U_q(sl(2))$  de la théorie, on l'appelle base du groupe quantique (ou covariante). Comme pour les opérateurs  $V$ , nous donnons l'expression de leur algèbre d'abord pour des spins demi-entiers  $(J, \hat{J})$  puis pour des spins continus  $J^e$ . Nous faisons également le lien entre le changement de base de Babelon[27, 28] et Gervais[17] présenté ici, et un autre changement de base [37, 38] dont la matrice elle-même est donnée par des Clebsch-Gordan. La matrice de Babelon et Gervais est essentiellement la limite des Clebsch-Gordan dont un nombre magnétique  $M$  tend vers l'infini.

Nous établissons dans la deuxième sous-partie (4.2.2) des résultats purement mathématiques nécessaires à l'extension de l'algèbre des  $\xi$  à des spins continus. Nous faisons ceci par deux limites successives. On prouve d'abord que les 6-j ont pour limites, lorsqu'on fait tendre certains spins vers l'infini, des Clebsch-Gordan ou des éléments de matrice  $R$ . Les équations 4.26, 4.27, 4.28 et 4.29 donnent, dans cette limite, des équations bien connues reliant les 6-j, les Clebsch-Gordan et la matrice  $R$ . La nouveauté, outre cette limite infinie, est que nous définissons par là des Clebsch-Gordan et matrice  $R$  pour des spins continus, qui vérifient en outre les équations standard. La deuxième limite infinie est celle qui fait le lien entre le changement de base de Pasquier [37, 38] effectué par des Clebsch-Gordan, et la matrice de passage des  $V$  aux  $\xi$  étudiés ici. C'est ce qui nous amène à étudier ces limites infinies. Il faut pour cela faire tendre vers l'infini un nombre magnétique  $M$  des Clebsch-Gordan. Ceci permet à partir des identités précédentes sur la matrice  $R$  les Clebsch-Gordan et les 6-j, de prouver toutes celles qui impliquent la matrice de passage, et sont nécessaires à l'obtention de l'algèbre des  $\xi$  à partir de celle des  $V$ .

Tout ceci a été fait dans l'article [P2] dans le cas de spins demi-entiers. La généralisation de ces limites à des spins continus présentée en partie 4.2.2 n'est pas publiée et sera donc imprimée en italique. De plus, ces limites infinies exigeaient de sortir des inégalités triangulaires strictes des spins demi-entiers (TI3). On avait donc dû, en ref.[P2], faire des prolongements ad hoc. Le problème a maintenant disparu dans le cadre de spins continus (ref.[P3]) et d'inégalités triangulaires relâchées (TI1) où les spins concernés peuvent très bien tendre vers l'infini en respectant les TI1.

### 4.2.1 Les opérateurs

Les opérateurs  $V$  sont ceux qui diagonalisent la monodromie. Ceci a pour conséquence la symétrie (modulo une phase) de la fonction à trois points. On peut

cependant changer de base. Ceci revient pour les fonctions à quatre points 3.10 à changer de base de l'espace vectoriel des solutions de l'équation de bootstrap. Les fonctions 3.10 étaient étiquetées par le zéro-mode "intermédiaire" ( $p$  dans  $\mathcal{F}_p^{ijkl}$ ), alors que les nouvelles n'ont pas un zéro-mode intermédiaire déterminé. On perd également la symétrie de la fonction à trois points. De manière équivalente, cela revient pour les opérateurs  $V_m^{(J^e)}$  qui ont tous le même poids  $\Delta_{J^e}$  à considérer des combinaisons linéaires d'eux-mêmes. Ils ne shiftent alors plus le zéro-mode entrant d'une quantité déterminée.

Ce changement de base pourrait tout à fait être arbitraire. Diagonaliser la matrice de monodromie avait cependant certains avantages. On voudrait quand même compenser leur perte et on cherche par conséquent à effectuer un changement de base qui donne des coefficients de fusion et d'échange dans la nouvelle base indépendants du zéro-mode (ou du spin) des états entrants et sortants. Ceci semble d'ailleurs préférable car ces nouveaux opérateurs shiftent ce zéro-mode de manière non contrôlée. Le changement de base s'écrit avec la matrice de passage<sup>21</sup>  $A$  :

$$\mathcal{P}_{J_{12}} \xi_{M_1}^{(J_1)} = \mathcal{P}_{J_{12}} \sum_{m_1} A(J_1, J_{12})_{M_1}^{m_1} \tilde{V}_{m_1}^{(J_1)} \quad (4.45)$$

où les  $\tilde{V}$  sont les opérateurs de vertex renormés définis en 4.10. Il s'avère effectivement possible de trouver une matrice de passage telle que les coefficients de fusion et d'échange des  $\xi$  soient indépendants du spin des états entrants ou sortants. Elle est unique à une normalisation près. Elle a été trouvée par Babelon[27] dans le cas du spin 1/2, et pour des spins supérieurs par Gervais en ref.[17] où elle est notée  $|J_1, \varpi_{J_{12}})_{M_1}^{m_1}$ .

Alors que nous avons uniquement exigé que leur algèbre ne dépende pas du mode-zéro  $\varpi$ , le fait remarquable est que l'échange des  $\xi$  soit donné par la matrice  $R$  universelle de Drinfeld[39] : ceci s'écrit dans le cas de spins demi-entiers

$$\begin{aligned} \xi_{M_1, \hat{M}_1}^{(J_1, \hat{J}_1)}(z_1) \xi_{M_2, \hat{M}_2}^{(J_2, \hat{J}_2)}(z_2) &= \sum_{M'_1, \hat{M}'_1, M'_2, \hat{M}'_2} e^{\pm i\pi b \xi(J_i, M_i)} \times \\ R^\pm(J_1, J_2)_{M_1 M_2}^{M'_1 M'_2} \hat{R}^\pm(\hat{J}_1, \hat{J}_2)_{\hat{M}_1 \hat{M}_2}^{\hat{M}'_1 \hat{M}'_2} \xi_{M'_2, \hat{M}'_2}^{(J_2, \hat{J}_2)}(z_2) \xi_{M'_1, \hat{M}'_1}^{(J_1, \hat{J}_1)}(z_1). \end{aligned} \quad (4.46)$$

où la phase  $b_\xi$  est donnée en [P2] Eq.6.4 et  $R^\pm(\cdot)$  et  $\hat{R}^\pm(\cdot)$  sont des éléments de matrice  $R$  universelle du groupe quantique pour les paramètres de déformation  $h$  et  $\hat{h}$  respectivement. La valeur de  $R$  ainsi que toutes les démonstrations seront donnés dans la sous-partie suivante, nous nous contentons ici de présenter les idées importantes. La fusion s'écrit également

$$\begin{aligned} \xi_{M_1, \hat{M}_1}^{(J_1, \hat{J}_1)}(z_1) \xi_{M_2, \hat{M}_2}^{(J_2, \hat{J}_2)}(z_2) &= \sum_{J_{12}=|J_1-J_2|}^{J_1+J_2} \sum_{\hat{J}_{12}=|\hat{J}_1-\hat{J}_2|}^{\hat{J}_1+\hat{J}_2} e^{i\pi f_\xi(J_i, M_i)} \times \\ (J_1, M_1; J_2, M_2 | J_{12}) (\hat{J}_1, \hat{M}_1; \hat{J}_2, \hat{M}_2 | \hat{J}_{12}) &\sum_{\{\nu\}} \xi_{M_1+M_2, \hat{M}_1+\hat{M}_2}^{(J_{12}, \hat{J}_{12}, \{\nu\})} (z_2) \times \end{aligned}$$

<sup>21</sup> Nous écrivons 4.45 dans le cas le plus simple d'un seul spin demi-entier  $J$ , car le but de cette formule est essentiellement d'introduire la forme générique de ce changement de base pour le comparer à celui de [37, 38] que nous discutons ensuite (Eq.4.53...) dans ce cas simple pour plus de clarté. Le changement de base des opérateurs de spins  $(J, \hat{J})$  est donné en [P2] Eq.3.46.

$$\langle \varpi_{J_{12}, \widehat{J}_{12}}, \{\nu\} | \widetilde{V}_{J_2 - J_{12}, \widehat{J}_2 - \widehat{J}_{12}}^{(J_1, \widehat{J}_1)}(z_1 - z_2) | \varpi_{J_2, \widehat{J}_2} \rangle \quad (4.47)$$

avec un produit de deux Clebsch-Gordan des deux groupes quantiques  $U_q(sl(2))$  et  $U_{\widehat{q}}(sl(2))$ , la phase  $f_\xi$  étant donnée en [P2] Eq.6.2. On remarque que l'élément de matrice dans le membre de droite est resté un  $\widetilde{V}$ . En effet le changement de base dans le membre de droite de l'équation de fusion 4.4 écrite pour des  $\widetilde{V}$  n'est effectué que sur l'opérateur  $\widetilde{V}^{(J_{12}, \widehat{J}_{12})}$  et non sur l'élément de matrice. L'algèbre des  $\xi$  n'est donc fermée que pour l'échange, pas pour la fusion à tous les ordres.

La généralisation à des spins continus du passage des  $V$  aux  $\xi$  est possible grâce aux identités obtenues par limite infinie dans la prochaine sous-partie (4.2.2). Les coefficients de fusion et d'échange des ces  $\xi$  généralisés s'expriment par des Clebsch-Gordan et des matrices  $R$  effectifs qui, comme les 6-j effectifs (Eq.4.21), sont simplement un moyen de faire le lien entre les nombres de charges d'écran de type  $\alpha_-$  et  $\alpha_+$ , et les deux 6-j matrices  $R$  ou Clebsch-Gordan des deux types différents. Ceci a été fait par J.-L. Gervais et J. Schnittger, en s'appuyant sur les résultats mathématiques de la partie 4.2.2, dans des travaux non publiés. Ils obtiennent ainsi comme pour les  $V$  des opérateurs  $\xi_{M_i^e}^{(J_i^e)}$  de spins effectifs  $J_i^e$  et de nombre magnétique effectif  $M_i^e$  continus soumis à la seule contrainte

$$J_i^e + M_i^e = p_i + \widehat{p}_i \pi / h \quad , \quad p_i, \widehat{p}_i \in \mathcal{N} \quad (4.48)$$

dont l'échange est donné par<sup>22</sup>

$$\begin{aligned} \xi_{M_1^e}^{(J_1^e)}(z_1) \xi_{M_2^e}^{(J_2^e)}(z_2) &= \sum_{M_1^{e'}, M_2^{e'}} e^{2ihJ_1^e J_2^e} \\ R^\pm((J_1^e, J_2^e))_{M_1^e M_2^e}^{M_1^{e'} M_2^{e'}} \widehat{R}^\pm(\widehat{J}_1^e, \widehat{J}_2^e)_{\widehat{M}_1^e \widehat{M}_2^e}^{\widehat{M}_1^{e'} \widehat{M}_2^{e'}} \xi_{M_2^{e'}}^{(J_2^e)}(z_2) \xi_{M_1^{e'}}^{(J_1^e)}(z_1). \end{aligned} \quad (4.49)$$

où le domaine de sommation est déduit des conditions de type 4.48 appliquées aux quatre opérateurs  $\xi$ . Les doubles parenthèses  $R((..))$  désignent des matrices  $R$  effectives définies comme les 6-j effectifs (dont elles sont les limites) par :

$$R^\pm((J_1^e, J_2^e))_{M_1^e M_2^e}^{M_1^{e'} M_2^{e'}} = R^\pm(J_1^e, J_2^e)_{M_1^e - \widehat{p}_1 \pi / h, M_2^e - \widehat{p}_2 \pi / h}^{M_1^{e'} \widehat{p}_2 \pi / h, M_2^{e'} - \widehat{p}_1 \pi / h} \quad (4.50)$$

où la matrice  $R$  du membre de droite est valable pour des spins continus<sup>23</sup>. Elle peut être obtenue par l'application de son expression universelle aux représentations infinies que constituent les spins continus. Nous l'obtenons dans la sous-partie suivante comme limite de 6-j et son expression est donnée en 4.65. Alors que les matrice  $R$  effectives (membre de gauche de 4.50)  $R^\pm((J_1^e, J_2^e))_{M_1^e M_2^e}^{M_1^{e'} M_2^{e'}}$  sont soumises aux conditions du type 4.48, on peut vérifier sur 4.50 que les matrices  $R$  normales avec spins continus (membre de droite)  $R^\pm(j_1, j_2)_{M_1, M_2}^{M_1', M_2'}$  sont soumises aux conditions qui découleront par limite de celles des 6-j avec spins continus :  $j_i + M_i = p_i \in \mathcal{N}$ .

La fusion est donnée par

$$\xi_{M_1^e}^{(J_1^e)}(z_1) \xi_{M_2^e}^{(J_2^e)}(z_2) = \sum_{J_{12}^e} ((J_1^e, M_1^e; J_2^e, M_2^e | J_{12}^e)) (\widehat{J}_1^e, \widehat{M}_1^e; \widehat{J}_2^e, \widehat{M}_2^e | \widehat{J}_{12}^e) \sum_{\{\nu\}} \xi_{M_1^e + M_2^e}^{(J_{12}^e, \{\nu\})}(z_2)$$

<sup>22</sup> Nous rappelons que  $\widehat{J}_i^e = J_i^e h / \pi$ .

<sup>23</sup> On a comme en 4.48  $J_i^e + M_i^{e'} = p_i + \widehat{p}_i' \pi / h$ .



$$\langle \varpi_{J_{12}^e}, \{\nu\} | \tilde{V}_{J_2^e - J_{12}^e}^{(J_1^e)}(z_1 - z_2) | \varpi_{J_2^e} \rangle \quad (4.51)$$

avec trois conditions du type 4.48 issues des  $\xi$  et la condition  $J_1^e + J_2^e - J_{12}^e = p_{1,2} + \hat{p}_{1,2}\pi/h$ ,  $p_{1,2}, \hat{p}_{1,2} \in \mathcal{N}$  issues de l'opérateur  $\tilde{V}$ . Les Clebsch-Gordan effectifs peuvent également être obtenus comme limites de 6-j effectifs et sont donnés par

$$((J_1^e, M_1^e; J_2^e, M_2^e | J_{12}^e)) = (J_1^e, M_1^e - \hat{p}_1\pi/h; J_2^e, M_2^e - \hat{p}_2\pi/h | J_{12}^e + \hat{p}_{1,2}\pi/h). \quad (4.52)$$

Outre celui d'avoir révélé la structure de groupe quantique de la théorie, un des grands mérites de cette base est pratique : c'est elle qui a permis de démarrer la résolution de toute l'algèbre, c'est-à-dire des  $\xi$  et des  $V$ . En effet, chronologiquement c'est d'abord l'échange des  $\xi$  qui a été découvert en ref.[17] puis leur fusion en ref.[18] (c'était plutôt un ansatz) par Gervais. C'était sûrement plus facile car la structure covariante du groupe quantique ( $R$  et Clebsch-Gordan) était mieux connue et plus simple : l'expression des coefficients de la matrice  $R$  est un simple produit, contrairement aux Clebsch-Gordan et 6-j qui contiennent une somme de produits. Lorsque nous avons ensuite calculé l'algèbre des  $V$  en ref.[P1] puis des  $\xi$  en ref.[P2], nous avons présenté les  $V$  comme venant avant les  $\xi$ , comme dans ce mémoire de thèse. Il est en effet possible de "remarquer" que les coefficients de l'algèbre des  $V^{(1/2)}$  sont des 6-j modulo des normalisations  $g$ , et ensuite de prouver inductivement qu'il en est de même pour tous les spins. Cependant, dans la pratique, les  $\xi$  ont précédé les  $V$  : connaissant la fusion des  $\xi$  Eq.4.47, on peut en écrire l'associativité. Elle s'écrit en termes de quatre Clebsch-Gordan mais aussi d'un coefficient de fusion des  $V$  (cf ref.[P2] Eqs.2.22, 2.23). C'est précisément l'équation de définition des 6-j : cela prouve que la fusion des  $V$  est essentiellement donnée par des 6-j.

Cependant, la fusion des  $\xi$  n'était alors qu'un ansatz. C'est pourquoi nous nous sommes contentés de remarquer que la fusion des  $V^{(1/2)}$  était donnée par des 6-j modulo des coefficients de normalisation  $g$ . Comme illustré dans la partie précédente, il était alors facile de passer aux spins supérieurs, grâce à l'équation de Biedenharn-Elliott. Pour en déduire l'algèbre des  $\xi$ , nous n'avions plus besoin alors que d'un certain nombre d'équations reliant les 6-j et la matrice  $R$  et les Clebsch-Gordan par la matrice de passage. Nous reléguons leur démonstration par limite infinie à la sous-partie suivante.

*Nous abordons maintenant une approche concurrente de ce changement de base [37, 38]. Le rapport entre les deux approches est longtemps resté mystérieux. Ces travaux ont été menés pour un groupe quelconque, mais nous ne présentons ici que le cas qui nous intéresse, c'est-à-dire  $U_q(sl(2))$ , et dans des notations compatibles avec celles déjà introduites. On suppose donnés des opérateurs de vertex du type des  $V$  (i.e. de type IRF, voir sous-partie suivante), dont l'échange et la fusion sont donnés par des 6-j. Cela s'applique donc aux nôtres. Ils agissent sur l'espace de Hilbert standard*

$$\mathcal{H}^{(V)} = \bigoplus_J \mathcal{H}_J,$$

*somme directe de modules de Verma  $\mathcal{H}_J$ . Nous nous contentons par souci de simplicité de traiter le cas le plus simple d'un seul spin  $J$  demi entier, mais la généralisation à des représentations infinies ne pose pas de difficulté. Les états (de plus haut poids) sont notés  $|J\rangle$ . On note*

$$\mathcal{P}_J = |J\rangle\langle J|$$

le projecteur sur le module de Verma  $\mathcal{H}_J$  la somme sur les descendants (cf 3.4) étant sous entendue. Ceci est de toute manière valable pour de la simple théorie des groupes, auquel cas il n'y a pas de descendants.

On définit ensuite un autre espace de Hilbert pour les opérateurs  $\xi$  :

$$\mathcal{H}^{(\xi)} = \oplus_J \mathcal{H}_J \otimes \mathcal{W}^J$$

dont les états sont  $|J\rangle \otimes |M\rangle$ . Le projecteur sur  $|J\rangle \otimes |M\rangle$  est noté  $\mathcal{P}_J \otimes \mathcal{P}_M$ . On définit alors les opérateurs

$$\xi_{M_1}^{(J_1)} \equiv \sum_{J_2, J_{12}, M_2} (|J_{12}\rangle \otimes |M_1 + M_2\rangle \langle J_{12}| V_{J_2 - J_{12}}^{(J_1)} |J_2\rangle (J_1, M_1; J_2, M_2 | J_{12}) \langle J_2 | \otimes \langle M_2 |) \quad (4.53)$$

ou, en en fixant l'état de gauche et en cherchant à se rapprocher au maximum de 4.45 :

$$\begin{aligned} & (\mathcal{P}_{J_{12}} \otimes \mathcal{P}_{M_1 + M_2}) \xi_{M_1}^{(J_1)} \\ & \equiv (\mathcal{P}_{J_{12}} \otimes \mathcal{P}_{M_1 + M_2}) \sum_{m_1} V_{m_1}^{(J_1)}(J_1, M_1; J_{12} + m_1, M_2 | J_{12}) |M_1 + M_2\rangle \langle M_2|. \quad (4.54) \end{aligned}$$

Cette transformation diffère peu de 4.45. La matrice de passage  $A(J_1, J_{12})_{M_1}^{m_1}$  de 4.45 est ici un Clebsch-Gordan et dépend d'un cinquième paramètre  $M_2$ , nombre quantique supplémentaire (magnétique) des états. On voit très facilement, grâce aux relations entre les 6-j, les Clebsch-Gordan et la matrice  $R$  (Eqs.4.69 à 4.77), que ces opérateurs  $\xi_{M_1}^{(J_1)}$  ont eux aussi un échange donné par la matrice  $R$  et une fusion donnée par un Clebsch-Gordan. Cette construction 4.53, 4.54 apparaît donc comme évidente à partir d'opérateurs dont l'algèbre est donnée par des 6-j, mais elle est également artificielle de par l'introduction de ces états  $|M\rangle$ . Ils ont en effet un intérêt mathématique, ce sont des représentations du groupe quantique, mais ils n'ont aucun sens physique.

Jusqu'à récemment, on avait donc deux constructions différentes. Soit la transformation 4.45 donnée par une matrice  $A(J_1, J_{12})_{M_1}^{m_1}$ , soit la transformation 4.53, 4.54 donnée par les Clebsch-Gordan de  $U_q(sl(2))$  mais qui avait l'inconvénient d'agir sur un espace de Hilbert  $\mathcal{H}^{(\xi)}$  plus grand, artificiel, sans interprétation physique. Nous nous sommes alors aperçus [P2] que la matrice de passage  $A$  de la première construction 4.45 n'était pas autre chose (à une jauge près) que la limite du Clebsch-Gordan de 4.54 lorsque  $M_2$ , le paramètre supplémentaire, tendait vers l'infini. Prenant la limite de 4.54 pour  $M_2$  tendant vers l'infini, le coefficient devient donc le même, mais en plus les états  $|M_1 + M_2\rangle$  et  $\langle M_2|$  deviennent trivialement  $|\infty\rangle$  et  $\langle \infty|$ . Dans la limite asymptotique de  $M_2$  grand, l'espace  $\mathcal{W}^{J_2}$ , qui nous embarrassait, devient trivial. Identifiant les états  $|J\rangle$  pour 4.45 et les états  $|J\rangle \otimes |\infty\rangle$  pour 4.54, la transformation 4.45 est donc la limite de 4.54 pour  $M_2$  tendant vers l'infini.

## 4.2.2 Les identités par limite infinie

Nous démontrons ici toutes les identités nécessaires à l'obtention de l'algèbre des  $\xi$  à partir de celle des  $V$  pour des spins continus<sup>24</sup>. Elles sont toutes obtenues à partir

<sup>24</sup> Comme pour la partie 4.1.2 traitant des 6-j généralisés à des spins continus, nous notons  $j_i$  les spins continus dans cette partie plus mathématique. Les  $j_i$  sont donc continus alors que les  $J_i$  étaient des demi-entiers. La convention pour les  $M_i$  et  $m_i$  est différente. Nous continuons en effet

des identités vérifiées par les 6-j (4.26, 4.27, 4.28 et 4.29), en faisant tendre certains spins vers l'infini. Il y a deux limites successives. Dans la première nous démontrons que les 6-j ont pour limite des Clebsch-Gordan ou des éléments de matrice  $R$ , selon les spins qu'on fait tendre vers l'infini. Ceci nous permettra d'obtenir toutes les identités concernant la matrice  $R$ , les Clebsch-Gordan et les 6-j, pour des spins continus. Dans la deuxième limite, les Clebsch-Gordan tendent vers des éléments de la matrice de passage  $A$  des  $V$  aux  $\xi$ . Ceci nous donnera toutes les identités nécessaires à l'obtention de l'algèbre des  $\xi$  à partir de celle des  $V$ , pour des spins continus.

Pour que les nombres  $q$ -déformés aient un comportement asymptotique déterminé quand leur argument tend vers l'infini, il faut introduire une partie imaginaire quelque part. On obtient ainsi

$$[a+x] \sim \frac{-\epsilon e^{-ih\epsilon(a+x)}}{2i \sin h} \text{ quand } \text{Im}(hx) \rightarrow \epsilon\infty, \quad \epsilon = \pm 1. \quad (4.55)$$

On peut faire tendre la partie imaginaire de  $hx$  vers l'infini de deux manières : soit pour  $h$  réel, en faisant tendre  $\text{Im}(x)$  vers l'infini, soit pour  $h$  complexe (couplage fort, ou dans le cas du couplage faible en lui donnant une petite partie imaginaire) en gardant  $x$  réel tendant vers l'infini. Nous utiliserons les deux méthodes. On a également

$$[a+x]_\nu \sim \left( \frac{-\epsilon}{2i \sin h} \right)^\nu e^{-ih\epsilon\nu(a+x+\frac{\nu-1}{2})} \text{ quand } \text{Im}(hx) \rightarrow \epsilon\infty. \quad (4.56)$$

Les 6-j (4.30) s'expriment en termes d'une fonction hypergéométrique. Nous utiliserons donc la limite suivante :

$$\lim_{\text{Im}(hx) \rightarrow \epsilon\infty} {}_{m+1}F_{n+1} \left( \begin{matrix} (a_i)_{i=1..m}, a+x \\ (b_j)_{j=1..n}, b+x \end{matrix}; z \right) = {}_mF_n \left( \begin{matrix} (a_i)_{i=1..m} \\ (b_j)_{j=1..n} \end{matrix}; z e^{ih\epsilon(b-a)} \right) \quad (4.57)$$

qui est valable au moins pour des fonctions  ${}_{m+1}F_{n+1}$  et  ${}_mF_n$  définies par des sommes tronquées, c'est-à-dire à condition que l'un des  $a_i$  soit un entier négatif, ce qui est le cas des 6-j. Elle se démontre facilement à partir de 4.56.

Grâce à cela nous pouvons maintenant calculer des limites de 6-j (avec spins continus). Nous avons prouvé en ref.[P2] la limite suivante pour des spins demi-entiers<sup>25</sup> :

$$\lim_{\text{Im}(hj) \rightarrow -\infty} \left\{ \begin{matrix} j_1 & j_2 \\ j+M_1+M_2 & j \end{matrix} \middle| \begin{matrix} j_{12} \\ j+M_1 \end{matrix} \right\} = (j_1, M_1; j_2, M_2 | j_{12}) \quad (4.58)$$

qui peut également être étendue à

$$\lim_{\text{Im}(hj) \rightarrow +\infty} \left\{ \begin{matrix} j_1 & j_2 \\ j+M_1+M_2 & j \end{matrix} \middle| \begin{matrix} j_{12} \\ j+M_1 \end{matrix} \right\} = (j_2, M_2; j_1, M_1 | j_{12}). \quad (4.59)$$

Nous avons maintenant tous les éléments pour calculer la même limite pour les 6-j avec spins continus. On obtient pour  $\text{Im}(hj)$  tendant vers  $\epsilon\infty$  :

$$\sqrt{\frac{[j_1 + M_1]! [j_1 + j_2 - j_{12}]! [j_1 - M_1 + 1]_{j_1+M_1} [-j_1 + j_2 + j_{12} + 1]_{j_1+j_2-j_{12}}}{[j_2 + M_2]! [j_{12} + M_{12}]! [j_2 - M_2 + 1]_{j_2+M_2} [j_{12} - M_{12} + 1]_{j_{12}+M_{12}}}}$$

à noter  $M_i$  les nombres magnétiques des Clebsch-Gordan, tandis que la notation  $m_i$  est réservée à des différences de spins comme pour les 6-j de l'algèbre des  $V$ . Le nombre magnétique  $M_i$  sera donc demi-entier ou non selon que le spin correspondant  $J_i$  ou  $j_i$  l'est ou non.

<sup>25</sup> La bonne méthode consiste ici à faire tendre la partie imaginaire de  $j$  vers l'infini puisque les règles de sélection permettent de le faire tout en maintenant réels les autres spins.

$$(-1)^{j_2+M_2} \frac{e^{ih\epsilon((-j_1+j_2+j_{12})(j_1+j_2+j_{12}+1)/2+j_{12}M_2+j_2M_{12}+M_2)}}{\sqrt{[j_1-j_2+j_{12}+1]_{j_1+j_2-j_{12}} [2j_{12}+2]_{j_1+j_2-j_{12}}}} \frac{[j_1-j_2-M_{12}+1]_{j_2+M_2}}{[j_1-j_{12}-M_2]!} {}_3F_2 \left( \begin{matrix} j_1-j_2-j_{12}, -M_{12}-j_{12}, -M_2-j_2; \\ j_1-j_{12}-M_2+1, j_1-j_2-M_{12}+1; \end{matrix} e^{-ih\epsilon(j_1+j_2+j_{12}+1)} \right). \quad (4.60)$$

Comme les Clebsch-Gordan  $q$ -déformés ne sont pas connus pour des spins continus, tout au moins à ma connaissance, on peut les définir par cette expression. Il faut évidemment vérifier que leur restriction à des spins demi-entiers et à des inégalités triangulaires complètes<sup>26</sup> redonne bien l'expression standard des  $q$ -Clebsch-Gordan. Cela ne pose pas de problème. On peut trouver l'expression standard des  $q$ -Clebsch-Gordan en ref.[18] (annexe C) où Gervais l'a dérivée par récurrence grâce à l'action du coproduit de  $U_q(sl(2))$ <sup>27</sup>. Ces Clebsch-Gordan généralisés vérifient d'ailleurs la même équation de récurrence issue du coproduit  $U_q(sl(2))$  généralisé.

Par cette limite 4.58, la première des symétries 4.35 des 6- $j$  induit la symétrie suivante des Clebsch-Gordan

$$(j_1, M_1; j_2, M_2 | j_{12}) = (j_2, -M_2; j_1, -M_1 | j_{12}) \quad (4.61)$$

pour des Clebsch-Gordan standards, alors que les deux dernières symétries 4.35 des 6- $j$  ne sont pas respectées par la limite et ne donnent donc rien pour les Clebsch-Gordan. La symétrie résiduelle 4.36 n'est pas une symétrie de la limite 4.58, et nos Clebsch-Gordan généralisés n'ont donc aucune symétrie, ce que l'on peut vérifier explicitement. La relation

$$[(j_1, M_1; j_2, M_2 | j_{12})]^* = (j_2, M_2; j_1, M_1 | j_{12}) \quad (4.62)$$

de conjugaison complexe reste néanmoins valable pour les Clebsch-Gordan généralisés. Elle permet de passer de 4.58 à 4.59.

Nous avons examiné en ref.[P2] une autre limite des 6- $j$  :

$$\lim_{\text{Im}(jh) \rightarrow -\infty} \left\{ \begin{matrix} j_1 & j+M \\ j_2 & j \end{matrix} \middle| \begin{matrix} j+M_2 \\ j+M_1 \end{matrix} \right\} e^{i\pi\epsilon(\Delta_{j+M}+\Delta_j-\Delta_{j+M'_2}-\Delta_{j+M_1})} = R^\epsilon(j_1, j_2)_{M_1 M_2}^{M'_2 M'_1} \quad (4.63)$$

extensible à

$$\lim_{\text{Im}(jh) \rightarrow +\infty} \left\{ \begin{matrix} j_1 & j+M \\ j_2 & j \end{matrix} \middle| \begin{matrix} j+M_2 \\ j+M_1 \end{matrix} \right\} e^{i\pi\epsilon(\Delta_{j+M}+\Delta_j-\Delta_{j+M'_2}-\Delta_{j+M_1})} = R^\epsilon(j_2, j_1)_{M_2 M_1}^{M'_1 M'_2} \quad (4.64)$$

où  $\epsilon = \pm 1$ , et  $R^{+1}(j_1, j_2)$  et  $R^{-1}(j_1, j_2)$  sont respectivement des éléments des matrices universelles  $R$  et  $\bar{R}$ . Comme pour les Clebsch-Gordan nous généralisons ici ce résultat à des spins continus.

Le principe de la démonstration est identique à celui du cas discret détaillé en ref.[P2], partie 5. Contrairement à la limite 4.58, ici un des termes de la somme définissant la fonction hypergéométrique domine les autres. Ce terme n'est pas le même selon que  $M_1$  est supérieur ou inférieur à  $M'_1$ . On obtient une limite nulle dans un des cas et finie dans l'autre. Le résultat est donc une matrice triangulaire

<sup>26</sup> Les inégalités triangulaires TII pour ces Clebsch-Gordan généralisés se déduisent évidemment de celles des 6- $j$  grâce à 4.58. C'est donc :  $j_1 + j_2 - j_{12} \in \mathcal{N}$  et  $j_i + M_i \in \mathcal{N}$ ,  $i = 1, 2, 12$ .

<sup>27</sup> Il y a également en ref.[18] (Eqs.C.6, C.10), une expression des Clebsch-Gordan en termes de la fonction  ${}_3F_2$  mais elle n'est pas adéquate pour une généralisation à des spins continus (il faudrait d'abord la transformer par 4.34)

(inférieure ou supérieure selon le signe de  $\epsilon$ ). On vérifie qu'elle est bien identique à la matrice  $R$  universelle. Ses éléments de matrice valent pour des spins continus

$$R^+(j_1, j_2)_{M_1 M_2}^{M'_1 M'_2} = (1 - e^{2ih})^n e^{-ihM_1 M_2} e^{-ihM'_1 M'_2} e^{-ihn(n+1)/2} \frac{\sqrt{[j_1 - M_1 + 1]_n [j_1 + M'_1 + 1]_n [j_2 + M_2 + 1]_n [j_2 - M'_2 + 1]_n}}{[n!]} \quad (4.65)$$

lorsque l'entier  $n \equiv M'_2 - M_2 = M_1 - M'_1$  est positif et 0 sinon.

Comme pour les Clebsch-Gordan, les symétries 4.35 qui sont respectées par la limite 4.63 (en l'occurrence les deuxième et troisième) donnent les symétries suivantes

$$\begin{aligned} R^\pm(J_1, J_2)_{M_1 M_2}^{M'_1 M'_2} &= R^\pm(J_2, J_1)_{-M_2 -M_1}^{-M'_1 -M'_2} \\ R^\pm(J_1, J_2)_{M_1 M_2}^{M'_1 M'_2} &= R^\pm(J_2, J_1)_{M'_2 M'_1}^{M_1 M_2} \quad (\text{symétries TII3}) \end{aligned} \quad (4.66)$$

pour la matrice  $R$  avec spins demi-entiers (la combinaison des deux en engendre une troisième). Pour la matrice  $R$  généralisée à des spins continus, la symétrie résiduelle 4.36 des 6- $j$  ne laisse subsister que la symétrie suivante

$$R^\pm(j_1, j_2)_{M_1 M_2}^{M'_1 M'_2} = R^\pm(j_2, j_1)_{M'_2 M'_1}^{M_1 M_2} \quad (\text{symétrie TII}). \quad (4.67)$$

La transformation par conjugaison complexe

$$\left[ R^\pm(j_1, j_2)_{M_1 M_2}^{M'_1 M'_2} \right]^* = R^\mp(j_2, j_1)_{M'_2 M'_1}^{M_1 M_2} \quad (4.68)$$

reste valable pour une matrice  $R$  généralisée. Elle permet de relier les limites 4.63 et 4.64.

L'intérêt de ces limites est qu'elles s'appliquent directement aux équations 4.26, 4.27, 4.28, 4.29...<sup>28</sup> vérifiées par les 6- $j$ . Il faut néanmoins vérifier sur chaque cas que l'intervalle de sommation de ces relations reste de longueur fixe (et donc finie), c'est pourquoi nous l'explicitons.

L'orthogonalité des 6- $j$  4.28 donne les deux relations d'orthogonalité des Clebsch-Gordan : en faisant tendre  $j_2, j_{23}, j'_{23}, j$  avec différences fixées dans 4.28 (puis  $j_3 \rightarrow j_2$ ) on obtient

$$\sum_{j_{12}=-M_1-M_2}^{j_1+j_2} (j_1, M_1; j_2, M_2 | j_{12}, M_{12})(j_1, M'_1; j_2, M'_2 | j_{12}, M_{12}) = \delta_{M_1, M'_1} \delta_{M_2, M'_2} \quad (4.69)$$

où nous avons fait apparaître  $M_{12}$  dans les Clebsch-Gordan pour bien indiquer la contrainte  $M_1 + M_2 = M'_1 + M'_2 = M_{12}$ , ce qui relie d'ailleurs les deux  $\delta$  du membre de droite pour en faire un seul. Faire tendre  $j_1, j_{13}$  et  $j$  vers l'infini donne l'autre relation d'orthogonalité des Clebsch-Gordan :

$$\sum_{M'_1, M'_2 / M'_1 + M'_2 = M_{12}} (j_1, M_1; j_2, M_2 | j_{12}, M_{12})(j_1, M'_1; j_2, M'_2 | j'_{12}, M_{12}) = \delta_{M_1, M'_1} \delta_{M_2, M'_2} \quad (4.70)$$

<sup>28</sup> Ces quatre relations ne sont ni exhaustives ni indépendantes.

où les bornes sont pour  $M'_1$  par exemple  $-j_1 \leq M'_1 \leq j_2 + M_{12}$ . On obtient également l'orthogonalité des matrices  $R$  en intercalant les bons facteurs  $e^{\Delta \dots}$  (cf 4.63) dans 4.28 où on fait tendre  $j_3, j_{13}, j_{23}, j'_{23}$  et  $j$  vers l'infini à différences fixées :

$$\sum_{M'_1, M'_2; M'_1 + M'_2 = M_1 + M_2} R^\pm(j_1, j_2)_{M'_1 M'_2}^{M'_2 M'_1} R^\mp(j_2, j_1)_{M'_2 M'_1}^{M'_1 M'_2} = \delta_{M_1, M'_1} \delta_{M_2, M'_2} \quad (4.71)$$

avec une somme sur  $M'_1 \in [-j_1, j_2 + M_1 + M_2]$ .

De la même manière, on déduit des autres relations vérifiées par les 6-j de nombreuses relation entre 6-j, Clebsch-Gordan et matrice  $R$  déjà connues dans le cas de spins demi-entiers et d'inégalités triangulaires TI3<sup>29</sup>. De la relation de Racah 4.27 pour  $j_3, j_{13}, j_{23}, j$  tendant vers l'infini on déduit

$$\sum_{j_{12} = -M_1 - M_2 = -M'_1 - M'_2}^{j_1 + j_2} (j_1, M_1; j_2, M_2 | j_{12})(j_2, M'_2; j_1, M'_1 | j_{12}) e^{i\pi\epsilon(\Delta_{j_{12}} - \Delta_{j_1} - \Delta_{j_2})} = R^\epsilon(j_1, j_2)_{M'_1 M'_2}^{M'_2 M'_1} \quad (4.72)$$

et pour  $j_2, j_{12}, j_{23}, j$  tendant vers l'infini (puis  $j_3 \rightarrow j_1 \dots$ ) :

$$\sum_{M'_1, M'_2} R^\epsilon(j_1, j_2)_{M'_1 M'_2}^{M'_2 M'_1} (j_2, M'_2; j_1, M'_1 | j_{12}) = e^{i\pi\epsilon(\Delta_{j_1} + \Delta_{j_2} - \Delta_{j_{12}})} (j_1, M_1; j_2, M_2 | j_{12}). \quad (4.73)$$

La relation pentagonale 4.26 donne pour  $j_1, j_{12}, j_{123}, j$  tendant vers l'infini (puis changement d'indices) :

$$\sum_{j_{23} = \max(j_{123} - j_1, -M_2 - M_3)}^{j_2 + j_3} \left\{ \begin{matrix} j_1 & j_2 & \\ j_3 & j_{123} & \end{matrix} \middle| \begin{matrix} j_{12} \\ j_{23} \end{matrix} \right\} (j_2, M_2; j_3, M_3 | j_{23})(j_1, M_1; j_{23}, M_{23} | j_{123}) = \\ (j_1, M_1; j_2, M_2 | j_{12})(j_{12}, M_{12}; j_3, M_3 | j_{123}) \quad (4.74)$$

qui n'est autre que la relation de définition des 6-j à partir des Clebsch-Gordan. On faisant tendre  $j_2, j_{12}, j_{23}, j_{123}, j_{234}, j$  vers l'infini on a

$$\sum_{M'_1 = -j_1}^{\min(j_2 + M_1 + M_2, j_3 + M_1 + M_3)} R^\pm(j_1, j_2)_{M'_1 M'_2}^{M'_2 M'_1} R^\pm(j_1, j_3)_{M'_1 M'_3}^{M'_3 M'_1} (j_2, M'_2; j_3, M'_3 | j_{23}) = \\ (j_2, M_2; j_3, M_3 | j_{23}) R^\pm(j_1, j_{23})_{M'_1 M'_2 + M'_3}^{M'_2 + M'_3 M'_1}. \quad (4.75)$$

Finalement l'équation de Yang-Baxter pour les 6-j 4.29 donne pour  $j_4, j_{34}, j_{234}, j$  tendant vers l'infini

$$\sum_{M'_1, M'_2, M'_3} R^\pm(j_1, j_2)_{M'_1 M'_2}^{M'_2 M'_1} R^\pm(j_1, j_3)_{M'_1 M'_3}^{M'_3 M'_1} R^\pm(j_2, j_3)_{M'_2 M'_3}^{M'_3 M'_2} = \\ \sum_{M'_1, M'_2, M'_3} R^\pm(j_2, j_3)_{M'_2 M'_3}^{M'_3 M'_2} R^\pm(j_1, j_3)_{M'_1 M'_3}^{M'_3 M'_1} R^\pm(j_1, j_2)_{M'_1 M'_2}^{M'_2 M'_1} \quad (4.76)$$

qui est l'équation de Yang-baxter pour la matrice  $R$ . Dans 4.76, les sommes, qui paraissent triples, sont en fait simples à cause des contraintes issues des matrices

<sup>29</sup> Les équations 4.69 à 4.77 sont données pour des TI3 en ref.[35], sauf 4.72 qui n'est pas donnée mais peut se déduire des règles de nœuds données dans cette référence.

*R.* Si on prend  $M'_2$  comme indice de sommation l'intervalle est  $[-j_2, \min[j_1 + M_1 + M_2, j_3 + M'_3 + M'_2]]$  pour la somme du membre de gauche et  $M'_2 \in [-j_2, \min[j_1 + M'_1 + M'_2, j_3 + M_3 + M_2]]$  pour la somme du membre de droite. Si dans l'équation de Yang-Baxter pour les 6-j 4.29 on fait au contraire tendre  $j_3, j_{34}, j_{23}, j_{234}, j_{123}, j$  vers l'infini on obtient

$$\sum_{M'_1, M'_2} R^\pm(j_1, j_2)_{M'_1 M'_2}^{M'_2 M'_1}(j_1, M'_1; j_3, M_3 | j_{13})(j_2, M'_2; j_{13}, M'_1 + M_3 | j_{123}) =$$

$$\sum_{j_{23}=\max(j_{123}-j_1, -M_2-M_3)}^{j_2+j_3} (j_1, M_1; j_{23}, M_2 + M_3 | j_{123})(j_2, M_2; j_3, M_3 | j_{23}) \left\{ \begin{matrix} j_1 & j_3 \\ j_2 & j_{123} \end{matrix} \middle| \begin{matrix} j_{13} \\ j_{23} \end{matrix} \right\} e^{i\pi\epsilon(\Delta_{j_3} + \Delta_{j_{124}} - \Delta_{j_{13}} - \Delta_{j_{23}})}$$
(4.77)

la somme du membre de gauche étant pour  $M'_1 \in [\max(-j_1, -j_{13} - M_3), j_2 + M_2 + M_1]$ .

Il est clair que toutes ces relations permettent, à partir de l'algèbre des opérateurs  $V$  de la partie 4.1, d'obtenir l'algèbre des opérateurs  $\xi$  des refs.[37, 38] écrits en 4.53. En effet dans cette construction, la matrice de passage (avec changement d'espace) est un Clebsch-Gordan. Il est donc facile de voir que la relation 4.77 montre que la fusion de ces  $\xi$  est donnée par la matrice  $R$ , et que la relation 4.74 montre que leur fusion est donnée par un Clebsch-Gordan, l'élément de matrice de  $V$  dans la fusion restant inchangé. Toutes les autres relations montrent la cohérence de l'algèbre des  $\xi$ .

La deuxième étape de cette sous-partie consiste maintenant à démontrer l'algèbre des  $\xi$  de Babelon et Gervais écrits en Eq.4.45. Comme annoncé dans la sous-partie précédente, la matrice de changement de base est la limite du Clebsch-Gordan de changement de base  $A$  de l'autre construction (Eq.4.53 lorsque le nombre  $M$  supplémentaire introduit tend vers l'infini<sup>30</sup> :

$$\lim_{\text{Im}(hM_2) \rightarrow +\infty} (j_1, M_1; j_2, M_2 | j_{12}) = A(j_1, j_2)_{M_1}^{j_2-j_1} \quad (4.78)$$

La matrice de passage  $A$  est une notation propre à ce mémoire. Elle exprime le passage des  $\tilde{V} = g_{\dots} V$  aux  $\xi$ . Les  $\tilde{V}$  ont été renormés en 4.10 par rapport aux  $V$  pour que leur algèbre soit purement donnée par des 6-j, sans normalisation supplémentaire. Les coefficients de normalisation  $g$  contiennent des fonctions gamma alors que les 6-j sont purement trigonométriques. C'est le guide que Gervais avait déjà choisi en ref.[17] pour définir des opérateurs  $\psi = E_{\dots}(\dots) V$  dont l'algèbre devait être purement trigonométrique. Cependant, à cette époque, la fusion n'était traitée correctement qu'à l'ordre dominant. Ainsi dans cette renormalisation par les coefficients  $E$ , différents des  $g$ , des fonctions gamma réapparaissent aux ordres suivants. Gervais avait cependant alors défini une matrice de passage  $|j_1, \varpi_j)_{M_1}^{m_1}$  des  $\psi = E.V$  aux  $\xi$  de telle façon que les  $\xi$  soient covariants pour le groupe quantique. Il n'est donc pas étonnant que les deux matrices de passage soient reliées par

$$A(j_1, j)_{M_1}^{m_1} = \frac{f(j + m_1)}{f(j)} \frac{E_{m_1}^{(j_1)}(\varpi_j)}{g_{j_1, j+m_1}^j} |j_1, \varpi_j)_{M_1}^{m_1} \quad (4.79)$$

---

<sup>30</sup> Il faut ici donner une petite partie imaginaire à  $h$  (pour le couplage faible) et conserver  $M_2$  réel lorsqu'il tend vers l'infini. Sinon, la condition TII  $j_2 + M_2 = p_2 + \hat{p}_2\pi/h$  imposerait que  $j_2$  soit complexe.

où  $f$  est une pure jauge. On peut en effet vérifier que, quels que soient les facteurs  $f$  introduits en 4.79, ils disparaissent de l'algèbre des  $\xi$  ainsi définis.

Le principe de la démonstration est identique à celui de la limite des 6-j aux Clebsch-Gordan (Eq.4.58). Au lieu de passer d'une fonction hypergéométrique  ${}_4F_3$  à une  ${}_3F_2$ , on passe d'une  ${}_3F_2$  à une  ${}_2F_1$ . Pour cela il faut d'abord transformer l'expression 4.60 des Clebsch-Gordan car la fonction  ${}_3F_2$  de l'Eq.4.60 a quatre arguments qui tendent vers l'infini dans cette limite. On la transforme par 4.34 avec  $m = 2$  et  $-N = -M_2 - j_2$ , pour obtenir

$$(j_1, M_1; j_2, M_2 | j_{12}) = \sqrt{\frac{[j_1 + M_1]! [j_1 - M_1 + 1]_{j_1+M_1} [-j_1 + j_2 + j_{12} + 1]_{j_1+j_2-j_{12}}}{[j_2 + M_2]! [j_{12} + M_{12}]! [j_1 + j_2 - j_{12}]! [j_2 - M_2 + 1]_{j_2+M_2}}}$$

$$\frac{e^{-ih\epsilon(j_1+j_2-j_{12})(j_1+j_2+j_{12}+1)/2+j_1M_2+j_2M_1} [j_{12} - j_1 - M_2 + 1]_{j_2+M_2}}{\sqrt{[j_{12} - M_{12} + 1]_{j_{12}+M_{12}} [j_1 - j_2 + j_{12} + 1]_{j_1+j_2-j_{12}} [2j_{12} + 2]_{j_1+j_2-j_{12}}}}$$

$$[j_{12} - j_2 + M_1 + 1]_{j_2+M_2} {}_3F_2 \left( \begin{matrix} -j_1-j_2+j_{12}, M_1-j_1, -M_2-j_2 \\ j_{12}-j_1-M_2+1, j_{12}-j_2+M_1+1 \end{matrix}; e^{ih\epsilon(j_1+j_2+j_{12}+1)} \right). \quad (4.80)$$

Il est immédiat de voir que la limite de la fonction  ${}_3F_2$  est

$${}_2F_1 \left( \begin{matrix} -j_1-j_2+j_{12}, M_1-j_1 \\ j_{12}-j_2+M_1+1 \end{matrix}; e^{-2ih\epsilon(j_1+j_{12})} \right)$$

qui est bien la fonction  ${}_2F_1$  définissant la matrice de passage  $|j_1, \varpi_j\rangle_{M_1}^{m_1}$  en ref.[17] Eq.2.24<sup>31</sup>. Il n'y a plus ensuite qu'à calculer les préfacteurs.

Ceci nous permet ensuite de déterminer l'algèbre des  $\xi$  obtenus par la matrice A (Eq.4.45). On prend les équations 4.74 et 4.77 qui donnent la fusion et l'échange des  $\xi$  obtenus par changement de base par les Clebsch-Gordan et on applique la limite. Lorsque  $M_3$  tend vers l'infini, l'équation 4.74 donne

$$\sum_{j_{23}=j_{123}-j_1}^{j_2+j_3} \left\{ \begin{matrix} j_1 & j_2 & j_{12} \\ j_3 & j_{123} & j_{23} \end{matrix} \right\} A(j_1, j_{123})_{M_1}^{j_3-j_{123}} A(j_2, j_{23})_{M_2}^{j_{23}-j_3} =$$

$$(j_1, M_1; j_2, M_2 | j_{12}) A(j_{12}, j_{123})_{M_{12}}^{j_3-j_{123}} \quad (4.81)$$

et permet de prouver la fusion des  $\xi$  4.51, alors que 4.77 donne

$$\sum_{M'_1, M'_2; M'_1=-j_1}^{j_2+M_2+M_1} R^\pm(j_1, j_2)_{M'_1 M'_2}^{M'_2 M'_1} A(j_1, j_{13})_{M'_1}^{j_3-j_{13}} A(j_2, j_{123})_{M'_2}^{j_{13}-j_{123}} =$$

$$\sum_{j_{23}=j_{123}-j_1}^{j_2+j_3} A(j_1, j_{123})_{M_1}^{j_{23}-j_{123}} A(j_2, j_{23})_{M_2}^{j_3-j_{23}} \left\{ \begin{matrix} j_1 & j_3 & j_{13} \\ j_2 & j_{123} & j_{23} \end{matrix} \right\} e^{i\pi\epsilon(\Delta_{j_3} + \Delta_{j_{124}} - \Delta_{j_{13}} - \Delta_{j_{23}})}$$

$$(4.82)$$

dans la même limite, et permet de prouver leur échange 4.46.

<sup>31</sup> En ref.[17] Eq.2.24, deux cas sont considérés pour éviter tout entier négatif  $-N$  comme argument inférieur de la fonction hypergéométrique. En effet pour un indice de sommation  $\nu$  (cf Eq.4.33) supérieur à  $N$ , il apparaît alors un pôle. Ceci peut très bien arriver dans les  ${}_4F_3$ ,  ${}_3F_2$ ,  ${}_2F_1$  considérées ici, mais ce pôle sera toujours compensé par le zéro d'un préfacteur, ce qui aura pour effet de faire commencer la sommation à  $\nu = N + 1$  et sera correct. C'est en particulier la raison pour laquelle l'expression 4.60 des Clebsch-Gordan était inappropriée dans la limite  $M_2 \rightarrow \infty$  : l'intervalle de sommation effectif obtenu par ce mécanisme était pour  $\nu$  de l'ordre de  $M_2$ , tout en restant bien de taille fixe et finie.



Les équations d'orthogonalité des Clebsch-Gordan 4.69 et 4.70 permettent également de prouver que la matrice de passage  $A$  est sa propre inverse. Ceci est écrit pour la matrice  $|j_1, j\rangle_{M_1}^{m_1}$  en ref.[P2] dans le cas de spins demi-entiers et d'inégalités TI3. En revanche, dans le cas de spins continus et d'inégalités TI1, les  $\xi$  sont dans des représentations de dimension infinie. Ainsi  $M$  (et  $m$  pour  $V_m^{(j)}$ ) ne sont pas bornés inférieurement, la matrice  $A$  est donc de dimension infinie et la limite "naïve" de 4.69 et 4.70 donne une somme infinie. Il faudrait donc pouvoir prouver une limite uniforme mais cela paraît être faux car cette somme infinie semble divergente. Quant aux relations 4.81 et 4.82, nous avons bien pris soin d'explicitier leurs intervalles de sommation pour vérifier qu'ils étaient fixes et finis. Dans ces cas-là, la limite est donc bien valide et ces relations justes. Dans le cas de spins continus on connaît donc l'algèbre des  $\xi$  mais on ne sait pas inverser le passage des  $V$  aux  $\xi$  (Eq.4.45).

Nous avons exhibé en ref.[P2] une troisième et dernière limite. La première limite décrite ici montre que les 6-j tendent vers les Clebsch-Gordan ou la matrice  $R$  dans un certain régime. La deuxième est complètement différente et montre que le changement de base de Babelon et Gervais est un cas limite du changement de base par les Clebsch-Gordan.

La première limite montre en fait que la limite des coefficients de fusion et d'échange des  $V$  sont ceux des  $\xi$ . En terme de modèles de physique statistique on a un modèle à vertex qui est la limite d'un modèle IRF. On peut alors se demander si la limite ne pourrait pas s'étendre des coefficients de fusion et d'échange aux opérateurs : les opérateurs  $V$  eux-mêmes ne pourraient-ils pas avoir les  $\xi$  comme limite? Et nous avons effectivement pu prouver (pour des spins demi-entiers) en ref.[P2] que dans la limite où ils agissent sur des états de moment infini les deux types d'opérateurs sont confondus : la limite

$$\lim_{\text{Im}(hj_{12}) \rightarrow \infty} A(J_1, j_{12})_{M_1}^{m_1} = \delta_{m_1, M_1}$$

montre que

$$V_m^{(J)}|\infty \rangle \sim \xi_m^{(J)}|\infty \rangle .$$

Ceci ne permet cependant de construire que des  $\xi$  agissant sur l'espace trivial  $|\infty \rangle$  et non les  $\xi$  généraux. De plus ceci semble difficile à généraliser au cas de spins continus à cause de problèmes d'inversion de  $A$  et d'interversion de limites.

# Chapitre 5

## THEORIE DE LIOUVILLE : COUPLAGE FORT

Après avoir déterminé l'algèbre des opérateurs de la théorie de Liouville pour une charge centrale générique, nous pouvons enfin étudier la physique du régime de couplage fort  $d > 1$  ou  $C_{\text{Liou}} < 25$ . Nous déterminons dans une première partie une algèbre cohérente à tous les ordres d'opérateurs physiques de poids réels ce qui nous permet de construire dans une deuxième partie un modèle topologique fortement couplé.

Comme nous nous en sommes déjà rendu compte à plusieurs reprises, le régime de couplage fort connaît des problèmes dus à l'apparition de quantités complexes. Dans le chapitre 2, nous avons vu que la formule de KPZ 2.58 pour  $\gamma_{\text{string}}$  était complexe pour  $d > 1$ . De la même manière dans le chapitre 1, la formule de Kac 1.31 donnait dans ce cas des poids complexes. Par ailleurs, les masses carrées des excitations d'une corde bosonique non-critique vivant dans un espace-temps de dimension  $d > 1$ , pour un opérateur de vertex dont l'habillage par la gravité est un opérateur de Liouville de poids  $\Delta$ , valent  $2(\Delta - 1 + N)$  et sont alors complexes. Il en est de même pour les supercordes. Tout ceci ne saurait être acceptable physiquement.

Il existe certes dans ce régime des opérateurs et des états de poids réels, mais ils engendrent par fusion et échange des opérateurs et des états de poids complexes, à cause du caractère complexe des charges d'écran  $\alpha_{\pm}$  (ou des paramètres de déformation  $h$  et  $\hat{h}$ ).

Ceci conduit à l'idée de la troncature exposée dans la première partie : on cherche à déterminer des combinaisons linéaires d'opérateurs de poids réels qui se découpent des opérateurs de poids complexes et laissent stable un espace de Hilbert d'états de poids également réels. La fin de la preuve<sup>1</sup> de cette troncature déjà étudiée en refs[41, 13, 42, 18] est obtenue en [P3]<sup>2</sup>. Elle n'est possible que pour les dimensions spéciales  $C = 7, 13, 19$  (et  $C = 3, 5, 7$  dans le cas supersymétrique), et pour des spins fractionnaires (quarts ou sixièmes d'entiers). L'inclusion de ces spins

---

<sup>1</sup>En admettant que la continuation des coefficients de l'algèbre d'opérateurs par la symétrie  $J \rightarrow -J - 1$  donne bien l'algèbre des opérateurs de spins négatifs (et nombre négatif de charges d'écran), puisque c'est ainsi que nous avons obtenu l'algèbre des opérateurs de poids positifs.

<sup>2</sup> Nous travaillerons ici comme en [P3] dans la base des ondes de Bloch, alors que les travaux [13, 42, 18] ont plutôt été réalisés dans celle du groupe quantique, puisque l'algèbre des opérateurs n'était alors pas connue dans la première base.

fractionnaires dans le spectre est exactement ce qui est nécessaire à l'obtention d'une fonction de partition invariante modulaire [13] (c'est la même que celle d'un boson libre compactifié sur un cercle de rayon  $\sqrt{(25-C)/3}$ ). Il y a en fait deux algèbres cohérentes d'opérateurs physiques, les  $\chi_-$  de poids réels négatifs et les  $\chi_+$  de poids réels supérieurs à 1.

Comme déjà indiqué, cette troncature de l'algèbre d'opérateurs pour ces dimensions spéciales n'est pas sans rappeler celle des modèles minimaux. Elles apparaissent toutes les deux pour les dimensions où le spectre des poids conformes donne lieu à une dégénérescence des valeurs propres de la matrice de monodromie. Dans une deuxième partie, nous montrons par une discussion non publiée jusqu'à présent (et donc imprimée en italique) qui paraîtra en [P5], que la dégénérescence de la matrice de monodromie est essentielle pour obtenir une troncature de l'algèbre d'opérateurs. Ceci sera confirmé par le fait que les dimensions spéciales ainsi que les spins fractionnaires peuvent être obtenus en demandant une dégénérescence maximale de ces valeurs propres. Nous en profitons pour bien montrer ce que signifie cette troncature de l'algèbre d'opérateurs en termes de fonctions de corrélations physiques.

L'étude des véritables cordes non critiques, c'est-à-dire ayant 19, 13 ou 7 degrés de liberté de matière et vivant dans un espace-temps de dimension 19, 13 ou 7, a été abordé en ref.[12] (ainsi que le cas supersymétrique). Cependant, le calcul des amplitudes semble encore hors de portée. C'est pourquoi nous étudions dans la troisième partie de ce chapitre un modèle simplifié<sup>3</sup>. Ce modèle est construit à partir de deux copies différentes des théories construites dans la partie 5.1. Comme les modèles minimaux habillés par la gravité, il comporte un degré de liberté de matière habillé par la gravité. La matière est constituée d'opérateurs  $\chi'_-$ , et la gravité d'opérateurs  $\chi_+$ . Les dimensions spéciales 7, 13, 19 sont en effet leurs propres complémentaires à 26. Il est en outre possible de construire des opérateurs locaux de poids (1,1) à partir de  $\chi'_-$  et de  $\chi_+$ . La cohomologie BRST doit ensuite enlever les excitations transverses de deux degrés de liberté, n'en laissant plus aucun dans le cas présent. Ce modèle doit donc être topologique. Nous calculons l'exposant critique<sup>4</sup>

$$\gamma_{\text{string}} = \frac{d-1}{12} \quad d = 7, 13, 19 \quad (5.1)$$

qui ne vaut pas que pour ce modèle topologique mais pour tout modèle de cordes dans une des dimensions spéciales pour des champs de matière quelconques habillés par les  $\chi_+$ . Cette valeur est la partie réelle de la formule de KPZ 2.58, ce qui pourrait être en accord avec les simulations numériques effectuées dans le régime de couplage fort[45]. Nous calculons aussi les fonctions à trois points de cette théorie. Nous écrivons ensuite une action effective avec le nouveau terme cosmologique, grâce à laquelle, nous inspirant de ce qui a été fait dans le régime de couplage faible par Di Francesco et Kutasov [31], nous écrivons ensuite une action effective et déterminons les fonctions à  $N+1$  points avec un moment externe nul, en dérivant les fonctions à  $N$  points par rapport à la constante cosmologique. Les fonctions de Green avec moments externes quelconques sont ensuite obtenus par symétrie. Soustrayant des fonctions de corrélation totales les fonctions à une particule réductible, nous

<sup>3</sup> Comme ce modèle n'a fait l'objet que d'une simple lettre [P4], nous faisons ici une étude relativement détaillée qui sera reprise en ref.[P5], publiée très prochainement.

<sup>4</sup> Nous obtenons également dans la deuxième partie, en 5.103, une formule pour les genres supérieurs qui n'est pas en ref.[P4] en annexe, mais figurera en [P5].

obtenons les fonctions à  $N$  points à une particule irréductibles (jusqu'à  $N = 6$  dans la pratique). Elles sont analytiques et symétriques, ce qui confirme la pertinence de l'action effective employée.

## 5.1 Troncature de l'algèbre d'opérateurs

Nous commençons par une petite mise au point. Nous considérons ici des spins généralisés, c'est-à-dire continus ou plus tard fractionnaires. Nous avons dit dans le chapitre précédent que dans le cas de spins continus la notion de spins  $J$  et  $\hat{J}$  disparaissait, dans le sens qu'un spin effectif  $J^e$  continu ne se décompose pas de manière unique sous la forme  $J^e = J + (\pi/h)\hat{J}$ . Dans le cas présent  $(\pi/h)$  est complexe, et nous considérerons toujours des spins  $J$  et  $\hat{J}$  réels. La décomposition  $J^e = J + (\pi/h)\hat{J}$  du spin effectif continu complexe  $J^e$  en termes de deux spins continus réels  $J$  et  $\hat{J}$  est alors unique. C'est pourquoi nous utiliserons dans ce chapitre parfois  $J^e$  et d'autres fois  $J$  et  $\hat{J}$ . L'algèbre des opérateurs s'écrira néanmoins toujours en termes de spins effectifs et de 6-j effectifs.

Réécrivons le poids conforme d'un opérateur  $V_{m,\hat{m}}^{(J,\hat{J})}$  donné en 2.43 :

$$\Delta_{J,\hat{J}} = \frac{C-1}{24} - \frac{1}{24} \left( (J + \hat{J} + 1)\sqrt{C-1} - (J - \hat{J})\sqrt{C-25} \right)^2 \quad (5.2)$$

qui est valable également pour  $J$  et  $\hat{J}$  continus. Dans le régime de couplage fort, la charge centrale de Liouville,  $C$ , est comprise entre 1 et 25, et ces poids sont complexes, en général. Il y a cependant quelques cas particuliers pour lesquels les poids sont réels. En effet,  $\sqrt{C-25}$  est imaginaire pur,  $\sqrt{C-1}$  est réel, et, dans les cas  $J - \hat{J} = 0$  ou  $J + \hat{J} + 1 = 0$  le poids est réel ( $J$  et  $\hat{J}$  sont réels). Si on les désigne par les quantités  $(n, m) = (2\hat{J} + 1, 2J + 1)$  (comme BPZ dans le cas de spins demi-entiers ou  $n$  et  $m$  entiers), ils s'agit des cas diagonaux. On a des poids négatifs<sup>5</sup>

$$\Delta_{J,J} = -\frac{C-1}{6}J(J+1), \quad (5.3)$$

pour le cas de la diagonale principale  $(n, m) = (n, n) = (2J + 1, 2J + 1)$  et des poids positifs

$$\Delta_{-J-1,J} = 1 + \frac{25-C}{6}J(J+1) \quad (5.4)$$

pour les représentations de l'autre diagonale  $(n, m) = (n, -n) = (-2J - 1, 2J + 1)$  pour  $J$  et  $n$  réels quelconques.

Ceci n'est pas une grande découverte et ne résoud pas le problème. En effet, comme nous l'avons souligné en introduction de ce chapitre, par fusion ou échange, ces opérateurs de poids réels donnent des opérateurs et des états de poids complexes. On ne peut donc pas se restreindre à ce sous ensemble d'opérateurs de manière cohérente. C'est le but de cette partie de présenter la construction d'une sous algèbre fermée<sup>6</sup> (pour les opérations d'échange et de fusion) d'opérateurs de poids réels

<sup>5</sup> Plus précisément, ils sont strictement négatifs pour  $J = \hat{J} > 0$ , nul pour  $J = \hat{J} = 0$  qui est l'opérateur identité, et positif pour  $J = \hat{J} = -1/2$  i.e.  $(n, m) = (0, 0)$  qui est un cas pathologique.

<sup>6</sup> Nous parlons souvent de sous-algèbre fermée par souci de clarté, bien que ce soit un pléonasme. Une sous-algèbre est par définition un sous-espace vectoriel d'une algèbre, fermé (ou stable) pour les opérations de l'algèbre (fusion et échange ici).

agissant sur un espace de Hilbert d'états de poids réels. Ceci garantira le découplage des opérateurs et états de poids complexes.

Tous les détails sont donnés en ref.[P3] et nous nous contenterons ici d'esquisser la démonstration. Ce travail fait suite aux refs.[41, 13, 42, 18] où la fermeture de la fusion n'avait pas été vérifiée pour les descendants. De plus, ceci n'avait été fait que pour des opérateurs de spins demi-entiers alors qu'il a été démontré[13] que l'inclusion dans le spectre de spins fractionnaires (cf Eqs.5.10, 5.23 plus bas<sup>7</sup>) était nécessaire pour avoir l'invariance modulaire<sup>8</sup>. C'est la raison essentielle qui nous a poussés à étudier l'algèbre des opérateurs de spins continus dans le chapitre précédent. L'algèbre des spins fractionnaires n'est en effet pas fondamentalement différente de celle des spins continus. Nous verrons plus loin que ce sont uniquement les propriétés 5.7, 5.22 qui distinguent les spins fractionnaires des spins continus.

Considérons pour le moment le cas le plus simple, celui des opérateurs de spins effectifs  $J_i^e = J_i + (\pi/h)J_i$  pour  $J \in R$ . Nous notons ces spins effectifs particuliers

$$J_i^{e-} = J_i + (\pi/h)J_i. \quad (5.5)$$

C'est la généralisation à des spins continus de la diagonale de la table Kac et leurs poids réels négatifs sont donnés par 5.3 avec  $J = J_i$  continu. Nous supposons donc que tous les opérateurs et états initiaux sont dans ce sous-ensemble, i.e. caractérisés par  $J_i^e = J_i^{e-}$ . On a vu (cf Eqs.4.22, 4.25) que la fusion et l'échange de deux opérateurs  $V^{(J^e)}$  est essentiellement donnée par un produit de deux 6-j, l'un avec paramètre de déformation  $h$  et spins  $J_i^e$ , l'autre avec paramètre de déformation  $\hat{h}$  et spins  $\hat{J}_i^e$ . Pour les valeurs particulières  $J_i^{e-}$  des spins, on a  $\hat{J}_i^e \equiv (h/\pi)J_i^e = J_i + (h\pi)J_i = J_i + (\pi/\hat{h})J_i$ , et  $\hat{J}_i^e$  est donc le transformé de  $J_i^e$  par  $h \rightarrow \hat{h}$  et est donc aussi noté  $\hat{J}_i^{e-}$ .

Examinons plus en détail ce qui se passe pour la fusion, le mécanisme est similaire pour l'échange. Les deux 6-j du coefficient de fusion 4.22 sont alors

$$\left\{ \left\{ \begin{matrix} J_1^{e-} & J_2^{e-} & J_{12}^e \\ J_3^{e-} & J_{123}^{e-} & J_{23}^{e-} \end{matrix} \right\} \right\} \left\{ \left\{ \begin{matrix} \hat{J}_1^{e-} & \hat{J}_2^{e-} & \hat{J}_{12}^e \\ \hat{J}_3^{e-} & \hat{J}_{123}^{e-} & \hat{J}_{23}^{e-} \end{matrix} \right\} \right\} \quad (5.6)$$

Les cinq spins effectifs issus du membre de gauche (point de départ de la transformation) sont, par choix, du type  $J_i^e = J_i^{e-}$  alors que le spin  $J_{12}^e$  de l'opérateur obtenu par fusion est (en général) quelconque :  $J_{12}^e = J_{12} + (\pi/h)\hat{J}_{12}$ . La fusion engendre donc une combinaison linéaire d'opérateurs de poids complexes. Seuls certains d'entre eux, pour lesquels  $J_{12} = \hat{J}_{12}$ , ont un poids réel. Il faudrait donc que les coefficients des opérateurs de poids complexes s'annulent. Aucun des deux 6-j de 5.6 ne s'annule dans ce cas et 5.6 ne peut donc s'annuler dans les cas  $J_{12} \neq \hat{J}_{12}$  comme il le faudrait. La solution consiste à ne plus considérer aussi simplement la fusion d'opérateurs  $V_m^{(J^e)}$  mais de combinaisons linéaires de tels opérateurs. La fusion de telles combinaisons linéaires engendrerait toujours tous les mêmes opérateurs  $V^{(J_{12}^e)}$  mais les coefficients de fusion ne seraient plus donnés par 5.6 mais par une

<sup>7</sup> Nous utilisons la dénomination de spins fractionnaires pour les spins 5.10, 5.23 qui peuvent être des quarts ou des sixièmes d'entiers, et non pour les spins standards demi-entiers.

<sup>8</sup> Ces spins fractionnaires avaient pu être introduits pour les états, et la fermeture de l'algèbre (hors descendants pour la fusion) avait pu être prouvée pour des opérateurs de spins demi-entiers. Mais la cohérence de la théorie exige une correspondance entre états et opérateurs. C'est pourquoi nous avons dû étendre la construction à des opérateurs de spins fractionnaires.

combinaison linéaire de produits du type 5.6. Et on voudrait que cette combinaison linéaire soit nulle pour  $J_{12} \neq \hat{J}_{12}$ . Ceci commence fort à ressembler à une relation d'orthogonalité entre 6-j, sauf que nous avons des 6-j de deux types différents, les uns déformés par  $h$ , les autres par  $\hat{h}$ . Par conséquent, ça ne marche pas, en général. Mais il se trouve, et c'est ce qui caractérise les dimensions spéciales, que lorsque  $C = 7, 13$  ou  $19$ , les 6-j des deux types (pour des  $J^e$  bien choisis) sont égaux, à un simple signe près. En introduisant les signes et normalisations adéquats dans la définition d'opérateurs combinaisons linéaires de  $V_{m, \hat{m}}^{(J, \hat{J})}$ , le miracle se produit : l'orthogonalité des 6-j permet le découplage des opérateurs de spins  $J_{12} \neq \hat{J}_{12}$ , c'est-à-dire de poids complexes. Et qui plus est, le résultat est encore une combinaison linéaire d'opérateurs du type considéré initialement, ce qui assure la stabilité de l'algèbre.

La propriété fondamentale[P3] est

$$\hat{\left\{ \left\{ \begin{array}{c|c} \hat{J}_1^{e-} & \hat{J}_2^{e-} \\ \hat{J}_3^{e-} & \hat{J}_{123}^{e-} \end{array} \right\} \right\} \hat{J}_{23}^{e-}} = (-1)^{(2+s)\phi(J_1, J_2, J_3, J_{12}, J_{23}, J_{123})} \left\{ \left\{ \begin{array}{c|c} J_1^{e-} & J_2^{e-} \\ J_3^{e-} & J_{123}^{e-} \end{array} \right\} \right\} \hat{J}_{23}^{e-} \quad (5.7)$$

avec  $p_{k,l} \equiv j_k + j_l - j_{kl}$  pour  $k$  et  $l$  dans  $\{1, 2, 3, 12, 23\}$  et

$$\begin{aligned} \phi(J_1, J_2, J_3, J_{12}, J_{23}, J_{123}) &= p_{1,2}(2J_2 + 2J_3) + p_{2,3}2J_3 + p_{1,23}2J_{23} + p_{12,3}2J_3 \\ &+ p_{1,2}(p_{1,2} + 1)/2 + p_{2,3}(p_{2,3} + 1)/2 + p_{1,23}(p_{1,23} + 1)/2 + p_{12,3}(p_{12,3} + 1)/2. \end{aligned} \quad (5.8)$$

Comme on l'a annoncé plus haut, elle peut être prouvée pour une charge centrale

$$C = 1 + 6(s + 2), \quad s = -1, 0, 1 \text{ donc } C = 7, 13, 19 \quad (5.9)$$

et des spins

$$J_i = \frac{n_i}{2(2+s)}, \quad n_i \in Z \quad (5.10)$$

qui sont donc des demi-entiers pour  $C = 7$  mais des quarts d'entiers pour  $C = 13$  et des sixièmes d'entiers pour  $C = 19$ .

Nous avons étendu dans le chapitre précédent la définition des 6-j standards (définis pour des spins demi-entiers) à des spins continus, vérifiant également leur orthogonalité, l'équation de Bideharn-Elliot...etc. En revanche, le lien 5.7 entre les 6-j définis avec les paramètres de déformation  $h$  et  $\hat{h}$  ne peut être étendu qu'au cas intermédiaire des spins fractionnaires 5.10. On pourrait se demander s'il ne s'agit pas d'une simple curiosité mathématique et si ces spins fractionnaires ne doivent pas être exclus, se restreignant aux spins demi-entiers. On pourrait également se demander s'il n'existerait pas une généralisation de 5.7 à des spins continus, que nous n'aurions pas su démontrer. Les réponses à ces questions semblent être négatives et les spins fractionnaires semblent avoir un sens plus profond. En effet l'adjonction au spectre de ces spins fractionnaires est exactement ce qui est nécessaire à l'obtention d'une fonction de partition invariante modulaire, comme cela a été prouvé en [13]. La fonction de partition obtenue est alors identique à celle d'un boson compactifié sur un cercle de rayon  $\sqrt{2(2 \pm s)}$ , bien que la physique décrite soit différente.

Nous définissons donc les opérateurs  $\chi_-$  de poids 5.3 négatifs à partir des opérateurs  $V_m^{(J^e)}$  précédents<sup>9</sup> :

$$\chi_-^{(J_1)} \mathcal{P}_{J_2^{e-}} \equiv \sum_{\substack{J_{12} \\ p_{1,2} \equiv J_1 + J_2 + J_{12} \in \mathcal{N}}} (-1)^{(2+s)(2J_2 p_{1,2} + \frac{p_{1,2}(p_{1,2}+1)}{2})} g_{J_1^{e-} J_2^{e-}}^{J_{12}^{e-}} V_{J_2^{e-} - J_{12}^{e-}}^{(J_1^{e-})} \mathcal{P}_{J_2^{e-}} \quad (5.11)$$

<sup>9</sup>  $\mathcal{N}$  désigne l'ensemble des entiers naturels (i.e. positifs ou nuls)

pour un état entrant de spin effectif  $J_2^{e-}$  fixé ( $\mathcal{P}_{J_2^{e-}}$  est le projecteur sur le module de Verma correspondant). La quantité  $p_{1,2} \equiv J_1 + J_2 + J_{12}$  doit être un entier positif ou nul, ce qui constitue la seule contrainte des règles de sélection pour les spins continus, comme on l'a vu dans le chapitre précédent. Les coefficients de normalisation  $g$  sont ceux qui apparaissent dans les matrices de fusion et d'échange des  $V$  en Eqs.4.22, 4.25. Ils sont définis pour des spins continus et donc pour des spins fractionnaires du type 5.10. Les poids des opérateurs  $\chi_-$  sont

$$\Delta(\chi_-^{(J)}) = \Delta_{J,J} = -(2+s)J(J+1). \quad (5.12)$$

Les  $\mathcal{P}_{J_i^{e-}}$  projettent sur des états du même type et la troncature a lieu dans l'espace de Hilbert suivant

$$\mathcal{H}_{s \text{ phys}}^- = \bigoplus_{J=n/2(2+s), n \in \mathbb{Z}} \mathcal{H}_{J,J} \quad (5.13)$$

qui est stable par action des  $\chi_-$ . Les poids des états de cet espace de Hilbert sont également donnés par 5.12 et sont donc réels négatifs.

Lors d'une fusion ou d'un échange d'opérateurs  $\chi_-$ , les normalisations  $g$  s'éliminent, tous les signes ont été calculés pour se combiner correctement, et les 6-j redonnent exactement la combinaison linéaire qui définit des opérateurs  $\chi_-$  grâce à la relation 5.7 et à l'orthogonalité des 6-j 4.28. Finalement l'échange et la fusion des  $\chi_-$  ont des expressions très simples :

$$\chi_-^{(J_1)} \chi_-^{(J_2)} = e^{-2i\pi\epsilon(2+s)J_1J_2} \chi_-^{(J_2)} \chi_-^{(J_1)}, \quad (5.14)$$

$$\begin{aligned} \chi_-^{(J_1)} \chi_-^{(J_2)} \mathcal{P}_{J_3^{e-}} &= \sum_{J_{12} < J_1 + J_2} (-1)^{(2+s)2J_3(J_1+J_2-J_{12})} \\ &\sum_{\{\nu\}} \chi_-^{(J_{12}, \{\nu\})} \mathcal{P}_{J_3^{e-}} \langle J_{12}^{e-}, \{\nu_{12}\} | \chi_-^{(J_1)} | J_2^{e-} \rangle. \end{aligned} \quad (5.15)$$

On peut évidemment vérifier que les matrices de fusion et d'échange des opérateurs  $\chi_-$  satisfont aux équations polynomiales, c'est-à-dire que les  $\chi_-$  ont une algèbre cohérente.

Examinons maintenant la monodromie de ces opérateurs autour de 0. Ils sont construits comme combinaisons linéaires d'opérateurs  $V$  qui diagonalisent cette monodromie. Chacun de ces opérateurs  $V$  a cependant en général une monodromie différente et la combinaison linéaire qui définit les  $\chi$  peut ne plus redonner un  $\chi$  après monodromie. D'après l'équation 3.7, la monodromie des opérateurs  $V$  impliqués dans leur définition 5.11 est donnée par le facteur

$$e^{2i\pi\epsilon[\Delta(J_1^{e-}) + \Delta(J_2^{e-}) - \Delta(J_{12}^{e-})]} \quad (5.16)$$

où  $J_{12}^{e-} = J_1^{e-} + J_2^{e-} - p_{1,2}(1 + \pi/h)$ . Si ce facteur diffère selon les valeurs de  $p_{1,2}$ , chaque opérateur de la somme acquiert un facteur différent lors de la monodromie et le résultat n'est plus un  $\chi_-$ . Fort heureusement, ce n'est pas le cas puisqu'on peut vérifier que les poids  $\Delta(J_{12}^{e-})$  pour des valeurs de l'entier  $p_{1,2}$  différentes ne diffèrent que par des entiers qui ne contribuent pas au facteur 5.16. La propriété remarquable est

$$\Delta_{\frac{n}{2(2+s)} + p, \frac{n}{2(2+s)} + p} = \Delta_{\frac{n}{2(2+s)}, \frac{n}{2(2+s)}} + p[n + (p+1)(2+s)] \quad (5.17)$$

où  $p[n + (p + 1)(2 + s)]$  est un entier. Comme annoncé dans la partie 3.2, nous sommes donc précisément dans le cas (exceptionnel) où la matrice de monodromie est dégénérée. Cette propriété est fondamentale et semble caractériser (presque) complètement les charges spéciales, ainsi que les spins fractionnaires. Nous y reviendrons dans la prochaine partie.

On définit de manière similaire des opérateurs  $\chi_+$  de poids 5.4 positifs. Ils sont construits à partir d'opérateurs de la diagonale secondaire de la table de Kac généralisés à des spins continus c'est-à-dire à des spins effectifs

$$J_i^{e+} = -J_i - 1 + (\pi/h)J_i = -1 + J_i(1 - \pi/h). \quad (5.18)$$

On a alors  $\widehat{J}_i^{e+} = J_i + (-J_i - 1)(\pi/h)$ .

Il y a cependant dans ce cas une difficulté supplémentaire. Elle n'est pas directement liée aux spins négatifs ( $-J - 1$  ou  $J$ ) car les 6-j (et leurs équations) sont définis pour des spins continus et en particulier négatifs. Les spins des  $\chi_-$ , par exemple, peuvent très bien être négatifs. La difficulté provient de nombres de charges d'écran négatifs. En effet, la règle T11 pour le vertex 4.16 implique que  $p_{1,2} \equiv J_1 + J_2 - J_{12}$ , le nombre de charges d'écran<sup>10</sup> de type  $\alpha_-$ , soit un entier positif. Mais dans le cas de spins 5.18 i.e.  $(-J_i - 1, J_i)$ , le nombre de charges d'écran de type  $\alpha_-$  est  $\widehat{p}_{1,2} = (-J_1 - 1) + (-J_2 - 1) - (-J_{12} - 1) = -p_{1,2} - 1$  et les deux nombres de charges d'écran ne peuvent pas être simultanément positifs. L'expression du coefficient de fusion 4.22 d'opérateurs de spins  $J_+^{e+}$  contient les 6-j

$$\left\{ \left\{ \begin{matrix} J_1^{e+} & J_2^{e+} \\ J_3^{e+} & J_{123}^{e+} \end{matrix} \middle| \begin{matrix} J_{12}^{e+} \\ J_{23}^{e+} \end{matrix} \right\} \right\} \widehat{\left\{ \left\{ \begin{matrix} \widehat{J}_1^{e+} & \widehat{J}_2^{e+} \\ \widehat{J}_3^{e+} & \widehat{J}_{123}^{e+} \end{matrix} \middle| \begin{matrix} \widehat{J}_{12}^{e+} \\ \widehat{J}_{23}^{e+} \end{matrix} \right\} \right\}} \quad (5.19)$$

et on peut vérifier que le deuxième a des nombres de charges d'écran (c'est-à-dire les entiers dans 4.20) négatifs.

L'algèbre des opérateurs n'a été déterminée que pour des nombres positifs de charges d'écran, de même on ne connaît que des 6-j à nombres positifs de charges d'écran. Comme d'autres auteurs l'ont fait pour la fonction à trois points [43, 44, 20] nous effectuons donc une continuation à des nombres négatifs de charges d'écran, pour les coefficients de fusion et d'échange. Pour la continuation de la fonction à trois points à des nombres entiers négatifs de charges d'écran [44, 20] il avait suffi de définir un produit de  $a$  à  $b$  pour  $b$  inférieur à  $a$ . Il en est de même ici pour les coefficients  $g$  (qui ne sont pas autre chose que les normalisations des fonctions à trois points). En revanche pour les 6-j contenus dans  $F$  et  $B$ , nous avons dû faire intervenir en [P3] une identité non triviale entre fonctions hypergéométriques<sup>11</sup>  ${}_4F_3$  (Eq.5.1 dans [P3]). Elle permet de démontrer que, via cette continuation, les 6-j ont la symétrie  $j \rightarrow -j - 1$  :

$$\left\{ \begin{matrix} -j_1 - 1 & -j_2 - 1 \\ -j_3 - 1 & -j_{123} - 1 \end{matrix} \middle| \begin{matrix} -j_{12} - 1 \\ -j_{23} - 1 \end{matrix} \right\} = \left\{ \begin{matrix} j_1 & j_2 \\ j_3 & j_{123} \end{matrix} \middle| \begin{matrix} j_{12} \\ j_{23} \end{matrix} \right\} \quad (5.20)$$

<sup>10</sup> Nous parlons de nombre de charges d'écran pour employer des termes familiers au plus grand nombre de lecteurs, bien qu'il n'y en ait pas dans la construction opératoire décrite ici. Il s'agit simplement des nombres entiers des règles de sélection 4.16, qui correspondent à des nombres de charges d'écran dans une approche intégrale.

<sup>11</sup> Elle fait intervenir des réarrangements de termes non triviaux et n'était pas connue, semble-t-il, dans le cas q-déformé. J.-L. Gervais avait déjà exprimé en [18] la symétrie des Clebsch-Gordan sous  $J \rightarrow -J - 1$  grâce à une identité entre fonctions hypergéométriques  ${}_3F_2$ . Elle n'était connue que dans le cas non-déformé. L'identité sur les fonctions  ${}_4F_3$  q-déformées permet d'obtenir celle sur les fonction  ${}_3F_2$  par limite.



qui vaut pour des spins continus quelconques. Ceci se traduit sur les 6-j effectifs par

$$\left\{ \left\{ \begin{matrix} J_1^e & J_2^e \\ J_3^e & J_{123}^e \end{matrix} \middle| \begin{matrix} J_{12}^e \\ J_{23}^e \end{matrix} \right\} \right\} = \left\{ \left\{ \begin{matrix} -J_1^e - (1+\pi/\hbar) & -J_2^e - (1+\pi/\hbar) \\ -J_3^e - (1+\pi/\hbar) & -J_{123}^e - (1+\pi/\hbar) \end{matrix} \middle| \begin{matrix} -J_{12}^e - (1+\pi/\hbar) \\ -J_{23}^e - (1+\pi/\hbar) \end{matrix} \right\} \right\}. \quad (5.21)$$

et permet de remplacer le deuxième 6-j de 5.19 par un 6-j avec nombre positif de charges d'écran.

Nous déterminons ensuite l'équivalent de la propriété 5.7 qui est dans ce cas

$$\begin{aligned} & \left\{ \left\{ \begin{matrix} -\widehat{J}_1^{e+} - 1 - \pi/\widehat{\hbar} & -\widehat{J}_2^{e+} - 1 - \pi/\widehat{\hbar} \\ -\widehat{J}_3^{e+} - 1 - \pi/\widehat{\hbar} & -\widehat{J}_{123}^{e+} - 1 - \pi/\widehat{\hbar} \end{matrix} \middle| \begin{matrix} -\widehat{J}_{12}^{e+} - 1 - \pi/\widehat{\hbar} \\ -\widehat{J}_{23}^{e+} - 1 - \pi/\widehat{\hbar} \end{matrix} \right\} \right\} \\ & (-1)^{(2-s)\phi(J_1, J_2, J_3, J_{12}, J_{23}, J_{123})} \left\{ \left\{ \begin{matrix} -J_1^{e+} - 1 - \pi/\widehat{\hbar} & -J_2^{e+} - 1 - \pi/\widehat{\hbar} \\ -J_3^{e+} - 1 - \pi/\widehat{\hbar} & -J_{123}^{e+} - 1 - \pi/\widehat{\hbar} \end{matrix} \middle| \begin{matrix} -J_{12}^{e+} - 1 - \pi/\widehat{\hbar} \\ -J_{23}^{e+} - 1 - \pi/\widehat{\hbar} \end{matrix} \right\} \right\} \end{aligned} \quad (5.22)$$

qui peut cette fois être démontrée pour

$$J_i = \frac{n_i}{2(2-s)} \quad , \quad n_i \in Z \quad (5.23)$$

et toujours  $C = 1 + 6(s + 2)$ ,  $s = -1, 0, 1$ . On voit que 5.21 et 5.23 permettent de ramener les deux 6-j 5.19 à deux 6-j du même type (même paramètre de déformation et mêmes spins, sauf  $J_{12}^e$ ).

Une fois ceci prouvé, le cas des  $\chi_+$  est semblable à celui des  $\chi_-$ . On les définit par

$$\chi_+^{(J_1)} \mathcal{P}_{J_2^{e+}} \equiv \sum_{J_{12}, p_{1,2} \equiv J_1 + J_2 - J_{12} \in \mathcal{N}} (-1)^{(2-s)(2J_2 p_{1,2} + \frac{p_{1,2}(p_{1,2}+1)}{2})} g_{J_1^{e+} J_2^{e+}}^{J_{12}^{e+}} \mathcal{P}_{J_{12}^{e+}} V^{(J_1^{e+})} \mathcal{P}_{J_2^{e+}} \quad (5.24)$$

pour des spins fractionnaires donnés par 5.23. L'espace de Hilbert correspondant est donc

$$\mathcal{H}_{s \text{ phys}}^+ = \bigoplus_{J=n/2(2-s), n \in Z} \mathcal{H}_{-J-1, J}. \quad (5.25)$$

pour des poids

$$\Delta(\chi_+^{(J)}) = \Delta_{-J-1, J} = 1 + (2-s)J(J+1). \quad (5.26)$$

On obtient finalement l'expression de leur échange et de leur fusion qui sont donnés par

$$\chi_+^{(J_1)} \chi_+^{(J_2)} = e^{2i\pi\epsilon(2-s)J_1 J_2} \chi_+^{(J_2)} \chi_+^{(J_1)}, \quad (5.27)$$

$$\begin{aligned} \chi_+^{(J_1)} \chi_+^{(J_2)} \mathcal{P}_{J_3^{e+}} &= \sum_{J_{12} \leq J_1 + J_2} (-1)^{(2-s)2J_3(J_1 + J_2 - J_{12})} \\ &\sum_{\{\nu\}} \chi_+^{(J_{12}, \{\nu\})} \mathcal{P}_{J_3^{e+}} < J_{12}^{e+}, \{\nu\} | \chi_+^{(J_1)} | J_2^{e+} >. \end{aligned} \quad (5.28)$$

De la même manière que les  $\chi_-$ , ces opérateurs sont conservés par monodromie autour de 0 grâce à l'identité

$$\Delta_{-\frac{n}{2(2+s)} - p - 1, \frac{n}{2(2+s)} + p} = \Delta_{-\frac{n}{2(2+s)} - 1, \frac{n}{2(2+s)}} + p[n + (p+1)(2-s)]. \quad (5.29)$$

Nous avons donc construit deux algèbres d'opérateurs de poids réels, celle des  $\chi_-$  définis en 5.11, d'espace de Hilbert 5.13, de poids négatifs 5.3, et celle des  $\chi_+$  définis en 5.24, d'espace de Hilbert 5.25, de poids 5.4. Elles sont stables par fusion et échange indépendamment l'une de l'autre.

## 5.2 Qu'est-ce qui caractérise les dimensions spéciales ?

Nous montrons en premier lieu dans cette partie que la situation où la matrice de monodromie est dégénérée est un cas très favorable à une possible troncature de l'algèbre d'opérateurs. Nous montrons ensuite que les dimensions spéciales  $C = 7, 13, 19$  et les spins fractionnaires  $J_i = k_i/2(2 + s)$  sont précisément les cas où la matrice de monodromie est dégénérée.

Nous ne discutons que le cas des opérateurs  $\chi_-$  et des spins fractionnaires 5.10, le cas des opérateurs  $\chi_+$  et des spins fractionnaires 5.23 pouvant être traité de manière similaire.

Pour alléger la discussion, introduisons les opérateurs renormés

$$W_{J_2^e - J_{12}^e}^{(J_1^e)} \mathcal{P}_{J_2^e} = (-1)^{(2+s)(2J_2 p_{1,2} + \frac{p_{1,2}(p_{1,2}+1)}{2})} g_{J_1^e J_2^e}^{J_{12}^e} V_{J_2^e - J_{12}^e}^{(J_1^e)} \mathcal{P}_{J_2^e} \quad (5.30)$$

en fonction desquels les opérateurs  $\chi_-$  s'écrivent simplement

$$\chi_-^{(J_1)} \mathcal{P}_{J_2^{e-}} \equiv \sum_{J_{12} / p_{1,2} \equiv J_1 + J_2 + J_{12} \in \mathcal{N}} W_{J_2^{e-} - J_{12}^{e-}}^{(J_1^{e-})} \mathcal{P}_{J_2^{e-}}. \quad (5.31)$$

Notons ici

$$\mathcal{F}_{J_{23}^e}^{J_{123}^{e-} J_1^{e-} J_2^{e-} J_3^{e-}} = \begin{array}{c} J_1^{e-} \quad J_2^{e-} \\ | \quad | \\ \bullet \quad \bullet \\ \hline J_{123}^e \quad J_{23}^e \quad J_3^{e-} \end{array} \quad (5.32)$$

les blocs conformes des opérateurs  $W^{J^{e-}}$ . Vu la nature des opérateurs  $W$ , le spin intermédiaire effectif  $J_{23}^e$  n'est pas contraint à être du type  $J^{e-}$  (Eq.5.5). Il peut prendre les valeurs  $J_{23}^e = J_2^{e-} + J_3^{e-} - n - \hat{n}\pi/h$  pour des entiers  $n$  et  $\hat{n}$  indépendants entre 0 et  $p \equiv J_1 + J_2 + J_3 - J_{123}$ . L'espace de ces blocs conformes est donc de dimension  $(p+1)^2$ .

Au contraire, l'espace des blocs conformes des  $\chi_-$  est de dimension 1 et leur expression 5.31 montre que leur unique bloc conforme noté  $\mathcal{F}_{(\chi_-)}$  s'exprime en termes de ceux des opérateurs  $W$  par

$$\mathcal{F}_{(\chi_-)}^{J_{123}^{e-} J_1^{e-} J_2^{e-} J_3^{e-}} = \sum_{J_{23}^{e-}} \mathcal{F}_{J_{23}^{e-}}^{J_{123}^{e-} J_1^{e-} J_2^{e-} J_3^{e-}} \quad (5.33)$$

pour  $J_{23}^{e-} = J_2^{e-} + J_3^{e-} - n(1 + \pi/h)$ ,  $n = 0 \dots p$ . Nous considérons maintenant les amplitudes physiques nous limitant pour simplifier à celles qui ont des moments gauches et droits identiques sur leur pattes externes. Ceci n'est cependant pas nécessaire puisque cette contrainte n'est pas imposée sur les pattes internes (voir par exemple la partie suivante). Nous verrons dans la prochaine partie que l'on peut obtenir des opérateurs locaux par simple produit d'opérateurs des deux chiralités ( $\chi_- \bar{\chi}_-$ ). Les amplitudes physiques s'écrivent alors tout simplement

$$A_{\text{Phys}}^{J_{123}^{e-} J_1^{e-} J_2^{e-} J_3^{e-}} = \left| \mathcal{F}_{(\chi_-)}^{J_{123}^{e-} J_1^{e-} J_2^{e-} J_3^{e-}} \right|^2 \quad (5.34)$$

où la somme sur les blocs conformes n'apparaît pas puisqu'il y en a un seul. Nous avons de plus supposé en 5.34 que les nombres quantiques sont choisis de manière à

ce que  $\overline{\mathcal{F}} = \mathcal{F}^*$ , ce qui impose que les nombres gauches et droits soient symétriques sous l'échange de  $\alpha_-$  et  $\alpha_+$  qui sont complexes conjugués (voir Eqs.5.56 et 5.58 dans la prochaine partie). Les propriétés de monodromie (autour de 0) des  $\chi_-$ , leur échange et leur fusion, montre que cette amplitude physique est locale.

Faisons le lien avec la discussion de la partie 3.2 (page 35 et suivantes) sur les théories diagonales et les théories à matrice de monodromie dégénérée (ou non diagonales). Il est facile de voir que l'amplitude diagonale

$$\sum_{J_{23}^e} \left| \mathcal{F}_{J_{23}^e}^{J_{123}^{e-} J_1^{e-} J_2^{e-} J_3^{e-}} \right|^2 \quad (5.35)$$

est locale. Les opérateurs  $W$  ont en effet été renormés (par les coefficients  $g$ ) de manière à ce que leurs matrices d'échange et de fusion soient données par des 6- $j$  (et une simple phase) et soient donc des matrices unitaires ce qui garantit la localité de 5.35 pour des coefficients diagonaux  $d_{J_{23}^e} = 1$  (cf Eq.3.15), donc omis dans 5.35. Cette amplitude, qui est celle d'exponentielles de Liouville du couplage faible (Eq.2.49), bien que ne comportant que des pattes externes de poids réels, contient des états intermédiaires ( $J_{23}^e$ ) de poids complexes, qui peuvent également apparaître sous forme d'opérateurs de poids complexes par fusion. Elle n'est donc pas acceptable physiquement.

Ce que nous avons donc fait dans la partie précédente en termes d'opérateurs, consiste en termes de corrélateurs, à chercher à écrire une amplitude physique locale, éventuellement non diagonale (cf Eq.3.12)

$$A_{\text{Phys}}^{J_{123}^{e-} J_1^{e-} J_2^{e-} J_3^{e-}} = \sum_{J_{23}^e, \overline{J}_{23}^e} \overline{\mathcal{F}}_{\overline{J}_{23}^e}^{J_{123}^{e-} J_1^{e-} J_2^{e-} J_3^{e-}} X_{\overline{J}_{23}^e, J_{23}^e} \mathcal{F}_{J_{23}^e}^{J_{123}^{e-} J_1^{e-} J_2^{e-} J_3^{e-}} \quad (5.36)$$

qui soit en fait restreinte à des poids  $\Delta_{J_{23}^e}$  et  $\Delta_{\overline{J}_{23}^e}$  réels. Les seuls coefficients non nuls de la matrice  $X$  doivent donc être ceux des spins  $J_{23}^e$  et  $\overline{J}_{23}^e$  de type  $J^{e-}$  (Eq.5.5). On peut donc l'écrire

$$A_{\text{Phys}}^{J_{123}^{e-} J_1^{e-} J_2^{e-} J_3^{e-}} = \sum_{J_{23}^{e-}, \overline{J}_{23}^{e-}} \overline{\mathcal{F}}_{\overline{J}_{23}^{e-}}^{J_{123}^{e-} J_1^{e-} J_2^{e-} J_3^{e-}} X_{\overline{J}_{23}^{e-}, J_{23}^{e-}} \mathcal{F}_{J_{23}^{e-}}^{J_{123}^{e-} J_1^{e-} J_2^{e-} J_3^{e-}} \quad (5.37)$$

Autrement dit, la matrice  $X$  doit avoir beaucoup de coefficients nuls et ne contenir qu'une sous-matrice non nulle, celle de l'espace des blocs conformes de poids réels ( $J_{23}^e$  de type  $J^{e-}$  dans 5.32) dans lui-même. Cet espace est de dimension  $(p+1)$ , alors que l'espace total des blocs conformes est de dimension  $(p+1)^2$ . Le rang maximal de  $X$  est donc  $p+1$ , mais on voit par exemple dans notre cas que la matrice  $X$  de 5.34 est de rang 1. Ceci est dû au fait que comme nous l'avons dit plus haut nous considérons des opérateurs locaux qui sont de simples produits d'opérateurs des deux chiralités. De manière plus générale, si cette matrice est de rang  $k$ , on voit en la diagonalisant dans une base orthonormée qu'elle projette sur un sous-espace  $E^0$  de dimension  $k$  de l'espace des blocs conformes de poids réel (i.e.  $\text{Im}(X)=E^0$  et  $\text{Ker}(X)=(E^0)^\perp$ ).

La localité de l'amplitude physique 5.36, 5.37 impose ensuite de nombreuses conditions à cette matrice  $X$ . Nous allons les discuter de manière générale, mais nous donnons d'abord la solution obtenue dans la partie précédente : la matrice

$X_{\overline{\mathcal{J}}_{23}^{e-}, \mathcal{J}_{23}^{e-}}$  dont tous les éléments sont des 1

$$X_{\overline{\mathcal{J}}_{23}^{e-}, \mathcal{J}_{23}^{e-}} = \begin{bmatrix} 1 & 1 & \dots & 1 \\ 1 & 1 & \dots & 1 \\ \dots & \dots & \dots & \dots \\ 1 & 1 & \dots & 1 \end{bmatrix} \quad (5.38)$$

donne une amplitude physique 5.37 locale<sup>12</sup>. Comme nous l'avons signalé dans la discussion générale de la partie 3.2, la matrice est hermitienne (pour que l'amplitude 5.37 soit réelle) et donc diagonalisable. C'est bien le cas ici. La matrice  $X$  (5.38) est de rang 1 et comporte donc une seule valeur propre non nulle. Le vecteur propre correspondant est évidemment le bloc conforme 5.33 des  $\chi_-$ . On peut alors compléter ce vecteur propre en une base orthogonale arbitraire dans laquelle tous les éléments de la matrice  $X$  sont nuls sauf un, ce qui donne l'amplitude 5.34.

Nous n'avons fait ici que réécrire dans le langage des blocs conformes, plus familier à un certain nombre de lecteurs, les résultats de la partie précédente exprimés dans un langage opératoire. Mais ceci peut néanmoins apporter des résultats très intéressants.

Imaginons donc que nous ne connaissons pas la solution précédente et que nous essayons de déterminer une matrice  $X$  restreinte à des poids réels telle que l'amplitude 5.37 soit locale. C'est ce qu'on fait Dotsenko et Fateev en ref.[5] dans le cas du couplage faible. Nous avons ici la contrainte supplémentaire que la matrice  $X$  doit éliminer les blocs conformes 5.32 de poids  $\Delta_{J_{23}^e}$  complexes.

Comme nous l'avons dit, ceci signifie que la matrice  $X$  projette<sup>13</sup> sur un sous-espace  $E^0$  de l'espace des états de poids réels. L'amplitude 5.37 est exprimée en termes des blocs 5.32 qui diagonalisent la monodromie (de  $W^{(J_2^{e-})}$ ) autour de 0. Nous avons vu dans la partie 3.2 que l'invariance de cette amplitude sous la monodromie autour de 0 exigeait que la matrice  $X$  commute avec la matrice de monodromie (Eq.3.14 et suite) c'est-à-dire qu'elle soit diagonale par bloc, chaque bloc correspondant à un espace propre de la monodromie. L'espace  $E^0$  sur lequel la matrice  $X$  effectue une projection est donc une somme directe de sous-espaces des espaces propres de la matrice de monodromie.

Examinons ensuite la monodromie autour de l'infini. La matrice de passage à la base qui diagonalise cette monodromie est la matrice d'échange  $B$ . Effectuant ce changement de base, le corrélateur physique 5.37 s'écrit

$$A_{\text{Phys}}^{J_{123}^{e-} J_1^{e-} J_2^{e-} J_3^{e-}} = \sum_{\overline{\mathcal{J}}_{13}^e, \mathcal{J}_{23}^{e-}, \overline{\mathcal{J}}_{23}^{e-}, \mathcal{J}_{13}^e} \overline{\mathcal{F}}_{\overline{\mathcal{J}}_{13}^e}^{J_{123}^{e-} J_2^{e-} J_1^{e-} J_3^{e-}} B_{\overline{\mathcal{J}}_{13}^e, \overline{\mathcal{J}}_{23}^{e-}}^\dagger X_{\overline{\mathcal{J}}_{23}^{e-}, \mathcal{J}_{23}^{e-}} B_{\mathcal{J}_{23}^{e-}, \mathcal{J}_{13}^e} \mathcal{F}_{\mathcal{J}_{13}^e}^{J_{123}^{e-} J_2^{e-} J_1^{e-} J_3^{e-}} \quad (5.39)$$

<sup>12</sup> Attention il s'agit de la matrice  $X_{\overline{\mathcal{J}}_{23}^{e-}, \mathcal{J}_{23}^{e-}}$  de l'équation 5.37 réduite à des spins de type  $J^{e-}$ , c'est-à-dire à des poids réels. Les éléments de la matrice totale  $X_{\overline{\mathcal{J}}_{23}^e, \mathcal{J}_{23}^e}$  de l'équation 5.36 dont un spin  $\overline{\mathcal{J}}_{23}^e$  ou  $\mathcal{J}_{23}^e$  n'est pas de type  $J^{e-}$  sont nuls, comme nous l'avons dit précédemment.

<sup>13</sup> La matrice  $X$  n'est pas à véritablement parler un projecteur : on n'a pas  $X^2 = X$ , mais simplement la matrice  $X$  a des coefficients nuls en dehors du bloc correspondant aux transformations de  $E^0$  dans  $E^0$ , c'est-à-dire  $\text{Im}(X)=E^0$  et  $\text{Ker}(X)=(E^0)^\perp$ . En termes de valeurs propres, celles de l'orthogonal de  $E^0$  sont bien nulles, mais celle de  $E^0$  peuvent être différentes de 1.

où nous n'avons pas écrit tous les indices de la matrice  $B$ . L'expression dans cette base est donc identique à 5.36 avec une nouvelle matrice

$$\widetilde{X}_{\mathcal{J}_{13}^e, \mathcal{J}_{13}^e} = \sum_{\mathcal{J}_{23}^{e-}, \overline{\mathcal{J}}_{23}^{e-}} B_{\mathcal{J}_{13}^e, \overline{\mathcal{J}}_{23}^{e-}}^\dagger X_{\overline{\mathcal{J}}_{23}^{e-}, \mathcal{J}_{23}^{e-}} B_{\mathcal{J}_{23}^{e-}, \mathcal{J}_{13}^e} \quad (5.40)$$

qui n'est pas restreinte aux poids réels, car évidemment l'échange a fait réapparaître les poids complexes. La matrice  $X$  projette sur l'espace  $E^0$ , la matrice  $\widetilde{X}$  projette donc sur l'espace  $E^\infty$  transformé par la matrice  $B$ . Exigeant que les états de poids complexes se découpent de la théorie, l'espace  $E^\infty$ , transformé de  $E^0$  par  $B$ , doit comme  $E^0$  être un sous-espace de l'espace des états de poids réels. La localité du corrélateur physique pour la monodromie autour de l'infini exige ensuite, comme pour celle autour de 0, que la matrice  $\widetilde{X}$  soit diagonale par blocs, chaque bloc correspondant à un espace propre de la monodromie. Et  $E^\infty$  doit donc, comme  $E^0$ , être une somme directe de sous-espaces des espaces propres de la matrice de monodromie.

On peut appliquer le même argument à la monodromie autour de 1, en effectuant le changement de base de blocs conformes par la matrice de fusion, mais ces trois monodromies sont liées et la localité pour les deux premières (autour de 0 et l'infini) assure la localité pour la troisième.

Ce que nous venons de voir engendre beaucoup de contraintes qui semblent difficiles à toutes satisfaire simultanément pour obtenir une matrice  $X$  admissible. Mais ces contraintes sont loin d'être aussi importantes selon la dégénérescence de la matrice de monodromie. Examinons les deux cas extrêmes.

S'il n'y a aucune dégénérescence, c'est-à-dire que toutes les valeurs propres de la matrice de monodromie sont différentes, ces contraintes laissent peu de libertés. En effet dans ce cas, la matrice  $X$  doit être purement diagonale et on a un nombre fini de choix pour l'espace  $E^0$  sur lequel elle projette : si on choisit  $E^0$  de dimension  $k$ , on a simplement un nombre fini de manières (exactement  $\binom{p+1}{k}$ ) de choisir  $E^0$  comme somme directe de  $k$  espaces propres de la monodromie (dans l'espace des blocs de poids réels de dimension  $(p+1)$ ). L'échange doit donner pour l'autre base de blocs conformes une matrice  $\widetilde{X}$  et un espace  $E^\infty$  soumis aux mêmes contraintes.

Dans le cas inverse, où la matrice de monodromie est complètement dégénérée c'est-à-dire proportionnelle à l'identité (tout au moins pour les  $(p+1)$  blocs de poids réels qui nous intéressent), nous avons en revanche beaucoup plus de libertés. La matrice  $X$  peut être quelconque et le choix de l'espace  $E^0$  sur lequel elle projette peut être n'importe quel sous-espace de l'espace des blocs de poids réels (de dimension  $(p+1)$ ). Pour un espace  $E^0$  de dimension  $k$ , ceci laisse donc le choix de  $k(p+1-k)$  paramètres réels, alors que précédemment, nous n'avions qu'un nombre fini de choix pour  $E^0$  ! Les libertés sont les mêmes pour la matrice  $\widetilde{X}$  et l'espace  $E^\infty$  transformés. Nous sommes donc dans ce cas dans des circonstances beaucoup plus favorables à l'existence d'une matrice  $X$  donnant des corrélateurs physiques 5.37 locaux. La seule contrainte qui subsiste effectivement dans ce cas est que l'espace  $E^\infty$  doit être un sous-espace de l'espace des blocs conformes de poids réels. Cette condition assure le découplage des opérateurs et des états de poids complexes, alors que la localité du corrélateur physique est assurée automatiquement par la dégénérescence de la matrice de monodromie.

Cet argument demeure heuristique. Bien que le deuxième cas (monodromie dégénérée) semble infiniment plus favorable, il ne prouve certes pas qu'il soit pos-

sible de déterminer une matrice  $X$  qui rende local le corrélateur 5.37. Mais nous avons justement prouvé dans la partie précédente que pour les dimensions spéciales  $C = 7, 13, 19$  et pour les spins fractionnaires (5.10, 5.23) où nous avons une matrice de monodromie dégénérée (5.17, 5.17), il était possible d'obtenir une troncature de l'algèbre à des poids réels et des fonctions de corrélation physiques locales. Ceci confirme donc le bien-fondé de l'argument développé ici.

Il paraît alors légitime de chercher à déterminer tous les cas donnant lieu à une matrice de monodromie dégénérée. C'est ce que nous allons faire maintenant. Nous montrerons ainsi que le seul cas (ou presque) qui donne lieu à une matrice de monodromie complètement dégénérée pour les blocs conformes de poids réels est celui des dimensions spéciales  $C = 7, 13, 19$  pour les blocs conformes dont les spins sont les spins fractionnaires 5.10 ou 5.23.

Les blocs conformes du type  $\mathcal{F}_p^{ijkl}(z_2, z_3)$  (Eq.3.10) ont une monodromie diagonale (de  $z_3$ ) autour de 0 avec valeurs propres

$$e^{2i\pi\epsilon(\Delta_i + \Delta_j - \Delta_p)} \quad (5.41)$$

et celle-ci sera donc dégénérée (indépendante de  $p$ ) si les poids  $\Delta_p$  pour les divers blocs conformes ne diffèrent que d'un entier. Examinons donc dans quel cas ceci peut se produire.

Dans le but d'utiliser des notations familières au plus grand nombre, désignons comme BPZ un opérateur par son pseudo-moment<sup>14</sup>  $\alpha$  ce qui donne<sup>15</sup>

$$\Delta(\alpha) = \frac{C-1}{24} + \frac{1}{2}\alpha^2. \quad (5.42)$$

On retrouve les poids de Kac  $\Delta(n, m)$  1.31 pour les valeurs discrètes  $\alpha = \alpha_+n/2 + \alpha_-m/2$ . Les blocs conformes 3.10 que nous redonnons

$$\mathcal{F}_p^{ijkl}(z_2, z_3) \equiv \langle i | \phi_{ip}^j(z_2) \phi_{pl}^k(z_3) | l \rangle = \underset{\text{p}}{\overset{\text{j}}{\text{---}} \bigg| \overset{\text{k}}{\text{---}} \bigg| \text{l}} \quad (5.43)$$

sont étiquetés par leur état intermédiaire désigné génériquement par  $p$ . Les règles de sélection montrent que cet état  $p$  aura un moment

$$\alpha_p = \alpha - n\alpha_+ - m\alpha_- \quad (5.44)$$

pour des entiers  $n$  et  $m$  (nombre de charges d'écran pour l'opérateur  $\phi^j(z_3)$ ). Dans 5.44,  $\alpha$  vaut  $\alpha_j + \alpha_k - (\alpha_+ + \alpha_-)$  où  $\alpha_j$  et  $\alpha_k$  désignent les moments des opérateurs  $\phi^j$  et  $\phi^k$ . On considère des blocs conformes entre opérateurs de poids réels de moments  $\alpha_j$  et  $\alpha_k$  réels. Le moment  $\alpha$  est alors réel. On a donc des blocs conformes de poids  $\Delta(\alpha_p)$  réels pour  $n = m$  dans 5.44. La matrice de monodromie sur ces blocs conformes de poids réels sera donc complètement dégénérée si

$$\text{pour tout entier } n, \quad \Delta(\alpha - n\alpha_+ - n\alpha_-) - \Delta(\alpha) \quad \text{est un entier.} \quad (5.45)$$

<sup>14</sup> La relation avec les notations employées ailleurs dans cette thèse est  $\alpha = \alpha_- \varpi/2 = \alpha_- J^e + (\alpha_- + \alpha_+)/2$ .

<sup>15</sup> La notation  $\Delta(\alpha)$  pourrait amener une confusion avec la notation  $\delta(\varpi)$  en Eq.2.38 par exemple. Il n'en sera rien puisque nous n'utiliserons pas la notation  $\Delta(\alpha)$  en dehors de cette partie.

Utilisant l'expression 1.32 de  $\alpha_{\pm}$  en fonction de  $C$ , ceci équivaut à

$$n\sqrt{\frac{C-1}{3}} \left( \frac{n}{2}\sqrt{\frac{C-1}{3}} + \alpha \right) \text{ est un entier.} \quad (5.46)$$

Ceci est évidemment vrai pour  $n = 0$  et sera donc vrai pour tout  $n$  si la différence entre deux de ces entiers successifs (obtenus pour  $n$  et  $n + 1$ )

$$\sqrt{\frac{C-1}{3}} \left( \left(n + \frac{1}{2}\right)\sqrt{\frac{C-1}{3}} + \alpha \right) \text{ est un entier.} \quad (5.47)$$

Paramétrisant comme précédemment la charge centrale  $C = 1 + 6(2 + s)$  par le réel  $s$ , ceci est finalement vrai pour tout  $n$  si

$$\frac{C-1}{3} = 2(2+s) \text{ est un entier} \quad (5.48)$$

et

$$\alpha = (\alpha_- + \alpha_+) \left( \frac{k}{2(2+s)} + \frac{1}{2} \right) \quad (5.49)$$

pour un entier  $k$ .

On obtient donc à très peu de choses près les conditions de la partie précédente : 5.48 force  $s$  à être un demi-entier, ce qui constitue une généralisation des conditions précédentes qui exigeaient que  $s$  soit entier, et la condition 5.49 correspond exactement aux conditions précédentes  $J^e = J^{e-} = J + (\pi/h)J$  (Eq.5.5) pour des spins fractionnaires  $J = k/2(2+s)$  (Eq.5.10).

Les dimensions spéciales  $C = 7, 13, 19$  et les spins fractionnaires  $J_i = k_i/2(2+s)$ , pour lesquels nous avons pu effectuer une troncature éliminant les poids complexes, apparaissent donc comme (presque) les seuls cas où les blocs conformes de poids réels ont une monodromie dégénérée. Ceci ne paraît pas très étonnant suite à l'argument développé précédemment qui montrait que cette dégénérescence donnait beaucoup plus de liberté pour une telle troncature.

La condition 5.48 constitue quand même un généralisation à  $s$  demi-entier donc à  $C = 4, 10, 16, 22$  de la condition  $s$  entier. On peut donc se demander s'il ne serait pas possible d'étendre la troncature précédente à ces dimension, ou à défaut de comprendre pourquoi c'est impossible.

D'un point de vue "technique", c'est la propriété 5.7 des 6-j qui a permis la troncature. Elle peut elle-même être obtenue à partir des propriétés 6.8 à 6.10 dans [P3] des nombres  $q$ -déformés. Grosso modo, ces propriétés permettent de relier par un simple signe les quantités<sup>16</sup>  $2J = k/(2+s)$  déformées par  $h$  aux mêmes quantités déformées par  $\hat{h}$ . Mais pour  $s$  demi-entier ces quantités  $k/(2+s)$  n'incluent pas les entiers, alors que des entiers  $q$ -déformés interviennent dans la définition des 6-j. Ceci rend donc impossible la démonstration de 5.7. Peut-être serait-il possible de passer outre cette difficulté technique en factorisant les entiers dans les 6-j, mais cela ne paraît pas évident.

D'un point de vue plus physique, pour les dimensions 4, 10, 16, 22 obtenues pour  $C = 1 + 6(2 + s)$  et  $s$  demi-entier, les spins fractionnaires  $J_i = k_i/2(2 + s)$  sont respectivement des entiers, des tiers d'entiers, des cinquièmes d'entiers et des septièmes

<sup>16</sup> $J$  est un spin fractionnaire 5.10 et  $k$  est un entier

d'entiers. Ils ne contiennent donc pas les demi-entiers, contrairement aux dimensions 7, 13, 19 ( $s$  entier). Ce n'est pas différent de ce que nous remarquons précédemment : les quantités  $2J = k/(2 + s)$  n'incluent pas les entiers dans ce cas. Mais physiquement, ceci signifie que le spectre n'inclut pas toutes les familles dégénérées possibles, en particulier la plus simple de poids réels : celle de spins  $(1/2, 1/2)$ , ou  $(2, 2)$  dans la classification de BPZ. Il n'est donc pas impossible que la même troncature soit réalisable dans ces dimensions. Elle pourrait en effet être masquée par une mauvaise normalisation des 6- $j$  faisant apparaître des entiers artificiellement, et elle n'a de toute façon pas pu être mise en évidence dans l'approche initiale plus élémentaire [41], puisque cette troncature avait alors été recherchée sur les spins  $(1/2, 1/2)$ .

## 5.3 Modèles topologiques fortement couplés

La troncature précédente permet de construire un modèle de véritable corde non critique, constitué dans le cas bosonique envisagé ici de 19, 13 ou 7 degrés de liberté<sup>17</sup> qui peuvent donc être habillés par les opérateurs précédents, annulant ainsi la charge centrale totale. Un opérateur de vertex habillé par un opérateur  $\chi_{\pm}$  de poids  $\Delta$  engendre des particules de masses carrées  $2(\Delta - 1 + N)$ , où  $N$  est le nombre d'excitations. Ceci exclut donc un habillage par les opérateurs  $\chi_{-}$  de poids négatifs qui engendreraient un nombre infini de tachyons. Le calcul des amplitudes d'une telle théorie semble cependant pour le moment hors de portée.

### 5.3.1 Le modèle - Exposants critiques

C'est ce qui nous a amenés à l'idée d'un modèle simplifié, comportant uniquement deux degrés de liberté, constitués de deux copies des opérateurs  $\chi_{\pm}$  précédents. C'est la même chose que ce qui a déjà été fait pour le couplage faible [44, 20], (ou les modèles minimaux couplés à la gravité pour les valeurs de la charge centrale correspondantes).

En effet, les dimensions spéciales  $C = 1 + 6(2 + s) = 7, 13, 19$  mises en évidence dans la partie précédente sont leurs propres complémentaires à 26. Il est donc possible de construire un modèle invariant conforme à partir de deux degrés de liberté, l'un donnant une charge centrale  $C = 1 + 6(2 + s)$  et l'autre  $C' = 1 + 6(2 + s')$ , si  $s' = -s$ . Tous les opérateurs et les quantités relatives au degré de liberté de charge centrale  $C'$  seront également dénotés par des primes. On remarque ensuite que les poids des opérateurs  $\chi'_{-}$  et  $\chi_{+}$  permettent de construire des opérateurs de poids 1 :

$$\Delta(\chi_{+}^{(J)}) + \Delta(\chi'_{-}^{(J)}) = 1 + (2 + s)J(J + 1) - (2 - s')J(J + 1) = 1 \quad (5.50)$$

où  $\chi'_{-}$  désigne un opérateur  $\chi_{-}$  introduit précédemment en 5.11 mais construit à partir de l'autre degré de liberté (de charge centrale  $C'$ ).

Quelle est l'interprétation d'un tel modèle ? Comme on l'a vu sur le cas d'une véritable corde en introduction à cette partie, les opérateurs  $\chi_{+}$  sont les opérateurs de Liouville qui doivent habiller la matière. Le degré de liberté de charge centrale  $C = 1 + 6(2 + s)$  pour lequel on inclut des opérateurs  $\chi_{+}$  dans la théorie, sera donc

<sup>17</sup> Evoluant donc un espace-temps de dimension 19, 13 ou 7, à moins que certains de ces degrés de liberté ne soient compactifiés.



ici aussi interprété comme la gravité. L'autre degré de liberté, de charge centrale  $C' = 1 + 6(2 + s')$  pour des opérateurs  $\chi'_-$  est un degré de liberté de matière et nous notons sa charge centrale  $c = C' = 26 - C$ , conformément à la convention générale.

C'est la même chose que ce qui a été fait en refs.[44, 20] dans le régime de couplage faible. Une copie du champ local de Liouville représente la matière alors qu'une deuxième copie constitue la gravité et habille la première. En effet, bien que tous les opérateurs  $V$  et  $\chi$  aient été construits à partir de solutions de la théorie de Liouville, ce n'en sont pas moins des champs conformes qui peuvent aussi être utilisés comme des champs de matière. A la différence d'une véritable corde qui aurait dans le cas bosonique 19, 13 ou 7 degrés de liberté, il n'y en a ici qu'un seul. Il contribue à lui tout seul pour 19, 13 ou 7 à la charge centrale<sup>18</sup>. La cohomologie BRST supprime ensuite deux degrés de liberté et n'en laisse donc plus aucun dans ce cas. Le modèle doit alors être topologique. C'est ce qui nous permettra dans la sous-partie suivante de le décrire par une action effective sans degrés de liberté transverses. Les seuls degrés de liberté pris en compte seront les modes-zéro.

Les constructions pour la matière et la gravité ne sont donc pas très différentes. Pour avoir des notations également symétriques, mais aussi plus proches des notations les plus courantes, nous introduisons les charges de background

$$Q_L = \sqrt{(C-1)/3} \quad \text{et} \quad Q_M = \sqrt{(c-1)/3} = \sqrt{(25-C)/3} \quad (5.51)$$

symétriquement pour la matière et la gravité. Les charges d'écran pour la gravité peuvent alors s'écrire

$$\alpha_{\pm} = Q_L/2 \pm iQ_M/2. \quad (5.52)$$

Les paramètres de déformation  $h$  et  $\hat{h}$  sont reliés à  $\alpha_{\pm}$  par

$$h/\pi = \alpha_-^2/2 = \alpha_-/\alpha_+ \quad \text{et} \quad \hat{h}/\pi = \alpha_+^2/2 = \alpha_+/\alpha_-. \quad (5.53)$$

Les charges d'écran pour le degré de liberté qui représente la matière sont désignées par des primes et s'écrivent

$$-\alpha'_{\pm} = Q_M/2 \pm iQ_L/2. \quad (5.54)$$

Elles sont reliées à celles de la gravité par

$$\alpha'_{\pm} = \mp i\alpha_{\mp}. \quad (5.55)$$

On peut imaginer pour cette théorie des opérateurs de vertex locaux habillés qui soient de simples produits du type :

$$\mathcal{V}^{J_i, \bar{J}_i} = \chi'^{(J_i)}_- \chi_+^{(J_i)} \bar{\chi}'^{(\bar{J}_i)}_- \bar{\chi}_+^{(\bar{J}_i)} \quad (5.56)$$

qui sont de poids  $(1, 1)$  grâce à 5.50. Il faut ensuite que ces opérateurs soient locaux. Il a été montré en partie 5.1 que les opérateurs  $\chi$  avaient une monodromie autour de 0 bien définie et que leurs coefficients de fusion et d'échange étaient de simples phases

---

<sup>18</sup> Dans une représentation de gaz de Coulomb de la théorie, il aurait une charge de "background"  $Q = \sqrt{(C-1)/3}$  réelle (elle est imaginaire pure pour le couplage faible) correspondant à une charge centrale  $C = 1 + 3Q^2$  supérieure à 1.

ou signes. Les opérateurs chiraux sont donc déjà “presque” locaux, c’est pourquoi nous pouvons envisager qu’un simple produit de  $\chi$  soit local. Examinant les phases issues des deux composants chirales lors de la monodromie autour de 0, la fusion et l’échange on voit que l’opérateur 5.56 est local si et seulement si les spins gauches et droits diffèrent d’un entier :

$$J_i = \bar{J}_i + N \quad (5.57)$$

pour n’importe quel entier  $N$ . Il est remarquable que la même condition ( $J - \bar{J}$  entier) ait été obtenue en [13] en demandant l’invariance modulaire de la théorie. Ceci est en opposition complète avec le cas du couplage faible où la construction des opérateurs locaux impose toujours  $J = \bar{J}$ . Ici, au contraire, non seulement il est possible de considérer des opérateurs de vertex de spins  $J_i \neq \bar{J}_i$ , mais c’est nécessaire : ils seront de toute façon engendrés par fusion puisque la fusion 5.15, 5.28 donnera lieu à des sommations indépendantes sur  $J_{12}$  et  $\bar{J}_{12}$ . De plus, les sommes 5.11, 5.24 qui définissent les  $\chi$  doivent pouvoir être faites indépendamment pour les spins  $J_i$  et les spins  $\bar{J}_i$ , sinon il ne pourrait y avoir une première sommation sur les 6-j pour assurer la fermeture de l’algèbre des  $\chi$  et une autre indépendante sur les 6-j de l’autre chiralité pour assurer la fermeture de celle des  $\bar{\chi}$ . En outre, les sommations 5.11, 5.24 ainsi que la fusion se font par pas entiers pour les spins, ce qui est parfaitement cohérent avec la condition 5.57. On en conclut que l’inclusion dans l’algèbre de tous les opérateurs de vertex 5.56 avec des spins  $J$  et  $\bar{J}$  différant d’un entier (5.57) est une condition nécessaire et suffisante à l’obtention d’une algèbre cohérente. Il y a donc un déconfinement de la chiralité dans la phase de couplage fort.

La définition 5.24 de  $\chi_+^{(J)}$  n’est pas symétrique entre  $\alpha_-$  et  $\alpha_+$ , puisqu’elle correspond en fait à des opérateurs de spins  $(-J - 1, J)$ . Dans le régime de couplage faible, un choix d’habillage s’imposait pour obtenir le terme cosmologique  $e^{\alpha_- \Phi}$  qui redonne la bonne limite classique<sup>19</sup>. Dans le régime de couplage fort, au contraire, la symétrie entre  $\alpha_-$  et  $\alpha_+$  est un point clé. C’est ce qui nous permettra d’obtenir un exposant  $\gamma_{\text{string}}$  réel. Nous exigeons donc que l’opérateur 5.56 soit symétrique par conjugaison complexe (donc échange de  $\alpha_-$  et  $\alpha_+$ ) à condition d’échanger les deux chiralités. C’est pourquoi, symétriquement par rapport à la définition 5.24 des  $\chi_+$ , on définit les opérateurs  $\bar{\chi}_+$  par

$$\bar{\chi}_+^{(\bar{J}_1)} \mathcal{P}_{\bar{J}_2^{e+}} \equiv \sum_{\bar{J}_{12}, \bar{p}_{1,2} \equiv \bar{J}_1 + \bar{J}_2 - \bar{J}_{12} \in \mathcal{N}} (-1)^{(2-s)(2\bar{J}_2 \bar{p}_{1,2} + \frac{\bar{p}_{1,2}(\bar{p}_{1,2}+1)}{2})} g_{\bar{J}_1^{e+} \bar{J}_2^{e+}}^{\bar{J}_{12}^{e+}} \mathcal{P}_{\bar{J}_{12}^{e+}} V^{(\bar{J}_1^{e+})} \mathcal{P}_{\bar{J}_2^{e+}} \quad (5.58)$$

mais avec

$$\bar{J}_i^{e+} \equiv \bar{J}_i + (-\bar{J}_i - 1)(\pi/h) \quad (5.59)$$

toujours pour des spins  $\bar{J}_i$  fractionnaires (5.23). Ceci correspond à l’autre choix d’habillage. Les poids et l’algèbre de ces opérateurs sont identiques à ceux des  $\chi_+$  définis précédemment.

<sup>19</sup>Ce choix est également confirmé (au moins pour le terme cosmologique) par la limite de Seiberg (voir [46, 47, 48]) qui dans nos notations affirme que le mode-zéro  $p_0 = i((J+1/2)\alpha_- + (\bar{J}+1/2)\alpha_+)$ , s’il est imaginaire pur (cas du couplage faible), doit être de partie imaginaire positive. En revanche, s’il est réel, il n’y a pas de choix de signe imposé et donc pas de choix d’habillage. C’est le cas pour le couplage fort puisque alors  $p_0 = \pm i(J+1/2)(\alpha_- - \alpha_+)$  est réel. Le signe  $\pm$  dépend du choix d’habillage par les  $\chi_+$  : les  $\chi_+^{(J)}$  peuvent au choix être définis par des spins  $(-J - 1, J)$  comme en 5.24 ou par des spins  $(J, -J - 1)$  comme en 5.58.

Ceci donne des blocs conformes gauches et droits complexes conjugués l'un de l'autre

$$\overline{\mathcal{F}}_{(\chi_-)}^{J_{123}^{e-} J_1^{e-} J_2^{e-} J_3^{e-}} = \left( \mathcal{F}_{(\chi_-)}^{J_{123}^{e-} J_1^{e-} J_2^{e-} J_3^{e-}} \right)^*$$

comme nous l'avions demandé en 5.34. Cela est vrai pour des spins gauches et droits égaux pour les pattes externes, c'est-à-dire le cas particulier auquel nous nous étions restreints pour simplifier la discussion de la partie 5.2. Dans le cas général considéré ici, les blocs gauches et droits sont symétriques par conjugaison complexe à condition d'échanger  $J_i$  et  $\overline{J}_i$ . La conjugaison complexe aura donc pour effet d'échanger les spins gauches et droits ( $J_i \leftrightarrow \overline{J}_i$ ) des opérateurs physiques 5.56 ou des fonctions de corrélation.

Nous pouvons d'ores et déjà calculer l'exposant  $\gamma_{\text{string}}$  pour ce modèle par la même méthode que pour le couplage faible. Le terme cosmologique est l'opérateur

$$\mathcal{V}^{0,0} = \chi_+^{(0)}(z) \overline{\chi}_+^{(0)}(\bar{z}) \quad (5.60)$$

qui est de poids (1,1) et n'inclut pas de matière. Comme pour le couplage faible, les opérateurs considérés jusqu'à maintenant sont des opérateurs pour une valeur particulière de la constante cosmologique, mettons  $\mu = 1$ . La loi de changement d'échelle 2.55 s'écrit en termes de spins effectifs

$$\begin{aligned} V_{m^e}^{(J^e)} \Big|_{(\mu)} &= \mu^{J^e} \mu^{-\varpi/2} V_{m^e}^{(J^e)} \mu^{\varpi/2} \\ \overline{V}_{\overline{m}^e}^{(\overline{J}^e)} \Big|_{(\overline{\mu})} &= \overline{\mu}^{\overline{J}^e} \overline{\mu}^{-\overline{\varpi}/2} \overline{V}_{\overline{m}^e}^{(\overline{J}^e)} \overline{\mu}^{\overline{\varpi}/2} \end{aligned} \quad (5.61)$$

où nous rappelons que  $\varpi$  est le mode-zéro des champs libre  $P^{(i)}$  sous-jacents (renormé en 2.36). Comme les opérateurs physiques 5.56 sont des produits d'opérateurs des deux chiralités de spins  $J$  et  $\overline{J}$  différents, leur loi d'échelle ne sera pas fonction uniquement du produit  $\mu\overline{\mu}$  comme dans le cas du couplage faible où les spins (et mode-zéro) droits et gauches étaient égaux. On détermine alors le lien entre  $\mu$  et  $\overline{\mu}$  par la symétrie déjà choisie pour 5.56 : les opérateurs de vertex 5.56 sont symétriques par conjugaison complexe ( $\alpha_- \leftrightarrow \alpha_+$ ) à condition d'échanger les  $\overline{J}_i$  et les  $J_i$ , il doit donc en être de même pour les facteurs dans 5.61. Pour  $\mu$  réel, ceci conduit à  $\overline{\mu} = \mu^{h/\pi} = \mu^{\alpha_-/\alpha_+}$ . On en déduit la loi d'échelle pour les opérateurs de Liouville habillant l'opérateur de vertex 5.56 :

$$\chi_+^{(J)} \Big|_{(\mu)} \overline{\chi}_+^{(\overline{J})} \Big|_{(\overline{\mu})} = \mu^{-2+Q_M(\alpha'_- J + \alpha'_+ \overline{J})/2} \mu^{-(\varpi + \overline{\varpi}\alpha_-/\alpha_+)/2} \chi_+^{(J)} \overline{\chi}_+^{(\overline{J})} \mu^{(\varpi + \overline{\varpi}\alpha_-/\alpha_+)/2} \quad (5.62)$$

Le facteur  $\mu^{-2+Q_M(\alpha'_- J + \alpha'_+ \overline{J})/2}$  vaut  $\mu^{-2}$  pour le terme cosmologique ( $J = \overline{J} = 0$ ). La constante cosmologique physique est donc  $\mu_c = \mu^2$ . Les fonctions de corrélation des opérateurs de vertex 5.56 se calculent sur les vides  $Sl(2, C)$  invariants complets  $|\varpi'_0, \varpi_0, \overline{\varpi}'_0, \overline{\varpi}_0\rangle$  et  $\langle -\varpi'_0, -\varpi_0, -\overline{\varpi}'_0, -\overline{\varpi}_0|$  où les moments  $\varpi', \overline{\varpi}'$  sont ceux des champs libres sous-jacents aux opérateurs  $\chi'_-, \overline{\chi}'_-$  de matière. On obtient ainsi

$$\left\langle \prod_{\ell=1}^N \chi_+^{(J_\ell)} \overline{\chi}_+^{(\overline{J}_\ell)} \right\rangle_{\mu_c} = \left\langle \prod_{\ell=1}^N \chi_+^{(J_\ell)} \overline{\chi}_+^{(\overline{J}_\ell)} \right\rangle_1 \mu_c^{-\sum_{\ell} \left[ 1 - \frac{Q_M}{4} (\alpha'_- J_\ell + \alpha'_+ \overline{J}_\ell) \right] + \frac{s+2}{2}} \quad (5.63)$$

où le dernier terme (i.e.  $(s+2)/2$ ) est obtenu par action des opérateurs  $\mu^{\pm\varpi/2}$  de 5.62 sur les vides entrants et sortants. On peut transformer cette équation en

$$\left\langle \prod_{\ell=1}^N \chi_+^{(J_\ell)} \bar{\chi}_+^{(\bar{J}_\ell)} \right\rangle_{\mu_c} = \left\langle \prod_{\ell=1}^N \chi_+^{(J_\ell)} \bar{\chi}_+^{(\bar{J}_\ell)} \right\rangle_1 \mu_c^{\sum_\ell \frac{Q_M}{4} [\alpha'_-(J_\ell + \frac{1}{2}) + \alpha'_+(\bar{J}_\ell + \frac{1}{2})] - (\frac{N}{2} - 1)(\frac{s+2}{2})} \quad (5.64)$$

en utilisant les liens entre  $Q_M$  et  $\alpha'_\pm$  qui donnent en particulier

$$-Q_M(\alpha'_- + \alpha'_+) = 2(2-s). \quad (5.65)$$

L'élément d'aire 5.60 permet de définir la fonction de partition à aire fixée :

$$\mathcal{Z}_{\mu_c}(A) \equiv \left\langle \delta \left( \int dz d\bar{z} \chi_+^{(0)} \Big|_{(\mu_c)} \bar{\chi}_+^{(0)} \Big|_{(\mu_c)} - A \right) \right\rangle. \quad (5.66)$$

La loi de changement d'échelle 5.62 nous permet ensuite de transformer 5.66 en

$$\mathcal{Z}_{\mu_c}(A) = \left\langle \mu_c^{-(\varpi + \bar{\varpi}\alpha_-/\alpha_+)/4} \delta \left( \int dz d\bar{z} \mu_c^{-1} \chi_+^{(0)} \Big|_{(1)} \bar{\chi}_+^{(0)} \Big|_{(1)} - A \right) \mu_c^{(\varpi + \bar{\varpi}\alpha_-/\alpha_+)/4} \right\rangle \quad (5.67)$$

puis, calculant l'action des éléments extrêmes sur le vide et sortant  $\mu_c^{-1}$  de la fonction delta :

$$\mathcal{Z}_{\mu_c}(A) = \mu_c^{(s+2)/2} \left\langle \mu_c \delta \left( \int dz d\bar{z} \chi_+^{(0)} \Big|_{(1)} \bar{\chi}_+^{(0)} \Big|_{(1)} - \mu_c A \right) \right\rangle \quad (5.68)$$

c'est-à-dire

$$\mathcal{Z}_{\mu_c}(A) = \mu_c^{1+(s+2)/2} \mathcal{Z}_1(\mu_c A). \quad (5.69)$$

Ceci traduit un comportement de la fonction de partition à aire fixée en

$$\mathcal{Z}(A) \propto A^{-1-(2+s)/2}. \quad (5.70)$$

Ce résultat peut également être obtenu en remarquant que 5.63 sans opérateurs donne la dépendance de la fonction de partition en  $\mu_c$  :

$$\mathcal{Z}(\mu_c) \propto \mu_c^{(2+s)/2} \quad (5.71)$$

et que donc la fonction de partition à aire fixée qui est sa transformée de Laplace

$$\mathcal{Z}(A) = \int d\mu_c \mathcal{Z}(\mu_c) e^{-\mu_c A} \quad (5.72)$$

a le comportement 5.70.

La loi d'échelle 5.70 montre donc que pour ce modèle

$$\gamma_{\text{string}} = \frac{2-s}{2} \quad (5.73)$$

qui est réelle. Exprimée en fonction de la dimension d'espace  $d = 1 + 6(2-s)$ , ceci donne la valeur 5.1 annoncée en introduction. Cette expression permet de voir que la valeur obtenue pour  $\gamma_{\text{string}}$  est la partie réelle de la formule de KPZ 2.58.

Les simulations numériques effectués en ref.[45] sur  $n$  modèles d'Ising couplés à la gravité (jusqu'à  $n = 8$  donc  $c = 4$ ) ont donné des résultats fort proches de la partie réelle de la formule de KPZ (sans que l'adéquation soit cependant parfaite). Ceci

confirme donc partiellement notre résultat qui est néanmoins dans une zone ( $c = 7$  ou plus) non atteinte par ces simulations numériques.

Les valeurs de  $\gamma_{\text{string}}$  pour les trois valeurs spéciales de la charge centrale sont les suivantes

$$\begin{cases} s & c & C & \gamma_{\text{string}} \\ 1 & 7 & 19 & 1/2 \\ 0 & 13 & 13 & 1 \\ -1 & 19 & 7 & 3/2 \end{cases} \quad (5.74)$$

La valeur de  $1/2$  pour  $c = 7$  est la même que celle de surfaces dégénérées en polymères branchés. Peut-être ceci peut-il être mis en relation avec le fait que notre terme cosmologique (ainsi que tous les opérateurs) est un simple produit d'opérateurs des deux chiralités. Une interprétation satisfaisante de ces valeurs de  $\gamma_{\text{string}}$  reste à trouver.

### 5.3.2 Fonctions à $N$ points

Passons maintenant au calcul effectif des fonctions de corrélation des opérateurs habillés 5.56. La fonction à trois points peut être obtenue directement par son expression opératorielle (cf [P3] partie 7.2). Elle s'écrit

$$\langle \mathcal{V}^{J_1, \bar{J}_1}(z_1) \mathcal{V}^{J_2, \bar{J}_2}(z_2) \mathcal{V}^{J_3, \bar{J}_3}(z_3) \rangle = \mathcal{C}_{1,2,3} / \left( \prod_{k < l} |z_k - z_l|^2 \right). \quad (5.75)$$

Comme dans le cas du couplage faible, pour le calcul de fonctions de corrélation dans l'approche opératorielle les opérateurs des deux extrémités du corrélateur, ceux qui engendrent les états à partir du vide, Ils doivent contenir des opérateurs du type  $V_{-J}^{(J)}$  correspondants (cf 2.45), ce qui n'est pas le cas des  $\chi_+$ . Cette différence est due au fait que le vide  $Sl(2, C)$  invariant ne fait pas partie de l'espace de Hilbert de la théorie. Deux des opérateurs de 5.75, bien que notés  $\mathcal{V}^{J_i, \bar{J}_i}$  pour ne pas alourdir les notations, ne contiennent donc pas de vrais  $\chi_+$ . Ils sont néanmoins définis à partir de  $V^{J_i^{e+}}$  ce qui ne remet pas en question la loi d'échelle 5.63 puisqu'elle ne dépend que du spins des opérateurs et du vide. Ceci n'est pas spécifique au couplage fort et on pourra voir une discussion détaillée dans le cas du couplage faible en ref.[20] par exemple. Nous donnons à titre d'exemple<sup>20</sup>

$$\begin{aligned} \mathcal{V}^{J_3, \bar{J}_3}(z_3) &\sim g'_{0, J_3^-}{}^{J_3^-} V_{-J_3^-}^{(J_3^-)} g_{0, J_3^+}{}^{J_3^+} V_{-J_3^+}^{(J_3^+)} \bar{g}'_{0, \bar{J}_3^-}{}^{\bar{J}_3^-} \bar{V}_{-\bar{J}_3^-}^{(\bar{J}_3^-)} \bar{g}_{0, \bar{J}_3^+}{}^{\bar{J}_3^+} \bar{V}_{-\bar{J}_3^+}^{(\bar{J}_3^+)} + \dots \\ &\sim g'_{0, J_3^-}{}^{J_3^-} : e^{2J_3^- \alpha_- P^{(1)}(z_3)} : g_{0, J_3^+}{}^{J_3^+} : e^{2J_3^+ \alpha_- P^{(1)}(z_3)} : \times \\ &\bar{g}'_{0, \bar{J}_3^-}{}^{\bar{J}_3^-} : e^{2\bar{J}_3^- \alpha_- \bar{P}^{(1)}(z_3)} : \bar{g}_{0, \bar{J}_3^+}{}^{\bar{J}_3^+} : e^{2\bar{J}_3^+ \alpha_- \bar{P}^{(1)}(z_3)} : + \dots \end{aligned} \quad (5.76)$$

qui engendre l'état entrant

$$|\varpi'_{J_3, J_3}, \varpi_{-J_3-1, J_3}, \bar{\varpi}'_{\bar{J}_3, \bar{J}_3}, \bar{\varpi}_{\bar{J}_3, -\bar{J}_3-1} \rangle \quad (5.77)$$

alors que  $\mathcal{V}^{J_1, \bar{J}_1}$  engendre l'état sortant

$$\langle -\varpi'_{J_1, J_1}, -\varpi_{-J_1-1, J_1}, -\bar{\varpi}'_{\bar{J}_1, \bar{J}_1}, -\bar{\varpi}_{\bar{J}_1, -\bar{J}_1-1} | =$$

<sup>20</sup> Les pointillés dans 5.76 désignent des termes qui s'annulent sur le vide.

$$\langle \overline{\omega}'_{-J_1-1, -J_1-1}, \overline{\omega}_{J_1, -J_1-1}, \overline{\omega}'_{-\overline{J}_1-1, -\overline{J}_1-1}, \overline{\omega}_{-\overline{J}_1-1, \overline{J}_1} \rangle \quad (5.78)$$

à partir du vide  $\langle -\overline{\omega}'_0, -\overline{\omega}_0, -\overline{\omega}'_0, -\overline{\omega}_0 \rangle$ . Il n'y a de facteur de normalisation dans aucun des deux cas puisque les coefficients  $g$  donnés en 4.23 (cf 5.76 pour le premier cas) sont tous égaux à un. L'opérateur  $\mathcal{V}^{J_2, \overline{J}_2}$  est donc appliqué aux états 5.78, 5.77, et sa définition 5.56 montre alors que la fonction à trois points s'exprime simplement en termes des coefficients de normalisation  $g$

$$\mathcal{C}_{1,2,3} = g'_{J_2^-, J_3^-}{}^{-J_1^{e^-}-1-\pi/h'} g_{J_2^+, J_3^+}{}^{-J_1^{e^+}-1-\pi/h} \overline{g}_{\overline{J}_2^-, \overline{J}_3^-}{}^{-\overline{J}_1^{e^-}-1-\pi/h'} \overline{g}_{\overline{J}_2^+, \overline{J}_3^+}{}^{-\overline{J}_1^{e^+}-1-\pi/h} \quad (5.79)$$

On peut noter que cette fonction est automatiquement symétrique dans l'échange de 1, 2 et 3 puisque c'est une symétrie des  $g$  contenus dans 5.79 (cf 4.23). Comme dans le cas du couplage faible, les coefficients issus de la matière ( $g'$ ) se simplifient énormément avec ceux qui proviennent de la gravité ( $g$ ). L'expression des coefficients  $g$  en terme de chemins permet assez facilement de montrer que la fonction à trois points totale se factorise (comme dans le cas du couplage faible) :

$$\mathcal{C}_{1,2,3} = L_{J_1, \overline{J}_1} L_{J_2, \overline{J}_2} L_{J_3, \overline{J}_3} \quad (5.80)$$

avec

$$L_{J, \overline{J}} = \sqrt{F(-Q_M \alpha'_+(J+1/2))} \sqrt{F(-Q_M \alpha'_-(\overline{J}+1/2))} \quad (5.81)$$

où la fonction  $F$  est définie en 4.7.

Nous avons écrit en [P3] la fonction à trois points sous la forme 5.75, essentiellement parce qu'elle donnait un résultat automatiquement symétrique, comme cela a été fait en ref.[20] pour le couplage faible. Il est cependant apparu dans l'étude en ref.[31] du même genre de modèle pour le couplage faible dans une représentation intégrale, que les fonctions de corrélation à considérer<sup>21</sup> devaient contenir un opérateur de moment de signe opposé et de choix d'habillage différent. Sans toutefois avoir la justification de la représentation intégrale, nous devons ici également introduire un opérateur d'habillage différent, faute de quoi nous ne pourrions pas obtenir les fonctions à  $N+1$  points par dérivation des fonctions à  $N$  points. Ceci nous amène donc à définir l'opérateur que nous appellerons conjugué par

$$\mathcal{V}_{\text{conj}}^{J_i, \overline{J}_i} = \chi'_{-}{}^{(-J_i-1)} \chi_{+}^{(J_i)} \overline{\chi}'_{-}{}^{(-\overline{J}_i-1)} \overline{\chi}_{+}^{(\overline{J}_i)} \quad (5.82)$$

Nous avons pris les opérateurs conjugués de type  $\chi'_{-}{}^{(-J_i-1)}$  pour la matière en transformant les spins par  $J_i \rightarrow -J_i - 1$  par rapport à 5.56. Nous avons fait pour ces opérateurs l'autre choix d'habillage, ce qui revient à faire une autre symétrie  $J_i \rightarrow -J_i - 1$  pour la gravité et donc à employer les mêmes opérateurs de type  $\chi_{+}^{(J_i)}$ . La loi d'échelle 5.64 sera par conséquent inchangée pour ces opérateurs 5.82. On peut par ailleurs vérifier que ces opérateurs sont également locaux (avec le lien 5.57 entre  $J_i$  et  $\overline{J}_i$ ).

Nous ne considérerons donc que des fonctions de corrélation contenant un opérateur conjugué 5.82 et  $N-1$  opérateurs de type standard 5.56. Ceci nous permettra d'obtenir des règles de Feynman cohérentes. Ces fonctions de corrélation auront donc toujours une loi d'échelle donnée par 5.64 :

$$\left\langle \mathcal{V}_{\text{conj}}^{J_1, \overline{J}_1} \mathcal{V}^{J_2, \overline{J}_2} \dots \mathcal{V}^{J_N, \overline{J}_N} \right\rangle_{\mu_c} = \left\langle \mathcal{V}_{\text{conj}}^{J_1, \overline{J}_1} \mathcal{V}^{J_2, \overline{J}_2} \dots \mathcal{V}^{J_N, \overline{J}_N} \right\rangle_1 \mu_c^{\sum_{i=1}^N P_i - (\frac{N}{2}-1)(\frac{s+2}{2})} \quad (5.83)$$

<sup>21</sup> Plus précisément de valeur non nulle par représentation intégrale.

avec

$$P_i = P(J_i, \bar{J}_i) = \frac{Q_M}{4} [\alpha'_-(J_i + \frac{1}{2}) + \alpha'_+(\bar{J}_i + \frac{1}{2})] \quad (5.84)$$

qui désigne un pseudo-moment qui intervient dans la dépendance en  $\mu_c$  des fonctions de corrélation. C'est lui qui donnera la valeur du propagateur (5.92 plus loin) et il semble être le "moment effectif" de cette théorie où les deux chiralités sont découplées.

Utilisant un opérateur de ce type pour engendrer les états sortants, on voit que la fonction à trois points est alors donnée par

$$\left\langle \mathcal{V}_{\text{conj}}^{J_1, \bar{J}_1}(z_1) \mathcal{V}^{J_2, \bar{J}_2}(z_2) \mathcal{V}^{J_3, \bar{J}_3}(z_3) \right\rangle \sim g'_{J_2^-, J_3^-} J_1^{e-} \frac{-J_1^{e+} - 1 - \pi/h}{g_{J_2^+, J_3^+}} \bar{g}_{J_2^-, J_3^-} J_1^{e-} \frac{-\bar{J}_1^{e+} - 1 - \pi/h}{\bar{g}_{J_2^+, J_3^+}} \quad (5.85)$$

où nous avons omis la dépendance en  $z_i$  qui est la même qu'en 5.75 puisqu'on a toujours des opérateurs de poids (1,1). Ce résultat n'est pas manifestement symétrique et la simplification entre matière et gravité ne peut avoir lieu exactement de la même façon que précédemment à cause de l'habillage différent de l'opérateur  $\mathcal{V}_{\text{conj}}^{J_1, \bar{J}_1}$  (les nombres de charges d'écran pour la matière et la gravité ne sont plus égaux ou reliés de la même façon). Il est remarquable que le résultat se simplifie quand même (le calcul qui utilise à nouveau l'expression des  $g$  en termes de chemins sera détaillé en [P5]) pour donner<sup>22</sup>

$$\left\langle \mathcal{V}_{\text{conj}}^{J_1, \bar{J}_1}(z_1) \mathcal{V}^{J_2, \bar{J}_2}(z_2) \mathcal{V}^{J_3, \bar{J}_3}(z_3) \right\rangle \sim L_{J_1, \bar{J}_1}^{\text{conj}} L_{J_2, \bar{J}_2} L_{J_3, \bar{J}_3} \mu_c^{P_1 + P_2 + P_3 - \frac{s+2}{4}} J_1, \bar{J}_1 \begin{array}{c} J_2, \bar{J}_2 \swarrow \\ \searrow \\ J_3, \bar{J}_3 \end{array} \quad (5.86)$$

avec

$$L_{J, \bar{J}}^{\text{conj}} = \sqrt{F(Q_M \alpha'_-(J + 1/2))} \sqrt{F(Q_M \alpha'_+(\bar{J} + 1/2))}. \quad (5.87)$$

Nous faisons ensuite l'hypothèse que cette théorie peut être décrite par un action effective contenant le terme cosmologique introduit plus haut :

$$S_{\mu_c} = S_0 - \mu_c \int \mathcal{V}^{0,0} \quad (5.88)$$

où  $S_0$  est une action qui ne dépend pas de  $\mu_c$  et dont nous ne connaissons pas la forme. La dérivation par rapport à  $\mu_c$  d'une fonction à  $N$  points calculée avec cette action effective donne une fonction à  $N + 1$  points<sup>23</sup> :

$$\frac{\partial}{\partial \mu_c} \left\langle e^{-S_{\mu_c}} \int \mathcal{V}_{\text{conj}}^{J_1, \bar{J}_1} \mathcal{V}^{J_2, \bar{J}_2} \dots \mathcal{V}^{J_N, \bar{J}_N} \right\rangle = \left\langle e^{-S_{\mu_c}} \int \mathcal{V}_{\text{conj}}^{J_1, \bar{J}_1} \mathcal{V}^{J_2, \bar{J}_2} \dots \mathcal{V}^{J_N, \bar{J}_N} \mathcal{V}^{0,0} \right\rangle \quad (5.89)$$

<sup>22</sup> Il ne faut pas s'étonner d'avoir ici (comme en 5.83 et plus loin en 5.93...) une puissance de  $\mu_c$  symétrique dans les trois pattes, alors que le premier vertex ( $\mathcal{V}_{\text{conj}}^{J_1, \bar{J}_1}$ ) a un moment opposé pour la matière (cf 5.82 qui a été transformé par  $J_i \rightarrow -J_i - 1$ ), et qu'il est donc logiquement noté comme sortant sur le graphe de Feynman 5.86. Ceci est simplement dû au fait que les spins  $J_i$  (par lesquels on définit le moment  $P_i$  en Eq.5.84) sont en fait ceux de la gravité pour les opérateurs 5.56 et également pour les opérateurs conjugués 5.82 dont l'habillage est différent.

<sup>23</sup> Nous parlons donc maintenant de fonctions de corrélation avec points d'insertion intégrés sur toute la surface. Les signes d'intégration dans 5.89, 5.93 désignent donc cette intégrale sur les points de la surface.

Partant de la fonction à trois points particulière

$$\left\langle \mathcal{V}_{\text{conj}}^{J_i, \bar{J}_i} \mathcal{V}^{0,0} \mathcal{V}^{J_i, \bar{J}_i} \right\rangle_{\mu_c} = \mu_c^{2P_i-1} L_{J_i, \bar{J}_i}^{\text{conj}} L_{0,0} L_{J_i, \bar{J}_i} \quad (5.90)$$

et prenant sa primitive, nous obtenons

$$\left\langle \mathcal{V}_{\text{conj}}^{J_i, \bar{J}_i} \mathcal{V}^{J_i, \bar{J}_i} \right\rangle_{\mu_c} = \frac{1}{2P_i} \mu_c^{2P_i} L_{J_i, \bar{J}_i}^{\text{conj}} L_{J_i, \bar{J}_i} \quad (5.91)$$

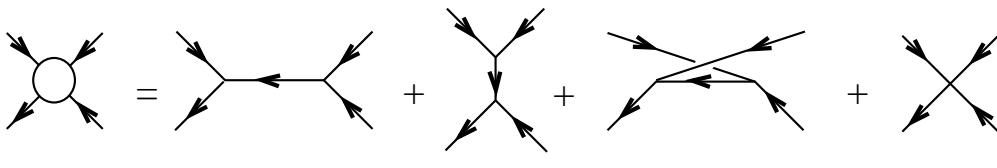
où il a été utilisé que  $L_{0,0} = 1$ , ce qui est une propriété très particulière aux dimensions spéciales. La fonction à deux points avec pattes externes coupées est l'inverse du propagateur<sup>24</sup> qui vaut donc

$$P_{\mu_c}(J_i, \bar{J}_i) = P_i \frac{\mu_c^{-2P_i}}{(L_{J_i, \bar{J}_i}^{\text{conj}} L_{J_i, \bar{J}_i})} = \overleftarrow{J_i, \bar{J}_i}. \quad (5.92)$$

On peut aussi dériver la fonction à trois points 5.86 et obtenir une fonction à quatre points dont la quatrième patte ( $\mathcal{V}^{0,0}$ ) a un moment particulier. Comme l'expression obtenue est symétrique pour les deux autres pattes engendrées par des opérateurs de type 5.56 (i.e.  $\mathcal{V}^{J_2, \bar{J}_2}$  et  $\mathcal{V}^{J_3, \bar{J}_3}$ ) on peut, sans trop de risques de se tromper, étendre ceci à la quatrième patte. On obtient ainsi la fonction à quatre points tous de moments quelconques :

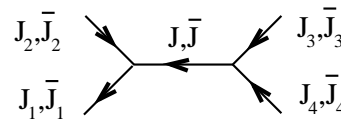
$$\left\langle e^{-S_{\mu_c}} \int \mathcal{V}_{\text{conj}}^{J_1, \bar{J}_1} \mathcal{V}^{J_2, \bar{J}_2} \mathcal{V}^{J_3, \bar{J}_3} \mathcal{V}^{J_4, \bar{J}_4} \right\rangle_{\mu_c} = L_{J_1, \bar{J}_1}^{\text{conj}} L_{J_2, \bar{J}_2} L_{J_3, \bar{J}_3} L_{J_4, \bar{J}_4} \mu_c^{P_1+P_2+P_3+P_4-\frac{s+2}{2}} \left( 1 + \frac{Q_M}{4} [\alpha'_-(J_1 + J_2 + J_3 + J_4 + 1) + \alpha'_+(\bar{J}_1 + \bar{J}_2 + \bar{J}_3 + \bar{J}_4 + 1)] \right) \quad (5.93)$$

Si cette description par une action effective est valide, cette fonction à quatre points, qui est une fonction de corrélation totale, doit inclure les diagrammes construits à partir de vertex à trois points :



$$\text{Diagram (5.94)} \quad (5.94)$$

ainsi que la fonction à quatre points à une particule irréductible figurée à droite. Nous pouvons calculer les graphes de Feynman du membre de droite construits à partir du vertex à trois points que nous avons obtenu en 5.86 et du propagateur obtenu en 5.92. On vérifie que pour un graphe du type



$$\text{Diagram (5.95)} \quad (5.95)$$

les facteurs  $L_{J, \bar{J}} L_{J, \bar{J}}^{\text{conj}}$  ainsi que la dépendance en  $\mu_c$  dus à l'état intermédiaire ( $J, \bar{J}$ ) issus des deux fonctions à trois points (5.86) et du propagateur (5.92) s'annulent

<sup>24</sup>à un facteur (1/2) près, que nous ajoutons, car il s'avère nécessaire par la suite



bien. Nous omettrons donc désormais les facteurs  $L, L^{conj}$  qui sont une pure jauge (ou normalisation des opérateurs) et nous placerons à  $\mu_c = 1$  pour simplifier les expressions.

Il faut également sommer sur les états qui peuvent se propager sur les pattes internes. Pour le diagramme 5.95 par exemple les règles de sélection se traduisent par  $J = J_3 + J_4 - \nu_2$  et  $\bar{J} = \bar{J}_3 + \bar{J}_4 - \bar{\nu}_2$  où  $\nu_2$  est le nombre de charges d'écran attachées au vertex de droite, et de même pour l'autre chiralité avec  $\bar{\nu}_2$ . Ces nombres de charges d'écran doivent être inférieurs au nombre total de charges d'écran  $\nu = J_2 + J_3 + J_4 - J_1, \bar{\nu} = \bar{J}_2 + \bar{J}_3 + \bar{J}_4 - \bar{J}_1$  (ceci est issu des règles de sélections du premier vertex de 5.95). Ces règles de sélection peuvent paraître étonnantes (surtout par comparaison au cas du couplage faible), mais elles reflètent simplement celles des opérateurs  $\chi$ . Les deux chiralités sont découplées, et en revanche pour une chiralité donnée les spins  $J$  et  $\bar{J}$  liés à  $\alpha_-$  et  $\alpha_+$  sont reliés (pour avoir des poids réels) ainsi que ceux de la matière et de la gravité (pour avoir des opérateurs  $(1, 1)$ ). Les nombres de charges d'écran liés à  $\alpha_-, \alpha_+, \alpha'_-, \alpha'_+$  pour la matière et la gravité sont donc reliés de la même manière<sup>25</sup>.

Imaginons ce que va donner la sommation sur les moments internes  $(J, \bar{J})$  d'un diagramme du type 5.95. Chaque terme de la sommation s'exprimera par un propagateur du genre de 5.92 (avec moment shifté). Mais il y aura autant de termes de que de façons de répartir  $\nu$  charges d'écran sur deux vertex et indépendamment  $\bar{\nu}$  charges de l'autre chiralité, c'est-à-dire  $(\nu+1)(\bar{\nu}+1)$  possibilités. Vu que les moments admissibles sont en progression arithmétique et que le propagateur est linéaire dans les moments, ce nombre  $(\nu+1)(\bar{\nu}+1)$  sera même toujours factorisé. La somme des trois voies de ce type (Eq.5.94) donnera donc une fonction à quatre points incluant un tel facteur (multiplié par une combinaison linéaire des moments, qui provient des propagateurs). Mais ce n'est pas le cas de la fonction à quatre points 5.93 obtenue par dérivation. Il faut donc supposer que l'amplitude physique à  $N$  points doit inclure un facteur combinatoire supplémentaire exprimant le nombre de façons de répartir  $\nu$  charges d'écran sur  $N-2$  vertex<sup>26</sup>. On définit donc les amplitudes physiques à  $N$  points par<sup>27</sup>

$$\begin{aligned} & \text{Phys}A_{(\nu, \bar{\nu})}^{(N)} \left( (J_1, \bar{J}_1), (J_2, \bar{J}_2) \dots (J_N, \bar{J}_N) \right) \\ &= \binom{\nu+N-3}{N-3} \binom{\bar{\nu}+N-3}{N-3} \left\langle e^{-S_{\mu_c}} \int \mathcal{V}_{\text{conj}}^{J_1, \bar{J}_1} \mathcal{V}^{J_2, \bar{J}_2} \dots \mathcal{V}^{J_N, \bar{J}_N} \right\rangle. \end{aligned} \quad (5.96)$$

Nous rappelons que les nombres de charges d'écran sont donnés par  $\nu = J_2 + \dots + J_N - J_1$  et  $\bar{\nu} = \bar{J}_2 + \dots + \bar{J}_N - \bar{J}_1$ .

Ceci donne alors la règle de dérivation pour les amplitudes physiques (utilisant

<sup>25</sup> Plus précisément, notant  $\nu_-, \nu_+, \nu'_-, \nu'_+$ , les nombres de charges d'écran, pour la gravité et pour la matière, liés respectivement à  $\alpha_-, \alpha_+, \alpha'_-, \alpha'_+$ , on a  $\nu = \sum_{i=2}^N J_i - J_1 = \nu'_- = \nu'_+ = \nu_+ - 2J_1 - 1 = -\nu_- - 2J_1 - (N-1)$ , pour les fonctions à  $N$  points, alors que pour l'autre chiralité les rôles de  $\nu_-$  et  $\nu_+$  sont échangés. Les nombres  $\nu$  et  $\bar{\nu}$  désignent donc les nombres de charges d'écran pour la matière.

<sup>26</sup> C'est normal, puisque elles ne peuvent pas être placées sur les 2 opérateurs extrêmes de genre différent.

<sup>27</sup> Le nombre de façons de répartir  $\nu$  objets indifférentiables en  $N-2$  points peut être vu comme le coefficient d'ordre  $\nu$  du développement en  $x$  de  $(1+x+x^2\dots)^{N-2} = 1/(1-x)^{N-2}$ . Ceci donne  $(N-2)(N-1)\dots(N+\nu-3)/\nu!$  qui est écrit en 5.96 sous forme de nombre de combinaisons. Il ne semble pas en revanche y avoir d'interprétation de ce nombre en termes de choix de  $N-3$  (ou  $\nu$ ) objets parmi  $\nu+N-3$ .

5.89) :

$$\begin{aligned} & \text{Phys}A_{(\nu, \bar{\nu})}^{(N+1)} \left( (J_1, \bar{J}_1), (J_2, \bar{J}_2) \dots (J_N, \bar{J}_N), (0, 0) \right) \\ &= - \left( \frac{\nu + N - 2}{N - 2} \right) \left( \frac{\bar{\nu} + N - 2}{N - 2} \right) \frac{\partial}{\partial \mu_c} \text{Phys}A_{(\nu, \bar{\nu})}^{(N)} \left( (J_1, \bar{J}_1), (J_2, \bar{J}_2) \dots (J_N, \bar{J}_N) \right). \end{aligned} \quad (5.97)$$

On peut donc maintenant calculer la vraie amplitude physique à quatre points

$$\begin{aligned} & \begin{array}{c} \begin{array}{ccc} \begin{array}{c} \nearrow \\ \text{J}_2, \bar{\text{J}}_2 \end{array} & \circ & \begin{array}{c} \nwarrow \\ \text{J}_3, \bar{\text{J}}_3 \end{array} \\ \begin{array}{c} \nwarrow \\ \text{J}_1, \bar{\text{J}}_1 \end{array} & & \begin{array}{c} \nearrow \\ \text{J}_4, \bar{\text{J}}_4 \end{array} \end{array} \\ &= \text{Phys}A_{(\nu, \bar{\nu})}^{(4)} \left( (J_1, \bar{J}_1), (J_2, \bar{J}_2), (J_3, \bar{J}_3), (J_4, \bar{J}_4) \right) = (\nu + 1)(\bar{\nu} + 1) \times \\ & \left( 1 + \frac{Q_M}{4} \left[ \alpha'_-(J_1 + J_2 + J_3 + J_4 + 1) + \alpha'_+(\bar{J}_1 + \bar{J}_2 + \bar{J}_3 + \bar{J}_4 + 1) \right] \right) \end{aligned} \quad (5.98)$$

qui comprend un simple facteur supplémentaire par rapport à 5.93 (nous nous sommes placés à  $\mu_c = 1$  et avons omis les facteurs  $L, L^{conj}$  conformément à ce que nous avons annoncé). Il est ensuite facile de calculer les sommes correspondant aux trois premiers graphes de Feynman de 5.94 et par soustraction d'obtenir la fonction à quatre points à une particule irréductible :

$$\begin{aligned} & \begin{array}{ccc} \begin{array}{c} \nearrow \\ \text{J}_2, \bar{\text{J}}_2 \end{array} & \times & \begin{array}{c} \nwarrow \\ \text{J}_3, \bar{\text{J}}_3 \end{array} \\ \begin{array}{c} \nwarrow \\ \text{J}_1, \bar{\text{J}}_1 \end{array} & & \begin{array}{c} \nearrow \\ \text{J}_4, \bar{\text{J}}_4 \end{array} \end{array} \\ &= {}^{1PI}A_{(\nu, \bar{\nu})}^{(4)} \left( (J_1, \bar{J}_1), (J_2, \bar{J}_2), (J_3, \bar{J}_3), (J_4, \bar{J}_4) \right) \\ &= (\nu + 1)(\bar{\nu} + 1) \frac{1}{4} \left( (2 + s) - \frac{Q_M}{2} (\alpha'_-\nu + \alpha'_+\bar{\nu}) \right) \end{aligned} \quad (5.99)$$

qui ne dépend pas des moments.

On peut ensuite déterminer de la même manière les fonctions d'ordre supérieur. La fonction à cinq points est obtenue par dérivation et se décompose en graphes de Feynman du type :

$$\begin{array}{c} \begin{array}{c} \nearrow \\ \text{J}_5, \bar{\text{J}}_5 \end{array} \\ \begin{array}{c} \nwarrow \\ \text{J}_1, \bar{\text{J}}_1 \end{array} \end{array} \circ = \begin{array}{c} \begin{array}{c} \nearrow \\ \text{J}_5, \bar{\text{J}}_5 \end{array} \\ \begin{array}{c} \nwarrow \\ \text{J}_1, \bar{\text{J}}_1 \end{array} \end{array} \begin{array}{c} \begin{array}{c} \nearrow \\ \text{J}_2, \bar{\text{J}}_2 \end{array} \\ \begin{array}{c} \nwarrow \\ \text{J}_3, \bar{\text{J}}_3 \end{array} \end{array} + \begin{array}{c} \begin{array}{c} \nearrow \\ \text{J}_5, \bar{\text{J}}_5 \end{array} \\ \begin{array}{c} \nwarrow \\ \text{J}_1, \bar{\text{J}}_1 \end{array} \end{array} \begin{array}{c} \begin{array}{c} \nearrow \\ \text{J}_2, \bar{\text{J}}_2 \end{array} \\ \begin{array}{c} \nwarrow \\ \text{J}_3, \bar{\text{J}}_3 \end{array} \end{array} + \begin{array}{c} \begin{array}{c} \nearrow \\ \text{J}_5, \bar{\text{J}}_5 \end{array} \\ \begin{array}{c} \nwarrow \\ \text{J}_1, \bar{\text{J}}_1 \end{array} \end{array} \begin{array}{c} \begin{array}{c} \nearrow \\ \text{J}_2, \bar{\text{J}}_2 \end{array} \\ \begin{array}{c} \nwarrow \\ \text{J}_3, \bar{\text{J}}_3 \end{array} \end{array} + \begin{array}{c} \begin{array}{c} \nearrow \\ \text{J}_5, \bar{\text{J}}_5 \end{array} \\ \begin{array}{c} \nwarrow \\ \text{J}_1, \bar{\text{J}}_1 \end{array} \end{array} \begin{array}{c} \begin{array}{c} \nearrow \\ \text{J}_2, \bar{\text{J}}_2 \end{array} \\ \begin{array}{c} \nwarrow \\ \text{J}_3, \bar{\text{J}}_3 \end{array} \end{array} + \begin{array}{c} \begin{array}{c} \nearrow \\ \text{J}_5, \bar{\text{J}}_5 \end{array} \\ \begin{array}{c} \nwarrow \\ \text{J}_1, \bar{\text{J}}_1 \end{array} \end{array} \begin{array}{c} \begin{array}{c} \nearrow \\ \text{J}_2, \bar{\text{J}}_2 \end{array} \\ \begin{array}{c} \nwarrow \\ \text{J}_3, \bar{\text{J}}_3 \end{array} \end{array} + \begin{array}{c} \begin{array}{c} \nearrow \\ \text{J}_5, \bar{\text{J}}_5 \end{array} \\ \begin{array}{c} \nwarrow \\ \text{J}_1, \bar{\text{J}}_1 \end{array} \end{array} \begin{array}{c} \begin{array}{c} \nearrow \\ \text{J}_2, \bar{\text{J}}_2 \end{array} \\ \begin{array}{c} \nwarrow \\ \text{J}_3, \bar{\text{J}}_3 \end{array} \end{array} \quad (5.100)$$

où nous n'avons figuré que les cinq graphes de topologies (orientées) différentes. Ecrivant tous les graphes obtenus par permutation des quatre opérateurs "entrants", on en obtient 26. Ceux par exemple qui contiennent deux fonctions à trois points s'expriment par une quadruple somme sur les deux moments internes et les résultats n'ont pu être obtenus qu'avec l'aide de programmes de calcul symbolique. Par soustraction, on obtient la fonction à cinq points irréductible

$$\begin{aligned} & {}^{1PI}A_{(\nu, \bar{\nu})}^{(5)} \left( (J_1, \bar{J}_1), (J_2, \bar{J}_2), (J_3, \bar{J}_3), (J_4, \bar{J}_4), (J_5, \bar{J}_5) \right) \\ &= \binom{\nu+2}{2} \binom{\bar{\nu}+2}{2} \left( B^{(5)}(\nu, \bar{\nu}) - \sum_{i=1}^5 (P_i)^2 \right) \end{aligned} \quad (5.101)$$

où  $B^{(5)}(\nu, \bar{\nu})$  est un polynôme en  $\nu, \bar{\nu}$  dépendant de la charge centrale donné en [P4] Eq.5.15. De la même manière, la fonction à six points nécessite le calcul de

236 graphes de Feynman de 12 topologies différentes. Il y en 2752 de 34 topologies différentes pour la fonction à sept point et nous nous sommes donc arrêtés à la fonction à six points irréductible qui vaut

$${}^{1PI}A_{(\nu, \bar{\nu})}^{(6)} \left( (J_1, \bar{J}_1) \dots (J_6, \bar{J}_6) \right) = \binom{\nu+3}{3} \binom{\bar{\nu}+3}{3} \left[ B^{(6)}(\nu, \bar{\nu}) - \frac{3}{2} \left( (2+s) - \frac{Q_M}{8} (\alpha'_- \nu + \alpha'_+ \bar{\nu}) \right) \left( \sum_{i=1}^6 (P_i)^2 \right) \right] \quad (5.102)$$

où le polynôme  $B^{(6)}(\nu, \bar{\nu})$  est donné en [P4] Eq.5.17.

Il est normal que la somme des graphes de Feynman calculés soient symétriques dans l'échange de  $(J_2, \bar{J}_2) \dots (J_N, \bar{J}_N)$ , puisque tous les graphes ainsi symétrisés ont été inclus. En revanche, la symétrie pour tous les opérateurs, de 1 à  $N$  n'est pas évidente a priori. Le moment  $P_1$  est un moment sortant, et, aux charges d'écran près, il est la somme des autres qui sont entrants. Il est donc tout à fait remarquable les fonctions irréductibles obtenues (5.99,5.101,5.102) soient symétriques dans les  $N$  moments et en particulier pour le changement de signe  $P_i \rightarrow -P_i$ . Ceci semble être une bonne confirmation de la pertinence de cette formulation par action effective utilisée ici.

Ce résultat est similaire à celui obtenu en ref.[31] dans le régime de couplage faible. Les fonctions à une particule irréductibles apparaissent là-bas comme des fonctions analytiques et symétriques des moments. Les fonctions d'ordre supérieur à 6 (sans charges d'écran) ont été calculées dans ce cas en[31] et sont toujours des sommes de puissances paires des moments : la puissance est de façon générale<sup>28</sup>  $2E((N-3)/2)$  pour une fonction à  $N$  points. Nous avons donc obtenu le même type de comportement jusqu'à  $N = 6$  (avec charges d'écran) pour le couplage fort.

Nous concluons en remarquant que les résultats obtenus dans cette deuxième sous-partie permettent de déterminer l'exposant critique  $\gamma_{\text{string}}$  pour des genres supérieurs à zéro. On peut à partir des fonctions à  $N$  points et du propagateur déterminer la dépendance en  $\mu_c$  des fonctions de corrélation avec boucle<sup>29</sup> : considérons une fonction à  $N+2$  points dont deux moments externes sont égaux ( $= P_{N+2}$  par exemple) et refermons la en une boucle par un propagateur. La deuxième ligne de 5.63 montre que la fonction à  $N+2$  points comporte un facteur  $\mu_c^{2P_{N+2}-(s+2)/2}$  supplémentaire par rapport à la fonction à  $N$  points. Le propagateur contribue pour  $\mu_c^{-2P_{N+2}}$  et donc la boucle pour  $\mu_c^{(2+s)/2}$  au total. Chaque boucle supplémentaire en fait autant. Malgré les fondements assez fragiles de cet argument, imaginons que cette dépendance en  $\mu_c$  survive à la renormalisation nécessaire à ces fonctions avec boucles. Ceci donne donc en genre  $h$  un comportement de la fonction à  $N$  points

$$\sim \mu_c^{\sum_{i=1}^N P_i - (N/2 + g - 1)(2+s)/2}.$$

Prenant le cas  $N = 0$  et répétant l'argument de la sous-partie précédente on obtient donc finalement

$$\gamma_{\text{string}} = 2 + (h-1) \left( \frac{2+s}{2} \right) \quad (5.103)$$

<sup>28</sup>  $E(x)$  désigne la partie entière de  $x$ .

<sup>29</sup> Il faudrait sûrement calculer aussi des corrélateurs avec deux opérateurs conjugués 5.82, mais de toute façon, la dépendance en  $\mu_c$ , qui seule nous importe ici, serait inchangé

en genre  $h$ .

Ce raisonnement, bien qu'assez spéculatif, permet pour le couplage faible de retrouver la formule 2.58 pour  $\gamma_{\text{string}}$  en tout genre, ce qui semble confirmer sa validité.

## CONCLUSION ET PERSPECTIVES

La résolution de la théorie de Liouville dans le régime de couplage fort vient donc de connaître des progrès importants. C'est une des réalisations majeures de cette thèse. La physique du couplage fort semble très différente de celle du couplage faible. Outre le traitement symétrique des deux charges d'écran, une différence essentielle réside dans le déconfinement de la chiralité : les moments (ou les spins) des composantes chirales droites et gauches sont différents, contrairement au cas du couplage faible où les opérateurs locaux sont construits à partir des mêmes spins gauches et droits<sup>30</sup> Ceci est très certainement valable aussi bien pour le modèle topologie étudié dans la partie 5.3 que pour un modèle de véritable corde dont les champs de matière seraient habillés par les opérateurs  $\chi_+^{(J)}\overline{\chi}_+^{(\overline{J})}$ . Ce dernier opérateur est en effet (quasiment) local pour  $J$  et  $\overline{J}$  différents. Comme pour le modèle topologique, il est fort probable qu'on puisse construire des opérateurs de vertex de matière locaux de modes gauches et droits différents de manière à obtenir après habillage des opérateurs de poids (1,1). Certes, ceci n'a pas encore été fait explicitement, mais la fonction de partition de tels modèles a néanmoins déjà été calculée en ref.[12], et son invariance modulaire a paru nécessiter l'introduction dans le spectre de spins gauches et droits différant d'un entier arbitraire. Au delà de notre modèle topologique, ceci confirme donc le déconfinement de la chiralité pour de véritables modèles de cordes. On ne peut cependant pas complètement exclure que la localité des opérateurs de vertex de matière puisse imposer l'égalité des moments droits et gauches (pour un spectre particulier qui assurerait l'invariance modulaire), ce qui donnerait alors également des spins  $J$  et  $\overline{J}$  égaux pour la gravité. Dans cette hypothèse, au demeurant peu probable, le déconfinement de la chiralité serait particulier au modèle topologique.

Examinons comment on peut dans cette approche construire des modèles topologiques, c'est-à-dire incluant deux degrés de liberté, un pour la matière, l'autre pour la gravité. Nous essayons les constructions les plus générales possibles, nous permettant même de mélanger de manière inhabituelle gravité et matière. Ce cadre plus général nous permettra de bien distinguer ce qui a été fait dans le cas du couplage faible (cf ref.[20] et la conclusion de le chapitre 2) et du couplage fort (chapitre 5), ainsi que d'ouvrir quelques perspectives.

Nous cherchons donc à construire un opérateur local à partir des champs de matière dénotés par des primes (spins  $J'$ ,  $\widehat{J}'\dots$ ) et de ceux de gravité, sans primes. Chacun d'entre eux a deux composantes chirales notées avec et sans barres. Chaque composante chirale a à son tour deux spins  $J$  et  $\widehat{J}$  correspondant aux deux charges d'écran  $\alpha_{\pm}$ . Notre opérateur local peut donc finalement être obtenu comme combi-

---

<sup>30</sup> Ce sont les spins du groupe quantique qui sont différents pour les deux chiralités. Les poids droits et gauches des opérateurs de matière ou de gravité seuls sont également différents. En revanche, on a évidemment toujours des opérateurs habillés de poids (1,1).

naison linéaire du produit<sup>31</sup>

$$V_{m, \widehat{m}}^{J, \widehat{J}} V'_{m', \widehat{m}'}^{\widehat{J}', \widehat{J}'} \overline{V}_{\overline{m}, \widehat{\overline{m}}}^{\overline{J}, \widehat{\overline{J}}} \overline{V}'_{\overline{m}', \widehat{\overline{m}'}}^{\overline{J}', \widehat{\overline{J}'}}.$$

Comme on l'a vu, la localité pour les opérateurs comporte deux volets : il faut d'abord vérifier l'invariance pour la monodromie autour de l'origine, ce qui donne des conditions très simples dans cette base où elle est diagonale, et ensuite que l'échange et la fusion donne bien des opérateurs du même type (ce qui garantit l'invariance des corrélateurs physiques à quatre points sous les monodromies autour de 1 et l'infini). On a au total  $2^3 = 8$  spins différents. Dans une bonne normalisation<sup>32</sup> l'échange et la fusion de ces opérateurs sont essentiellement donnés par les huit 6-j correspondants. La méthode générale pour obtenir un opérateur local consiste à considérer des combinaisons linéaires (sur  $m$ ) de ces opérateurs pour des spins égaux deux à deux. Ceci permet d'avoir aussi des 6-j égaux deux à deux, et ensuite, si on a choisi une combinaison linéaire appropriée, leur orthogonalité prouve la localité des opérateurs physiques.

Dans le cas du couplage faible on considère ainsi des spins gauches et droits égaux ( $J = \overline{J}$ ,  $\widehat{J} = \widehat{\overline{J}}$ ,  $J' = \overline{J}'$ ,  $\widehat{J}' = \widehat{\overline{J}'}$ ), ce qui garantit l'invariance sous la monodromie autour de 0. L'orthogonalité des 6-j droits et gauches montre que l'échange et la fusion de ces opérateurs sont triviaux : ces opérateurs sont locaux et en particulier les conditions  $J = \overline{J}$  sont stables. Ce n'est pas différent de ce qui a été fait dans l'approche par représentation intégrale[5], où le corrélateur physique local est obtenu comme combinaison linéaire de produits de blocs conformes dont les coefficients sont l'équivalent de nos  $g$  (ils sont quasiment égaux).

Dans le cas du couplage fort, nous avons au contraire été amenés à choisir des spins  $J$  et  $\widehat{J}$  égaux de manière à obtenir des poids réels (ou plus précisément  $J' = \widehat{J}'$ ,  $\overline{J}' = \widehat{\overline{J}'}$  pour la matière et  $J = -\widehat{J} - 1$ ,  $\overline{J} = -\widehat{\overline{J}} - 1$  pour la gravité). La fermeture de l'algèbre de ces opérateurs et donc la stabilité de cette condition nécessite alors l'égalité des 6-j issus des spins  $J$  et des spins  $\widehat{J}$  ( $= J$  ou  $= -J - 1$ ). Ceci n'est cependant pas automatique comme pour les 6-j des deux chiralités dans le cas du couplage faible, puisqu'ici ces deux 6-j sont calculés à partir des paramètres de déformation  $h$  et  $\widehat{h}$  respectivement. Ce n'est donc qu'exceptionnellement, pour les dimensions spéciales  $C = 1 + 6(2 + s)$ ,  $s = -1, 0, 1$  et des spins fractionnaires  $J = n/2(2 \pm s)$ , que les 6-j des deux types ont pu être reliés pour donner une relation d'orthogonalité (en utilisant en outre la symétrie des 6-j sous  $J \rightarrow -J - 1$ ). C'est aussi pour ces dimensions et spins spéciaux que la matrice de monodromie est dégénérée, ce qui assure l'invariance de ces opérateurs sous la monodromie autour de l'origine.

Poussant plus loin la logique de ces constructions, il vient tout de suite à l'esprit une troisième façon d'obtenir des opérateurs locaux : puisqu'il y a  $2^3 = 8$  types de spins, on peut choisir une contrainte non entre spins gauches et droits ( $J = \overline{J}$ , couplage faible), non entre  $J$  et  $\widehat{J}$  (couplage fort), mais entre spins de la matière  $J'$  et de la gravité  $J$ . Le choix  $J = \widehat{J}'$ ,  $\widehat{J} = -J' - 1$ ,  $\overline{J} = -\widehat{\overline{J}'} - 1$  et  $\widehat{\overline{J}} = J'$ , par

<sup>31</sup> Combinaison sur des  $m, \widehat{m}, m' \dots$  différents, à  $J, \widehat{J}, J' \dots$  fixés.

<sup>32</sup> C'est-à-dire où on a renormé par les coefficients  $g$  de manière à ce qu'ils disparaissent de la fusion, comme pour les opérateurs  $\widehat{V}$  en Eq.4.10.

exemple, donne des opérateurs de poids (1, 1) que l'on définirait donc par

$$\sum_{m, \widehat{m}, \overline{m}, \widehat{\overline{m}}} (g.. \dots) V_{m, \widehat{m}}^{J, \widehat{J}} V'_{-\widehat{m}, m}^{-\widehat{J}-1, J} \overline{V}_{\overline{m}, \widehat{\overline{m}}}^{\overline{J}, \widehat{\overline{J}}} \overline{V}'_{\widehat{\overline{m}}, -\overline{m}}^{\widehat{\overline{J}}, -\overline{J}-1}.$$

Comme les paramètres de déformation pour la matière et la gravité sont opposés ( $h + \widehat{h}' = 0 = \widehat{h} + h'$ ), les 6-j correspondants seront égaux et il sera facile d'obtenir ainsi des opérateurs locaux pour une charge centrale quelconque. Ces opérateurs physiques ne sont donc pas comme d'habitude le simple produit d'un vertex de matière par un vertex de gravité. Au contraire matière et gravité sont intimement mêlées. Il ne semble d'ailleurs pas y avoir de terme cosmologique c'est-à-dire de terme de poids (1,1) issu uniquement du degré de liberté qu'on souhaiterait interpréter comme la gravité. Peut-être cette construction est-elle en fait équivalente à un modèle  $c = 1$  par transformation linéaire des champs libres sous-jacents. Une différence essentielle avec les deux cas précédemment envisagés est que ces opérateurs sont de poids (1,1), et qu'ils donnent encore uniquement des opérateurs (1,1) par fusion et échange. Dans les constructions du couplage faible ou fort, ce n'est que la cohomologie BRST qui permet de sélectionner les opérateurs de vertex de poids (1,1), alors qu'ici cela découle automatiquement des règles de sélection des opérateurs. Ce modèle serait certainement très intéressant à étudier plus avant.

Je souhaite conclure par un examen un peu plus approfondi du parallèle déjà évoqué entre les modèles minimaux et les modèles topologiques fortement couplés de la partie 5.3. Ces deux cas présentent en effet des caractéristiques similaires. On a dans les deux cas un ensemble discret de dimensions particulières, d'un côté  $c = 1 - 6(p - q)^2/pq$  et de l'autre  $c = 1 + 6(2 - s)$ . On a dans les deux cas une troncature d'une sous-algèbre fermée correspondant à un ensemble discret de moments. En termes de spins on a  $J = (m - 1)/2$ ,  $\widehat{J} = (n - 1)/2$  pour  $n, m$  entiers respectivement inférieurs à  $p$  et  $q$  dans le cas des modèles minimaux, et  $J = \widehat{J} = n/2(2 \pm s)$  dans le deuxième cas. On a ensuite, comme on l'a souligné dans la partie 5.2, une dégénérescence de la matrice de monodromie dans les deux cas. On peut d'ailleurs se demander s'il ne s'agirait pas des cas de dégénérescence maximale. Il serait certainement très intéressant d'examiner systématiquement (en fonction du paramètre qu'est  $c$ ) la dégénérescence des valeurs propres<sup>33</sup>  $\propto e^{2i\pi\Delta(\alpha)}$  pour les valeurs  $\alpha \rightarrow \alpha + p\alpha_- + \widehat{p}\alpha_+$  données par les règles de fusion ( $p, \widehat{p}$  entiers). Peut-être que les dimensions  $c = 1 + 6(2 - s)$  avec  $s$  fractionnaire, qui donnent également une dégénérescence de la monodromie, mais moins importante, pourraient être reliés aux autres modèles minimaux. Les nombres q-déformés à partir des paramètres  $h$  et  $\widehat{h}$  correspondants ont quelques propriétés remarquables qui permettent d'espérer une troncature (partielle ou différente?) également dans ces cas-là.

Il ne se passe certes pas exactement la même chose dans le cas des modèles minimaux et dans le nôtre. Le nombre de valeurs spéciales pour  $c$  est infini ou fini pour le couplage faible ou fort respectivement, au contraire le nombre de familles conformes dans une théorie est soit fini soit infini, et la dégénérescence de la matrice de monodromie ne donne pas lieu à une troncature exactement de la même manière : dans le cas des modèles minimaux les états  $(n, m)$  et  $(n + p, m + q)$  qui sont dans le même espace propre pour la monodromie se découpent l'un de l'autre, et dans le

<sup>33</sup> Voir Eqs.5.42, 5.44... pour les notations  $\alpha$ ,  $\Delta(\alpha)$ .

cas du couplage fort c'est au contraire tout l'espace propre des états de spins  $J = \widehat{J} = n/2(2 \pm s)$  entier qui se découple des autres espaces propres de la monodromie.

Il y a néanmoins encore un autre lien entre ces deux types de modèles, ce qui pourrait révéler quelque chose de plus profond. Cela a déjà été noté en conclusion de ref.[P4]. Par la formule de KPZ (Eq.2.58 en genre 0 :  $\gamma_{\text{str}} = (d - 1 - \sqrt{(d - 1)(d - 25)})/12$ ), un modèle  $(p, q)$  en dimension  $d = 1 - 6(p - q)^2/pq$  donne une susceptibilité de corde négative  $\gamma_{\text{str}} = (p - q)/p$ . Cependant, dans les modèles de matrices ou les flots de KdV, on obtient souvent d'abord  $\gamma_{\text{str}}$  d'où l'on déduit la dimension  $d$  par la formule de KPZ. On obtiendrait donc la même dimension à partir de l'autre branche de la formule de KPZ :  $\gamma_{\text{str}} = (d - 1 + \sqrt{(d - 1)(d - 25)})/12$  ou  $\gamma_{\text{str}} = (q - p)/q > 0$  pour un modèle  $(p, q)$ . On s'aperçoit alors qu'un modèle  $(s, 2)$  donne dans l'autre branche, une susceptibilité  $\gamma_{\text{str}} = (2 - s)/2$  identique à celle que nous avons obtenu dans le couplage fort (Eq.5.73)! Notre modèle topologique pourrait donc n'être qu'une autre branche des modèles minimaux  $(s, 2)$ . Il correspondent à des dimensions -2 pour un modèle  $(1, 2)$  et  $-\infty$  pour un modèle  $(0, 2)$ . Des modèles de matrices de susceptibilité  $\gamma_{\text{str}} = (q - p)/q$  positive ont déjà été obtenus en refs.[49, 50]. Celle-ci a été interprétée comme étant donnée par l'autre branche de la formule de KPZ. Peut-être pourrait-on au contraire l'interpréter par notre formule  $\gamma_{\text{str}} = (2 - s)/2 = (c - 1)/12$ , ce qui donnerait des dimensions fractionnaires dans le régime de couplage fort, et effectuer le lien entre ces modèles de matrices (ou d'autres) et notre modèle topologique, au moins pour nos opérateurs de spins  $J = \overline{J}$  puisqu'il n'y a de toute façon pas de décomposition chirale dans les modèles de matrices.



# Bibliographie

- [1] A. A. Belavin, A. M. Polyakov, A. B. Zamolochikov *Nucl. Phys.* **B241** (1984) 333.
- [2] M. E. Peskin, “Introduction to String and Superstring Theory II”, cours donné lors du 1986 Theoretical Advanced Study Institute in Particle Physics, University of California, Santa Cruz.
- [3] D. Lüst, S. Theisen *Lectures on String Theory*, Springer-Verlag, Berlin (1989).
- [4] V. G. Kac, Lecture notes in phys. 94, (1979), 441
- [5] Vl. S. Dotsenko, V. A. Fateev, *Nucl. Phys.* **B240** (1984) 312, Vl. S. Dotsenko, V. A. Fateev, *Nucl. Phys.* **B251** (1985) 691.
- [6] A. M. Polyakov, *Phys. Lett.* **B103** (1981) 207, *Phys. Lett.* **B103** (1981) 211.
- [7] J.-L. Gervais, J. Schnittger, “Continuous spins in 2D gravity : chiral vertex operators and construction of the local Liouville field”, preprint LPTENS-93/40.
- [8] J.-L. Gervais, J. Schnittger, “The many faces of the quantum Liouville exponentials” preprint LPTENS-93/30, hep-th/9308134, *Nucl. Phys. B* to be published.
- [9] E. Braaten, T. Curtright, C. Thorn, *Phys. Lett.* **B118** (1982) 115; *Phys. Rev. Lett.* **48** (1982) 1309; *Ann. Phys. (N.Y.)* **147** (1983) 365; E. Braaten, T. Curtright, G. Ghandour, C. Thorn, *Phys. Rev. Lett.* **51** (1983) 19; *Ann. Phys. (N.Y.)* **153** (1984) 147.
- [10] H. J. Otto, G. Weigt, *Phys. Lett.* **B159** (1985) 341; *Z. Phys.* **C31**, (1986) 219.
- [11] O. Babelon, *Nucl. Phys.* **B258** (1985) 680.
- [12] A. Bilal, J.-L. Gervais, *Nucl. Phys.* **B284** (1987) 397, *Phys. Lett.* **B187** (1987) 39, *Nucl. Phys.* **B293** (1987) 1, *Nucl. Phys.* **B295** [FS21] (1988) 277.
- [13] J.-L. Gervais, B. Rostand, *Nucl. Phys.* **B346** (1990) 473.
- [14] J.-L. Gervais and A. Neveu, *Nucl. Phys.* **B199** (1982) 59, *Nucl. Phys.* **B209** (1982) 125.
- [15] J.-L. Gervais and A. Neveu, *Nucl. Phys.* **B224** (1983) 329.
- [16] J.-L. Gervais and A. Neveu, *Nucl. Phys.* **B238** (1984) 125.
- [17] J.-L. Gervais, *Comm. Math. Phys.* **130** (1990) 257.
- [18] J.-L. Gervais, *Comm. Math. Phys.* **138** (1991) 301.
- [19] E. Cremmer, J.-L. Gervais, *Comm. Math. Phys.* **144** (1992) 279.
- [20] J.-L. Gervais, *Nucl. Phys.* **B391** (1993) 287.
- [21] F. David, *C. R. Acad. Sci. Paris* **307**, 1051, 1988; *Mod. Phys. Lett. A* **17**, 1651, 1988.

- [22] J. Distler, H. Kawai, *Nucl. Phys.* **B321** (1989) 509.
- [23] V. Knizhnik, A. Polyakov, A.A. Zamolodchikov, *Mod. Phys. Lett.* **A3**, 819, 1988.
- [24] G. Moore, N. Seiberg, *Phys. Lett.* **B212** (1988) 451.
- [25] G. Moore, N. Seiberg, *Comm. Math. Phys.* **123** (1989) 177.
- [26] G. Moore, N. Seiberg, “*Lectures on RCFT*”, preprint RU-89-32, cours donné lors de Trieste spring school (1989).
- [27] O. Babelon, *Phys. Lett.* **B215** (1988) 523.
- [28] O. Babelon, *Comm. Math. Phys.* **139** (1991) 619.
- [29] G. Felder, J. Fröhlich, J. Keller, *Comm. Math. Phys.* **124** (1989) 646.
- [30] G. Ponzano, T. Regge, in “Spectroscopic and group theoretical methods in Physics”, F. Bloch ed., North Holland, Amsterdam, 1968. B. Hasslacher, M. Perry, *Phys. Lett.* **103B** (1981) 21, S. M. Lewis, *Phys. Lett.* **122B** (1983) 265.
- [31] P. Di Francesco, D. Kutasov, *Phys. Lett.* **B261** (1991) 385, *Nucl. Phys.* **B375** (1992) 119.
- [32] J.-L. Gervais, J. Schnittger, *Phys. Lett.* **B315** (1993) 258.
- [33] E. Verlinde, *Nucl. Phys.* **B300** (1988) 360.
- [34] R. Askey, J. Wilson, “A set of orthogonal polynomials that generalize the Racah coefficients or 6-j symbols” *SIAM J. Math. Anal.* 10 (1979) 1008.
- [35] A. Kirilov, N. Reshetikhin, *Infinite Dimensional Lie Algebras and Groups*, Advanced Study in Mathematical Physics **vol. 7**, Proceedings of the 1988 Marseille Conference, V. Kac editor, p. 285, World scientific.
- [36] E. Witten, *Nucl. Phys.* **B373** (1992) 187.
- [37] V. Pasquier, *Comm. Math. Phys.* **118** (1988) 355.
- [38] G. Moore, N. Reshetikhin, *Nucl. Phys.* **B238** (1989) 557.
- [39] V. G. Drinfeld, Quantum groups, comptes-rendus de 1986 ICM, Berkeley.
- [40] Bo-yu Hou, Bo-yuan Hou, Zhong-qi Ma, *Comm. Theor. Phys.*, **13**, 181, (1990); *Comm. Theor. Phys.*, **13**, 1990, 341.
- [41] J.-L. Gervais and A. Neveu, *Phys. Lett.* **B151** (1985) 271.
- [42] J.-L. Gervais *Phys. Lett.* **B243** (1990) 85.
- [43] M. Goulian, M. Li, *Phys. Rev. Lett.* **66** (1991) 2051.
- [44] Vl. S. Dotsenko, *Mod. Phys. Lett.* **A6** (1991) 3601.
- [45] E. Brézin, S. Hikami, *Phys. Lett.* **B295** (1992) 209, S. Hikami, *Phys. Lett.* **B305** (1993) 327.
- [46] P. Ginsparg, G. Moore, “Lectures on 2D Gravity and 2D String Theory”, preprint YCTP-P23-92, hep-th/9304011, cours donné lors de TASI summer school, Boulder, CO (juin 1992).
- [47] N. Seiberg, “Notes on Quantum Liouville Theory and Quantum Gravity,” dans *Common Trends in Mathematics and Quantum Field Theory*, compte-rendu de 1990 Yukawa International Seminar, Prog. Theor. Phys. Suppl 102, et dans *Random surfaces and quantum gravity*, compte-rendu de 1990 Cargèse workshop, édité par O. Alvarez, E. Marinari, and P. Windey, Plenum (1991).

- [48] J. Polchinski, “Remarks on the Liouville Field Theory,” UTTG-19-90, dans Strings '90, Texas A&M, Coll. Station Wkshp (1990) 62.
- [49] B. Durhuus, “Multi-spin systems on a randomly triangulated surface”, preprint KUMI-94-2, hep-th/9402052.
- [50] I. R. Klebanov, “Touching random surfaces and Liouville gravity”, preprint PUPT-1486, hep-th/9407167, I. R. Klebanov, A. Hashimoto, “Non-perturbative solution of matrix models modified by trace-squared terms”, preprint PUPT-1498, hep-th/9409064.

## LISTE DES PUBLICATIONS

- [P1] “The genus-zero bootstrap of chiral vertex operators in Liouville theory”,  
E. Cremmer, J.-L. Gervais, J.-F. Roussel, *Nucl. Phys.* **B413** (1994) 244.
- [P2] “The Quantum Group structure of 2D Gravity and minimal models :  
the genus-zero chiral bootstrap”, E. Cremmer, J.-L. Gervais, J.-F. Roussel,  
*Comm. Math. Phys.* **161** (1994) 597.
- [P3] “Solving the strongly coupled 2D Gravity II : Fractional-spin operators  
and topological three-point functions”, J.-L. Gervais, J.-F. Roussel, *Nucl. Phys.*  
**B426** (1994) 140.
- [P4] “From weak to strong coupling regime in two-dimensional gravity”, J.-L.  
Gervais, J.-F. Roussel, *Phys. Lett.* **B338** (1994) 437.
- [P5] “Solving the strongly coupled 2D Gravity III : string susceptibility and  
topological N-point function.”, J.-L. Gervais, J.-F. Roussel, à paraître.
- [P6] “Approche opératorielle de l’équation de Liouville”,  
J.-F. Roussel, compte-rendu des Journées Jeunes Chercheurs 93.

$i \quad j \quad k = i \quad j \quad k \quad 0$

$$\begin{array}{|c|} \hline i \\ \hline \end{array} \quad \begin{array}{|c|} \hline k \\ \hline \end{array} \quad \begin{array}{|c|} \hline j \\ \hline \end{array} \quad \begin{array}{|c|} \hline 0 \\ \hline \end{array} = \begin{array}{|c|} \hline i \\ \hline \end{array} \quad \begin{array}{|c|} \hline k \\ \hline \end{array} \quad \begin{array}{|c|} \hline j \\ \hline \end{array}$$

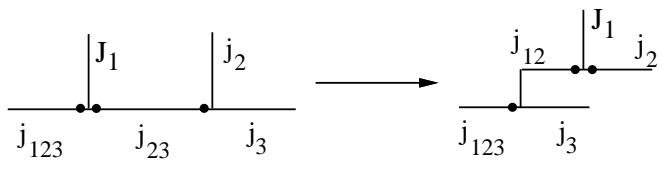
$j_{12}$  |  $j_1$  |  $j_2$

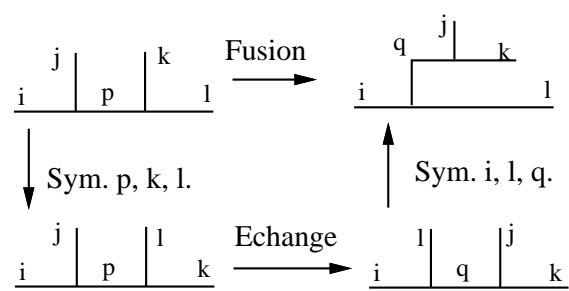
$$\hat{J} \quad \hat{J}_1 \quad \hat{J}_2 \quad \hat{J}_3$$

---

$$J \quad J_1 \quad J_2 \quad J_3$$







$$\langle V^1 V^2 \dots V^p \rangle =$$

